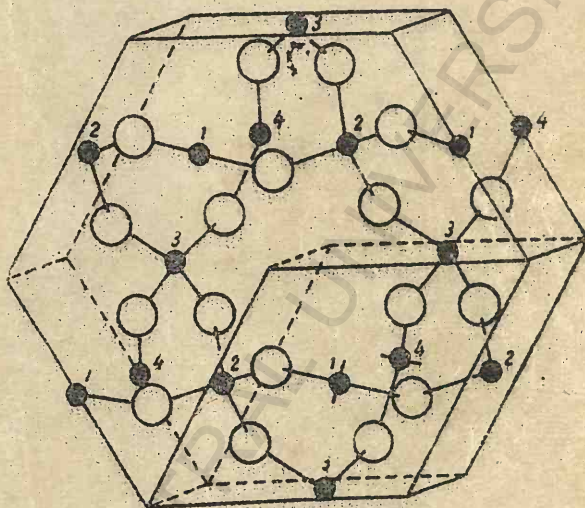


TRAIAN IDRICEANU



CRISTALOGRAFIE

VOL. II

- 1974 -

C R I S T A L O G R A F I E

3. CRISTALOCHEMIE

OBIECTUL SI IMPORTANTA CRISTALOCHEMIEI.

După cum s-a văzut în capitolele de cristalografie geometrică structurală, încă din sec.XVIII s-au făcut ipoteze asupra legăturii care există între formele exterioare ale cristalelor și structura lor internă.

Aranjamentele particulelor componente ale cristaloanelor, legăturile dintre aceste aranjamente și formele poliedrice externe ale cristalelor, ca și unele proprietăți caracteristice diferitelor structuri, au fost cuprinse în capitolele de cristalografie geometrică structurală.

C r i s t a l o c h i m i a stabilește legăturile dintre structura cristalină, compoziția și proprietățile fizico-chimice ale substanțelor.

Încă Haüy, cu ipoteza sa asupra moleculelor integrante, a intuit legătura care trebuie să existe între compoziția chimică, structura internă și forma poliedrică a cristalelor, iar Mitscherlich, prin descoperirea fenomenelor de izomorfism și de polimorfism a adus o nouă și importantă contribuție la cunoașterea legăturii dintre compoziția chimică și forma cristalelor.

Astfel, din formele asemănătoare pe care le îmbracă unele cristale cu compoziție diferită, cum sînt KH_2PO_4 , $\text{NH}_4\text{H}_2\text{PO}_4$ și KH_2AsO_4 , numite din această cauză substanțe izomorfe, a ieșit la iveală faptul că, pentru asemănarea structurală, mai importantă decît analogia chimică este mărimea și proprietățile asemănătoare ale particulelor componente.

Același lucru îl confirmă și faptul că unele substanțe izomorfe pot forma cristale mixte, în care ioni, chimic diferiți, dar cu dimensiuni apropiate, se substituie reciproc în structură.

Fenomenul de polimorfism a arătat și mai mult că forma cristalului depinde, în cea mai mare măsură, de aranjamentul particulelor în rețea, datorită dimensiunilor diferite pe care le pot căpăta chiar aceiași atomi ai substanței, în condiții termodinamice diferite, ca în cazul CaCO_3 trigonal (calcita) sub 400°C și CaCO_3 rhombic (aragonita), peste 400°C .

Deasemenea Louis Pasteur, prin descoperirea formelor enantiomorfe ale acizilor tartrici, a ilustrat legătura dintre proprietățile substanțelor cristaline și aranjarea atomilor în moleculă.

Fedorov prin teoria sa, a stabilit toate posibilitățile de aranjare structurală ale particulelor componente ale substanțelor cristaline, iar descoperirea difracției razelelor X prin cristale a confirmat și clarificat definitiv toate aceste ipoteze.

Cristalochimia arată că natura particulelor componente ale cristalelor (atomi, ioni, molecule), forma și mărimea acestor particule, forțele de legătură dintre ele, determină întregul edificiu al structurii cristaline.

Toate însușirile cristalelor sînt consecințe ale proprietăților atomilor sau ionilor din care sînt constituite. Pe baza cunoașterii însușirilor atomilor componenți ai unei substanțe chimice se poate deci stabili structura sa cristalină.

Mai întîi P.Groth prin lucrarea "Chemische Kristallographie", în care s-au adunat toate măsurătorile cristalografice asupra substanțelor organice și anorganice publicate pînă la începutul secolului nostru, iar apoi Fedorov în 1914, au stabilit o lege statistică a legăturii dintre compoziția chimică și simetria cristalelor.

"În majoritatea cazurilor, unei compoziții chimice simple a substanței îi corespunde o simetrie înaltă a cristalelor sale. Cu cît compoziția este mai complicată, cu atît structura este mai inferioară".

Astfel cristalele cu compoziția cea mai simplă cristalizează cel mai adesea în sistemul cubic și în sistemul hexagonal (Cu, Pt, Ag, Au, C sau NaCl, PbS etc. și Mg).

Compușii complecși cristalizează în singonii, cu atât mai inferioare, cu cât au o compoziție mai complicată. Așa sînt feldspatii, triclinici și monoclinici, micelle, monoclinice etc. și tot așa se explică raritatea compușilor organici cristalizați în sistemul cubic.

Sînt însă și excepții, ca în cazul sulfurii rombic sau monoclinic, al realgarului (AsS) monoclinic, al stibinei (Sb_2S_3) rombic etc.

Legea nu este riguroasă și generală, ci aproximativă; are un caracter statistic.

Cristalochimia joacă un rol important în mineralogia și în chimia contemporană, explicînd proprietățile substanțelor și dînd bazele științifice pentru clasificarea lor rațională.

Cunoașterea proprietăților fizico-chimice ale atomilor, a legăturilor structurale și a proprietăților pe care le conferă acestea anumitor structuri, dă posibilitatea să se obțină substanțe chimice cristaline cu proprietăți dinainte prevăzute.

Legile cristalochimiei stau și la baza geochimiei, știință care studiază comportarea atomilor în scoarța terestră și implicit - la baza științei despre zăcămintele de minereuri, care se fundamentează pe concepțiile geochimice.

C R I S T A L O G R A F I E

3. CRISTALOCHEMIE

XIII. FACTORI CARE DETERMINA CARACTERUL REȚELEI CRISTALINE.

Așa cum am văzut, structura și forma cristalelor depinde, în ultimă analiză, de proprietățile atomilor componenți. De aceea, în cele ce urmează, vom reaminti, acolo unde va fi cazul, unele cunoștințe despre atomi și despre proprietățile lor. Asemenea factori determină, de alt fel, caracterul rețelei cristaline.

1. RAZE ATOMICE SI RAZE IONICE

După cum știm, atomii sînt alcătuiți dintr-un nucleu pozitiv și dintr-un înveliș de electroni cu sarcină negativă. Atunci cînd cele două sarcini nu sînt egale, este vorba de ioni, care pot fi pozitivi (cationi) sau negativi (anioni).

Între particulele, încărcate diferit, acționează, pe lîngă forțele de atracție și forțe de respingere. Forțele de respingere se manifestă în cazul apropierii strînse a ionilor, cînd învelișurile electronice, deci cu aceeași sarcină, negativă, vin în contact direct și într-o anumită măsură, chiar se suprapun. Atracția reciprocă între doi ioni are loc pînă în momentul cînd forțele de atracție și cele de respingere ajung să fie egale. Distanțele dintre centrele particulelor grupate în structurile cristaline vor fi determinate de interacțiunea acestor forțe.

Datorită structurii neuniforme a atomilor diferitelor elemente chimice, și forțele de interacțiune vor fi diferite. Substanțele cu compoziție chimică diferită vor cristaliza, în general, în tipuri de structuri, diferite.

Fiecare atom sau ion, are o sferă a sa de acțiune, în interiorul căreia nu pot pătrunde atomi sau ioni străini. Această se cheamă sferă atomică sau ionică, iar raza sferei, rază atomică sau ionică.

Raza atomică sau ionică este distanța minimă la care centrul sferei unui atom sau ion se poate apropia de suprafața sferelor atomilor sau ionilor vecini.

Considerînd aceste sfere, rigide și așezate compact în structură distanța dintre centrele a două sfere vecine este egală cu suma razelor lor și egală cu distanța d care se determină roentgenografic.

V.M.Goldschmidt, care în 1926 a întocmit primul tabel cu raze ionice, a numit aceste raze, raze efective.

Raza efectivă este ceva mai mare decît distanța de la centrul sferei pînă la ultima orbită electronică a atomului, deoarece exprimă întreaga sferă de acțiune a forțelor din interiorul ato-

mului și nu dimensiunile sale geometrice.

Plecând de la razele ionice determinate refractometric în 1922 de către Vasastjerna pentru F^- (1,33 Å) și pentru O^{2-} (1,32 Å) și pe baza distanțelor d , determinate roentgenometric, Goldschmidt a dedus o serie de raze efective.

Astfel, în rețeaua NaF, cu structura compactă, $d = 2,3$ Å; raza ionului de Na este egală cu diferența dintre acesta și raza ionului de F^- ($R_{Na^+} = 2,31 \text{ Å} - 1,33 \text{ Å} = 0,98 \text{ Å}$).

Mai departe cunoscând raza ionică a Na^+ și distanța $d = 2,81$ Å din rețeaua NaCl, a dedus $R_{Cl^-} = 2,81 \text{ Å} - 0,98 \text{ Å} = 1,83 \text{ Å}$ ș.a. m.d.

Considerând că la unele cristale anionii sînt atît de mari încît sferelor lor se ating, iar cationii au dimensiuni mici, care permit așezarea lor tangentă în golurile dintre anioni, Landé a imaginat în 1920, o metodă geometrică simplă de determinare a razelor ionice.

Astfel, în așezarea cubică compactă a MgSe de tipul NaCl (fig.346) centrele sferelor ionice de Mg și Se formează triunghiuri dreptunghice (ABC) ale căror catete sînt egale cu d și a căror ipotenuză este egală cu dublul razei anionului.

$$AB = BC = R_{Mg} + R_{Se} = 2,73 \text{ Å}$$

$$AC = 2 R_{Se}$$

De aici se deduc razele celor doi ioni în felul următor :

$$2 (R_{Se} + R_{Mg})^2 = (2 R_{Se})^2 = 2 \cdot 2,73^2 \quad | \text{ de unde,}$$

$$R_{Se} = \frac{2,73 \cdot \sqrt{2}}{2} = 1,93 \text{ Å}$$

$$R_{Mg} = 2,73 - 1,93 = 0,80 \text{ Å}$$

Aceste valori sînt apropiate de cele actuale ($R_{Mg} = 0,78 \text{ Å}$; $R_{Se} = 1,91 \text{ Å}$), care sînt determinate pe baza mai complexe.

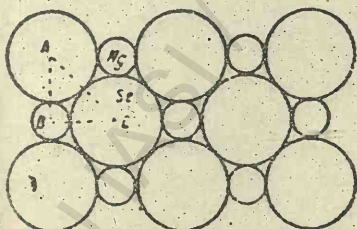


Fig. 346.

RAZELE IONICE MĂSURATE IN Å

-2	-1	0	+1	+2	+3	+4	+5	+6
		He	Li	Be	B	C	N	
			0,60	0,31	0,20	0,15	0,11	
0	F	Ne	Na	Mg	Al	Si	P	S
1,40	1,36		0,95	0,65	0,50	0,41	0,34	0,29
S	Cl	Ar	K	Ca	Sc	Ti	V	Cr
1,84	1,81		1,33	0,99	0,81	0,68	0,59	0,52
			Cu	Zn	Ga	Ge	As	Se
			0,96	0,74	0,62	0,53	0,47	0,42
Se	Br	Kr	Rb	Sr	Y	Zr	Cb	Mo
1,98	1,95		1,48	1,13	0,93	0,80	0,70	0,62
			Ag	Cd	In	Sn	Sb	Te
			1,26	0,97	0,81	0,71	0,62	0,56
Te	I	Xe	Cs	Ba	La	Ce		
2,21	2,16		1,69	1,35	1,15	1,01		
			Au	Hg	Tl	Pb	Bi	
			1,37	1,10	0,95	0,84	0,74	

Mn 0,80 Fe 0,76 Co 0,74 Ni 0,72 Pb 1,20
Cr 0,69 Mn 0,66 Fe 0,64
V 0,60 Th 1,14

RAZELE IONICE LA SCARĂ

-2	-1	0	+1	+2	+3	+4	+5	+6
			Li	Be	B	C	N	
		He	○	○	○	○	○	
			Na	Mg	Al	Si	P	S
		Ne	○	○	○	○	○	○
			K	Ca	Sc	Ti	V	Cr
		Ar	○	○	○	○	○	○
			Cu	Zn	Ga	Ge	As	Se
			○	○	○	○	○	○
			Rb	Sr	Y	Zr	Cb	Mo
		Kr	○	○	○	○	○	○
			Ag	Cd	In	Sn	Sb	Te
			○	○	○	○	○	○
			Cs	Ba	La	Ce		
		Xe	○	○	○	○		
			Au	Hg	Tl	Pb	Bi	
			○	○	○	○	○	
○	F							
S	Cl							
Se	Br							
Te	I							

În 1927, Linus Pauling, calculând razele elementelor pe baza mecanicii cuantice a obținut rezultate apropiate, confirmând justetea metodelor aplicate.

El consideră că sarcinile atomilor, respectiv ionilor cu configurație electronică de tipul gazelor inerte sînt repartizate concentric, după sfere a căror rază crește pe măsură ce se formează o nouă orbită.

Pe de altă parte, raza ionică este invers proporțională cu sarcina efectivă a nucleului care este dată de diferența dintre sarcina corespunzătoare numărului de ordine, Z , și efectul de ecranizare al învelișului electronic, S , ($Z-S$).

În formula lui Pauling, $R = \frac{C_n}{Z-S}$, este introdusă constanta C_n , care este în funcție de numărul cuantic principal al ultimului strat extern de electroni.

Aplicînd această formulă în cazul NaF , a cărei ioni prezintă o configurație de tipul neonului și pentru care s-a calculat $S = 4,52$ rezultă:

$$R_{\text{Na}_{11}} = \frac{C_n}{6,48} ; R_{\text{F}_9} = \frac{C_n}{4,48} ; R_{\text{Na}} + R_{\text{F}} = C_n \left(\frac{1}{6,48} + \frac{1}{4,48} \right)$$

După cum am văzut $R_{\text{Na}} + R_{\text{F}} = 2,81 \text{ \AA}$. Putem astfel deduce valoarea lui C_n , care în cazul NaF $= 6,13$ și aplicînd formula lui Pauling, calculăm razele ionice ale Na^+ și F^- ;

$$R_{\text{Na}^+} = \frac{C_n}{Z-S} = \frac{6,13}{11 - 4,52} = 0,95 \text{ \AA}$$

$$R_{\text{F}^-} = \frac{C_n}{Z-S} = \frac{6,13}{9 - 4,52} = 1,36 \text{ \AA}$$

Trebuie reținut faptul că pentru același element rezultă raze diferite, după tipul structural, determinat de natura legăturilor pe baza cărora acesta se realizează.

Astfel, în cazul legăturilor covalente din structură rezultă raze atomice, iar în cazul legăturilor heteropolare, raze ionice.

La același element, raza particulei variază cu starea sa de ionizare, scăzînd odată cu creșterea numărului de sarcini pozitive și crescînd odată cu numărul de sarcini negative.

De ex.

$$R_{Fe^0} = 1,27 \text{ \AA} ; R_{Fe^{2+}} = 0,83 \text{ \AA} ; R_{Fe^{3+}} = 0,67 \text{ \AA} \text{ și tot astfel,}$$

$$R_{Pb^0} = 1,74 \text{ \AA} ; R_{Pb^{2+}} = 1,32 \text{ \AA} ; R_{Pb^{4+}} = 0,84 \text{ \AA} ; R_{Pb^{4+}} = 2,15 \text{ \AA}.$$

Razele cationilor sînt mai mici decît razele atomilor, iar razele anionilor sînt mai mari decît razele atomilor aceluiași element: $R_{F^-} = 1,33 \text{ \AA} ; R_{F^0} = 0,76 \text{ \AA} ; R_{F^{7+}} = 0,08 \text{ \AA}$

Goldschmidt a observat că dimensiunile particulelor constitutive ale cristalelor variază periodic în raport cu numărul de ordine din tabloul elementelor și cu valența lor astfel:

-În fiecare perioadă, dimensiunile ionilor pozitivi se micșorează cu creșterea numărului de ordine și pe măsură ce crește valența; de ex. $R_{Rb_{37}} = 2,55 \text{ \AA} ; R_{Sr_{38}} = 2,5 \text{ \AA} ;$

$$R_{Y_{39}} = 1,80 \text{ \AA} ; R_{Zr_{40}} = 1,60 \text{ \AA}.$$

În fiecare grupă, raza particulelor de aceeași valență crește în raport cu numărul învelișurilor de electroni, cu numărul de ordine; de ex. $R_{Li_{11}} = 1,57 \text{ \AA} ; R_{Na_{11}} = 1,92 \text{ \AA} ;$
 $R_{K_{19}} = 2,39 \text{ \AA} ; R_{Rb_{37}} = 2,52 \text{ \AA}.$

Excepția de la aceste reguli fac lantanidele și actinidele ale căror raze scad odată cu creșterea numărului de ordine datorită structurii speciale a învelișurilor lor electronice. Astfel se manifestă de ex. așa numita "contractie a lantanidelor":

$$R_{Ce_{58}^{3+}} = 1,18 \text{ \AA} ; R_{Sm_{3+}} = 1,13 \text{ \AA} ; R_{Ho_{67}^{3+}} = 1,05 \text{ \AA} ;$$

$$R_{Lu_{71}^{3+}} = 0,99 \text{ \AA}.$$

2. DISPOZIȚIA GEOMETRICĂ A SFERELOR

Structura cristalului fiind considerată ca o totalitate de sfere atomice sau ionice care vîin în contact, se pune problema geometrică a aranjării acestor sfere și diferitelor tipuri de structuri pe care le determină această aranjare.

2.1. Aranjarea compactă

În cazul cel mai simplu, cînd structura este alcătuită din particule similare (elemente) și deci toate sferele atomice vor avea aceeași rază, acestea se pot aranja, cel mai simplu și în modul cel mai compact, în două moduri.

Acoperind un plan orizontal cu un strat de sfere egale și tangente între ele, cu așezarea cea mai compactă, centrele sferelor în contact vor forma triunghiuri echilaterale, iar între sferele acestui strat se vor forma două feluri de goluri:

-goluri care au un singur vîrf îndreptat în sus, pe care să le însemnăm de ex. cu m și

-goluri care au două vîrfuri îndreptate în sus și numai unul în jos, pe care le însemnăm cu n (fig.347).

Punînd acum un nou strat de sfere cu sferă inițială (A') în golurile m sau n ale primului strat, toate celelalte sfere vor ocupa același fel de goluri, m sau n (fig.348).

Atunci cînd avem numai două strate este indiferent dacă sînt ocupate golurile m sau n , deoarece printr-o rotire de 180° golurile m vor căpăta poziția golurilor n și invers. Se observă însă că în cazul acestor două strate, stratul al doilea de deasupra formează, la rîndul său, alte două feluri de goluri: unele care corespund cu golurile din primul strat, goluri adînci, pe care le însemnăm cu s și altele, care sînt situate deasupra centrelor sferelor din primul strat, mai puțin adînci, pe care le însemnăm cu t .

Aranjarea sferelor unui al treilea strat în golurile s au t duce la două moduri diferite de aranjare compactă a sferelor egale:

a.-Repetînd mai sus ordinea celor trei strate inferioare de tipul s rezultă o așezare cubică compactă (fig.349).

Aici sferele ale cător centre sînt situate exact unul deasupra celuilalt se află la intervale de două strate. Centrele sferelor capătă aranjarea unui cub centrat pe fețe (fig.350).

Aranjarea cubică compactă este întîlnită la Cu, Ag, Au etc.

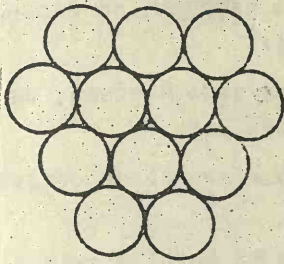


Fig. 347a

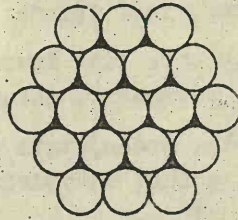


Fig. 347b

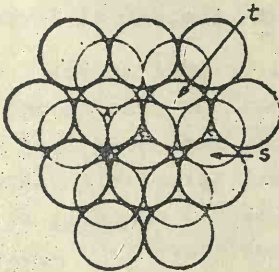


Fig. 348

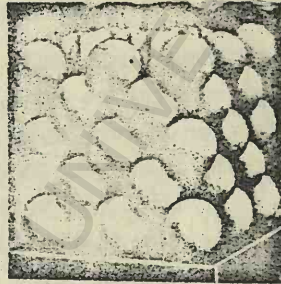


Fig. 349a

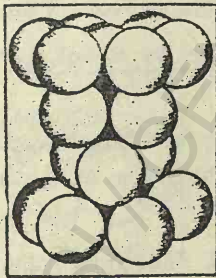


Fig. 349 b

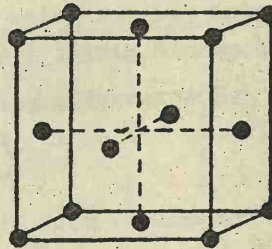


Fig. 350

Între sferele aranjării cubice compacte se deosebesc după poziția lor, două feluri de goluri:

-unele care sînt înconjurate de cîte 4 sfere, ca de colțurile unui tetraedru, goluri tetraedrice;

-altele, înconjurate de cîte 6 sfere ca de colțurile unui octaedru, goluri octaedrice.

La n sfere ale aranjării compacte revin în total n goluri octaedrice și 2 n goluri tetraedrice.

Astfel, în cazul NaCl , anionii de Cl^- formează un aranjament cubic compact, iar ionii de Na^+ , cu dimensiuni mai mici, umplu toate golurile octaedrice dintre ionii de clor. Fiecare ion de Na^+ este înconjurat de șase ioni de clor (fig. 351) și invers (351 a, b).

În cazul blendei, ZnS , anionii de sulf capătă configurația cubului centrat pe fațe, dar ionii de zinc nu mai ocupă golurile octaedrice. Dacă împărțim cubul, după cele trei plane π , în opt cuburi mici, observăm că în intervalul fiecărui cub mic se formează cîte un gol tetraedric, ionii de sulf, ocupînd colțurile din capetele diagonalelor opuse, care au dispoziția colțurilor unui tetraedru.

Ionii de zinc ocupă numai patru asemenea goluri tetraedrice, din mijlocul a cîte două cuburi mici, sus și două jos, dispuse după cele două diagonale ale cubului mare și formează un tetraedru de Zn cu virfurile în mijlocul cuburilor (fig. 352).

b. Repetînd ordinea celor trei strate de tipul t rezultă o aranjare hexagonală compactă (fig. 353).

Aici, sferele din straturile pare sînt așezate exact unele deasupra celorlalte și tot astfel sînt așezate cele din stratele impare.

Sferele ale căror centre sînt situate unul deasupra celuilalt se află aici la intervale de un singur strat.

Centrele sferelor capătă aranjarea unei prizme hexagonale centrate pe fețele de bază și cu trei sfere așezate alternativ în mijlocul cîte uneia din cele șase prize trigonale care compun prisma hexagonală centrată pe baze (fig. 354 a, b).

Aranjarea hexagonală compactă este întîlnită la Mg , Be , Zn etc.

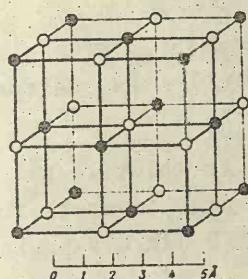


Fig. 351

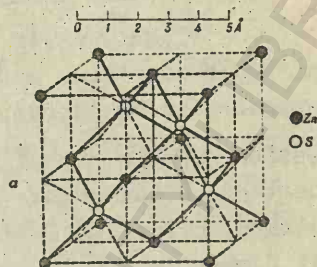


Fig. 352

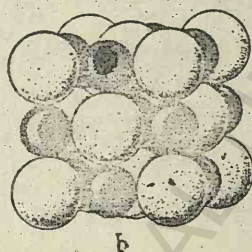
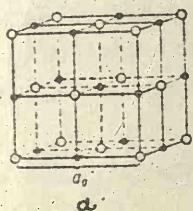


Fig. 351

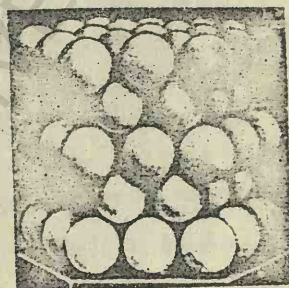


Fig. 353 a

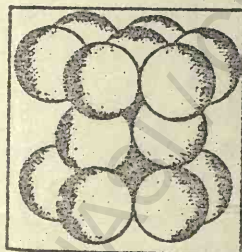


Fig. 353 b.

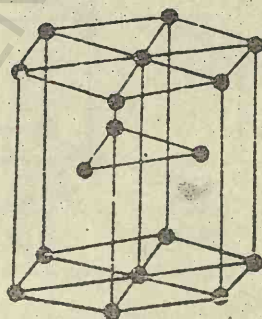


Fig. 354 a

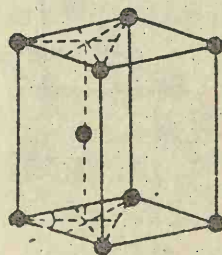


Fig. 354 b.

Atît în aranjarea cubică compactă cît și în aranjarea hexagonală compactă sferelor ocupă 74,05% din spațiu.

2.2 Aranjarea mai puțin compactă

Sferele egale se mai pot aranja, într-o structură mai puțin compactă, astfel ca în primul strat să formeze, cu centrele lor un pătrat.

Așezînd sferele din al doilea strat în golurile primului strat acestea iau deasemenea o poziție în care centrele formează pătrate. Acestea sînt deplasate cu $1/2$ din diagonala pătratului format în primul strat.

Un al treilea strat de sfere, așezate în golurile acestuia, revine la poziția primului strat.

Structura capătă configurația unui club centrat intern, iar sferele ocupă numai 68,1% din volum (fig.355).

Așezînd însă peste stratul pătratic de sfere pe cel de-al doilea și următoarele, nu în goluri ci exact deasupra, sferă pe sferă, rezultă o structură și mai puțin compactă, cu configurația cubului simplu, primitiv.

Aici sferele ocupă numai 51,91% din volum (fig.356).

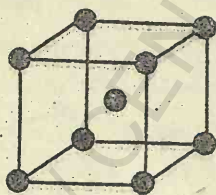


Fig. 355

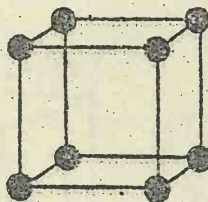


Fig. 356

3. NUMARUL DE COORDONARE (Nc.)

Datorită forțelor de legătură care acționează între ele, sferele atomice sau ionice de aceeași mărime sau de mărimi diferite, au tendința de a se așeza, într-un cristal, în modul cel mai compact și simetric, cu cea mai mică energie liberă și cu cea mai mare stabilitate.

O astfel de aranjare depinde însă, atât de condițiile cristalizării, de proprietățile atomilor sau ionilor respectivi, de natura forțelor de legătură, cât mai ales de raportul dimensiunilor particulelor componente.

În cazul particulelor de același fel, deci cu proprietăți și dimensiuni identice, am văzut că, în aranjarea cea mai compactă se realizează cele două feluri de structuri: cubică și hexagonală.

Astfel în aranjarea cubică compactă cât și în cea hexagonală, fiecare atom este înconjurat de 6 atomi în același plan și de cîte trei atomi din cele două strate vecine, adică, în total, de 12 atomi.

Numărul atomilor de același fel imediat învecinați cu un atom identic sau diferit se numește număr de coordonare. În cazul de mai sus, numărul de coordonare este 12.

În cazul ionilor, cu dimensiuni diferite, aranjarea compactă se realizează numai pentru anumite valori ale raportului $R_K : R_A$ pentru fiecare coordonare.

Pentru fiecare coordonare raportul s-a determinat geometric și s-a întocmit un tablou cu numerele de coordonare și rapoartele limită corespunzătoare:

Nc.	3	4	6	8	12
$R_K : R_A$	$\geq 0,155$	$\geq 0,225$	$\geq 0,414$	$\geq 0,732$	≥ 1

Ex. NaCl $R_{Na} = 0,98 \text{ \AA}$; $R_{Cl} = 1,81 \text{ \AA}$ și $\frac{R_{Na}}{R_{Cl}} = 0,54 > 0,414$
deci Nr.coord. = 6

La CsCl : $R_{Cs} = 1,65$ și $\frac{R_{Cs}}{R_{Cl}} = 0,9 > 0,732$

De ex. pentru coordonarea 3 a unui anion cu raza R_A față de un cation cu raza R_K raportul se calculează din triunghiul echilateral pe care-l formează centrele sferelor anionilor tangenți între ei și tangenți la sfera cationului din golul pe care-l formează (fig. 357a,b) astfel:

În triunghi avem $R_K + R_A = \frac{2}{3} I$, în fiecare din cele 2 triunghiuri dreptunghice care se formează avem:

$$(2R_A)^2 - R_A^2 = I^2 = 4R_A^2 - R_A^2 = 3R_A^2 \text{ deci } I = R_A \sqrt{3}$$

$$R_K = \frac{2}{3} R_A \sqrt{3} - R_A \text{ sau, pentru } R_A = 1,$$

$$R_K = \frac{2}{3} \sqrt{3} - 1 \text{ și } \frac{R_K}{R_A} = \frac{2}{3} \sqrt{3} - 1 = \frac{2 - \sqrt{3}}{\sqrt{3}} = 1,55$$

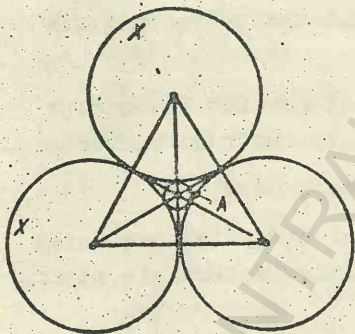


Fig. 357a

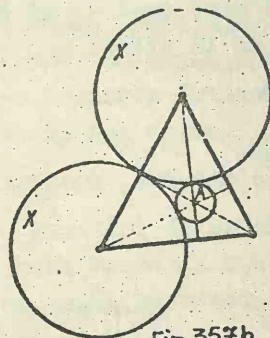


Fig. 357b

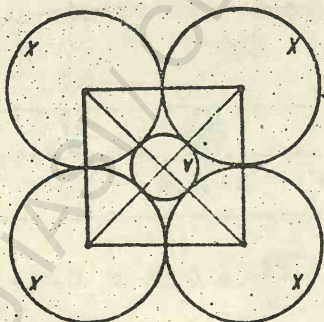


Fig. 357c

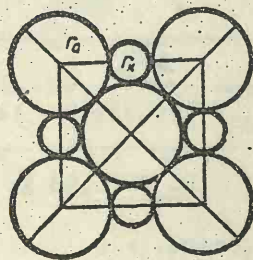


Fig. 357d

În cazul unui cation înconjurat de 6 anioni tangenți între ei, deci în structura cea mai compactă de coordonare octaedrică, va rezulta (fig. 357 c, d) în secțiunea dusă după un plan Π , din centrele sferelor anionului, un pătrat ale cărui diagonale unesc centrul sferei cationului cu centrele a două sfere opuse de anion împărțind patratul în două triunghiuri dreptunghice.

Intr-un asemenea triunghi dreptunghi format de cele două laturi ale patratului și cu diagonala acestuia ca ipotenuză vom avea:

$$L = 2 R_A \text{ și } d = 2 R_A + 2 R_K$$

$$\text{Dar } d^2 = 2 l^2 \text{ sau } d = \sqrt{2} \text{ așa că } 2 R_A + 2 R_K = 2 R_A \sqrt{2}.$$

$$\text{Pentru } R_A = 1 \text{ vom avea } 2 + 2 R_K = 2 \sqrt{2} = 2,828 \text{ și}$$

$$R_K = 2,828 - 2 = 0,828 \text{ adică } R_K = 0,414.$$

Aranjarea particulelor. La același număr de coordonare sînt însă posibile mai multe moduri de aranjare a particulelor, așa cum se va menționa în enunțarea și exemplificarea principalelor coordonări ce urmează (fig. 358 a-1).

Numărul de coordonare 3, se întâlnește în două moduri de aranjare:

a) Un atom central în mijlocul unui triunghi, adică în același plan. Ex. rețeaua grafitului și a azotului de bor, rețeaua anionilor $(CO_3)^{2-}$, $(NO_3)^{1-}$ etc.

b) Atomii de coordonare situați în plane diferite de atomul central. Ex. $(BrO_3)^-$, $(SO_3)^{2-}$ etc.

Numărul de coordonare 4 prezintă și mai multe posibilități de aranjare:

a. Cu toate particulele în același plan. Ex. $(PtCl_4)^{2-}$;

b. Cu particula centrală într-un plan și cu cele învecinate în alt plan, ca la structurile ionice stratificate. Ex. $Li(OH)$.

c. Cu particula centrală în mijlocul unui tetraedru. Ex. diamant, blendă, $(SiO_4)^{4-}$, $(SO_4)^{2-}$, $(PO_4)^{3-}$ etc.

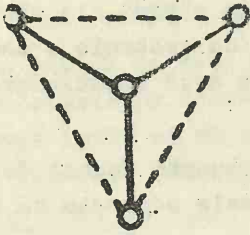


Fig. 358a

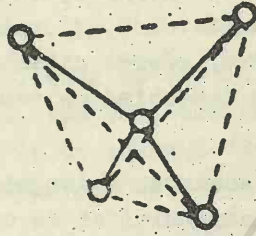


Fig. 358b

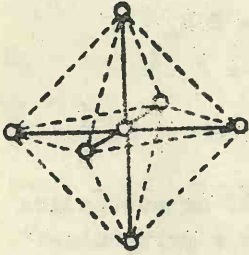


Fig. 358c

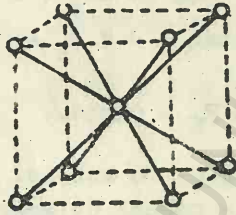


Fig. 358d

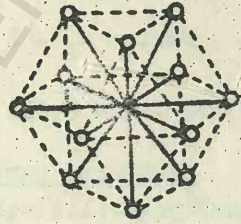
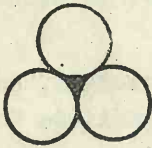


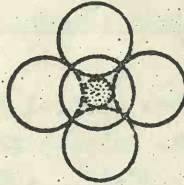
Fig. 359e.



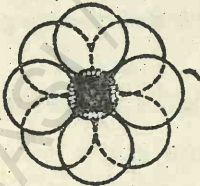
0.155



0.225



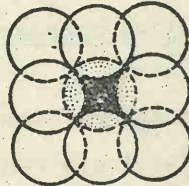
0.414



0.645



0.732



1.000

Fig. 358 f.

Numărul de coordonare 5 prezintă două moduri de aranjare:

a. Cu o particulă în centrul unei bipiramide trigonale și cele înconjurate pe colțurile acesteia.

b. Cu o particulă în mijlocul unei piramide tetragonale. Ex. milleritul, NiS .

Numărul de coordonare 6 prezintă trei moduri de aranjare:

a. Aranjarea octaedrică, Ex. NaCl , PbS , $(\text{PtCl}_5)^{2-}$ etc;

b. Cu o particulă în centrul unei prisme trigonale. Ex. melibdenitul (1 Mo : 6 S).

c. Cu o particulă în centrul unui romboedru cu fețe bazale. Ex. nichelina (1 Ni : 6 As).

Numărul de coordonare 8 prezintă trei moduri de așezare, din care mai importantă este prima:

a. Gruparea cubică în jurul unui atom central. Ex. Cs Cl .

b. Cu atomul central într-un poliedru de formă compusă, cu 8 colțuri și fețe triunghiulare. Ex. Zr în zircon (Zr SiO_4).

c. Cu atomul central într-o formă numită "cubul lui Rhomson". Ex. Cu în Cu-Al_2 .

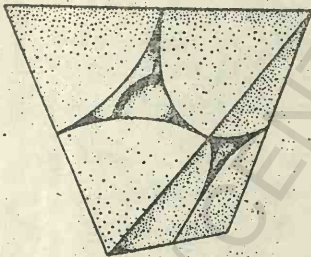


Fig. 358 g₁

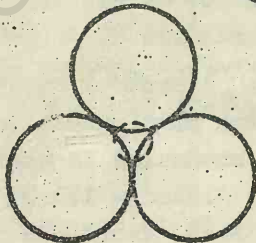


Fig. 358 g.

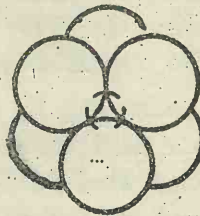


Fig. 358 h



Fig. 358 i

Numărul de coordonare 12 se întâlnește în patru aranjamente ale rețelelor cubice și hexagonale compacte:

a. Forma compusă cub-octaedru centrat. Ex. Cu. Au în rețeaua cub-centrat pe fețe;

b. Un poliedru analog dar neizometric numit cub-octaedru hexagonal în structura hexagonală compactă. Ex. Mg.

c. Un poliedru format din doi tetraedri corelați. Ex. aliajul $MgCu_2$.

d. Forma compusă din dodecaedru pentagonal și octaedru, care are 12 fețe și 8 colțuri. Ex. K în $K_3Co(NO_2)_6$.

Uneori atomii de coordonare nu sînt așezați la distanțe riguros egale. Astfel la Mg, șase atomi sînt situați la distanța de 3,190 Å și șase, la distanța de 3,202 Å de atomul central.

În cazul cînd aceste distanțe sînt prea diferite, acest lucru se pune în evidență la scrierea numărului de coordonare. Ex. în cazul Cd cu structură asemănătoare cu a Mg, dar cu distanțe mai diferite pentru cele două grupe de atomi; coordonarea se scrie sub forma (6+6).

Dacă diferențele depășesc anumite limite se iau în considerație numai atomii cei mai apropiați. Coordonarea se micșorează.

Distanțe interionice diferite. Pentru aceiași atomi sau ioni se pot întîlni structuri cu configurație și coordonatie diferită, datorite condițiilor diferite de cristalizare.

Astfel, de ex. NH_4Cl , la temperaturi de peste 184° prezintă o rețea de tipul NaCl, cu coordonare octaedrică (6), pe cînd la temperaturi mai mici de 184° prezintă o rețea de tipul CsCl, cub-centrat intern, cu coordonare 8.

S-a constatat că modul și numărul de coordonare au influență asupra distanței dintre particulele constitutive, care crește odată cu creșterea numărului de coordonare. Așa se întîmplă în cazul NH_4Cl la care distanța interionică pentru $Nc=6$ este de 3,27 Å pe cînd la $Nc=8$, crește la 3,35 Å.

1.4. POLARIZATIA IONICA

După cum am văzut, în general poziția relativă a ionilor și deci structura cristalului, depinde de raportul dintre razele ionilor:

S-au constatat însă numeroase abateri de la această regulă. Astfel, CsF, cu raportul $R_{Cs} : R_F = 1,65 : 1,33 = 1,2471$ ar trebui să cristalizeze într-o rețea cu numărul de coordonare 12, pe când, în realitate, cristalizează într-o rețea de tipul NaCl, cu $N_c = 6$.

Blenda, cu raportul $R_{Zn} : R_S = 0,48 > 0,414$, ar trebui să aibă $N_c = 6$, pe când în realitate are $N_c = 4$.

În considerațiile geometrice ale aranjării compacte ca și în stabilirea numărului de coordonare, particulele componente au fost considerate ca niște sfere rigide. Acest lucru nu se potrivește însă totdeauna cu realitatea, deoarece traiectoriile electronilor din învelișul nucleului atomic pot fi modificate sub influența sarcinilor electrice ale particulelor înconjurătoare (fig. 359 a).

Dacă un atom este așezat într-un câmp electric, orbitele sale electronice se vor deplasa înspre polul pozitiv, iar nucleul, spre polul negativ.

Deplasarea traiectoriilor electronice sub acțiunea sarcinilor electrice exterioare constituie fenomenul de polarizație.

Centrul de greutate al electronilor dintr-un atom nepolarizat coincide cu nucleul atomului, pe când al atomului polarizat nu mai coincide. Se formează un dipol al cărui moment este dat de relația $p = \alpha E$, în care E reprezintă tensiunea câmpului electric polarizant iar α , coeficientul de polarizație.

În rețelele cristaline polarizația este cauzată de acțiunea câmpurilor electrice ale cationilor și anionilor, determinată de sarcinile lor. Aceasta este polarizația ionică.

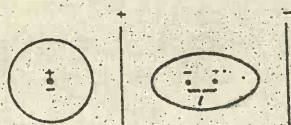


Fig. 359 a

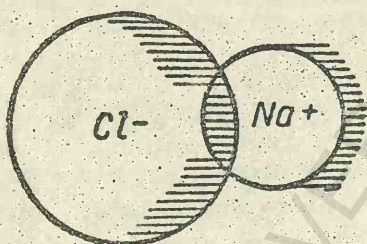


Fig. 359 b.

Prin acțiunea forțelor electrice reciproce, învelișul electronic se deformează, deplasându-se din poziția sa de echilibru față de nucleul propriu, sferele de acțiune ale celor doi ioni se întrepătrund, ceea ce duce la scurtarea distanței interionice, la micșorarea razei ionice (fig. 359 b).

4.1. Factori de care depinde valoarea polarizatiei.

Valoarea polarizatiei depinde de mai mulți factori:

a- Sarcina ionului

Odată cu creșterea sarcinii pozitive a cationului raza ionului se micșorează și capacitatea lui de a polariza crește.

Capacitatea de polarizare a unui cation se exprimă prin raportul dintre sarcina și pătratul razei sale. De ex. $\text{Na}^{1+}(0,98) = 1,04$; $\text{Mg}^{2+}(0,78) = 3,29$; $\text{Al}^{3+}(0,57) = 9,23$.

Ionii au, pe de-o parte, capacitatea de a polariza ionii vecini - polarizația activă - pe care am explicat-o mai sus, iar pe de altă parte, capacitatea de a se polariza sub

acțiunea ionilor vecini - polarizația pasivă.

Polarizația activă este mai mare la cationii cu sarcină mare și rază mică, iar polarizația pasivă este mai mare la anionii cu sarcină mică și rază mare.

Polarizația pasivă scade la cationi odată cu creșterea sarcinii lor, deci cu atracția mai puternică a învelișului de electroni spre nucleu, cu micșorarea razei. Ex. ($\alpha \cdot 10^{24}$ cm); $\text{Na}^{1+} = 0,182$; $\text{Mg}^{2+} = 0,12$; $\text{Al}^{3+} = 0,065$.

Capacitatea de polarizare pasivă crește odată cu creșterea sarcinii negative a anionilor, care slăbește din ce în ce mai mult legătura învelișului electronic de nucleul propriu. De ex., este mai mare pentru S^{2-} ($R = 1,74 \text{ \AA}$) decât pentru Cl^{1-} ($R = 1,8, \text{ \AA}$).

b. Structura învelișurilor electronice

Ionii grupelor principale, cu structură de gaz inert (octet de electroni) sînt mult ~~mai~~ slab polarizați decât ionii grupelor secundare, cu strat de 18 electroni, chiar la raze apropiate ca mărime. Ex. $\text{Ca}^{2+} = 1,78$; $\text{Sc}^{3+} = 4,35$; $\text{Si}^{4+} = 9,76$ în comparație cu $\text{Zn}^{2+} = 2,90$; $\text{Ga}^{3+} = 7,80$; $\text{Ge}^{4+} = 20,66$.

Polarizabilitatea crește odată cu creșterea numărului de ordine. De ex. în grupa halogenilor (la aceeași valență), valoarea factorului de polarizare crește de la F^{1-} ($R = 1,33 \text{ \AA}$) care este, practic, nedeformabil, la I^{1-} ($R = 2,20 \text{ \AA}$), după cum urmează: $\text{F}^{1-} = 0,99$; $\text{Cl}^{1-} = 3,05$; $\text{Br}^{1-} = 4,17$; $\text{I}^{1-} = 6,28$.

Cele mai puternice efecte de polarizare vor rezulta deci la combinarea cationilor puternic polarizanți din grupele secundare cu anionii elementari mari, care sînt cei mai polarizabili.

Astfel, de ex. în cazul AgI , unde $R_{\text{Ag}^+} = 1,13 \text{ \AA}$ și $\text{I}^- = 2,20$ a căror sumă este de $3,33 \text{ \AA}$, distanța interionică $\text{Ag}^+ - \text{I}^-$ este de $2,99 \text{ \AA}$; pe cînd în cazul KI , nu-i nici-o diferență ($R_{\text{K}^+} = 1,33 \text{ \AA}$) $R_{\text{K}^+} + R_{\text{I}^-} = 3,53 \text{ \AA}$ și distanța interionică $\text{K}^+ - \text{I}^-$ este tot de $3,53 \text{ \AA}$.

c. Temperatură și presiunea

Razele ionice, în general, cresc odată cu ridicarea

temperaturii și odată cu coborîrea presiunii.

Si capacitatea de polarizație a atomilor respectivi crește odată cu aceste variații de factori.

4.2. Polarizarea ionică, factor determinant de tipuri structurale ale cristalelor.

Ca urmare a polarizării particulelor constitutive, micșorarea distanțelor interionice, micșorarea numărului de coordonare și scăderea simetriei, produc, așa cum am văzut în exemplele prezentate, abateri de la regula rapoartelor geometrice.

Rețeaua ionică cu simetrie ridicată și în concordanță cu raportul geometric al razelor, se degradează trecînd la tipuri structurale de simetrie mai coborîtă, la rețele ionice stratificate și în cele din urmă, la rețele moleculare.

Această evoluție a structurilor este cel mai bine cunoscută în evidență de compuşii de tipul AX_2 ai metalelor bivalente cu halogenii.

După cum am mai văzut, ionul de F^- este cel mai puțin polarizabil dintre halogeni.

Fluorurile acestor metale cristalizează în rețele de coordonare după tipurile structurale dictate strict de legea rapoartelor geometrice, cum este de ex. cazul CdF_2 de coordonatie cubică (8) după raportul $\frac{R_{Cd}}{R_F} = 0,774 > 0,732$.

În cazul $CdCl_2$, unde ionul de Cl^- este puternic polarizat, rețeaua capătă o structură ionică stratificată al cărei paralelipiped elementar este format din trei pachete $Cl-Cd-Cl$ rotite unele față de altele și la care cationii ajung în aceeași poziție pe verticală din 3 în 3 straturi (fig. 383).

Iodura de cadmiu, cu halogenul cel mai puternic polarizat, prezintă tot o structură stratificată, în care însă, paralelipipedul elementar este format numai din două pachete analoge, $I-Cd-I$, dar așezate cu anionii față în față (fig. 380, 384).

Un efect și mai puternic de polarizație se produce în cazul PbI_2 , în care cationul are o capacitate de polarizație activă și mai mare. Structura stratificată are două pachete

I-Cd-I așezate față în față și se suprapun, fiecare pachet constituind un paralelipiped elementar (fig. 385).

În interiorul acestor pachete se mențin legăturile heteropolare dar legăturile dintre pachete sînt slabe, de tipul legăturilor Van der Waals, datorită faptului că anionii (cu același fel de sarcină) se resping între ei cu atît mai puternic cu cît sînt mai apropiați (de la CdCl_2 la PbI_2).

Distanțele dintre pachete fiind astfel mult mai mari decît distanțele dintre ionii aceluiași pachet și legăturile mult mai slabe, coeziunea dintre pachete este slabă și permite clivajul cristalelor respective.

La o polarizare și mai puternică iau naștere structurile moleculare, în care cationii și anionii sînt grupați, prin legături de valență.

În structurile moleculare numărul de coordonate este mic (1,2) iar distanța interatomică este și mai mică decît în rețelele de coordonare. O asemenea rețea moleculară prezintă, de ex. HgCl_2 în care fiecare cation este înconjurat de 8 anioni, din care însă doi ioni de clor sînt mult mai apropiați de cationi decît ceilalți, formînd molecule HgCl_2 .

Cristalele moleculare sînt larg răspîndite la compuşii organici.

4.3. Anionii complecși

Reducerea distanțelor dintre ioni, ca o consecință a polarizării duce la formarea de ioni complecși.

Așa este cazul cu ionii $(\text{SO}_4)^{2-}$, $(\text{CO}_3)^{2-}$ și $(\text{NO}_3)^{1-}$ în care cationii cu rază mai mică și cu sarcină mare, Ca^{4+} , N^{5+} , S^{6+} , se înconjoară cu ioni de valență mică și rază mare.

Polarizarea este atît de puternică încît distanța N-O în cristalul de NaNO_3 este abia de 1,22 Å, adică mai mică chiar decît raza ionului de oxigen (1,32 Å) și la fel distanța O-O din ionul $(\text{CO}_3)^{2-}$ din calcită, CaCO_3 , care este de numai 1,25 Å.

Datorită acestei apropieri strînse a ionilor elementari din ionii complecși, aceștia prezintă o rezistență importantă și se comportă ca grupuri unitare, atît în rețea și

în stare lichidă(fig.361,362),rețeaua calcitei.

4.4. Legea lui Goldschmidt

Pe considerentele expuse mai sus, Goldschmidt a formulat următoarea lege aproximativă cu privire la structura cristalelor ionice.

Structura sistemului ionic este determinată de relația numerelor de ioni (coordonare), de razele "sferelor ionice" și de proprietățile de polarizare ale ionilor.

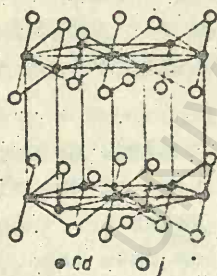


Fig.360



Fig. 361

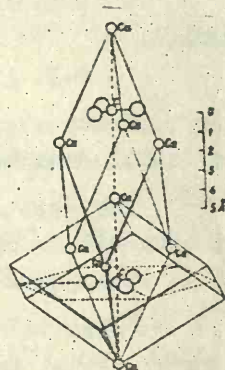


Fig. 362

5. ENERGIA REȚELEI CRISTALINE

După cum am mai văzut, starea normală a corpului solid este starea cristalizată, pe cînd starea amorfă este nestabilă și are tendința de a trece în starea cristalizată.

Aceasta se datorește faptului că starea cristalină cere o energie mai mică decît starea amorfă.

Starea cristalină este rezultatul unui proces exotermic. La cristalizare se eliberează o cantitate de energie care, pentru formarea unei molecule gram de substanță cristalină din ioni liberi cu sarcini opuse, constituie energia reticulară.

Reciproc, energia de rețea este egală cu lucrul necesar pentru desfacerea unei molecule gram de substanță cristalizată în ioni componenți.

Cu cît energia reticulară eliberată la formarea moleculei gram de substanță cristalină este mai mare, cu atît substanța este mai stabilă.

5.1. Factori care determină energia rețelei cristaline.

Particulele constitutive ale cristalului sînt legate între ele prin forțe de atracție coulombiene. Aceste forțe sînt cu atît mai mari, cu cît sînt mai mari sarcinile electrice ale ionilor și la distanța respectivă, se găsesc în echilibru cu forțele de respingere.

La cristalele ionice, al căror cîmp electric prezintă o simetrie sferică, forța de atracție crește pe măsură ce distanța dintre ioni se micșorează.

Odată cu apropierea sferelor ionice, de semn contrar, apare însă forța de respingere dintre cele două învelișuri electronice cu sarcină de același fel, care devine foarte puternică spre contactul lor.

La o anumită distanță care, în cazul ionilor nepolarizați, reprezintă suma razelor anionului și cationului, cele două forțe se echilibrează. La această distanță energia rețelei este minimă.

Forța de atracție care asigură acest echilibru este cu atât mai mare, cu cât distanța dintre centrele celor doi ioni este mai mică, în cazul respectiv, cu cât suma razelor anionului și cationului este mai mică.

În afară de acești factori principali care determină energia reticulară a rețelelor ionice, un rol important mai are și tipul de structură al cristalului în ceea ce privește modul cum sînt repartizate și cum își exercită acțiunea de atracție și de repulsie sarcinile ionilor componenți. Acest factor caracteristic fiecărui tip de structură, a fost determinat și este exprimat prin așa numita constantă a lui Madelung.

5.2. Calculul teoretic al energiei de rețea

Pe baza considerațiilor expuse, M. Born a calculat în 1919 energia reticulară a cristalelor ionice de tipul NaCl, stabilind următoarea formulă:

$$U = \frac{a \cdot W_1 \cdot W_2 \cdot e^2 N}{D} \left(1 - \frac{1}{m}\right), \text{ în care:}$$

U = energia reticulară

W_1 și W_2 , valențele celor doi ioni.

e = sarcina unui electron

N = numărul lui Avogadro

a = constanta lui Madelung, care, pentru rețelele de tipul NaCl este 1,7475.

D = distanța dintre centrele ionilor

m = coeficientul de respingere, care depinde de natura chimică a substanței și care în cazul halogenurilor alcaline este 9.

Concentrând toate constantele enumerate mai sus într-o singură constantă, formula s-a simplificat sub forma:

$$U = 512,1 \frac{W_1 \cdot W_2}{R_K + R_A}$$

Pentru clorura de sodiu, $U_{NaCl} = 512,1 \frac{1 \times 1}{0,98 + 1,81} = 183,8 \text{ Kcal.}$

Ulterior, A.F.Kapustinski a modificat această formulă, sub forma:

$$U = 256,1 \frac{\sum h \cdot W_1 \cdot W_2}{R_K + R_A} \text{ și mai recent (1943)}$$

sub forma:

$$U = 287,2 \frac{\sum n \cdot W_1 \cdot W_2}{R_K + R_A} - \left(1 - \frac{0,345}{R_K + R_A}\right),$$

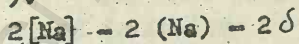
în care $\sum n$ este numărul de ioni.

5.3. Determinarea experimentală a energiei

Acest calcul teoretic a fost verificat pe cale experimentală prin așa numitul "proces circular" care se exemplifică, cu formarea NaCl, după reacția $2[Na] + (Cl_2) = 2[NaCl] + 2Q$. La formarea NaCl din sodiu metalic și clor gazos se produc o serie de procese succesive, cu absorbție sau degajare de căldură, ale căror rezultate pot fi determinate experimental. Insumarea lor duce la determinarea energiei reticulare.

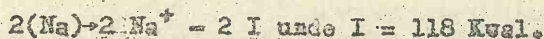
Trecând fazele solide între paranteze drepte și fazele gazoase între paranteze curbe, reacțiile succesive se petrec după ecuațiile următoare:

(1) Pentru aducerea sodiului din stare solidă în stare gazoasă se consumă o cantitate de căldură, căldura de sublimare (δ):

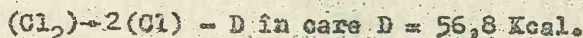


în care căldura de sublimare este suma căldurii de topire ($\rho = 0,78$) și a căldurii de evaporare ($\lambda = 26,13$) deci $\delta = \rho + \lambda = 0,78 + 26,13 = 26,91 \text{ Kcal.}$

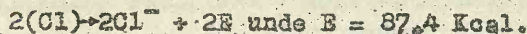
(2) Transformarea sodiului gazos în ion se face de asemenea cu consum de energie, căldura de ionizare (I):



(3) Pentru desfacerea moleculei de clor în atomi se consumă căldura de disociere (D):



(4) Atomul de clor captează electronul eliberat de sodiu la ionizare și se transformă în ion, cu degajarea căldurii de afinitate electronică (E).



Valoarea lui E nu s-a determinat experimental, dar se calculează din procesul circular, cunoscând ceilalți factori, determinați.

(5) În fine, ajunși în stare ionică, iodul și clorul, se unesc degajând o cantitate de căldură $2U$ care corespunde energiei reticulare a NaCl .

După legea lui Hess, căldura de formare a unei combinații este aceeași, fie că procesul s-a produs într-o singură fază, fie că s-a produs în mai multe faze succesive.

Insumând deci energiile degajate sau absorbite în fazele succesive de mai sus, va rezulta căldura de formare (Q) a clorurii de sodiu:

$$- 2\delta - 2 I - D + 2 E + 2 U = 2 Q \text{ sau}$$

$$-\delta - I - \frac{D}{2} + E + U = Q, \text{ de unde:}$$

$$U = Q + \delta + I + \frac{D}{2} - E \text{ sau}$$

$$U_{\text{NaCl}} = 97,7 + 26,91 + 117,7 + 28,4 - 87,4 = 183,31 \text{ Kcal.}$$

Această valoare este comparabilă cu cea calculată teoretic de M. Born.

Tot rezultate apropiate s-au obținut și în cazul altor substanțe. De ex. pentru KBr , calculat, $U = 155,8$, det. ex. $U = 157,8$
 FeO " " $U = 952,7$, " " $U = 954$.

S-a constatat însă că la alte substanțe diferențele sînt mari. De ex. pentru blendă ZnS , din calcul rezultă $U = 784$ iar experimental $U = 852$. Această diferență stît de mare se

datorește polarizației puternice.

La ioni polarizați, unde distanțele interionice nu mai corespund sumei razelor ionice, formulele teoretice nu mai pot fi aplicate cu bune rezultate.

În cazul blendei care are raportul $\frac{R_K}{R_A} = \frac{0,83}{1,74} = 0,48$ căruia îi corespunde numărul de coordonare 6, polarizarea puternică a anionului face ca distanța Zn - S să se micșoreze într-atât încît să se schimbe și coordonarea care este tetraedrică (4), ce corespunde unui raport mult mai mic, (0,225).

La cristalele covalente și metalice, metoda de determinare prin calcul a energiei reticulare devine inaplicabilă.

5.4. Coeficienții energetici ai lui Fersman

Avînd în vedere importanța deosebită pe care o prezintă energia rețelei cristaline în analiza proceselor naturale, geochimice și dificultățile pe care le prezintă metodele arătate, unul din fondatorii geochimiei, A.E.Fersman, a elaborat o metodă practică și rapidă dedusă din simplificarea formulei lui Kapustinski și fundamentată pe aceleași considerente fizice care stau la baza deducției lui Bohr și a procesului circular.

El introduce în formula lui Kapustinski un sistem de coeficienți energetici, așa numitele EC-uri, care permit calcularea energiei rețelei cristaline a foarte multor combinații, unele de compoziție complexă, cum sînt de ex. silicații la care formulele Bohr-Kapustinski nu se pot aplica, cu o precizie, practic satisfăcătoare.

După Fersman "EC-ul este cantitatea de energie pe care o aduce fiecare ion într-o combinație heteropolată, atunci cînd ea se formează din ioni aflați la infinit".

Menționînd coeficientul lui Kapustinski (256,1), care la scara EC-urilor reprezintă energia corespunzătoare unei molecule-gram de materie în Kcal și aplicînd principiul aditivității, Fersman stabilește pentru compuși binari formula:

$$U = 256,1 (a.EC_K + b.EC_A), \text{ în care } a \text{ și } b \text{ reprezintă}$$

numărul de cationi și respectiv, de anioni din moleculă.

Pentru combinațiile mai complexe, formula devine generală:

$$U = 256,1 (a EC_1 + b EC_2 + c EC_3 + d EC_4 \dots)$$

Pentru calculul coeficienților energetici, Fersman folosește trei procedee:

a. Plecând de la valoarea energiei reticulare, determinată pe alte căi, se deduce valoarea EC-urilor respective, aplicând formula de mai sus.

Astfel, în cazul KF, care este compusă din ioni cu aceeași valență și cu aceeași rază și care deci trebuie să aibă EC-uri de aceeași mărime, $EC_K = EC_F = EC$, cunoscând energia rețelei, $U = 190,4 = 256,1 (EC_K + EC_F) = 256,1 (2 EC)$, de unde $EC_K = \frac{190,4}{2 \cdot 256,1} = 0,37$.

Mai departe, cunoscând energia rețelei pentru KBr (155,8 Kcal) se poate calcula EC-ul pentru Br.

$$U_{KBr} = 155,8 = (EC_K + EC_{Br}) 256,1, \text{ de unde:}$$

$$EC_{Br} = \frac{155,8 - 256,1 EC_K}{256,1} = \frac{155,8 - 256,1 \cdot 0,37}{256,1} = \frac{155,8 - 94,76}{256,1} = \frac{61,04}{256,1} = 0,23.$$

b. În cazul cînd nu se cunoaște valoarea experimentală a lui U, Fersman a calculat energia reticulară după formula lui Kapustinski și apoi a determinat EC-ul căutat în același mod.

c. S-a dovedit că, în majoritatea cazurilor EC-urile corespund cu valorile calculate prin formula aproximativă

$$EC = \frac{W^2}{2r} \text{ în cazul ionilor monovalenți cu raza mijlocie și}$$

$$EC = \frac{W^2}{2r} \cdot 0,75 (r + 0,20) \text{ pentru ceilalți ioni, de ex.}$$

$$EC_F = \frac{W^2}{2r} = \frac{1}{2 \cdot 1,35} = 0,37, \text{ valoare egală cu cea experimentală,}$$

iar pentru calciu:

$$EC_{Ca} = \frac{W^2}{2r} \cdot 0,75 (r + 0,20) = \frac{4}{2 \cdot 1,06} \cdot 0,75 (1,06 + 0,20) = 1,78$$

față de 1,75 cit rezultă din determinările experimentale.

d. Flecînd de la ideea că energia de ionizare este egală cu energia de formare a rețelei cristaline din ioni, care reprezintă în fapt același fenomen dar de semn contrar, Fersman a folosit potențialul total de ionizare în determinare EC-urilor.

Așa de ex. după cum am văzut, căldura de ionizare a Na este de 117,7 Kcal. Reducînd această valoare la scara EC-urilor prin împărțirea cu constanta lui Kapustinski rezultă $EC_{Na} = \frac{117,7}{256,1} = 0,46$, foarte apropiat de valoarea experimentală (0,45), ceea ce explică și sensul fizic al coeficienților energetici.

Pentru ioni complecși EC-urile au fost calculate prin aceleași metode ca și EC-urile ionilor simpli, obținîndu-se valori satisfăcătoare.

De ex. $EC_{(NH_4)^{2+}} = \frac{2^2}{2 \cdot 2,95} = 0,68$, valoarea apropiată de cea determinată pe baza datelor experimentale (0,70).

Pentru calculul energiei reticulare a combinațiilor care conțin un ion complex se introduce în formula EC-ul ionului complex. De ex. $U_{NH_4Cl} = 256,1 (EC_{NH_4} + EC_{Cl}) = 256,1 \cdot (0,36 + 0,25) = 156$ (experimental, 153).

Fersman a întocmit tabele în care sînt trecute EC-urile majorității ionilor simpli și ale principalilor ioni complecși.

În concluzie: Din cele prezentate rezultă că înlocuirea ionilor dintr-o rețea cu alți ioni, care au aceeași sarcină, aceeași valență și aceeași rază, nu modifică energia reticulară și deci nu duce la modificarea rețelei respective.

Energia reticulară este unul din factorii determinați ai proprietăților materiei cristalizate.

3. LEGĂTURILE DINTR-UN PARTICULELE CONSTITUATIVE ALE REȚELEI CRYSTALINE.

Caracterul rețelei cristaline este determinat nu numai de starea particulelor componente (atomi, ioni sau molecule), de dimensiunile acestora ci și de forțele de legătură care le unesc și care determină în mare măsură proprietățile fizice și chimice ale cristalelor.

După natura particulelor componente, după proporzii-

le atomilor care constituie rețeaua și după modul cum acționează forțele lor electrostatice, se pot realiza mai multe feluri de legături între aceste particule, dar principalele, sînt patru tipuri de legături; ionice sau heteropolare, covalente sau homeopolare, metalice și Van der Waals.

6.1. Legăturile ionice

După cum știm, elementele cu număr ceva mai mic sau mai mare de electroni decît gazele inerte învecinate, care au adică un număr mai mic de electroni pe ultimul strat, au tendința de a ajunge la o configurație stabilă de tipul gazelor inerte, de exemplu, sau alt tip stabil.

Aceasta se realizează prin cedarea sau primirea unor asemenea electroni care au legătura slabă sau prin punerea în comun a unor asemenea electroni.

Astfel Na, din grupa metalelor alcaline cu numărul de ordine 11 are un electron în plus față de gazul inert vecin, Ne₁₀. Acest electron are o orbită foarte excentrică și o legătură mult mai slabă decît cei din stratul inferior, saturat. Natriul are tendința de a ceda acest electron pentru a rămîne cu configurația stabilă a neonului. În acest caz însă, nucleul său rămîne cu o sarcină pozitivă în plus față de înveliș și se transformă într-un ion pozitiv sau cation.

Pe de altă parte, de ex. Cl. din grupa halogenilor, care are numărul de ordine 17, cu 7 electroni în stratul periferic M, are un electron în minus față de gazul inert vecin Ar, cu numărul 18.

El are tendința de a capta un asemenea electron pentru a-și completa octetul pe ultimul înveliș (M) și a ajunge la forma stabilă a aragonitului.

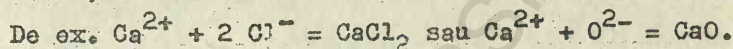
Prin captarea acestui electron, clorul capătă o sarcină electrică negativă în plus față de sarcinile pozitive ale nucleului și devine ion negativ sau anion.

În felul acesta, halogenii captînd electronii slab legați ai metalelor alcaline, ambele elemente se vor transforma în ioni de semn contrar care se vor atrage și se vor neutraliza.

Legătura realizată între cei doi ioni este o legătură ionică.

Metalele bivalente din grupa a II-a, care au câte doi electroni slab legați și în plus față de gazele inerte vecine, au tendința de a ceda acești electroni, devenind cationi bivalenți.

Electronii lor pot fi captați de doi atomi de halogen sau de elementele din gr. VI, care au câte doi electroni în minus față de gazele inerte vecine și care devin anioni bivalenți.



Cu aceeași tendință de a ajunge la configurația de gaz inert, adică de ionizare, unele elemente se pot transforma, în anumite condiții, fie în cationi, fie în anioni, cedând sau captând electronii din stratul nesaturat,

Astfel S_{16} cu 6 electroni pe învelișul periferic, ^{16}S , poate capta 2 electroni, devenind anion bivalent cu configurația argonului, ca în sulfuri, sau, poate ceda cei 6 electroni devenind cation hexavalent, cu configurația neonului, ca în sulfați.

Un caracter aparte prezintă elementele din partea a II-a a perioadelor IV-VI, care urmează după Ni_{28} , Pd_{46} și Pt_{78} , începând cu Cu_{29} , care are în învelișurile K, L, M, N respectiv 2, 8, 18 și 1 electron.

Aceștia, prin cedarea electronilor de valență, devin cationi cu configurația Kr_{36} , Xe_{54} și Rn_{86} , având învelișul stabil format din 18 electroni (v. tablou). Ei au mai fost numiți și cuproioni.

6.2. Valența electrostatică

După concepțiile mecanicii cuantice, electronul se mișcă atât de repede pe traiectoria sa, mobilă în jurul nucleului, încât sarcina lui electrică poate fi considerată ca răspândită în jurul nucleului sub forma unui nor de electricitate negativă, așa numitul nor electronic.

Orbita liniară din modelul atomic al lui Bohr este

înlocuită în acest caz cu o orbită care reprezintă domeniul în care electronul poate fi găsit în modul cel mai frecvent.

Forma norului electronic poate fi sferică sau elipsoidă. La particulele ionice, forțele electrostatice de atracție, sînt neorientate și se repartizează în mod egal între ioni vecini de semn contrar.

Astfel, de ex., în cazul NaCl, unde fiecare ion de Cl este înconjurat octaedric de 6 ioni de Na și invers, valența anionului este echilibrată de cîte $1/6$ din valența fiecăruia din cei 6 ioni de Na care-l înconjoară, după cum valența cationului este, la fel, echilibrată de cîte $1/6$ din valența fiecărui ion de Cl care-l înconjoară.

Fracțiunea de valență care contribuie la echilibrarea sarcinei de valență a ionului de semn contrar în a cărui coordonare se găsește ionul central considerat, a fost numită de către Pauling, valență electrostatică.

Socotind anionul ca ion central, valența electrostatică este dată de relația: $V_e = \frac{A}{N_c}$. În cazul NaCl și pentru anionul Cl^- și pentru cationul Na^+ , tot monovalent, $V_e = \frac{1}{6}$.

În cazul CaF_2 , cu număr de coordonare 8: 4, fiecare ion de Ca^{2+} cedează unui ion F^- , $1/8$ din cele 2 valențe ale sale și deci valența electrostatică a Ca^{2+} este $2 \cdot \frac{1}{8} = \frac{1}{4}$ dintr-o valență și de asemenea, fiecare ion de F^- cedînd cîte $1/4$ din valența sa fiecăruia din cei 4 ioni de Ca^{2+} din coordonarea sa, are valența electrostatică tot egală cu $\frac{1}{4}$.

În cazul acestor cristale ionice nu mai este vorba de molecule NaCl de ex., ci de o structură continuă, în care ioni pozitivi și negativi se repetă periodic în coordonarea respectivă.

Structurile ionice în care valențele electrostatice sînt repartizate uniform, ca în NaCl, se numesc structuri ionice izodesmice.

În alte structuri valențele electrostatice nu sînt însă uniform repartizate. Astfel, în cazul KNO_3 , azotul formează cu oxigenul un anion complex, $(NO_3)^{1-}$ în care N^{5+} este strîns leagat coordinativ de trei ioni de O^{2-} prin 5 din cele

6 valențe ale lor, iar pentru K^{1+} rămîne o singură valență.

Asemenea cristale ionice, anizodesmice, prezintă și sulfatii (radical $(SO_4)^{2-}$, carbonatii, (radical $(CO_3)^{2-}$ etc.

În unele cazuri cationul central din radical leagă numai jumătate din valențele oxigenului, celelalte valențe ale anionului sînt legate de cationi secundari, ca de ex. în cazul zirconului $4+ Zr^{4+} [SiO_4]^{4-}$. Aceste structuri se numesc mezo-desmice.

Trebuie remarcat faptul că în ionii complecși, formați în urma unei puternice polarizații a ionilor de oxigen nu mai este vorba de legături ionice propriu-zise, ci, mai degrabă, de niște legături de tranziție între cele ionice și cele covalente.

Legăturile ionice conferă substanțelor proprietăți care sînt în funcție de caracterul ionic, de tăria legăturilor și de distanța dintre ioni.

Astfel duritatea cristalelor este proporțională cu valența și invers proporțională cu distanța interatomică.

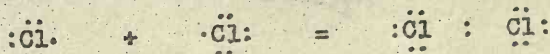
Tot la fel variază temperaturile de topire. De ex. $d_{NaI} = 3,18 \text{ Å}$ și are p.t. = 660° pe cînd $d_{NaF} = 2,31 \text{ Å}$ iar p.t. = 988° .

Cristalele ionice au în general coeficienți de dilatare termică mici și sînt dielectrice. Conduc însă electricitatea în stare topită și uneori în soluție apoasă, ca urmare a disociației electrolitice, cum îi cazul de ex. al clorurilor halogenate. Cu excepția TR și a metalelor de tranziție, acestea sînt în general, transparente și incolore.

6.3. Legăturile covalente

Legătura covalentă, homeopolară sau atomică se realizează prin punerea în comun a cîte unui electron de valență a atomilor neutri, de același fel sau diferiți, care, astfel, capătă o configurație stabilă de gaz inert.

Astfel, doi atomi de clor, punînd în comun cîte un electron, dau molecula de Cl_2 , în care ambii atomi, completîndu-și octetul de electroni, au căpătat configurația atomului:



De asemenea, carbonul, punînd în comun fiecare electron al său cu cîte un electron din 4 atomi de hidrogen, formează o moleculă de metan, în care carbonul capătă configurația neonului, iar hidrogenul, configurația, de asemenea stabilă, a heliului.

În cazul legăturii covalente electronii din dublet se mișcă în jurul ambelor nuclee atomice, pe o orbită moleculară, care reprezintă întrepătrunderea celor două orbite atomice.

Aici norul electronic nu mai este sferosimetric. Densitatea lui maximă se găsește între nucleele atomilor, așa că legăturile capătă o orientare determinată.

Coordonarea depinde de valență și de aceea numerele de coordonare sînt mici (1-4).

În cazul diamantului, unde atomii de carbon tetravalent au o coordonare tetraedrică, legătura covalentă se realizează prin formarea a patru dublete de electroni care gravitează în plane perpendiculare pe linia de unire a atomului central cu atomii din colțurile tetraedrului și sînt situate la jumătatea acestei distanțe care este de $1,54 \text{ \AA}$ ($2R_C = 2,0,77$) Fig. 363.

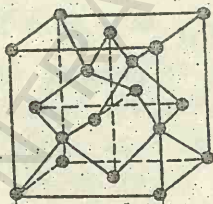


Fig. 363 a

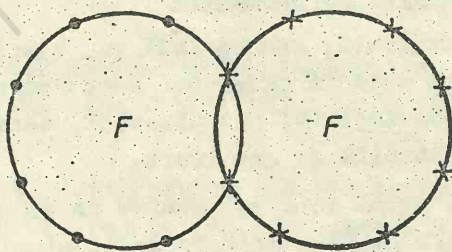


Fig. 363 b.

La rîndul său, fiecare atom din colțul tetraedrului este un atom central în mijlocul altui tetraedru de atomi de carbon, cu aceeași configurație.

Fiecare atom de carbon realizează astfel configurația cu octet de electroni a neonului.

$\begin{array}{c} \cdot \dot{C} \cdot \\ \cdot \dot{C} : \ddot{C} : \dot{C} \cdot \\ \cdot \dot{C} \cdot \end{array}$ După cum se vede, aici cele patru legături covalente sînt orientate simetric în spațiu după cele 4 direcții ale colțurilor de tetraedru, care fac între ele un unghi de $109^{\circ}18'$.

În felul acesta, cristalul apare ca o moleculă uriașă cu rețea de coordonare, ale cărei legături covalente au aceeași tărie în toate direcțiile (structură homodesmică), ceea ce explică duritatea foarte mare a diamantului ($D = 10$).

Această structură este întîlnită la foarte mulți compuși organici, unde atomii de carbon au aceeași coordonare tetraedrică și aceeași distanță interatomică ($1,54 \text{ \AA}$).

Orientarea tetraedrică a legăturilor dintre atomi nu permite însă o aranjare compactă și de ex. la diamant, atomii de carbon ocupă numai 33,8% din volum.

Legăturile covalente conferă, în general substanțelor proprietăți asemănătoare cu legăturile ionice, dar nici în stare topită acestea nu conduc electricitatea.

Ele au indici de refracție foarte mari și luciu adamantin.

Absorbția luminii variază cu tăria legăturilor covalente:

- la diamant acționează numai în spectru ultraviolet; pentru rest, diamantul este transparent;

- la blendă, siliciu, staniu, care au legături mai slabe, se produce absorbția în spectrul vizibil; sînt colorate și ne-transparente.

6.4. Legăturile metalice

Spre deosebire de legătura ionică și de cea covalentă, aici electronii de valență nu mai aparțin unui singur atom. Fiecare atom cedează acești electroni, care formează un sistem electronic comun întregii structuri, un "nor" sau "gaz" electronic, în care sînt învăluiți atomii lipsiți de învelișul periferic al electronilor de valență care poartă din această cauză un exces de sarcini pozitive din nucleu.

Această situație a atomilor învăluiți de norul de electroni face ca structurile să fie determinate numai de raporturile geometrice. Prezența acestui sistem electronic comun explică conductibilitatea electrică și calorică, opacitatea și puterea mare de reflexie a metalelor.

Și aici "norul de electroni este sferosimetric, așa că forțele de legătură sînt neorientate și acționează cu aceeași putere în toate direcțiile, determinînd o aranjare compactă a atomilor în structuri care au numere mari de coordonare, pînă la 12.

Aceste structuri, foarte caracteristice pentru metale, mai pot fi întîlnite și la o serie de sulfuri, arseniuri etc.

Legăturile metalice determină structuri simple: pe de-o parte aranjări cubice compacte și cubice centrate intern, iar pe de altă parte, hexagonal compacte, care conferă metalelor proprietăți mecanice deosebite.

Cele cu aranjare cubică se deosebesc prin plasticitatea lor foarte accentuată (maleabile, ductile), ca de ex. Au, Cu, Fe, pe cînd cele cu aranjare hexagonală, cu rețeaua mai rigidă, sînt în general casante (de ex. Mg.).

6.5. Legăturile Van der Waals

Legăturile Van der Waals sau moleculare se realizează între moleculele care ocupă nodurile rețelei cristaline, pe baza valanțelor reziduale, în cea mai mare parte neorientate, așa că nici forțele Van der Waals, în ansamblu, nu sînt orientate în spațiu și pot duce la structuri compacte de coordonare ridicată.

Numai rar însă forma moleculei este sferică și de aceea aranjarea completă a atomilor se realizează adesea în mod destul de complicat.

Forțele de legătură Van der Waals dintre molecule sînt slabe, dar în interiorul moleculelor acționează de obicei forțe puternice de atracție de altă natură (covalente etc.), așa că din punct de vedere al legăturilor, rețelele moleculare apar ca rețele complexe.

Ele se întîlnesc la cristalele de grafit, iod, sulf etc. și la foarte multe combinații organice.

Legăturile Van der Waals conferă cristalelor o duritate mică, temperatură joasă de topire și solubilitate mare. Dau compresibilitate și coeficienți de dilatare termică mari.

Cristalele nu conduc electricitatea, sînt transparente și diamagnetice, ceea ce le deosebește categoric de structurile metalice.

6.6. Forme intermediare și complexe de legături

Am examinat mai sus cele patru tipuri principale de legături întîlnite la cristale dar, cristale a căror structură să fie asigurată de un singur asemenea tip de legătură, sau mai cu seamă de un asemenea tip de legătură pur, se întîlnesc mai rar.

Mai frecvent se întîlnesc cristale în care acționează mai multe feluri de legături sau acționează legături intermediare, între diferite tipuri.

Rețele care prezintă un singur tip de legătură, cum este de ex. rețeaua metalică a cuprului și a metalelor, în general, se numesc homodesmice.

Structurile care prezintă mai multe feluri de legături se numesc heterodesmice. Așa sînt rețelele ionice cu ioni complecși ca KNO_3 , rețelele stratificate, ca rețeaua molibdenului (MoS_2) și așa sînt, în general, rețelele moleculare, cum este de ex. rețeaua sulfurului rhombic.

Legăturile intermediare între tipurile principale de legătură se realizează în două moduri: prin polarizarea ionică și prin rezonanță sau mezonarie.

În urma polarizației ionice puternice, legătura ionică își pierde, mai mult sau mai puțin caracterul heteropolar, devenind semipolară sau semionică.

Astfel se realizează legăturile de tranziție între legătura ionică și legătura covalentă, ca de ex. în cazul blendei (ZnS).

Ca urmare a influenței reciproce dintre diferite tipuri de legătură care acționează în aceeași structură, ia naștere un tip intermediar de legătură, bine determinat prin energia sa caracteristică. Această legătură de rezonanță ar fi o resultantă a diferitelor tipuri de legătură care se compun, așa cum se consideră în cazul apei, unde patru feluri de legături, polare, nepolare și semipolare, sau naștere unei legături unice, de rezonanță.

În structurile ionilor complecși acționează forțele de legătură covalente în interiorul ionului complex, iar între ionii complecși și ceilalți ioni simpli acționează preponderent forțele de legătură heteropolare.

Legătura covalentă dintre doi atomi se realizează prin punerea în comun a câte unui electron. În cazul ionilor complecși, de multe ori însă, cei doi electroni puși în comun aparțin numai la unul din cei doi atomi (donorul), realizând orbita cu celălalt atom (acceptorul), numai pe seama lor. Aceste legături sînt legături coordinative sau dipolare. Ex. $(\text{NH}_4)^+$ în halogenuri, $(\text{CO}_3)^{2-}$ în calcită, $(\text{SO}_4)^{4-}$ în sulfați anhidri etc., precum și în silicații cu tetraedri de $(\text{SiO}_4)^{4-}$.

Rețelele ionice stratificate constă din pachete alcătuite dintr-un plan de cationi situat între două straturi de anioni.

Asemenea structuri se întîlnesc la rețelele ionice cu cationi puternic electropozitivi și anioni cu electroni de

văle... slab legați, unde anionii sufer o deformare puternică prin polarizare.

Aici, cationul este înconjurat simetric de anioni, pe cînd în jurul anionului, cationii sînt distribuiți asimetric.

În interiorul pachetului se realizează legături heteropolare între cationi și anioni, dar și legături covalente între cationii din același strat.

Între pachete, care vin în contact prin strate de același fel (anioni), acționează forțele slabe, Van der Waals, care permit clivajul lesnicios al cristalelor. De ex. CaI_2 , PbI_2 , Li(OH) .

Rețeaua grafitului este tot o rețea stratificată în care atomii de carbon formează plane reticulare cu ochiuri hexagonale, unde fiecare atom de carbon este legat covalent cu trei atomi vecini. A patra valență care-l leagă de un atom din stratul vecin intră în compunerea forțelor moleculare care fac legătura mult mai slabă dintre strate, cauza clivajului foarte ușor.

În rețelele moleculare, atomii sînt legați covalent în molecule, iar moleculele sînt legate între ele prin forțe Van der Waals. Ex. H_2O , CO_2 , H_2O_2 , compuși organici.

În rețelele metaloidice acționează legăturile mixte, covalente, ionice și metalice.

6.7. Identificarea caracterului legăturilor structurale după densitatea electronilor.

În intensitatea difracției razelor X pe diferite plane reticulare ale unui cristal depinde de structura particulei și mai ales de numărul și repartiția electronilor din învelișul atomilor componenți.

Interpretînd, prin analiza matematică, valorile acestor intensități, se construiesc diagrame cu curbe de egală densitate de electroni.

În jurul fiecărui atom sînt dispuse curbe concentrice dese, care reprezintă proiecția suprafețelor sferice, de egală densitate, a electronilor ce înconjoară nucleul.

În spațiul dintre particule, aceste curbe se răresc și capătă forme mai puțin simetrice, eliptice, de lemniscate etc.

Din dispoziția acestor curbe se poate stabili poziția și felul de legătură al atomilor în structură cristalină.

Astfel, în jurul rețelelor cu legături polare între două particule învecinate scade pînă la zero; de unde rezultă că în aceste structuri, legătura nu se realizează prin electroni comuni. Acest lucru se vede în diagrama NaCl, realizată prin proiecția pe planul (110) al rețelei (fig.364).

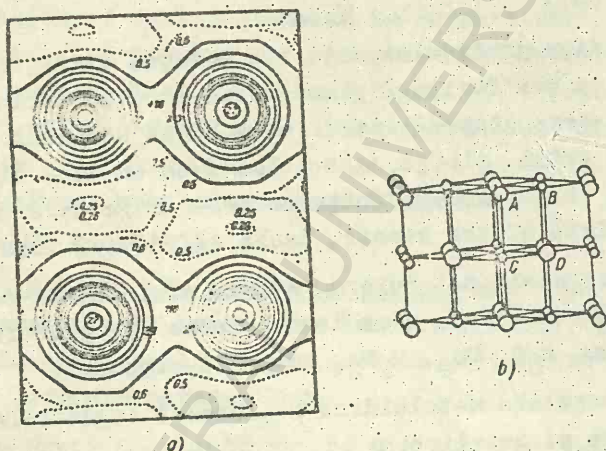


Fig. 364.

În cazul rețelelor cu legătură homeopolară sau metalică, densitatea electronilor între particule învecinate scade treptat, ajungînd însă, la valori minime diferite de zero.

În cazul legăturilor covalente particulele vecine sînt legate între ele prin așa numitele "punți de electroni", în care minimele au valori mai ridicate decît în spațiul din jurul atomilor covalenți, așa cum se poate vedea din diagrama diamantului, realizată prin proiecția rețelei tot după (110) (fig.365).

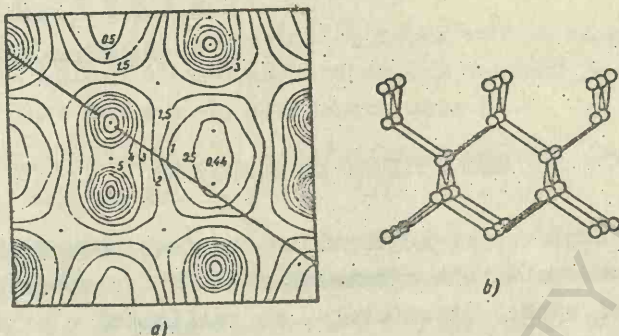


Fig. 365.

În cazul legăturilor Van der Waals, apar de asemenea unele "punți de electroni" care arată în fapt caracterul complex al acestor legături.

Legăturile metalice se pun în evidență printr-o repartiție omogenă a electronilor în spațiul interatomic al rețelei.

CRISTALOGRAFIE

3. CRISTALOCIMIE.

XIV. TIPURI DE STRUCTURI

După natura legăturilor care acționează între particulele componente ale cristalelor și după proprietățile lor chimice și atomic-structurale, se realizează o gamă foarte variată de structuri reticulare.

În prezentarea sistematică a acestor structuri s-a folosit, în primul rând, o grupare a lor pe baza compoziției chimice, de la elemente până la compuși cei mai complecși.

În cadrul acestor grupări cu compoziție chimică analogă, s-au separat clase de cristale pe criteriul geometric și al legăturilor care acționează în structură.

Pe măsură ce se aprofundează cunoștințele despre natura și modul de acțiune al acestor legături, se caută să se facă o clasificare bazată, în principal, pe tipul predominant de legătură chimică și pe starea de ionizare a particulelor. În modul cel mai simplu și mai general, această clasificare grupează structurile după cele patru tipuri principale de legături: metalice, ionice, atomice și moleculare.

Structurile heterodesmice, bazate pe forme intermediare sau complexe de legătură, se cuprind într-una din aceste grupe, în general în grupa pe care o indică legătura predominantă. După acest criteriu vom prezenta, în cele de urmează, unele dintre tipurile mai importante și caracteristice de structuri.

1. REȚELE METALICE.

1.1. Structuri homodesmice ale elementelor metalice.

Metalele alcaline, alcalino-pământoase, berilul, magneziul, cuprul, argintul, aurul și elementele de tranziție, prezintă o structură compactă cu legătură pur metalică, sînt homo-

destin. Aceasta face ca ele să fie numite și "metale adevărate".

a. Tipul cuprului reprezintă o rețea cubică compactă al cărei paralelipiped elementar este un cub centrat pe fețe (fig.366), în care numărul de coordonare este 12.

În afară de cupru, o asemenea structură mai prezintă Au, Ag, Ca, Sr, Al, Pb, Ni, Pt etc.

b. Tipul wolframului reprezintă o rețea cubică centrată intern (fig.367), cu numărul de coordonare 8.

Acest tip de structură se mai întâlnește la metalele alcaline, la Ba, V, Mo, α -Fe etc.

c. Tipul magneziului constă dintr-o rețea hexagonală compactă care are paralelipipedul elementar de forma unei prisme hexagonale cu bazele centrate și cu interiorul a trei prisme trigonale componente, alternativ, centrate (fig.368). Numărul de coordonare este 12.

La fel cu magneziul au structura și Be, Ti, Zr, β -Co etc.

Aceste structuri cu legătură tipic metalică și compacte prezintă, pe lângă proprietățile comune pe care le conferă acest tip de legătură interatomică și unele proprietăți caracteristice aranjării particulelor componente.

Astfel, maleabilitatea, care se datorește planelor de mare densitate reticulară, ce sînt în același timp planele de translație, se manifestă la metalele cu structură cubică compactă de tipul cuprului, după fețele (111) - pe patru direcții - deci mult mai intens decît la metalele cu structură hexagonală compactă unde plane de mare densitate și direcții de translație nu sînt decît fețele de bază (0001) și mai intens ca la metalele cu structură de cub centrat intern, care sînt dure și casante.

Un loc aparte ocupă, din acest punct de vedere, fierul, care prin tratament termic poate căpăta și proprietăți caracteristice metalelor din prima categorie și proprietăți caracteristice celei de-a doua categorii, ceea ce-i conferă deosebite calități metalurgice.

1.2. Structuri heterodesmice ale elementelor metalice.

Unele elemente metalice și semimetale prezintă struc-

turi de simetrie, în general mai coborită, cu aranjarea mai puțin compactă, în care legăturile prezintă treceri de la legătura metalică spre legătura covalentă, structuri heterodesmice.

Tipul zincului reprezintă o rețea hexagonală mai puțin compactă cu raportul $c:a=1,9>1,63$ al structurii compacte.

Aici fiecare atom este mai apropiat de 6 atomi vecini din același plan, legăturile devenind parțial covalente, pe cînd legăturile cu atomii din stratele vecine sînt legături metalice.

Aceeași structură are și Cd.

b. Tipul indiumului reprezintă o rețea tetragonală pseudo-cubică ($c:a=1,08$), cu fețele centrate. Legăturile din planele reticulare au caracter parțial covalent, pe cînd între aceste plane legăturile sînt metalice.

c. Tipul stibiului reprezintă o rețea în formă de romboedru pseudo-cubic, cu unghiuri puțin diferite între ele ($94^{\circ}54'$, $92^{\circ}53'$ și $92^{\circ}20'$).

Fiecare atom este mai puternic legat de trei atomi vecini, constituind straturi (001), în care legăturile au rezonanță covalentă, pe cînd între strate acționează legăturile metalice, mai slabe.

1.3. Structuri intermetalice homodesmice.

În anumite unități, metalele se pot substitui unele prin altele în nodurile rețelelor formînd aliaje ale căror structuri au aceleași caractere metalice.

Proporțiile în care se pot face aceste amestecuri omogene sînt în funcție de dimensiunile atomilor, de structura învelișului lor electronic și sînt condiționate de asemănarea rețelelor lor cristaline.

De multe ori atomii substituenți sînt amestecați în proporții arbitrare, care se abat de la legea proporțiilor definite, constituind adevărate soluții solide. Atomii ocupă poziții întâmplătoare în rețeaua componentului principal formînd faze neordonate la orice temperatură și la orice proporție, ca

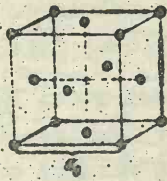


Fig. 366.

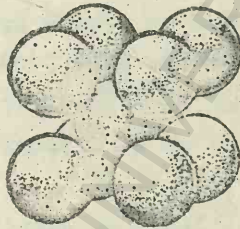
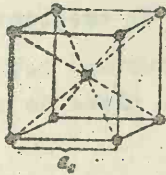


Fig. 367.

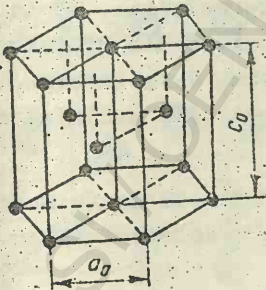


Fig. 368 a.

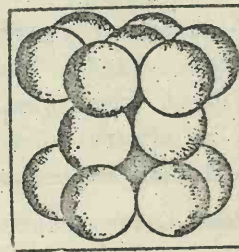


Fig. 368 b.

în sistemul Au-Ag, sau Au 3 Cu (fig.369 a), cu rețeaua cub centrat pe fețe, în care atomii celor două metale se situează, în mod arbitrat, pe colțuri și pe mijlocul fețelor.

Uneori, însă, când razele celor doi atomi se deosebesc prea mult, amestecurile neordonate se realizează numai la temperaturi ridicate. Prin răcire lentă rezultă structuri ordonate, în care atomii celor două metale ocupă anumite poziții simetrice - în rețea, iar atomii componentului în exces față de cerințele structurii sînt separați,

Astfel, sistemul Au-Cu, în care $R_{Au} = 1,44 \text{ \AA}$ și $R_{Cu} = 1,28 \text{ \AA}$, în faza neordonată, de temperatură înaltă, prezintă o rețea compactă în formă de cub centrat pe fețe ca și sistemul Au-Ag, pe cînd la răcire treptată se formează două feluri de rețele ordonate, după proporția de amestec:

-în faza AuCu se realizează o structură tetragonală în care plane de atomi de Au alternează cu plane de atomi de Cu (fig.369 b).

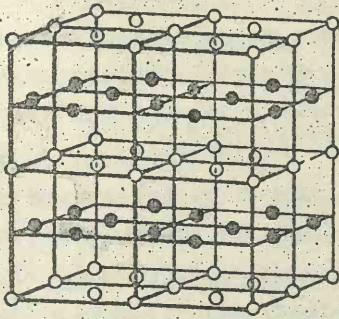
-iar în faza AuCu₃ se realizează o rețea cubică simplă de atomi de Au, centrată pe fețe cu atomi de Cu (fig.369 c).

În ambele cazuri structurile apar ca și cum ar fi compuse din două rețele distincte, pentru fiecare metal, întrepătrunse după anumite reguli. Asemenea rețele se mai numesc și suprastructuri sau suprarețele.

O categorie aparte de rețele intermetalice, cu caracter de soluții solide, dau elementele metalice din grupele 2, 3, 4, și cele de tranziție. Aici se pot forma faze intermediare succesive, pe măsura coborîrii temperaturii și a modificării proporției dintre componenți.

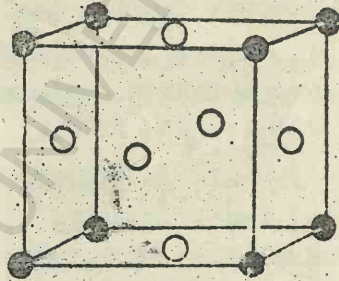
Faze intermediare cu structură ordonată se formează și sub influența unui anumit raport între razele metalelor componente, cuprins între 1 și 1,4.

Astfel, la raportul $1,225 = R_{Mg} : R_{Cu}$, se formează în faza MgCu₂, o rețea de Mg de tipul diamantului, cub centrat pe fețe, în care 1/2 din golurile tetraedrice sînt ocupate de Mg, iar cealaltă 1/2 de goluri tetraedrice este ocupată de atomii de



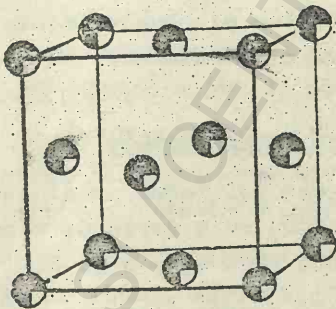
● Au ○ Cu
(a)

Fig. 369 a.



● Au ○ Cu
(b)

Fig. 369 b.



● $\frac{Au + 3 Cu}{4}$

Fig. 369 c.

Cu, care formează, la rîndul lor, tot un tetraedru.

Caracteristic pentru aceste faze intermediare este faptul că structura lor depinde de raportul dintre suma electronilor de valență și numărul atomilor celulei primitive. De aici și denumirea lor de combinații electronice.

Se cunosc trei tipuri de structuri corespunzătoare a trei faze cu rapoarte diferite, notate cu litera γ , și ξ : x

-faza γ corespunzătoare raportului electroni : atomi = 3 : 2., care prezintă o structură cubică centrată intern, ce cuprinde aliaje ca AgCd , Cu_5Sn , CuZn etc.;

-faza ξ , corespunzătoare raportului 21:13, care reprezintă o structură cubică complicată, cu 52 atomi în celulă cu aliaje ca: $\text{Cu}_{31}\text{Sn}_8$, Cu_5Zn_8 , Ag_5Cd_8 etc.

-faza ξ , corespunzătoare raportului electroni: atomi = 7:4, cu o structură hexagonală compactă care are de ex. aliajele CuZn_3 , Cu_3Sn , AgCd_3 .

1.4. Structuri intermetalice heterodesmice

Între "metalele adevărate" și elementele cu caracter metaloidic din grupele 4-7, se formează combinații intermetalice care prezintă două feluri de structuri heterodesmice.

-structuri cu legături metalice și ionice, ca în cazul Mg_2Ge , Mg_2Pb , MgS , MgTe și

-structuri cu legături metalice și covalente, cum sînt majoritatea sulfurilor, seleniurilor etc. metalice (PbS , FeS_2 etc.).

1.5. Structuri metalice interstițiale

Structuri metalice heterogene pot forma metalele de tranziție care au o structură compactă, cu o serie de elemente nemetalice de dimensiuni mici, cum sînt C, B, N și H.

În structura cubică compactă aceste elemente ocupă, între atomii metalici, golurile tetraedrice și octoedrice, fiind tangente la sferele atomilor metalici din rețea. Ex. TiC , ZrC , ZrN , TiN etc., apoi W_2N , Mo_2N etc., care apar în coordonare octaedrică și compuși cu hidrogenul, hidruri, care apar în coordonare tetraedrică. Ex. ZrH , TiH .

În structurile hexagonale compacte apar atât compuși de coordonare octaedrică (W_2C , Mo_2C , Fe_2N), cât și compuși de coordonare tetraedrică (Zr_2H , Ti_2H etc.).

Deosebit de importante sînt structurile interstițiale ale carbonului în fer, cu formarea unor soluții solide cu diferite proporții de carbon, constituind oțelurile - carbon, foarte importante din punct de vedere tehnic și pentru faptul că unele dintre ele prezintă durități foarte mari (uneori depășind duritatea diamantului).

2. REțele COVALENTE

Structurile covalente sînt, în general, puțin răspîndite. Mai rare sînt însă structurile homodesmice, cu legături exclusiv atomice, care au și structuri foarte simple.

Legăturile heterodesmice, cu legături predominante homopolare dar cu rezonanță ionică și mai ales metalică sînt frecvent întîlnite.

a. Tipul diamantului. Carbonul cristalizat în sistemul cubic are o rețea cubică contrată pe fețe în care $1/2$ din ge-lurile tetraedrice sînt de asemenea ocupate de atomi de carbon care formează un tetraedru.

Structura apare ca formată din două rețele cub contrate pe fețe întrepătrunse după $1/4$ din diagonala spațială a cubului elementar.

Fiecare atom de carbon este înconjurat tetraedric de alți patru atomi de carbon (fig. 370).

Structura homodesmică de coordonare tetraedrică a diamantului este caracterizată prin legături tipic covalente puternice, care-i dau duritatea maximă.

Perpendicular pe direcția axei L^3 apar straturi hexagonale de atomi, așezați după un plan de simetrie (111), cu legăturile hexagonului în zig-zag, făcînd între ele un unghi de $109^\circ 28'$ (fig. 371).

Aceasta explică și forma obișnuit octaedrică a cristalelor de clivajul după fețele (111).

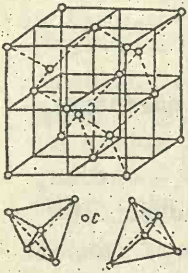


Fig. 370

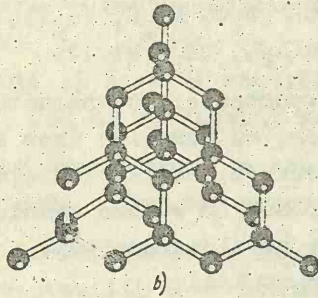


Fig. 371a

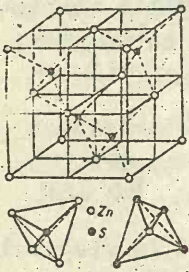


Fig. 372a

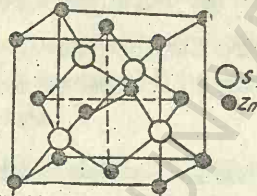


Fig. 372b.

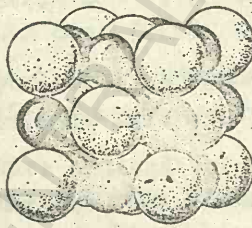
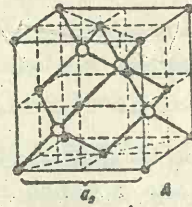


Fig. 373

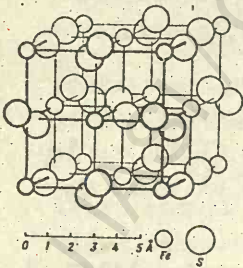


Fig. 374a

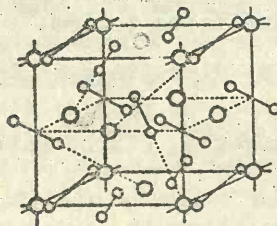


Fig. 374b.

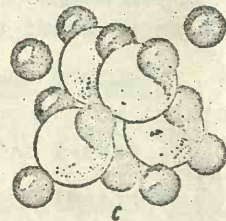
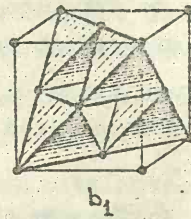


Fig. 372b1

b. Structura blendei. (ZnS) este geometric identică cu structura diamantului, dar aici atomii de zinc sînt înconjurați tetraedric de atomii de sulf și invers, așa încît într-un cub centrat pe fețe de S, jumătatea din octanții cubului sînt ocupați de atomi de Zn, care constituie tetraedrul din interior.

Axa L^3 este aici polară, atomii de Zn fiind situați față de atomii de sulf într-un singur sens al direcției L^3 (fig. 372).

Structura este caracterizată printr-o legătură intermediară între legătura covalentă și cea ionică.

Caracterul mai pronunțat covalent al legăturilor se datorește polarizării foarte puternice pe care o sufer ionii de sulf.

Asemenea structuri, cu configurația geometrică a diamantului, se numesc structuri adamantine și se întîlnesc la elementele din grupa a IV-a (cu 4 electroni de valență) și la combinațiile de tipul AX ale elementelor situate simetric de-o parte și de alta a grupei a IV-a, la care semisuma valențelor este egală cu patru. Ex. CdS (2-6), AlN (3-5) etc.

c. Structura galenei (PbS) se aseamănă geometric cu cea a NaCl ; atomii de S au o coordonare octaedrică față de cei de Pb și invers.

Structura apare ca formată din două rețele cub centrat pe fețe, una de S și alta de Pb, întrepătrunse după $a/2$ pe toate cele trei direcții (fig. 373).

De lîngă legătura covalentă mai apare aici și legătura de rezonanță metalică, care dă cristalului caracterul de semiconductor.

d. Rețeaua piritei (FeS_2) este asemănătoare cu cea a galenei, dar în locul atomilor de S apar molecule S_2 , care alternează cu atomii de Fe. Cei doi atomi din molecula de sulf sînt orientați paralel cu direcția (111) (fig. 374).

În afară de legătura covalentă a atomilor din molecula de sulf, se manifestă, ca și în cazul galenei, caracterul

metalic al legăturilor care-i dă luciu metalic și conductibilitate electrică.

e. Structura marcasitei (FeS_2) reprezintă o rețea rombică prismatică de tipul F al lui Bravais, în care atomii de Fe ocupă colțurile și centrul paralelipipedului, iar cei doi atomi din molecula de sulf sînt așezați ca și la pirită, pe mijlocul fețelor și al muchiilor de prismă.

Legăturile au și aici un caracter covalent cu rezonanță metalică.

f. Tipul molibdenitului (MoS_2) prezintă o structură hexagonală stratificată, în care atomii de Mo formează o rețea plană cuprinsă între două asemenea plane de atomi de S.

Fiecare atom de Mo este înconjurat de 6 atomi de S, care ocupă colțurile unei prisme trigonale componente a paralelipipedului.

Legăturile dintre atomii unui strat sînt legături covalente, pe cînd între strate legăturile au caracter metalic, mai slab, ceea ce explică clivajul ușor al cristalelor după plane (0001) (fig. 375).

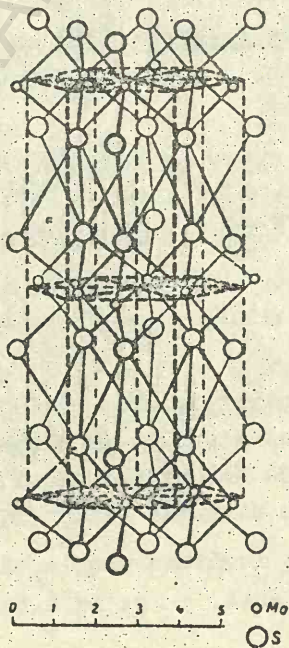


Fig. 375

g. Structura stibinei (Sb_2S_3) constă dintr-o rețea alcătuită din lanțuri duble sau benzi de atomi de S și Sb, paralele cu direcția C (fig. 376).

Atomii de Sb și S din catenă sînt legați covalent, pe cînd între catene se manifestă legături de rezonanță metalică.

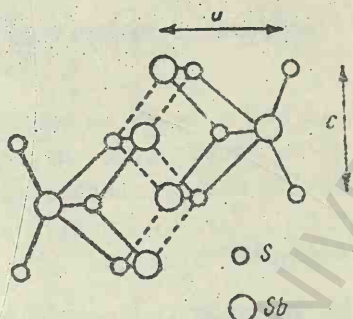


Fig. 376

3. RETELE IONICE

Structurile de coordonare ionică sînt foarte răspîndite în lumea combinațiilor anorganice și se prezintă în tipurile foarte variate.

În cele ce urmează ele vor fi grupate după tăria legăturilor ionice: izodesmice, anizodesmice și mezodesmice.

În cadrul fiecărei grupe, structurile vor fi prezentate în ordinea complicației chimice și după aranjarea geometrică.

3.1 Structuri izodesmice

Compuși de tipul AX.

a. Tipul clorurii de sodiu reprezintă o rețea ionică în care polarizarea slabă permite ca aranjarea geometrică să se facă în conformitate cu raportul $R_K : R_A = (0,54)$, în coordonarea octaedrică.

Rețeaua apare ca și cum ar fi formată din două rețele cub centrat pe fețe, una de Na și cealaltă de Cl, întrepătrunse după $a/2$ pe cele trei direcții (fig.377).

Fiecare ion de Na este înconjurat octaedric de 6 ioni de Cl și invers.

Am întâlnit și la PbS o rețea asemănătoare dar acolo, coordonarea octaedrică nu mai corespunde cu cea indicată de raportul $R_K : R_A$ (0,758), din cauza polarizației foarte puternice, care duce la stabilirea unei legături foarte pronunțat covalente și chiar cu rezonanță metalică.

b. Tipul clorurii de cesiu reprezintă o rețea cubică de Cl centrată intern cu ioni de Cs și invers, ca și cum s-ar întrepătrunde după $1/2$ din diagonala cubului două rețele cubice simple, una de Cl și una de Cs (fig.378).

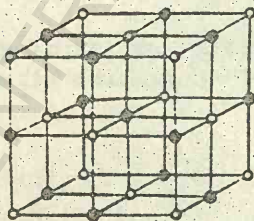


Fig. 377

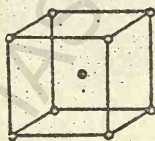


Fig. 378 a.

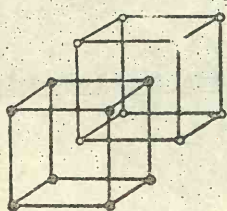


Fig. 378 b

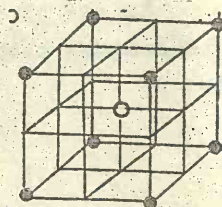


Fig. 378 c.

Compuși de tipul AX_2

Acești compuși formează rețele ionice în care coordonarea are raportul $8 : 4,6 : 3$ și $4 : 2$ deci egal cu $\frac{1}{2}$, pe cînd rețelele limită, cu raportul chiar $1 : 2$ nu mai sînt ionice, (CO_2 are structură moleculară).

c. Tipul fluorinei (CaF_2) reprezintă o rețea cubică centrată pe fețe a ionilor de calciu, în interiorul căreia se găsește o rețea cubică simplă de ioni de fluor, situați în mijlocul octanților.

Coordonarea este $8 : 4$; fiecare ion de calciu este înconjurat cubic de 8 ioni de fluor și fiecare ion de fluor este înconjurat tetraedric de 4 ioni de calciu (fig. 379, 380).

d. Tipul antifuorină al Li_2O

La oxizii și sulfurile unor metale alcaline cum sînt Li_2O , Li_2S și la alți compuși de același tip ca Mg_2Si , Mg_2Sn , Mg_2Pb , Cu_2S , cationii și anionii sînt așezați invers decît la fluorină. Anionii formează o rețea cubică centrată pe fețe, iar cationii formează cuburi simple în interiorul acestora.

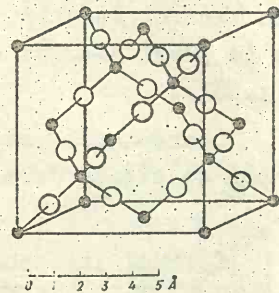
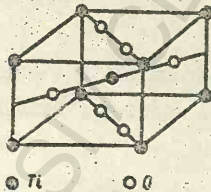
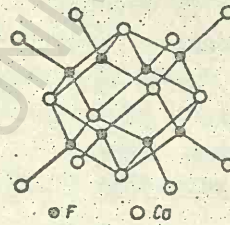
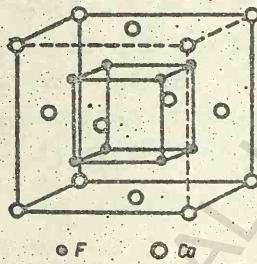
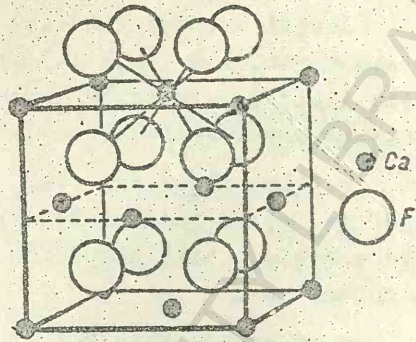
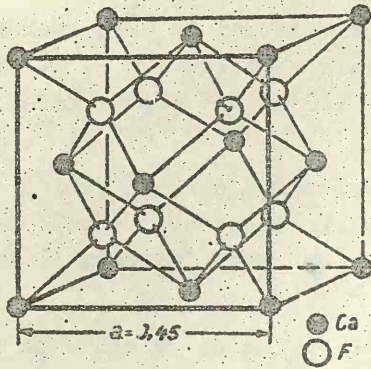
e. Tipul rutilului (TiO_2)

În această structură, titanul formează o rețea tetragonală centrată intern, iar ionii de oxigen sînt dispuși cîte doi pe cîte una din diagonalele paralele ale fețelor de bază și pe diagonala perpendiculară pe această direcție, care trece prin centrul celulei, formînd astfel un octaedru înclinat, așezat în jurul ionului de Ti din interiorul prismei tetragonale (fig. 381).

Coordonarea este $6 : 3$. Ionii de oxigen sînt învecinați cu 3 ioni de titan, care formează un triunghi aproape echilateral.

f. Tipul cristobalitului (SiO_2). Aici Si formează o rețea de tipul diamantului în care fiecare din ionii interior este înconjurat tetraedric de cîte 4 ioni de oxigen (fig. 382).

Un ion de oxigen este vecin cu doi ioni de siliciu, cu care este legat. Coordonarea este deci $4 : 2$.



Structuri ionice stratificate

Atunci cînd se înlocuiesc ionii de fluor și de oxigen cu un ioni mai mari și mai puternic polarizabili se formează structuri stratificate.

Cu cît sarcina cationului este mai mare și cu cît raza anionului este mai mare, cu atît polarizația este mai puternică și stratificarea este mai pronunțată.

Această gradație se poate foarte bine observa la halogenurile de cadmiu, dintre care prima, CdF_2 ($R_A = 1,33 \text{ \AA}$) are o structură de tipul fluorinei (polarizația fluorului este nulă), pe cînd celelalte, cu ioni polarizabili, au structuri stratificate, constituite din pachete anion-Cd-anion.

g. Tipul cloruri de cadmiu (CdCl_2 cu $R_A = 1,81 \text{ \AA}$), constă dintr-o rețea constituită din pachete Cl-Cd-Cl așezate astfel încît cationii se repetă, pe aceeași verticală, din 3 în 3 straturi (fig.383).

h. Tipul iodurii de cadmiu (CdI_2 în care $R_A = 2,21 \text{ \AA}$). Constă dintr-o rețea stratificată în care cationii se repetă, pe aceeași verticală, din 2 în 2 straturi (fig.384).

i. Tipul iodurii de plumb (PbI_2) în care Pb are putere de polarizare mai mare decît Cd, prezintă o rețea stratificată formată dintr-un singur pachet care se suprapune peste următorul (fig.385).

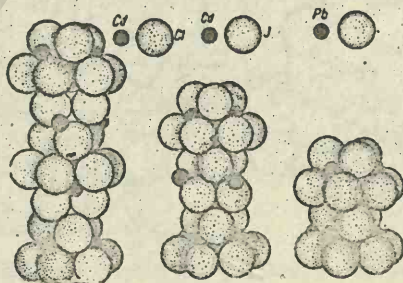


Fig.383

Fig.384

Fig.385

Compusi de tipul A_2X_3

j. Tipul corindonului (Al_2O_3). În structura corindonului oxigenul formează o rețea hexagonală compactă iar ioni de Al, ocupînd $2/3$ din golurile structurii, formează hexagoane, fiind înconjurat octaedric de cîte 6 ioni de oxigen (fig. 386).

Compusi de tipul ABX_3

k. Tipul perowskitului ($CaTiO_3$). Structura perowskitului constă dintr-o rețea în formă de cub simplu, avînd în colțuri ioni Ti^{4+} , în mijloc ionul Ca^{2+} și pe mijlocul laturilor, 12 ioni O^{2-} (fig. 387).

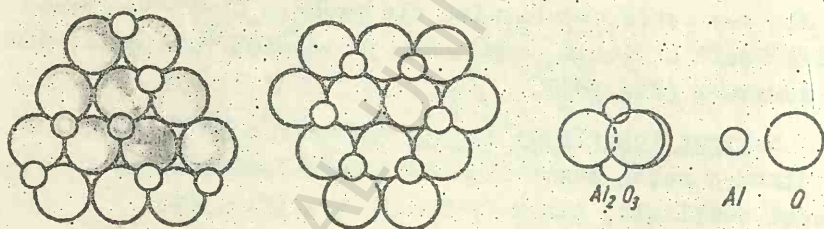


Fig. 386.

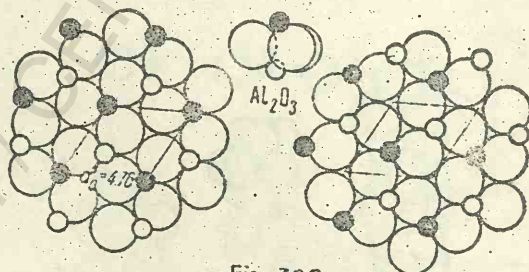


Fig. 386 α

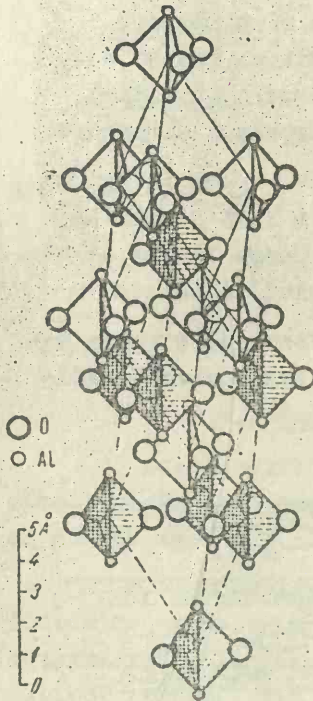


Fig. 386 b.

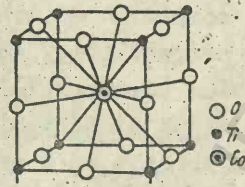


Fig. 387 a

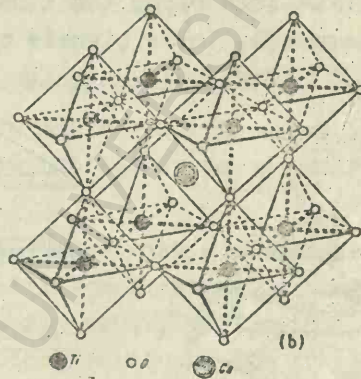


Fig. 387 b.

3.2. Structuri anizodesmice, cu radicali biatomici

Aceste structuri sînt caracterizate prin prezența unor anioni complecși, care împreună cu diverși cationi, formează combinații heteropolare.

Compuși ABX

a. Tipul cianurii de potasiu (KCN) prezintă o structură asemănătoare cu cea a NaCl, în care radicalul $C \equiv N$ - ocupă locul clorului, iar cationul, K ocupă locul Na.

Compuși ABX₂

b. Tipul calcitei ($CaCO_3$ trigonal). Această structură apare la compuși în care $K_A < 1,1$ Å.

Are forma unui romboedru centrat pe fețe cu ioni de calciu, întrepătruns ca la NaCl, de un romboedru centrat pe

fețe, format din radicali $(\text{CO}_3)^{2-}$.

În anionul complex, cei trei ioni de oxigen sînt dispuși într-un plan perpendicular pe L^3 , așa fel încît un ion O^{2-} este situat într-un plan paralel cu fața de romboedru (fig.388).

c. Tipul aragonitei (CaCO_3 rombic). Această structură apare la carbonații care au $R_A > 1,1 \text{ \AA}$.

După cum am mai văzut, Ca^{2+} are $R \approx 1,06 \text{ \AA}$ care la temperaturi mai ridicate de formare crește peste limita de $1,1 \text{ \AA}$. Așa se explică dimorfismul carbonatului de calciu.

În această rețea ioni de calciu formează o rețea hexagonală compactă, între planele căreia se intercalează radicalii $(\text{CO}_3)^{2-}$ (fig.389).

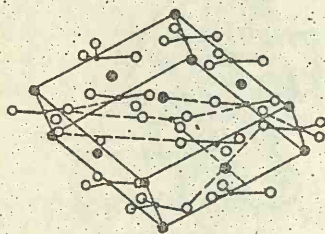


Fig. 388

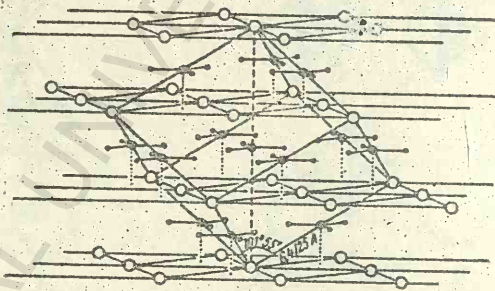


Fig. 389

Compuși ABX_4

d. Tipul anhidritului (CaSO_4) prezintă o structură analogă cu a NaCl , dar cu un paralelipiped Bravais E prismatic pseudotetragonal, cu tetradrii radicalului $(\text{SO}_4)^{2-}$ pe colțuri și pe mijlocul fețelor în locul ionilor de Cl^- și ioni de Ca^{2+} în centru și pe mijlocul muchiilor, în locul ionilor de Na (fig.390).

Compuși ABX_6

e. Tipul hieratitului $\text{K}_2(\text{SiF}_6)$ prezintă o structură de tipul antifluorină în care octaedrii anionului complex $(\text{SiF}_6)^{2-}$ formează un cub centrat pe fețe, iar cationii, K , formează un cub simplu în interiorul acestuia (fig.391). Asemenea rețea are și $\text{K}_2(\text{PtCl}_6)$ (fig.391).

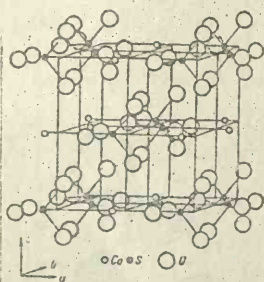


Fig. 390

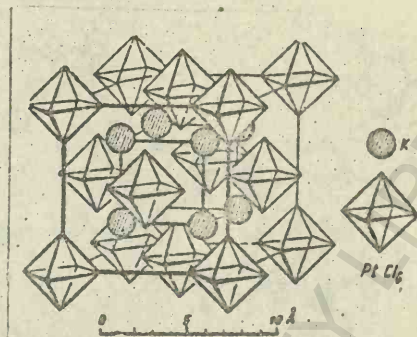


Fig. 391

3.3. Structuri mezodesmice

Aceste structuri se formează numai în cazul ionilor complecși în care cationul este înconjurat de un număr de ioni de oxigen egal cu valența sa.

O caracteristică foarte importantă a combinațiilor mezodesmice este aceea că radicalii complecși se pot lega, prin intermediul valenței libere a oxigenului, nu numai cu diverși cationi străini, dar și cu cationii centrali din grupări de același fel, formând structuri finite (ciclice) sau infinite (în formă de lanțuri, benzi, plane tridimensionale).

Asemenea structură au borații cu $(\text{BO}_3)^{3-}$ și marea clasă a silicaților, cu $(\text{SiO}_4)^{4-}$.

a. Structura boraților

a.1. Ortoborații formează grupe planare izolate BO_3 legate între ele prin cationi străini. Rețeaua lor este de tipul calcitei, romboedru centrat pe fețe.

Ex. nordeskoldjin, $\text{CaSn}(\text{BO}_3)_2$.

a.2. Metaborații formează două feluri de structuri:

- a structură cu grupuri legate inelar. Ex. CaB_2O_4 ;

- o structură cu grupe planare, în care radicalii BO_3 se repetă la infinit, legându-se între ei sub formă de lanțuri (fig. 392).

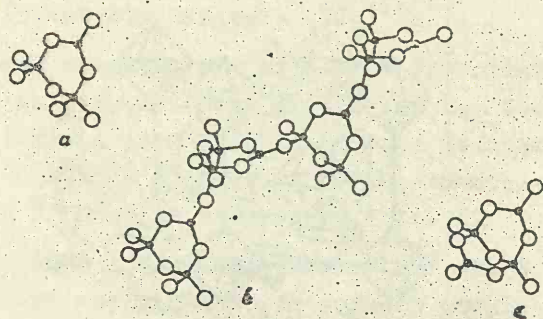


Fig. 392.

b. STRUCTURA SILICATILOR

Silicații se pot prezenta în toate formele de structură mezodesmică pe care le-am enumerat mai sus și în prezent clasificarea lor se și face după acest criteriu.

(1) Silicații insulari sau nesosilicați

Aceștia prezintă tetraedri izolați de (SiO_4) , legați de cationi prin intermediul valențelor libere ale oxigenului.

Ex. olivina, $(\text{Mg}, \text{Fe})_2 \text{SiO}_4$ (fig. 393) Raportul $\text{O}:\text{Si}=4:1$.

(2) Silicați cu grupe izolate de tetraedri (SiO_4) sau sorosilicați.

Acești silicați se pot prezenta în două moduri:

-cu grupe de doi tetraedri SiO_4 legați liniar ca în cazul thortveititului, $\text{Sc}_2(\text{Si}_2\text{O}_7)$ (fig. 394) și

-cu grupe de 3, 4 sau 6 tetraedri SiO_4 legați inelar prin intermediul a câte doi ioni de oxigen (ciclosilicați). Raportul $\text{O}:\text{Si} = 3:1$ și anume:

-cicluri de 3 radicali complecși (fig. 395)
Ex. benitoitul, $\text{Ba Ti Si}_3\text{O}_9$.

-Cicluri de 4 radicali $[\text{Si}_4\text{O}_{10}]^{4-}$
(fig. 396 a), cum este apofilitul,
 $\text{K Ca}_4 [\text{Si}_4\text{O}_{10}]^{4-} \cdot 8 \text{H}_2\text{O}$ (fig. 396 b).

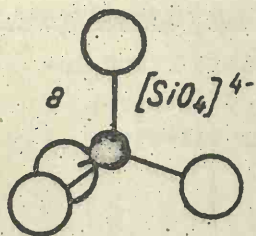


Fig. 393

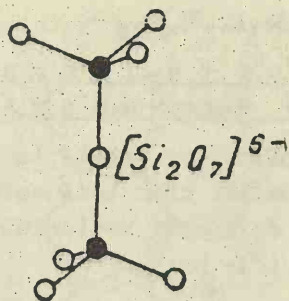


Fig. 394

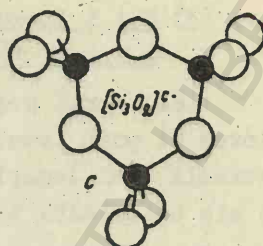


Fig. 395

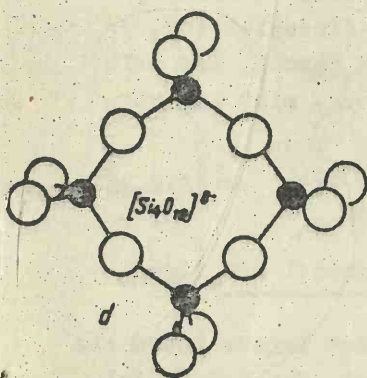


Fig. 396a

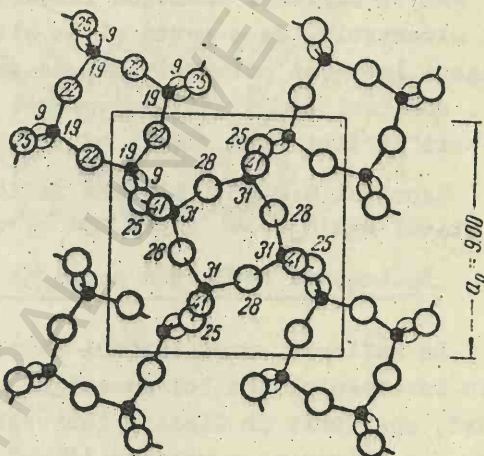


Fig. 396b

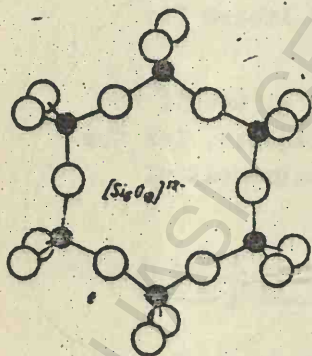


Fig. 397

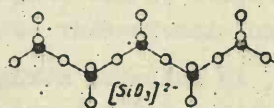


Fig. 398

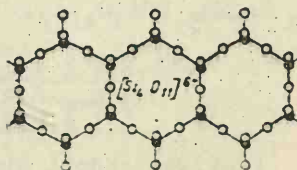
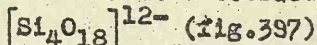


Fig. 399a

-cioluri de 6 tetraedri de ioni complecși



Ex.berilul, $\text{Be}_3\text{Al}_2\text{Si}_6\text{O}_{18}$

(3) Silicați cu lanțuri infinite de tetraedri SiO_4 (inosilicați).

Aici, ionii complecși se repetă la infinit fiind legați între ei prin intermediul unor ioni comuni de oxigen, iar cationii sînt legați de acești radicali prin valențele libere ale celorlalți ioni de oxigen.

Se prezintă două structuri:

3₁. Lanțuri simple de tetraedri SiO_4 (piroxeni).

Acești silicați formează lanțuri în care tetraedri, situați alternativ, de-o parte și de alta a direcției lor, sînt legați între ei prin doi ioni de oxigen comuni, iar prin ceilalți doi ioni de oxigen, cu valențe libere, sînt legați de cationii "străini" (fig.398).

Raportul $\text{O}:\text{Si}=3:1$ și deci radicalul este $\text{co}(\text{SiO}_3)^{2-}$.
Ex.enstatitul MgSiO_3 .

3₂. Lanțuri duble sau benzi de tetraedri SiO_4 (amfiboli).

La amfiboli, două lanțuri simple sînt legate între ele tot prin intermediul ionilor de oxigen comuni, din doi în doi tetraedri, așa încît în fiecare lanț simplu tetraedrii au alternativ, un oxigen cu o valență liberă (la locul de legătură între lanțuri și doi oxigeni cu cîte o valență liberă (la tetraedrul intermediar (fig.399).

În unitatea structurală dintr-un inel al benzii rămîn $2.1+2.2=2+4=6$ valențe libere. Raportul $\text{O}:\text{Si}=11:4$, iar formula benzii de tetraedri este $\text{co}(\text{Si}_4\text{O}_{11})^{6-}$. Ex.tremolitul $(\text{OH},\text{F})_2\text{Ca}_2\text{Mg}_5(\text{Si}_4\text{O}_{11})_2$.

(4) Silicați cu plane infinite de tetraedri SiO_4 sau filosilicați.

Aici, tetraedrii SiO_4 au bazele în același plan sînt uniți între ei, prin trei ioni comuni de oxigen, pe două direcții perpendiculare, formînd, ca și în cazul amfibolilor, inele hexagonale, dar în acest caz, inelele au toate laturile comune (fig.400 a).

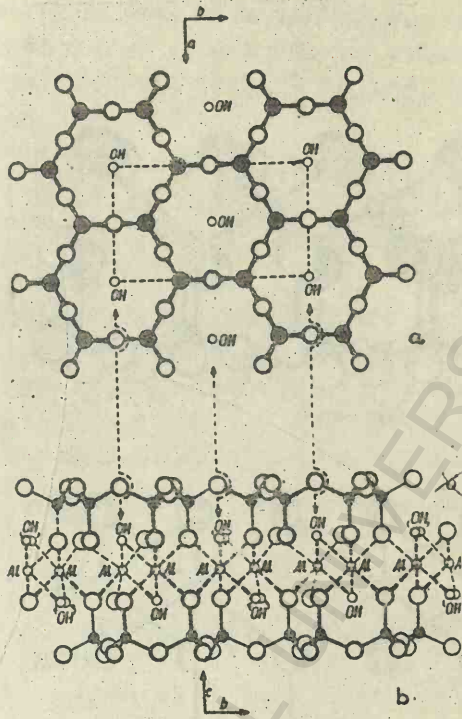


Fig. 400 (Muscovite)

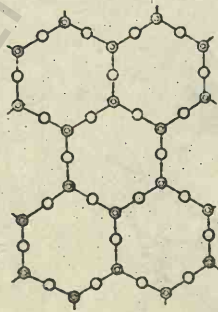


Fig. 400 a

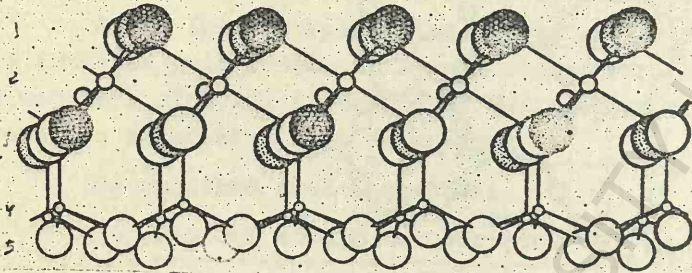


Fig. 400 b

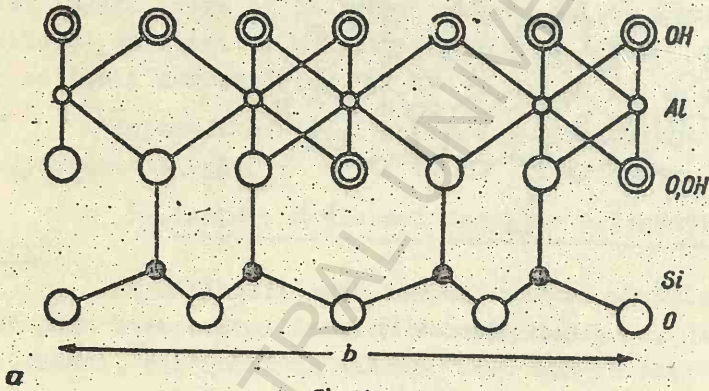


Fig. 400 c

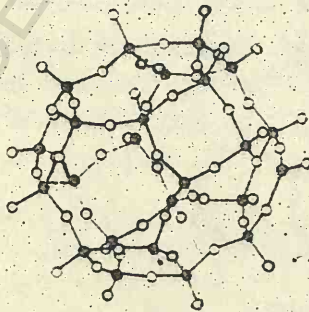


Fig. 401

Raportul $O:Si=5:2$. Unitatea structurală ce revine dintr-un astrel de inel este deci Si_2O_5 , în care numai doi ioni de oxigen mai au câte o valență liberă, deci $\infty(Si_2O_5)^{2-}$.

Ex. Caolinitul, $(Si_2O_5) Al_2(OH)_4$ sau $[Si_4O_{10}] Al_4(OH)_8$ (fig.400-b).

(5) Silicați cu rețele tridimensionale infinite de tetraedri SiO_4 sau tectosilicați.

În acești silicați tetraedrii SiO_4 sînt legați între ei pe toate cele trei direcții în spațiu prin intermediul ionilor de oxigen comuni, ca de exemplu la cuarț (SiO_2). Fiecare ion de oxigen este comun la doi ioni de siliciu și fiecare ion de siliciu este legat cu alți patru ioni de siliciu prin intermediul celor patru ioni de oxigen care formează tetraedrul (fig.401).

Raportul $O:Si=2:1$ și formula ∞SiO_2 . La unele categorii de silicați, cum sînt felspații, o parte din ioni Si^{4+} sînt înlocuiți în tetraedri cu ioni Al^{3+} , formînd inele de cîte patru tetraedri SiO_4 și AlO_4 .

În tetraedrii AlO_4 se eliberează sarcini negative care se satisfac prin cationi de metale alcaline ș.a. Ex. ortoza $K(Si_3AlO_8)$.

4. RETELE MOLECULARE

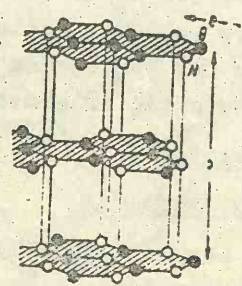
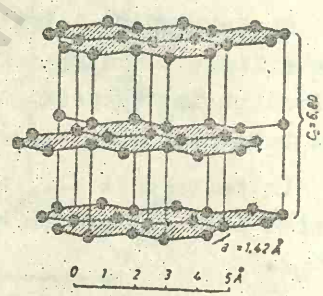
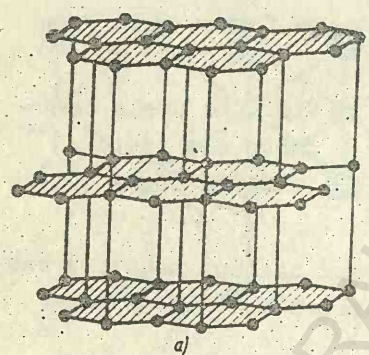
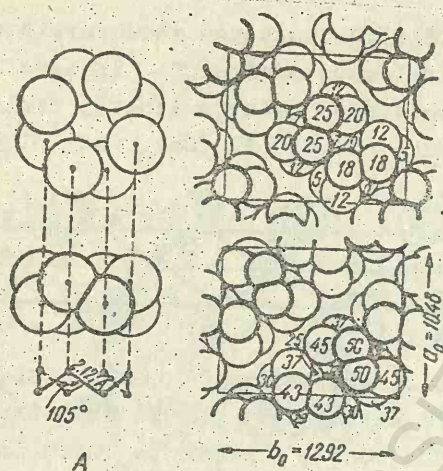
Structurile moleculare sînt în general heterodesmice. Unitățile structurale formate din molecule au în interiorul lor legături covalente, iar între molecule acționează forțe de altă natură, în general forțe Van der Waals, dar în multe cazuri, acestea sînt legături de rezonanță, intermediare.

4.1. Substanțe anorganice

a. Structura sulfurii rombic.

Structura sulfurii rombic constă din molecule formate din opt atomi de sulf legați covalent în forma unui inel.

Centrele atomilor formează un contur ditetragonal în zig-zag (fig.402 a) ale cărui laturi fac un unghi de 105° (fig.402 b).



Paralelipipedul elementar este format din 16 molecule, deci, în total, din 128 atomi.

b. Structura grafitului

Grafitul are o rețea formată din plane reticulare paralele de atomi de carbon cu ochiuri hexagonale, în care atomii sînt legați covalent între ei formînd o moleculă infinită.

Trei din colțurile fiecărui hexagon dintr-un plan mijlociu al celei elementare se găsesc în centrele hexagoanelor de deasupra și de dedesupt, încît rețeaua plană mijlocie este deplasată cu R față de cele două plane vecine (fig. 403).

Fiecare atom este legat cu trei atomi de carbon vecini prin legături puternice, covalente, iar între stratele moleculare, acționează forțe de legătură slabe, Van der Waals.

Conductibilitatea sa termică și electrică împreună cu alte proprietăți pune în evidență și prezența unor legături de rezonanță metalică.

Distanța dintre atomii planului reticular este de $1,42 \text{ \AA}$, pe cînd distanța dintre plane este de $3,41 \text{ \AA}$.

Această structură explică clivajul bazal perfect al grafitului.

c. Structura azotului de bor, BN

Azotul de bor are o structură analogă cu a grafitului. Aici însă stratele moleculare infinite au în colțurile hexagoanelor, dispuși alternativ, trei atomi de azot și trei atomi de bor (fig. 404).

4.2. Structura compuşilor organici

Ca și siliciul tetravalent cu oxigenul și carbonul, tot tetravalent, formează cu hidrogenul tetraedri CH_4 cu legături covalente.

Si aici se pot uni între ei asemenea tetraedri, dînd structuri asemănătoare cu ale silicaților.

Spre deosebire de atomii de siliciu care se pot lega între ei numai prin intermediul unui atom de oxigen comun, în

combinațiile organice, atomii de carbon se pot lega direct între ei prin legături simple sau multiple.

În cazul combinațiile mezodesmice, pe care le-am văzut în prezentarea silicaților, era vorba de rețele ionice heterodesmice pe când la compușii organici sînt caracteristice rețelelor moleculare.

La substanțele alifatice legăturile amintesc de structura diamantului, fiind dirijate în spațiu tot tetraedric, după același unghi de $109^{\circ}28'$, iar distanțele dintre atomii de carbon și moleculelor sînt foarte apropiate de ale acestuia (parafina, 1,54 Å).

La substanțele aromatice structurile sînt analoge cu ale grafitului. Au cicluri hexagonale ale atomilor de carbon, chiar cu aceeași distanță interatomică (1,42 Å) și legături Van der Waals între strate.

S-a stabilit un paralelism complet între diferitele categorii de structuri ale silicaților și cele ale compușilor organici, astfel:

a. Compuși cu molecule izolate, comparabili cu nesilicații. Ex. hexametilentetramina.

b. Compuși cu grupe izolate de tetraedri comparabili cu sorosilicații.

c. Compuși cu lanțuri infinite de tetraedri, comparabili cu inosilicații.

d. Compuși cu strate infinite de tetraedri, comparabili cu filosilicații. Ex. naftalenul.

e. Compuși cu rețele tridimensionale infinite de tetraedri, comparabili cu tectosilicații. Ex. comforul.

CRISTALOGRAFIE

3. CRISTALOCIMIE.

XV. POLIMORFISMUL, IZOMORFISMUL SI MORFOTROPTISMUL.

1. POLIMORFISMUL.

Pînă spre sfîrșitul sec. XVIII se considera că fiecare substanță poate avea o singură formă cristalină.

Mai tîrziu s-a observat că există totuși unele substanțe, cu o anumită compoziție chimică, dar care sînt cristalizate în două forme diferite. Astfel, CaCO_3 apare sub forma unui mineral cristalizat în clasa planaxială a sistemului trigonal, ca romboedru, calcita și sub forma unui alt mineral, cristalizat în clasa planaxială a sistemului rombic, sub forma unei prisme pseudohexagonale, aragonita (fig. 405 a, b).

În 1821, Mitscherlich, care observase că fosfatul acid de potasiu hidratat, $[\text{PO}_4] \text{NaH}_2\text{H}_2\text{O}$ și alte substanțe, cristalizează în două forme diferite, a numit acest fenomen dimorfism.

Ulterior, observîndu-se că sînt substanțe care cristalizează în și mai multe forme, fenomenul s-a numit, în general, polimorfism, iar diferitele forme de cristalizare ale acestor substanțe, s-au numit modificații polimorfe.

Aceste modificații au proprietăți fizice și chiar chimice diferite: Calcita are densitatea 2,71 și duritatea 3, clivează perfect după fața de romboedru (1011), este ușor solubilă în HCl diluat, iar sub formă de pulbere, la fierbere cu azotat de cobalt, se colorează slab în albastrui.

Aragonita are densitatea 2,94 și duritatea 3,5-4, prezintă un clivaj slab după fețele de prismă (010) și (110). Este mai greu solubilă în HCl diluat, iar pulberea de argonită, fiartă cu soluție de azotat de cobalt, se colorează în violet.

S-a constatat apoi că sînt și elemente care pot prezenta mai multe modificații. Polimorfismul elementelor s-a nu-

mit allotropie. De ex. sulful se prezintă în două forme allotrope: rombic și monoclinic.

Mai târziu s-a stabilit că diferitele modificatii polimorfe au și structuri interne diferite, formele lor poliedrice fiind reflectarea exterioară a acestora.

Calcita prezintă o structură în formă de romboidru centrat pe fețe, asemănătoare cu NaCl , în care locul ionilor de clor este luat de radicalii $(\text{CO}_3)^{2-}$, iar locul ionilor de sodiu este ocupat de cationii de calciu.

Argonita prezintă o rețea pseudohexagonală în care plane de Ca alternează cu grupe planare de CO_3 .

Transformări polimorfe.

Aranjamentul diferit al particulelor în rețelele modificatiilor polimorfe și, ca o consecință, forma exterioară poliedrică diferită, se datoresc condițiilor fizico-chimice diferite de cristalizare; în special condițiilor de temperatură și presiune.

Sulfura de zinc, ZnS , prezintă două modificatii: una care se formează la temperaturi mai mici de 1020° , cristalizată în sistemul cubic, blenda, și alta, care se formează la temperaturi mai mari de 1020° , cristalizată în sistemul hexagonal, würtzitul.

S-a observat că prin variația temperaturii, aceste modificatii, la 1020° , trec una în alta. Prin încălzirea, la 1020° , blenda trece în würtzit, iar prin răcire sub 1020° würtzitul trece din nou în blenda.

Asemenea transformări polimorfe, reversibile, se numesc enantiotrope.

Un exemplu interesant de enantiotropie, care poate fi observat la microscopul polarizant, este cel al azotului de amoniu, NH_4NO_3 .

Încălzind pe o lamă de sticlă, la microscop, pulbere de azotat de amoniu până la topire și apoi observând procesul de răcire a topiturii, se observă că topitura este întinsă între nișcolii în cruce. (Substanța este izotropă).

La sol. Dacă se încălzește substanța rămâne mai întâi, tot întunecată, apoi se colorează brusc, și după aceea din timp în timp, se produc schimbări bruște în masa cristalină, care-și modifică aspectul și culorile încă de trei ori (rămânând tot anizotropă).

Dacă acum se reîncălzește lent lama de sticlă, procesul se repetă în ordine inversă.

Schema transformărilor este următoarea:

rombic $\underline{32^\circ}$ rombic $\underline{85^\circ}$ trigonal $\underline{125^\circ}$ cubic $\underline{160^\circ} \Rightarrow$ Topitură

Dacă se încălzește însă aragonita, rombică, la 470° , aceasta se transformă în calcită, trigonală, dar procesul este ireversibil, prin răcire, calcita nu se mai transformă în aragonită.

Asemenea transformări polimorfice, ireversibile, se numesc transformări monotrope.

Temperatura la care, în anumite condiții de presiune, se produce transformarea polimorfă se numește punct de transformare. În cazul ZnS , 1020° .

În cazul transformărilor enantiotrope, prin răcire lentă, se poate uneori ajunge la o stare asemănătoare cu subrăcire topiturilor, în care se păstrează modificarea de temperatură înaltă și deci cele două modificări pot coexista în același domeniu termodinamic.

Modificarea de temperaturi joase este însă stabilă pe cînd cea de temperatură înaltă este nestabilă în aceste condițiuni și are tendința de a trece în modificarea stabilă, uneori păstrînd însă forma exterioară a modificării labile.

Asemenea modificări, care păstrează forma exterioară a modificării labile se numesc paramorfoze. Ex. leucitul.

Diferitele modificări polimorfe pot aparține unor sisteme cristaline diferite, pot aparține unor clase diferite din același sistem sau pot face parte chiar din aceeași clasă. Ele se deosebesc însă totdeauna prin relația axială. De ex. TiO_2 se găsește în natură sub forma a trei minerale care repre-

zintă modificării polimorfe: rutilul, anatasul și brookitul.

Rutilul este cristalizat în clasa planaxială a sistemului tetragonal, prezintă cristale cu habitus prismatic care au relația axială $a:c = 1:0,6442$ și cu densitatea 4,25;

-Anatasul este cristalizat în aceeași clasă dar în forme cu habitus bipiramidal, cu relația axială $a:c=1,777$ și densitatea 3,9.

-Brookitul cristalizează în clasa planaxială a sistemului rombic, prezintă cristale cu habitus tabular, care au relația axială $a:b:c=0,842:1:0,944$ și densitatea 4,15.

De multe ori în natură se întâlnesc la temperaturi obișnuite și modificării de temperatură înaltă, așa cum se întâmplă de ex. în cazul würtzitului. 1000°C

Transformările reversibile se produc aici extrem de încet sau, practic, nu se produc de loc.

Asemenea modificării se spune că sînt metastabile.

Mecanismul transformărilor polimorfe este explicat prin schimbările mari care se produc în polarizarea reciprocă a atomilor sub acțiunea factorilor termodinamici.

Acestea duc la schimbarea numărului de coordonatie, a rețelului de coordonatie, adică la schimbarea tipului de structură.

Pentru o anumită presiune, fiecare modificare are un domeniu de stabilitate cuprins între anumite limite de temperatură. Între aceste limite, celelalte modificări sînt nestabile, avînd tendința de a trece în modificarea stabilă din domeniul respectiv.

Un caz interesant de asemenea transformare polimorfă se observă la sulf.

Experimental, s-a constatat că sulful rombic încălzit repede, se topește la 114° .

Dacă însă sulful rombic este încălzit încet, la 95° el se transforma în sulf monoclinic cu punctul de topire 119° .

După cum se știe, orice corp solid, la o temperatură anumită este în echilibru cu tensiunea vaporilor săi. Pe măs-

ră ce se schimbă temperatura se schimbă și tensiunea vaporilor.

În diagrama sulfurului (fig.406) se vede că pe măsură ce crește temperatura, pînă la 95°S , tensiunea de vaporii crește liniar.

La această temperatură însă se produce o ruptură și apoi tensiunea de vaporii crește iar liniar dar cu altă viteză.

De aici rezultă că la temperatura de transformare s-a produs o schimbare a structurii, o nouă modificare careia îi corespunde altă tensiune de vaporii.

La răcire sulfurul monoclinic devine nestabil, modificarea este labilă și are tendința de a trece în modificarea rombică stabilă în aceste condiții.

Reversibilitatea sau ireversibilitatea transformărilor este în strînsă legătură cu importanța deosebirilor structurale între cele două modificări.

Atunci cînd deosebirile de structură sînt mari, procesul este ireversibil, transformarea este monotropă; atunci cînd deosebirile de structură sînt mici, procesul este reversibil, transformarea este enantiotropa.

Cu cît aceste deosebiri sînt mai mici, cu atît mai repede forma labilă trece în starea stabilă... În cazul marilor deosebiri structurale, modificările metastabile se transformă foarte în-
cet în modificările stabile corespunzătoare domeniului termodinamic de stabilitate totală sau sînt practic ireversibile.

Așa se întîmplă de ex. în cazul carbonului cu cele două modificări ale sale, diamantul și grafitul, care au structuri și proprietăți foarte diferite.

Diamantul este cristalizat în clasa planaxială a sistemului cubic, are o rețea cubică compactă formată din două cuburi centrate pe fețe întrepătrunse după $1/4$ din diagonala cubului.

Atomii au o coordonare tetraedrică și sînt situați între ei, la distanțe de $1,54 \text{ \AA}$. Are densitatea 3,5 și duritatea 10. Este incolor și transparent, bun conducător de căldură dar rău conducător de electricitate.

Grafitul este cristalizat în clasa planaxială a sistemului hexagonal și are o rețea stratificată. Distanța dintre atomii din același plan este de 1,42 Å iar distanța dintre două plane alăturate este de 3,4 Å.

Are densitatea 2,1 și duritatea 1. Este negru și opac, bun conducător de căldură și de electricitate. Clivează cu ușurință după fețele de bază (0001).

La 2000°, în lipsă de oxigen, diamantul se transformă în grafit. Transformarea este monotropă.

În condițiile normale de temperatură ambele modificări sînt la fel de stabile.

Același lucru se întîmplă cu modificările FeS_2 , marcasita, rombică și pirita cubică cu punctul de transformare monotropă 500°.

Modificările α - β sînt unele substanțe polimorfe care prezintă deosebiri structurale foarte mici între modificările vecine. Aceste substanțe trec cu ușurință, direct, dintr-o modificare în cealaltă odată cu variația temperaturii de-o parte și de alta a punctului de transformare, fără a trece prin faze temporare, labile și fără a-și schimba forma poliedrică.

Se obișnuiește să se noteze aceste modificări cu literele grecești α și β .

Unii notează cu α modificările de temperatură mai joasă și cu β pe cele de temperatură mai înaltă, Mulți cristalografi însă, notează cu α modificările de temperatură ridicată și cu β pe cele de temperatură mai joasă. Tot așa vor fi notate aceste modificări polimorfe în cele ce urmează.

Un foarte reprezentativ exemplu de polimorfism obișnuit și totodată de polimorfism α - β , reprezintă SiO_2 .

Bioxidul de siliciu are trei modificări principale, monotrope între ele: cuarțul, tridimitul și cristobalit.

La rîndul său, fiecare modificare principală prezintă două modificări cu structuri foarte apropiate și enantiotrope, din categoria α - β , deci în total SiO_2 are 6 modificări polimorfe: α și β cuarț, α și β tridimit, α și β cristobalit.

Cuarțul β , trapezodric trigonal, este modificatia stabilă sub temperatura de 575° .

Prin încălzire, proprietățile lui fizice și caracterele morfologice se schimbă treptat pînă la 575° , cînd se transformă brusc în α cuarț (fig.4o7 a), hexagonal trapezodric, cu proprietăți puțin diferite de primul și cu o structură puțin modificată în ceea ce privește aranjarea helicoidală a tetraedrilor, care însă duce la ridicarea simetriei (fig.4o7 b).

Procesul este reversibil. La răcire α - cuarțul trece din nou în β - cuarț la temperatura de 575° . Transformarea este enantiotropă.

Modificatia α este stabilă între 575° și 870° .

Peste această temperatură α - cuarțul se transformă în α - tridimit, care este dihexagonal piramidal.

De data aceasta procesul este ireversibil, transformarea este monotropă.

Prin răcire α - tridimitul trece, la 120° , în β tridimit rombic.

Procesul este reversibil, transformarea, enantiotropă.

Încălzind însă mai departe tridimitul la temperatura de 1470° , se transformă ireversibil în α - cristobolit, care este cristalizat în sistemul cubic.

Și în acest caz, prin răcire, α - cristobolitul trece, la 230° , în β - cristobolit, tetragonal. Procesul este reversibil ca și în cazul tridimitului, transformarea este enantiotropă.

În diagrama sistemului (fig.4o8 a) sînt reprezentate toate aceste transformări.

Așezarea tetraedrilor vecini din cele trei modifiții

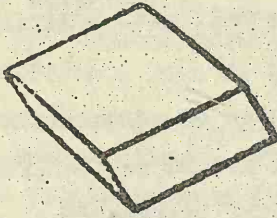


Fig. 405 a.

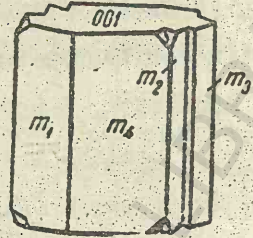


Fig. 405 b.

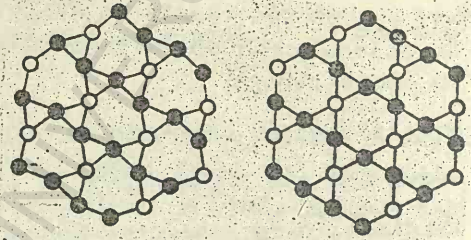
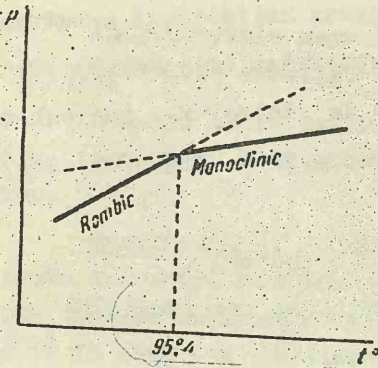


Fig. 407 b.

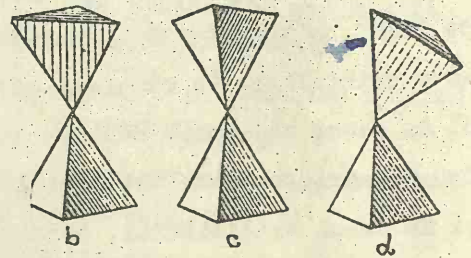
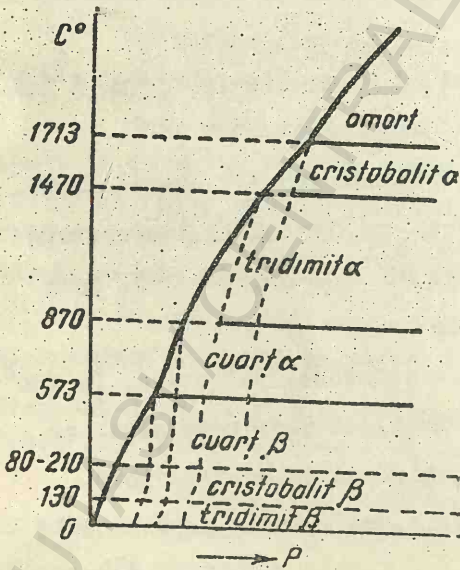


Fig. 408

de temperatură înaltă (α) face ca, în ansamblu și simetria lor să difere.

Astfel, în cazul α cristobolitului cei 2 tetraedri cu vârful comun, sînt aranjați după o direcție ca și cum s-ar repeta după un centru de simetrie (fig. 408 b) și prezintă simetria cubică.

Cu această aranjare pe direcție, dar rîtiți unul față de altul, cei 2 tetraedri se repetă după un plan de simetrie ce trece printre ei în cazul α tridimitului care are simetria dihexagonal piramidală (fig. 408 c).

În cazul α cuarțului, aceiași tetraedri sînt înclinați, făcînd între ei un unghi de 150° , iar simetria acestei modificății devine hexagonaltrapezoidică (fig. 408 d).

2. IZOMORFISMUL

9-4-75

2.1. Izomorfismul normal

Substanțele cu compoziție chimică diferită care cristalizează în forme poliedrice asemănătoare și au structură reticulară de același tip sînt substanțe izomorfe.

Așa sînt izomorfe mineralele din grupa carbonaților romboedrici, calicita CaCO_3 , rodocrozitul MnCO_3 și siderita FeCO_3 , precum și halogenurile cubice KBr și KCl sau sărurile de potasiu ale acizilor fosforic și arsenic KH_2PO_4 și $\text{KH}_2\text{AsO}_4 \cdot 12\text{H}_2\text{O}$

Cristalele izomorfe se aseamănă prin simetrie, prin

habitus și celelalte caractere morfologice avînd unghiuri identice în sistemul cubic, unghiuri și relații axiale foarte apropiate în celelalte sisteme.

Si proprietățile lor sînt foarte asemănătoare. Iată cîteva exemple:

Carbonați trigonali	Unghiul α	Unghiul între fețele (1011)	Raportul a : c	Clivajul.
Calcita CaCO_3	101°,55	74°,35	1:0,854	Romboedric
Rodocrozitul MnCO_3	102°,50	73°,9	1:0,818	"
Siderita FeCO_3	103°,40	73°	1:0,814	"
<u>Carbonați rombici</u>				
	<u>Unghiul dintre (110):(110)</u>		<u>Raportul a:b:c</u>	
Aragonită CaCO_3	63°,48	1,1	0,622:1:0,720	
Ceruzit PbCO_3	62°,46	1,20	0,609:1:0,722	
Witherit BaCO_3	62°,12	1,34	0,592:1:0,720	
Stronțianit SrCO_3	62°,41	1,27		
<u>Sulfrați anhidri, rombici</u>			<u>Raportul a:b:c</u>	
Baritina BaSO_4			0,621:1:0,762	
Celstina SrSO_4			0,609:1:0,779	

S-a observat că unele din substanțele izomorfe pot forma cristale mixte omogene cu aceleași caractere morfologice ca și cristalele pure ale substanțelor componente. (soluții solide) Astfel din soluția de ZnSO_4 și FeSO_4 se formează cristale mixte izomorfe care sînt constituite din cele două substanțe în proporția pe care au avut-o în soluție.

Acestea se mai numesc amestecuri izomorfe sau soluții solide, iar acest fel de izomorfism se mai numește izomorfism perfect sau izomorfism normal.

Dintre primele cristale mixte observate au fost cele ale alaiunului de potasiu, $\text{K}_2\text{SO}_4 \cdot \text{Al}_2(\text{SO}_4)_3 \cdot 24\text{H}_2\text{O}$ și de amoniu, $(\text{NH}_4)_2\text{SO}_4 \cdot \text{Al}_2(\text{SO}_4)_3 \cdot 24\text{H}_2\text{O}$ (Romé de L'Isle, 1772), cu compoziție variabilă și cu aceeași formă octaedrică pe care-o au și cristalele celor două substanțe în stare pură.

Din studiul fosfaților și arseniaților acizi de potasiu, precum și pe baza altor observații, cum sînt cele de mai

sus, Mitscherlich care la 1819 a dat dehumirea de izomorfism acestui fenomen, a tras concluzia că sînt izomorfe substanțele în care se constată înrudirea chimică a unor elemente sau radicali de aceeași valență, și care se pot înlocui reciproc în cristale, fără ca forma acestora să se schimbe esențial.

Intr-adevăr, substanțe cu asemenea analogii de compoziție sînt foarte frecvent întîlnite și ulterior, fenomenul s-a numit izomorfism izovalent.

Aceste este și cazul carbonaților citați, cu cationii bivalenți (Ca^{2+} , Mn^{2+} , Fe^{2+} , Pb^{2+} , Ba^{2+}) sau al sărurilor acidului fosforic arenic, cu anionii trivalenți (PO_4^{3-} și AsO_4^{3-}).

Mai tîrziu însă s-a constatat, în numeroase cazuri și izomorfismul unor substanțe în care ionii au valențe diferite. Astfel, este izomorf Na_2CO_3 cu CaCO_3 romboedric (calcita) și este izomorf K_2CO_3 cu CaCO_3 rhombic (aragonita), deși atît valențele cationilor cît și ale anionilor sînt diferite.

Tot așa sînt izomorfi feldspatii, albit $\text{Na}(\text{Si}_3\text{AlO}_8)$ și anortit $\text{Ca}(\text{Si}_2\text{Al}_2\text{O}_8)$, în care, pe de-o parte ionii de Na și Ca, iar pe de altă parte ionii de Al și Si, au valențe diferite.

Acesta a fost numit izomorfism heterovalent.

Trebuie însă remarcat faptul că pentru menținerea echilibrului electrostatic al structurii, odată cu înlocuirea Si^{4+} prin Al^{3+} în anionul complex, se înlocuiește și cationul monovalent Na^+ prin calciu bivalent, Ca^{2+} , încît suma valențelor dintr-o grupă ($\text{Si}^{+4} \text{Na}^{+1}$) este egală cu suma valențelor din cealaltă grupă ($\text{Al}^{3+} \text{Ca}^{2+}$) care o înlocuiește în formulă.

Mai trebuie remarcat faptul că după cum în substanțele izomorfe se pot înlocui reciproc elemente (Ca și Fe) sau radicali (AsO_4 și PO_4) ca în exemplele de mai sus, se pot înlocui și elemente cu radicali, cum am văzut în cazul alaunilor de potasiu (K) și de amoniu (NH_4).

Se cunosc însă și substanțe cu compoziție chimică asemănătoare care, totuși, nu-s izomorfe. Așa sînt de exemplu, magnetita (Fe_3O_4) care cristalizează în sistemul cubic și haussmanita (Mn_3O_4) care cristalizează în sistemul tetragonal.

Datele cristalochimice au arătat însă că forma exterioară a cristalelor nu depinde de compoziția lor chimică, ci de structura lor internă, iar aranjarea particulelor în rețeaua cristalină este determinată în special de mărimea razelor lor ionice și de polarizarea, care poate modifica aceste raze.

În această concepție, Goldschmidt a definit izomorfismul, ca proprietatea pe care o au substanțele diferite, cu formula chimică asemănătoare, de a se prezenta în structuri cristaline asemănătoare.

Asemănarea de formulă chimică se referă la numărul de particule pozitive și negative (anioni sau radicali), iar asemănarea de structură se referă la analogia geometrică a paralelipipedelor elementari și aranjării similare a particulelor în acești paralelipedezi.

După cum se poate aprecia chiar din exemplele prezentate, înrudirea chimică nu-și mai are locul în definiția izomorfismului, așa cum de alt fel a și fost enunțată la început.

Razele ionice și polarizarea particulelor componente ale substanțelor izomorfe trebuie să aibă valori apropiate.

Acest lucru se constată la razele ionilor din toate substanțele izomorfe citate: cationii din carbonați ($\text{Ca}^{2+} = 1,06 \text{ \AA}$; $\text{Fe}^{2+} = 0,82 \text{ \AA}$; $\text{Mn}^{2+} = 0,91 \text{ \AA}$ etc.), anionii din halogenurile cubice ($\text{Br}^- = 1,95 \text{ \AA}$; $\text{Cl}^- = 1,81 \text{ \AA}$ și anionii complecși fosforici și arsenici ($\text{PO}_4^{3-} = 3 \text{ \AA}$ și $\text{AsO}_4^{3-} = 2,95 \text{ \AA}$).

Din contra, NaCl și KCl nu sînt izomorfe deoarece cationii lor au raze prea diferite ($\text{Na}^+ = 0,98 \text{ \AA}$ iar $\text{K}^+ = 1,33 \text{ \AA}$). Tot așa nu se pot substitui izomorf între ei Cu^+ și Na^+ , deși au raze foarte apropiate, în acest caz proprietățile lor de polarizare fiind foarte diferite.

2.2. Izomorfismul heterovalent.

Tot pe baza concepțiilor cristalochimice se explică acum și izomorfismul heterovalent:

Examinînd sistemul periodic al elementelor se constată că în aceeași coloană razele atomice cresc pe măsură ce crește numărul de ordine al elementului. De ex. de la $\text{Li}_3^+ = 0,69 \text{ \AA}$ la

$\text{Ca}_{55}^{+} = 1,65 \text{ \AA}$ și la $\text{Mg}_{12}^{2+} = 0,78 \text{ \AA}$ la $\text{Ba}_{56}^{2+} = 1,36 \text{ \AA}$ etc.

Pe de altă parte, în aceeași perioadă, pe același rând orizontal, odată cu creșterea numărului de ordine, raza scade. De ex. de la $\text{K}_{19}^{+} = 1,33 \text{ \AA}$ la $\text{Cr}_{24}^{6+} = 0,34 \text{ \AA}$ sau de la $\text{Rb}_{37}^{+} = 1,49 \text{ \AA}$ la $\text{Mo}_{42}^{6+} = 0,69 \text{ \AA}$.

Plecînd de la această constatare, Fersman a dedus legea seriilor diagonale ale ionilor izomorfi.

Elementele situate pe diagonalele sistemului periodic, care merg de la stînga sus la dreapta jos, au raze apropiate și se pot substitui izomorf în rețelele cristaline.

Așa sînt de exemplu seriile izomorfe:

$\text{Li}^{+} (0,69) - \text{Mg}^{2+} (0,78) - \text{Sc}^{3+} (0,81) - \text{Zr}^{4+} (0,82)$

$\text{Na}^{+} (0,98) - \text{Ca}^{2+} (1,06) - \text{Y}^{3+} (1,06)$
(cr. 0,99)

$\text{K}^{+} (1,33) - \text{Sr}^{2+} (1,27)$

$\text{Rb}^{+} (1,48) - \text{Ba}^{2+} (1,36)$

$\text{Al}^{3+} (0,54) - \text{Ti}^{4+} (0,65) - \text{Nb}^{5+} (0,70)$

(Raz. raza ionică de
minută pentru
este de 10,99

Raz. în natură, de aceea în miner
de Mg^{2+} se găsește și Sc^{3+}
T.I. de Na^{+} " " " Ca^{2+}
de Ca^{2+} " " " Y^{3+}

Este deci clar că izomorfismul nu este legat, așa cum se credea la început, de egalitatea valențelor celor doi ioni care se înlocuiesc reciproc, ci numai de dimensiunile lor.

Si totuși se observă că izomorfismul izovalent este mult mai larg răspîndit.

Pentru a explica acest lucru trebuie să ținem seama de faptul că structura unei rețele care depinde în general de dimensiunile ionilor componenți, depinde în mare măsură și de capacitatea de polarizare a elementelor substituente ori, ionii de aceeași valență cu structură apropiată a învelișurilor de electroni și cu sarcina electrică a nucleului de aceeași mărime au, în general și capacitatea de polarizare de același ordin.

În schimb, în izomorfismul heterovalent, unde este tendința generală ca ionii cu valență mai mare să-i substituiască pe cei cu valența mai mică, se introduce în rețea ioni cu capacitate

mai mare de polarizare activă, care pot mai ușor să ducă la modificarea aranjamentului din rețea, la modificarea structurii și deci la împiedicarea menținerii structurii vechi și forme corespunzătoare.

2.3. Substitutiile izomorfe

a. Diadochia

Doi atomi sau ioni care apar într-un compus și pot să se înlocuiască unul pe altul în structura sa, fiecare ocupând poziția celuilalt, se spune că sînt diadochici și se numesc diadochi.

Așa de ex., forsteritul (Mg_2SiO_4) și fayalitul (Fe_2SiO_4) sînt izomorfi, iar Mg^{2+} și Fe^{2+} sînt ioni diadochici sau simplu diadochi.

Diadochia ionilor respectivi se referă numai la o anumită structură. Doi ioni pot să fie diadocnici într-o structură dar să nu fie diadochici în alta. De ex. Sr^{2+} și Ba^{2+} sînt (parțial) diadochici în celestină ($SrSO_4$) și baritină ($BaSO_4$), dar nu sînt diadochici în stronțianit ($SrCO_3$) și witherit ($BaCO_3$), unde nu se pot înlocui reciproc.

Diadochia poate fi completă, ca în cazul olivinei $(Mg, Fe)_2SiO_4$ sau parțială, ca în cazul dolomitei $(CaMg)(CO_3)_2$ ca a sulfaților de crom și bariu.

b. Factori de care depinde diadochia

Capacitatea de substituție reciprocă în rețeaua cristalină a atomilor diadocnici depinde de mai mulți factori:

(1) Cerintele spațiale ale atomilor sau ionilor celor două elemente. Se admite în general că un ion poate înlocui pe altul dacă diferența dintre mărimile lor nu depășește 15% din raza celui mai mic. Aceasta nu se aplică însă totdeauna, așa cum se întîmplă în cazul Ca^{2+} (1,06 Å) și Mg^{2+} (0,78 Å) cînd diferența este mai mult ca dublă-

(2) Temperatura afectează de asemenea gradul de diadochie. De obicei, temperatura ridicată favorizează substi-

tușă. Astfel, în sărurile alcaline din evaporite (provenite din evaporarea apei de mare, deci la temperaturi joase) Na și K nu ocupă poziții identice în structură și nu se pot substitui unul pe altul. Chiar glaseritul s-a dovedit a fi o sare dublă $\text{Na}_2\text{SO}_4 \cdot 3\text{K}_2\text{SO}_4$ și nu o sare cu cristale mixte. Cei doi cationi ocupă poziții diferite în structură și nu se pot substitui.

De regulă apoi, NaCl este lipsită de K și KCl este lipsită de Na.

Cele două elemente nu sînt diadochice la temperaturi joase.

La temperaturi înalte însă, aceleași elemente sînt diadochice. Așa se constată la mineralele alcaline ale rocilor magmatice (de temperatură ridicată). Asta rezultă și din faptul că rareori feldspatul potasic K $[\text{Si}_2\text{AlO}_8]$ și cel sodic Na $[\text{Si}_2\text{AlO}_8]$ se găsesc ca minerale pur potasice sau pur sodice. Cel mai adesea se găsesc ca amestecuri izomorfe.

Se consideră însă că K și Na sînt complet izomorfi numai la temperaturi înalte. Odată cu scăderea temperaturii se produc dezamestecuri care dau structura pertitică frecventă la mineralele alcaline ale rocilor magmatice, constînd din separații de albit în anortit (pertit) sau de anortit în albit (antipertit).

(3)-Potențialul de ionizare influențează de asemenea diadochia. Goldschmidt a constatat că unele elemente diadochice au potențialele de ionizare similare. Ex.:

Si 4^+ (44,89) și Ge 4^+ (45,5); K 1^+ (4,34) și Rb 1^+ (4,18); Fe 2^+ (16,2) și Ca 2^+ (17,3); Mg 2^+ (15) și Fe 2^+ (16,2); Al 3^+ (28,3) și Ga 3^+ (30).

Este cunoscută diadochie dintre Zn (17,9), pe de-o parte și Fe (16,2) sau Mg (15) pe de altă parte.

Așa cum arată diferențele potențialelor de ionizare se întîmplă și în realitate: zincul prezintă o legătură mai strînsă cu fierul decît cu magneziul. Diferența dintre Na 1^+ (5,14) și Cu 1^+ (7,72) este foarte mare (50%). Într-adevăr, așa cum am mai arătat, în mineralele ionice nu există substituibilitate între

aceste două elemente.

Sînt și unele abateri. De ex. între Ni^{2+} (18,2) și Mg^{2+} (15) diferența este mai mare ca între Ni^{2+} și Fe^{2+} totuși Ni are o legătură mai strînsă cu Mg de cît cu Fe.

(4) - Aranjamentul ionic al structurii ca și proprietățile atomilor sau ionilor arătează evident gradul de diadochie.

Așa de ex. în multe minerale Fe^{3+} și Al^{3+} se înlocuiesc reciproc. Aceasta se întîmplă mai ales în mineralele în care Al prezintă coordinația 6.

Ferul trivalent are o deosebită repulsie de a apare în coordinație tetraedrică. Totuși, în anumite cazuri, apare în interiorul unui tetraedru de oxigen ca în cronstetitul $Fe_4^{2+} Fe_2^{3+} (Fe_2^{3+} Si_2O_{10}) (OH)_8$, similar cu caolinitul $Al_4(Si_4O_{10}) (OH)_8$, în care substituția tetraedrică se face cu Al^{3+} . Tot la fel se întîmplă cu $K(Si_3FeO_8)$ similar cu $K(Si_3AlO_8)$.

Majoritatea mineralelor care conțin Al în coordonare octaedrică prezintă substituții diadochice de Fe (piroxeni, amfiboli tec.).

(5) - Sarcina electrostatică arătează de asemenea substituția diadochică. Chiar dacă nu este necesară asemănarea de sarcină între cei doi ioni care se înlocuiesc unul pe altul (cazul izomorfismului heterovalent), totuși neutralitatea electrostatică trebuie menținută. Se prezintă două situații:

α - Sarcinile ionilor substituenți sînt mai mari. De ex. $Sr^{2+} \rightarrow K^+ ; Y^{3+} \rightarrow Ca^{2+}$ etc.

β - Sarcinile ionilor substituenți sînt mai mici. De ex. $(OH^- \rightarrow O^{2-} ; Ca^{2+} \rightarrow Ce^{3+} ; Al^{3+} \rightarrow Si^{4+})$

α În primul caz, neutralitatea electrostatică se poate restabili în două moduri:

- Prin introducerea de ioni aditionali la suprafața scheletului normal al structurii, ca de ex. în cazul ytrofluoritului YF_3 , care rezultă din substituirea Ca^{2+} cu Y^{3+} în CaF_2 . Ioni de Y^{3+} , care au aceeași rază (1,06 Å) cu ioni de Ca^{2+}

ocupă locul acestora, în colțurile cubului.

Dintre ionii de F^- , $2/3$ ocupa mijlocul octanților, ca și la fluorină, iar $1/3$ se situează în golurile octaedrice, care erau libere la CaF_2 , centrînd rețele de cub.

Are loc o substituție cu umplerea golurilor.

-Lăsînd vacanta o poziție structurală ca în cazul substituirii Ca^{2+} în wolframați ($CaWO_4$ — $Ce_2(WO_4)_3$, cînd în wolframatul de ceriu $2/3$ din pozițiile Ca^{2+} sînt ocupate de Ce^{3+} , iar o treime din aceste poziții rămîn libere.

Se spune că aceste rețele sînt rețele lacunare.

-În al doilea caz sarcina electrostatică se poate compensa tot în două moduri:

-Prin substituția simultană a încă unui ion în structură, ca de ex. în cazul feldspaților plagioclați ($NaSi_3AlO_8$ — $CaSi_2Al_2O_8$) cînd substituția siliciului prin aluminiu se face simultan cu substituția natriului prin calciu ($Al^{3+}Ca^{2+}$ — $Si^{4+}Na^{1+}$).

-Introducînd în spațiile dintre particulele rețelei fundamentale anumiți ioni, supranumerari, care compensează sarcinile deficitare rămase prin substituția ionului cu sarcină mai mare, cum ar fi de ex. substituția Mg^{2+} prin Li^+ în silicați.

De altfel asemenea substituții în silicați sînt foarte frecvente datorită faptului că între tetraedrii SiO_4 ai rețelei tridimensionale rămîn goluri mari în care se pot instala chiar radicali mari ca SO_4 , Cl etc.

Acest mod de neutralizare electrostatică se mai numește și compensare prin admisie.

Fenomenul se întîlnește și în cazul soluțiilor solide interstițiale ale metalelor, unde golurile dintre atomii metalici sînt ocupate de atomi mici de N, B, H sau, cum se întîmplă în cazul oțelurilor carbon, cu atomii acestuia (C) situați în golurile dintre atomii de fer.

2.4. Distribuția spațială a diadochilor în retea

a. Structuri neordonate

În cazul cînd dimensiunile diadochilor sînt egale sau foarte apropiate aceștia sînt distribuiți în diferitele noduri ale rețelei cu totul neregulat. Structura are o omogenitate statistică.

Astfel, în aliajul aur-argint, care are o rețea în formă de cub centrat pe fețe, atomii de Au și de Ag se situează în mod arbitrar, atît în colțurile, cît și pe mijlocul fețelor.

b. Structuri ordonate

Dacă dimensiunile diadochilor sînt diferite și mai puțin apropiate sau dacă aceștia se găsesc într-un raport stoechiometric determinat, atomii se situează ordonat în rețea, uneori ca și compușii chimici definiți.

Astfel, în cazul aliajului AuCu_3 , se formează o rețea cubică centrată pe fețe în care atomii de Au formează rețeaua cubică simplă, iar cei de cupru ocupă mijlocul fețelor (fig. 409).

c. Structuri mixte

Uneori, sub influența factorilor externi, structurile ordonate sufer astfel de modificări în aranjamentul diadochilor încît rămîn numai parțial ordonate.

Astfel, tetraiodomercuratul de argint Ag_2HgI_4 , cristalizează la temperatura ordinară cu o rețea ordonată în formă de prismă tetragonală pseudocubică care are atomii de Hg așezați în colțuri, atomii de Ag, în mijlocul fețelor și atomii de I, în interior (fig. 410 a).

Prin încălzire la 50°C structura se modifică în cub centrat pe fețe în care numai iodul își mai păstrează locul din mijlocul celulei, pe cînd mercurul și argintul își amestecă pozițiile ocupînd la întîmplare și colțurile și mijlocul fețelor de cub (410 b).

Ionii de iod, care-și păstrează omogenitatea reticulară, constituie deci o rețea stabilă, cub simplu, care formează suprastructura cristalului.

Particula care o formează se numește suportul supra-

structurii de substituție.

Sînt substanțe care se pot întîlni în toate cele trei feluri de structuri, complet dezordonată, intermediară sau mixtă și ordonată, după condițiile de temperatură.

Astfel, feldspatul potasic $K[Si_3AlO_8]$ se găsește sub forma unei modificatii monoclinice cu denumirea de sanidină, stabilă la temperaturi de peste 700° , care are o structură complet dezordonată; se găsește într-o modificare triclinică cu denumirea de microclin, stabilă sub $650-700^\circ$, cu structură perfect ordonată și se mai găsește sub forma altor modificatii monoclinice, instabile, ortoza și adularul, cu suprastructuri de substituție.

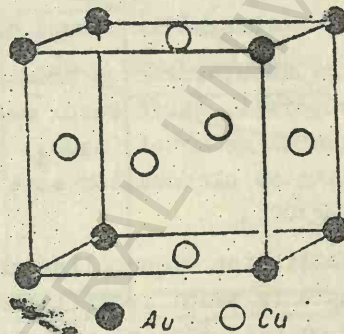
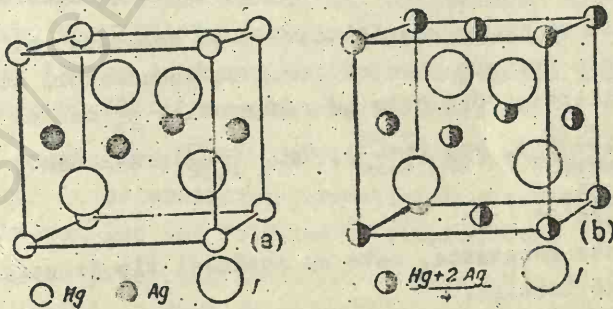


Fig. 408



$t^\circ N$

Fig. 410

$t^\circ > 50^\circ$

2.5. Grade de izomorfism. Izotipie, Homeomorfism

Aşa cum a fost definit la început, izomorfismul se referă la compuşii care, având razele ionilor respectivi şi proprietăţile de polarizaţie foarte apropiate prezentau reţele şi forme asemănătoare.

Aceştia pot cristaliza împreună (sincristalizare) în amestecuri izomorfe soluţii solide sau, cum li se spune de obicei, cristale mixte, cu aceleaşi caractere structurale şi morfologice.

Aşa se întâmplă în cazul olivinei la care se cunosc termenii extremi, forsteritul (Mg_2SiO_4) şi fayalitul (Fe_2SiO_4) precum şi amestecurile lor în orice proporţie $(\text{Mg,Fe})_2\text{SiO}_4$.

Tot aşa se întâmplă în cazul feldspaţilor plagioclazi, la care se cunosc termenii extremi, albitul $\text{Na}(\text{Si}_3\text{AlO}_8)$ şi anortitul $\text{Ca}(\text{Si}_2\text{Al}_2\text{O}_8)$, ca şi amestecurile lor de orice proporţie.

Acesta este izomorfismul în sensul cel mai restrâns.

În unele cazuri însă, formarea cristalelor mixte este limitată la anumite proporţii, ca în cazul celestinei (SrSO_4) şi baritinei (BaSO_4) sau al calcitei (CaCO_3) şi magnezitei (MgCO_3), când miscibilitatea diadochilor este limitată, ca de exemplu în dolomită $\text{CaMg}[\text{CO}_3]_2$.

Alteori miscibilitatea diadochilor nici nu mai este posibilă, cum se întâmplă în cazul anglezitului PbSO_4 din aceeaşi serie izomorfă cu celestina şi cu baritina deşi razele cationilor sînt foarte apropiate ($R_{\text{Pb}^{2+}} = 1,5 \text{ \AA}$; $R_{\text{Sr}^{2+}} = 1,2 \text{ \AA}$; $R_{\text{Ba}^{2+}} = 1,4 \text{ \AA}$). Acesta este izomorfism într-un sens mai larg.

Structuri şi forme asemănătoare s-au constatat şi la unele substanţe omogene care au ionii corespunzători cu dimensiuni mult diferite, dar care au raporturile $\frac{R_c}{R_a}$ destul de apropiate. De ex. FeS ($\frac{1,32}{1,74}$), MgO ($\frac{0,78}{1,32}$), CaO ($\frac{1,06}{1,32}$), sau BaSO_4 ($\frac{1,43}{2,90}$) şi KMnO_4 ($\frac{1,33}{3,25}$).

Aceste substanţe, care au aceleaşi tip de structură sînt substanţe izotipe.

Dacă au şi forme asemănătoare, atunci sînt, mai potrivit, numite homeomorfe, denumirea de izomorfe fiind mai proprie numai pentru substanţele arătate mai sus.

2.6. Proprietățile cristalelor mixte

În primul rând trebuie remarcat faptul că topirea și solidificarea cristalelor mixte se desfășoară diferit de a cristalelor pure. Pe când acestea se topesc și se solidifică la o anumită temperatură care rămâne constantă în tot timpul desfășurării procesului, ca de ex. în cazul tiosulfatului de sodiu. Curbele de topire și solidificare au trasee diferite dar se intersectează în cele două puncte extreme care marchează începutul și sfârșitul procesului (ex. fig. 411). $\text{Na}_2\text{S}_2\text{O}_3 \cdot 5\text{H}_2\text{O}$ (41°) cristalele mixte se topesc și se solidifică într-un interval de temperatură care variază cu proporția de amestec a componentelor.

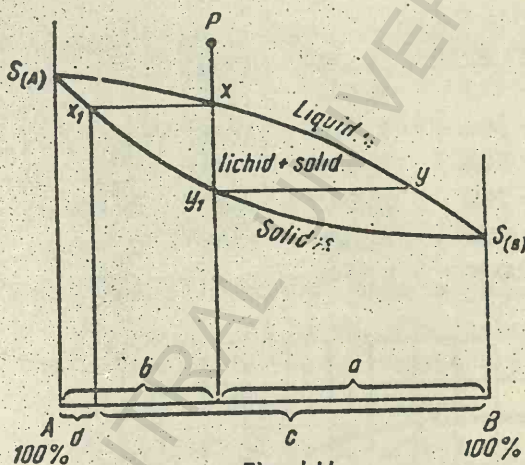


Fig. 411

Proprietățile fizice ale cristalelor mixte au caracter aditiv. Ele sînt în funcție de proprietățile componentelor și variază în mod continuu odată cu compoziția amestecului așa cum se observă la feldspații plagioclazi.

În unele cazuri, variația continuă a anumitor proprietăți servește chiar la determinarea compoziției amestecului.

Ca exemplu vom lua tot feldspații plagioclazi.

După proporția de albit și anortit a amestecului izomorf s-au delimitat zone de miscibilitate ale acestora cărora li s-au dat anumite denumiri (albit, oligoclaz, andezin, labrador, bytownit și anortit).

Determinându-se pentru fiecare termen proprietățile fizice se observă foarte bine variația lor continuă pe măsură ce se modifică proporția între cei doi componenți.

În tabloul de mai jos sînt date densitățile, temperaturile de topire și indicii de refracție.

Pe baza indicilor de refracție și a unghiurilor de extincție după anumite direcții din cristale se întocmesc curbe (fig.412), care servesc la determinarea microscopică a compoziției chimice a feldspatului cercetat. În acest mod determinarea se face mult mai ușor decît prin analiză chimică, cu mare exactitate și fără a distruge proba cercetată.

Mineralul	Ab.cu % An.	Gr.sp.	t° de topire	Indicii de refracție		
				np	nm	ng
Albit	0 - 10%	2,624	1150°	1,525	1,529	1,536
Oligoclas	10 - 30%	2,656	1340°	1,539	1,543	1,547
Andezin	30 - 50%	2,679	1367°	1,550	1,553	1,557
Labrador	50 - 70%	2,697	1419°	1,559	1,563	1,565
Bytownit	70 - 90%	2,729	1464°	1,567	1,572	1,576
Anortit	90 -100%	2,758	1532°	1,579	1,583	1,589

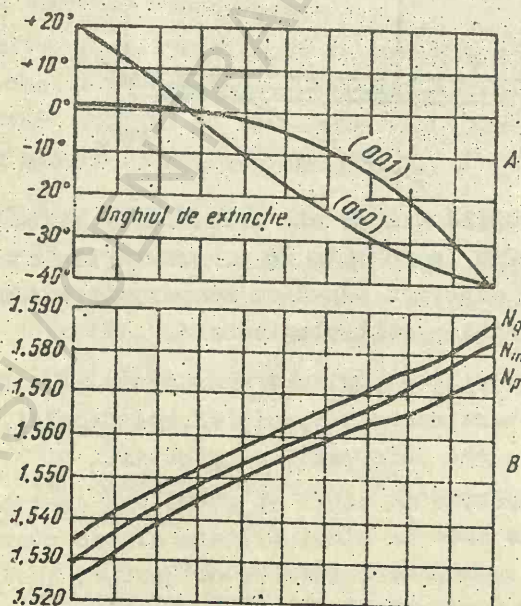


Fig.412

2.7. Serii izomorfe

Sintetizînd datele cunoscute pînă în anul 1910 cu privire la înlocuirea izomorfă a unor elemente prin altele, Vernadski a grupat aceste elemente în mai multe serii, cum sînt de ex. seriile:

1. $\underbrace{\text{Al, Fe, Cr, Mn}}_{\text{I}} \mid \underbrace{\text{Ti, B (Y), Ce, V}}_{\text{III}}$
 $\underbrace{\hspace{10em}}_{\text{II}}$
4. $\underbrace{\text{V, P, As, Sb}}_{\text{I}}$
11. $\underbrace{\text{Pt, Fe, Pd, Ir, Rh, Cu}}_{\text{III}}$
15. $\underbrace{\text{Co, Fe, Ni}}_{\text{I}}$
 $\underbrace{\hspace{10em}}_{\text{II}}$

Constatîndu-se că unele elemente izomorfe în anumite condiții termodinamice pot să nu mai fie izomorfe în alte condiții, Vernadski a considerat izomorfismul elementelor dintr-o serie ca posibil în trei situații naturale:

- I. Temperaturi și presiuni reduse;
- II. Temperaturi ridicate și presiuni mijlocii
- III. Temperaturi și presiuni ridicate.

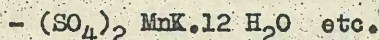
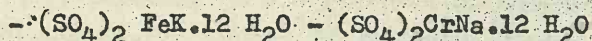
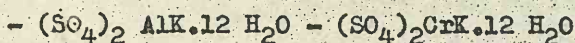
De obicei se constată o scădere a miscibilității, izomorfe de la condițiile de temperatură ridicată (III) la cele de temperatură scăzută (I). Grupa III-a este mai largă decît II-a și aceasta, mai largă decît I-a, așa cum se vede și din exemplul seriilor 1 și 15 de mai sus.

Ulterior s-au adăugat noi cazuri de izomorfism iar unele din cele clasate de Vernadski au trebuit mutate din seriile respective. În mare, tabloul își menține însă importanța și azi.

Tot astfel s-au concretizat în decursul anilor numeroase serii izomorfe de minerale și compuși chimici, înțelegându-se izomorfismul în sensul restrâns al substituțiilor izovalente.

Dăm, mai jos, câteva exemple de serii izomorfe:

a. Seria alaunilor, în care Al^{3+} poate fi înlocuit cu Cr^{3+} , Fe^{3+} , Mn^{3+} iar K^+ prin Na^+ , Rb^+ , Cs^+ :



b. Seria granatilor, cristalizați de asemenea în sistemul cubic, în care Al^{3+} poate fi substituit prin Fe^{3+} , Cr^{3+} , Mn^{3+} iar Ca^{2+} prin Mg^{2+} , Fe^{2+} și Mn^{2+} :



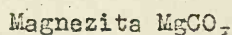
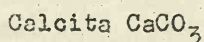
c. Seria apatitei cristalizează în sistemul hexagonal. Aici $(PO_4)^{3-}$ poate fi înlocuit cu (AsO_4) sau (VO_4) iar Ca^{2+} poate fi înlocuit cu Pb, ex.:



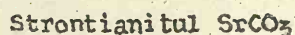
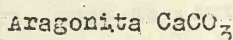
d, e. Seria calcitei și seria aragonitei prezintă o situație deosebită; în capul fiecărei serii se găsește $CaCO_3$ (care după cum știm, este dimorfi), în prima serie calcita, cristalizată trigonal, în cel de-al doilea aragonita, cristalizată în sistemul rhomboedric.

În seria calcitei, Ca^{2+} cu raza 1,06 Å, este înlocuit cu elemente bivalente a căror rază este mai mică de 1,06 Å (Mg^{2+} , Fe^{2+} , Zn^{2+} , Mn^{2+}), pe când în seria aragonitei Ca^{2+} este înlocuit cu elemente care au raza mai mare de 1,06 Å (Sr^{2+} , Ba^{2+} , Pb^{2+}), astfel:

d. Trigonal



e. Rhombic



Siderita FeCO_3

Witheritul BaCO_3

Rhodocrozitul MnCO_3

Ceruzitul PbCO_3

Smithsonitul ZnCO_3

f. Seria izodimorfă a sulfatilor, cristalizați cu șapte molecule de apă.

Este deosebit de interesant faptul că aici toți termenii seriei sînt dimorfi, cum a fost doar CaCO_3 în seriile anterioare. Ei cristalizează atît în sistemul rombic cît și în sistemul monoclinic. Așa sînt:

-Epsomitul $\text{MgSO}_4 \cdot 7\text{H}_2\text{O}$ - Morenositul $\text{NiSO}_4 \cdot 7\text{H}_2\text{O}$

-Goslaritul $\text{ZnSO}_4 \cdot 7\text{H}_2\text{O}$ - Biberitul $\text{CaSO}_4 \cdot 7\text{H}_2\text{O}$

-Mallarditul $\text{MnSO}_4 \cdot 7\text{H}_2\text{O}$ - $\text{FeSO}_4 \cdot 7\text{H}_2\text{O}$

Este vorba de rapt de două serii izomorfe care au aceeași termenii; o serie rombică, alta monoclinică.

3. MORFOTROPISMUL

Condiția ca rețeaua să rămînă neschibată în cazul substituției izomorfe este, așa dar, ca dimensiunile și gradul de polarizare ale particulei substituente să fie relativ apropiate de ale particulei substituite. Diferența lor să nu depășească anumite limite ale raportului de coordonare $R_K = R_A$.

Prin înlocuirea izomorfă a particulelor dintr-o anumită structură cu particule din ce în ce mai mici sau mai mari, pînă la o anumită limită, se produc schimbări treptate ale formei cristaline (raportul dintre parametri, unghiurile dintre fețe) fără însă ca să se producă o schimbare a structurii.

Compușii care se formează succesiv constituie o serie izomorfă.

Depășindu-se însă această limită a raportului $R_K : R_A$ și intrîndu-se astfel în domeniul de stabilitate a altui fel de coordonare tipul rețelei se schimbă brusc.

Această schimbare bruscă a structurii și formei cristalinului, datorită substituției cu particule care depășesc limitele de izomorfism, a fost numită de Groth morfotropism.

Seria morfotropă a clorurilor alcaline prezintă un exemplu în care transformarea se produce în urma unei creșteri treptate a raportului $R_K : R_A$ pînă ce depășește limita superioară de izomorfism:

Substanța	LiCl - NaCl - KCl - RbCl	Cs Cl
$R_K = R_A$	0,43 0,54 0,73 0,82	0,91
Tip de rețea	tipul NaCl	Tipul CsCl.

Seria oxizilor alcalino-pămîntoși prezintă un exemplu de morfotropism în care transformarea se produce în urma unei micșorări treptate a raportului $R_K : R_A$, pînă la depășirea limitei inferioare de stabilitate izomorfică:

Substanța	BaO - SrO - CaO - MgO	BeO
$R_K = R_A$	1,08 0,96 0,80 0,59	0,26
Tip de rețea	tipul blendei	tipul CsCl

Carbonatul de calciu, cu raportul $R_K : R_A$ care-l situează la limita dintre două serii izomorfe, poate cristaliza în ambele serii, este diizomorf.

În acest sens, polimorfismul său poate fi considerat ca un caz particular de morfotropism, pe care Al. Codarcea îl numește automorfotropism.

Aici compoziția chimică nu se schimbă dar, desigur, sub acțiunea factorilor termodinamici diferiți, se realizează condiții care favorizează o structură sau alta.

Carbonatul

CO_2Me , de:	Mg - Zn - Fe - Mn - Ga - Ca - Sr - Pb - Ba
R_K	0,78 0,83 0,83 0,91 1,06 1,27 1,22 1,43
Tip de rețea	tipul calcitei tipul aragonitei

Izomorfismul, polimorfismul și morfotropismul sînt fenomene care se petrec sub imperiul aceluiași legi generale cristalochimice.

Mg_2SiO_4 / Fe_2SiO_4 / amestecuri izomorfe \rightarrow olivina $(\text{Mg, Fe})_2(\text{SiO}_4)$

Mg^{2+} și Fe^{2+} sînt 2 elemente DIADOCHICE

TRAIAN IDRICEANU
CRISTALOGRAFIE

4.

CRISTALOGENEZA

C R I S T A L O G R A F I E .

4. CRISTALOGENEZA.

FORMAREA, CREȘTEREA, TRANSFORMAREA ȘI DISTRUGEREA CRISTALELOR.

Pentru partea care urmează se folosește adesea titlul de "Cristalogeneză", dar problemele care se tratează aici mai sînt uneori cuprinse în capitole intitulate "Creșterea și dizolvarea cristalelor", "Creșterea cristalelor", sau pur și simplu "Cristalizarea".

Nici unul din titluri nu corespunde însă conținutului sau deoarece, în fapt, aici se tratează problema integrală a formării, creșterii, transformării și distrugerii cristalelor.

În lipsa unui termen adecvat, scurt și cuprinzător și în acest sens larg, am folosit și noi titlul de cristalogeneză.

XVI. C R I S T A L I Z A R E A .

1. CRISTALIZAREA ȘI RECRISTALIZAREA.

1.1. Cristalizarea

Ceea ce deosebește de materia amoră și derinește în ultimă analiză, materia cristalină, este aranjarea ordonată a particulelor sale componente în spațiu, structura sa internă reticulară, deci omogenitatea reală.

În stare gazoasă și lichidă particulele, care se găsesc într-o permanentă mișcare de translație și ciocnire reciprocă, dispun de o cantitate maximă de energie liberă.

În anumite condiții fizico-chimice, particulele care se ciocnesc se unesc între ele, dar apoi se despart în aceeași măsură.

În alte condiții fizico-chimice, acestea se unesc pe seama forțelor interne de legătură fără a se mai desface și trec în starea solidă, eliberînd o parte din energia liberă.

Particulele aduse în asemenea condiții au tendința de a se uni prin legături orientate în spațiu, constituind rețele tridimensionale de diferite tipuri, adică formînd cristale.

Această stare corespunde păstrării unei energii libere minime. Restul se eliberează, de ex. prin degajare de căldură.

Uneori însă, condițiile care favorizează unirea particulelor sînt perturbate de anumiți factori care nu permit finalizarea acestui proces prin aranjarea ordonată a particulelor în formă de rețea și solidificarea se produce în condițiile unor legături orientate haotic, la întîmplare, de ex. în urma creșterii viscozității prin răcire bruscă.

Corpul solid este amorf. Omogenitatea lui este statistică, iar particulele mai păstrează o mare parte din energia lor liberă și au tendința de a trece în poziția ordonată.

Puse în condiții cîmpplet favorabile, corpurile amorse cristalizează. Legăturile dintre particule se orientează ordonat, particulele, aranjate astfel în rețea ajung la energia liberă minimă corespunzătoare structurii cristaline și eliberează excesul de energie liberă pe care l-au avut în stare amorfă.

Acesta este cazul sticlelor care cu timpul, sau prin tratament termic (încălzire pînă aproape de topire), pot căpăta structură cristalină. Procesul se numește în acest caz devitrificare.

Tot cu timpul, prin îmbătrînire, pot cristaliza unele formații coloidale, cum sînt de ex. gelurile de minerale ca limonit, hematit, piroluzit etc., cunoscute sub denumirea de glaskopf-uri.

Trecerea materiei gazease, lichide sau solide amorse în stare solidă-ordonată, cu structură reticulară și de multe

ori cu forme poliedrice, constituie fenomenul de cristalizare.

1.2. Recristalizarea

Cristalele se pot forma din soluții, din topituri, din vapori (prin sublimare), din substanțe amorfă solide sau, cristalele cu o anumită structură corespunzătoare condițiilor în care s-au format, își pot schimba această structură sub influența unor variații ale factorilor externi, adică pot cristaliza.

Așa pot recristaliza metalele sub influența unor acțiuni mecanice (trepidații, lovituri orientate etc.) sau prin tratament termic (coacere), trecând de la structuri fin cristaline la structuri macrocristaline și chiar monocristaline (fier, cupru, aluminiu etc.).

De asemenea sub acțiunea factorilor termodinamici ai proceselor metamorfice din scoarța pământului, se produce recristalizarea unor minerale ca de ex. transformarea calcarelor în marmore sau transformările polimorfe ale dioxidului de siliciu (cuarț, tridimit etc) și a carbonatului de calciu (aragonit, calcit).

2. FORMAREA CRISTALELOR

2.1. Cristalizarea din topituri

Dacă se încălzește treptat sticla, care la temperatura ordinară este un corp solid amorf, se constată că, pe măsură ce crește temperatura, aceasta se înmoaie transformându-se într-o pastă din ce în ce mai puțin viscoasă, până ce devine complet lichidă. Nu se poate stabili un punct de topire. Procesul este continuu.

La răcirea treptată a topiturii fenomenul decurge în sens invers până la solidificarea completă a sticlei care își păstrează omogenitatea confuză, pe care o avea și în stare lichidă.

Procesul este tot continuu, nici aici nu se poate stabili un punct de solidificare.

Ca și topirea, solidificarea corpurilor amorfă, în general, este un fenomen care se desfășoară în mod continuu.

Dacă se iau într-o diagramă, temperaturile pe ordonată și timpul pe abscisă și se reprezintă fenomenul, rezultă o curbă continuă (fig. 413).

Procedînd acum în același mod cu clorura de sodiu, care la temperatura ordinară este un corp cristalizat, fenomenul se desfășoară în mod diferit.

La încălzirea treptată, procesul decurge în mod asemănător, putînd fi reprezentat printr-o curbă continuă, pînă la temperatura de 776°C , cînd se topește, trecînd în stare lichidă amorfă.

Aici însă temperatura rămîne constantă pînă la terminarea topiturii și numai după aceea urcă din nou continuu ca și în prima parte a procesului.

Curba, transformată pe parcursul topirii într-o dreaptă paralelă cu abscisa timpului, își revine după aceea, din nou, forma ascendentă (fig. 414).

La răcirea topiturii de NaCl , fenomenul se petrece în rs. La 776°C încep să se formeze germeni foarte mici de cristal care cresc în formă de cuburi, topitura cristalizează, în timp ce temperatura rămîne constantă. Apoi substanța cristalizată, se răcește treptat.

Curba urmează drumul în sens contrar.

Trecerea de la starea solidă cristalizată la starea lichidă, amorfă, ca și trecerea de la starea lichidă la starea cristalină (cristalizarea), este un fenomen discontinuu.

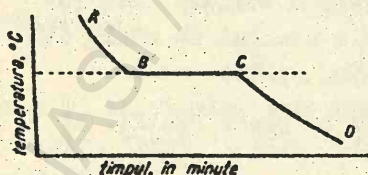


Fig. 414

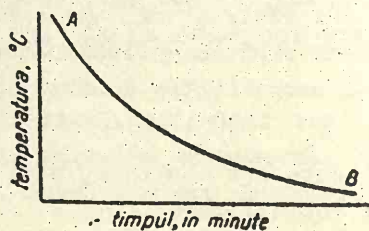


Fig. 415

Germinarea spontană. Desfășurarea procesului de cristalizare poate fi observat foarte bine la microscop. Dacă se pun pe o lamă de sticlă câteva granule de salol (salciat de fenil), se topesc și apoi se observă la microscop picătura formată, se constată că, la răcire, apar mai întâi niște particule solide foarte mici de la care se propagă, în jurul lor, cristalizarea substanței. Aceștia sînt germeni de cristale.

Dacă ar fi un singur germene de cristalizare s-ar forma un singur cristal din toată masa topiturii. Apărînd însă mai mulți germeni, în diferite puncte ale topiturii, aceștia cresc și se unesc formînd un agregat de cristale.

Germinarea artificială. Peste picătura topiturii de salol de pe lama de sticlă se așează o lamelă de sticlă astfel ca o mică margine a topiturii să rămînă neacoperită și să așează la microscop.

Dacă de marginea descoperită a picăturii se apropie un cristal de salol, se poate observa cum se amorsează cristalizarea începînd de la granula de salol și se propagă în toată masa topiturii.

Si într-un caz și în celălalt, cristalizarea nu se produce deci decît dacă în topitură se găsesc germeni de cristale, fie produși spontan, ca în primul caz fie însemînați artificial, ca în al doilea caz.

Nu numai cristalele din aceeași substanță pot constitui germeni artificiali ci și cristalele sau fragmentele de cristale ale unor substanțe izomorfe și chiar pulberile din atmosferă.

Din foarte numeroasele particule minuscule de praf din atmosferă, se pot găsi și unele particule de forme corespunzătoare, care să constituie germeni de cristalizare.

Subrăcirea. La unele topituri se poate produce fenomenul de subrăcire. Acestea pot fi aduse la temperaturi întrepricere celei de solidificare fără ca totuși substanța să prezinte centre de cristalizare și deci fără să cristalizeze.

Așa se întâmplă în cazul hiposulfidului de sodiu. Punând într-un balon de sticlă o cantitate de hiposulfid în care, prin dopul balonului este introdus un termometru și încălzind, se constată că la 41° substanța se topește.

Temperatura rămâne constantă pînă la terminarea topiturii, după care continuă să crească.

Lăsînd topitura să se răcească liniștit, se constată că aceasta ajunge la temperatura camerei fără să cristalizeze.

În această stare lichidă de subrăcire hiposulfidul poate rămîne un timp indefinit.

Deaînsă în topitura astfel subrăcită, se provoacă germinarea prin introducerea unor granule de hiposulfid, toată masa cristalizează brusc, temperatura urcîndu-se din nou la 41° , unde rămîne staționară pînă la terminarea cristalizării. Apoi, coboară după o curbă (fig.415).

În cazul acesta și în unele cazuri asemănătoare, temperatura se ridică pînă la punctul normal de solidificare (t_1^0 de pe figură) dar în alte cazuri, se ridică numai pînă la o temperatură (t_2^0) inferioară acesteia.

În cazul germinării spontane a topiturilor, numărul de germeni care apar variază, în condițiile de subrăcire.

Prin numărul de germeni care apar în unicitatea de volum și unitatea de timp se măsoară puterea de cristalizare spontană.

Dacă într-o diagramă se înseamnă pe abscisă puterea de cristalizare spontană iar pe ordonată temperatura de subrăcire și se trec valorile respective pentru o anumită topitură, rezultă o curbă simetrică care începe cu un minim, trece printr-un maxim și ajunge iarăși la un minim odată cu coborîrea temperaturii de subrăcire (fig.416).

Din examinarea acestei curbe se constată că la punctul de topire și chiar sub punctul de topire pe un mic interval de temperatură, se produc numai un număr redus de germeni.

Dacă subrăcirea este mai mare, numărul de germeni crește mult pînă ajunge la un maxim.

La subrăcire și mai puternice numărul de centre scade pînă cînd ajunge la zero. Topitura nu mai cristalizează spontan.

Rezultă de aici că pentru a obține cristale puține și mai mari, trebuie provocată o subrăcire slabă, iar pentru a obține cristale multe și mici, o subrăcire mai pronunțată, care însă, să nu depășească anumite limite.

Dacă subrăcirea este prea puternică atunci masa substanței capătă o stare vîscoasă, care nu mai permite aranjarea ordonată a particulelor sub formă de rețea cristalină și solidificarea se face în stare amorfă.

Asemenea corpuri, puternic subrăcite, sînt sticlele și caramamelul, care au un caracter solid amorf.

Cu greu și numai în anumite condițiuni, se poate produce cristalizarea lor, care este numită "devitrificare" și respectiv, "zaharisire".

Dacă însă aceste corpuri sînt încălzite pînă aproape de temperatura de topire, atunci cristalizarea se poate produce cu mai multă ușurință.

Sînt și multe substanțe care nu sufer subrăcirii puternice. Așa sînt, în general, metalele, care nu sufer decît subrăcirii foarte slabe trecînd, prin răcirea topiturii, chiar de la început în stare cristalină.

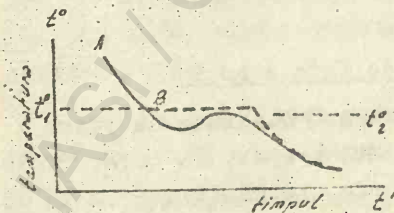


Fig. 415.

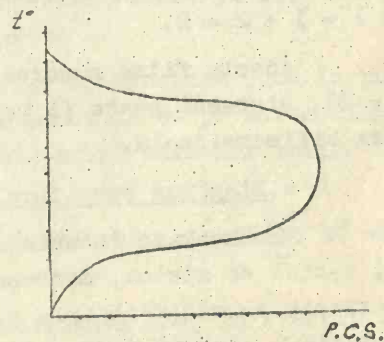


Fig. 416

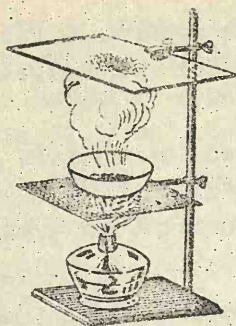


Fig. 416b

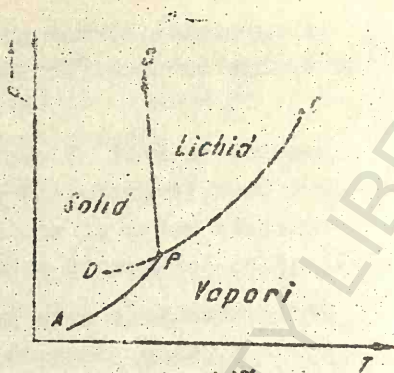


Fig. 417

2.2. Diagrame de faze. Cristalizarea din vapori

În expunerea procesului de cristalizare din topituri a fost prezentat cazul simplu al unui sistem monocomponent cu două variabile de care depinde echilibrul dintre faze (p și T)

După regula fazelor exprimată în acest caz prin relația $L = K - P + 2$ sînt posibile trei situații:

-Sistemul va fi invariant pentru echilibrul dintre toate cele trei faze (P), solid, lichid și vapori: $L = 1 - 3 + 2 = 0$;

-Sistemul va fi monovariant în cazul echilibrului dintre două faze: $L = 1 - 2 + 2 = 1$;

-Sistemul va fi bivariant în cazul unei singure faze: $L = 1 - 1 + 2 = 2$.

Acesta fiind numărul maxim al gradelor de libertate ($L = 2$), sistemul poate fi reprezentat printr-o diagramă de stare bidimensională.

a. Diagrama echilibrului de faze a apei

Vom analiza în cele ce urmează diagrama de stare a unui astfel de sistem, monocomponent, a apei, la care, făcînd abstracție de modificările polimorfe ale gheții, luăm în considerație o singură fază solidă, faza lichidă și faza de vapori.

Luînd valorile presiunii pe ordonată și ale temperaturii pe abscisă (fig. 417), vom desebra pe diagramă trei curbe

care reprezintă proiecția suprafețelor de separație dintre domeniile de existență a celor trei stări și anume:

-Curba de topire (PB), care separă faza solidă de cea lichidă;

-Curba de vaporizare (P_3C), care separă faza lichidă de faza de vapori și

-Curba de sublimare (P_3A), care separă faza de vapori de faza solidă.

Fiecare curbă definește echilibrul dintre cele două faze pe care le separă și reprezintă locul geometric al punctelor de coordonate p , t care corespund unui sistem monovariant:

$$L = K - P + 2 = 1 - 2 + 2 = 1$$

Numai una din variabile p și T poate lua valori arbitrare, cealaltă este funcție de ea:

$$p = f(T) \text{ și } T = f'(p).$$

Dacă se modifică izoterm presiunea sau dacă se modifică izobar temperatura, se produce ruperea echilibrului. Una din faze se transformă în cealaltă, sistemul devine bivariant:
 $L = 1 - 1 + 2 = 2$.

După cum se vede în diagramă, cele trei curbe se intersectează într-un punct P_3 care se numește punct triplu. Acesta este punctul de echilibru între toate fazele și aici sistemul este invariant: $L = 1 - 3 + 2 = 0$.

Orice schimbare de presiune sau de temperatură duce la ruperea echilibrului triplu. Pentru punctele de pe curbe disparg una din faze, pentru punctele din afară curbelor rămâne câte o singură fază.

În cazul apei punctul triplu corespunde la $t^0 = 0,0076^\circ\text{C}$ și la $p = 4,56$ mm. coloană de mercur.

Fiecare substanță cristalizată are, în funcție de presiune, o anumită temperatură de topire la care starea solidă poate trece brusc în stare lichidă.

Temperatura de topire la presiunea de 0 atmosferă se numește

temperatură normală de topire.

La aceeași temperatură, prin răcire, corpul lichid trece în stare solidă, cristalizează, așa că temperatura de topire este în același timp și temperatura de solidificare.

Pentru presiunea normală, de o atmosferă, punctul de echilibru apă gheață corespunde cu 0°C . Într-adevăr temperatura normală de topire a gheții este de 0°C , adică puțin sub punctul triplu, deoarece acum asupra sistemului nu se exercită numai presiunea vaporilor proprii ci presiunea aerului saturat cu vaporii de apă.

În practică, diferența fiind atât de mică pentru variații mici de presiune se poate confunda punctul triplu cu punctul de topire normal al apei.

Valoarea variației de temperatură în raport cu presiunea adică panta curbei de topire, poate fi dedusă din ecuația Clapeyron - Clausius:

$$\frac{dT}{dp} = \frac{T(V^L - V^S)}{\Delta t H}$$

în care V^L și V^S reprezintă volumul molar al lichidului, respectiv al solidului, iar $\Delta t H$, entalpia de topire (cantitatea de caldura necesară pentru transformarea unui mol de substanță solidă în substanță lichidă).

În cazul apei $V^L = 0,0180$ l și $V^S = 0,0196$ l, temperatura de topire $T = 273^{\circ}\text{K}$, iar entalpia molară de topire, $\Delta t H = 427,4$ cal/mol = $5,9814$ at./mol, de unde:

$$\frac{dT}{dp} = \frac{273(0,0180 - 0,0196)}{5,9814} = -0,0076 \text{ grad/at.}$$

Dupa cum se vede, rezulta o valoare negativă din cauză ca topirea gheții se produce cu micșorare de volum.

La creșterea presiunii cu o atmosferă corespunde o scădere de temperatură de $0,0076^{\circ}$.

Aceasta explică și panta negativă a curbei de topire P_3B din diagramă.

Curba de vaporizare P_3C reprezintă locul geometric al punctelor de echilibru dintre faza lichidă și faza de vaporii.

La presiune constantă, ridicarea temperaturii duce la dispariția fazei lichide, iar coborîrea temperaturii, la dispariția fazei gazoase.

Dacă prin încălzire la o anumită temperatură tensiunea vaporilor ajunge să egaleze presiunea exterioară, atunci se produce vaporizarea în toată masa lichidului și lichidul fierbe.

Aceasta este temperatura de fierbere și la presiunea exterioară normală - adică la presiunea atmosferică, se numește temperatură normală de fierbere.

Datorită faptului că $v^v > v^l$ derivată $\frac{dT}{dp}$ din ecuația Clapeyron - Clousius: $\frac{dT}{dp} = \frac{T(v^v - v^l)}{\Delta_v H}$ este pozitivă și entalpia molară de vaporizare tot pozitivă; va fi deci pozitivă și panta curbei de vaporizare.

Cresțerea presiunii deasupra lichidului duce la creșterea temperaturii de fierbere, iar micșorarea ei, la micșorarea temperaturii.

Acest raport este valabil și pentru variația presiunii în raport cu variația temperaturii.

Subrăcirea. Unele substanțe suferă fenomene de subrăcire topiturile lor putînd fi răcite sub temperatura de solidificare, fără a cristaliza.

Lichidul subrăcit este atunci într-o stare de echilibru nestabil numită stare metastabilă, în care poate fi menținut un timp îndelungat.

Așa cum am văzut anterior, însă, la cea mai mică amorsare lichidul cristalizează brusc.

După cum se vede din porțiunea de curbă P_3D , presiunea de vapor, corespunzătoare unei anumite temperaturi, este aici superioară celei corespunzătoare temperaturii gîteiei pe curba AP_3 .

Dacă subrăcirea continuă, la o anumită limită de coborîre, marcată de capătul D al curbei, topitura trece într-o stare labilă și cristalizează spontan, fără amorsare.

b. Cristalizarea din vapori.

La echilibru, solidele ca și lichidele, au pentru o anumită temperatură, o anumită presiune de vapori.

Această presiune crește pe măsură ce crește și temperatura.

Variația concomitentă a celor doi parametri este reprezentată în diagrama de faze a apei printr-o curbă ascendentă și progresivă AP_3 , care separă domeniile celor două faze (s,v) până la punctul triplu P_3 .

Sub limita de presiune trasată de această curbă, substanța solidă trece direct în stare de vapori, adică sublimază. Curba se numește curbă de sublimare.

Pentru presiunile și temperaturile mai mari, care urmează după punctul triplu, între faza vapori și faza solidă se interpune domeniul fazei lichid, separată de acestea prin curba de vaporizare P_3C și respectiv, curba de topire (P_3B).

După punctul triplu, prin creșterea presiunii de vapori și variația temperaturii se poate păstra, pe de-o parte echilibrul între faza solidă și cea lichidă, iar pe de altă parte, echilibrul solid-vaporilor nu mai este posibil.

În intervalul de sub punctul triplu, prin menținerea constantă a unuia din cei doi factori și variația celuilalt, substanța trece dintr-o stare în cealaltă.

De ex. prin creșterea temperaturii la o asemenea presiune constantă, corpul trece din starea solidă în starea de vapori, sublimază.

Este posibil și procesul invers. Prin răcirea vaporilor aflați la o asemenea presiune constantă aceștia trec direct în starea solidă cristalină.

Astfel în cazul apei, dacă vaporii se găsesc la o presiune mai mică decât cea corespunzătoare punctului de topire 0°C (4,6 mm Hg) prin răcirea lor bruscă sub această temperatură, trec în stare solidă. Așa se explică formarea brumei și a steluțelor de zăpadă în stratele reci ale atmosferei.

În cazul însă când presiunea parțială a vaporilor de

apa este mai mare de 4,6 mm. și se răcesc sub temperatura de topire, aceștia trec mai întâi în faza lichidă și apoi îngheață.

Așa se întâmplă cu apa și cele mai multe substanțe care au presiunea corespunzătoare punctului triplu mai mică de o atmosferă (760 mm). Punctul lor de fierbere este diferit și mult superior punctului de topire.

Sînt însă substanțe ca iodul, sulful, naftalenul etc. a căror presiune de vapori la punctul triplu este mai mare decât presiunea atmosferică normală.

Aceste substanțe nu pot fi topite la presiunea atmosferică deoarece sublimază.

Astfel CO_2 , care are presiunea de vapori la punctul triplu de 5,1 At. trece direct în stare de vapori, sublimază la temperaturi mai mari de $-78,5^\circ\text{C}$.

Temperatura de sublimare la presiunea atmosferică se numește temperatură de sublimare. Zăpada carbonică sublimază în condiții de presiune normală la $-78,5^\circ\text{C}$.

Tot astrei, dacă se încălzește ușor iodul cristalin într-un vas de sticlă, se constată că pe pereții reci, în partea superioară a vasului, sau pe o bucată de sticlă rece pusă deasupra, se depun direct în urma sublimării, cristale de iod.

Si în cazul acesta, se formează mai întâi germenii de cristale, care apoi continuă să crească.

Ecuația Clapeyron-Clausius exprimată aici sub forma:

$$\frac{d p}{d T} = \frac{\Delta su H}{T(v^v - v^s)}$$

unde entalpia de sublimare este pozitivă și diferența de volum molar este pozitivă, arată că și derivata, $\frac{d p}{d T}$, este pozitivă.

Panta curbei de sublimare va fi tot pozitivă.

Între entalpiile molare de sublimare, de vaporizare și de topire este relația:

$$\Delta su H = \Delta vH + \Delta t H.$$

2.3. Cristalizarea din soluții

a. Soluții cristaloide. Prin variația condițiilor de temperatură, presiune și concentrație, soluțiile pot separa faze solide cristalizate.

Cantitatea maximă dintr-o substanță pe care o poate dizolvi un lichid la o anumită temperatură și presiune, se numește solubilitate și se exprimă în grame % sau grame la litru.

O astrel de soluție este soluția saturată, iar concentrația substanței solvite este concentrația de saturație.

În aceste condiții se stabilește un echilibru heterogen între faza lichidă și faza solidă cristalizată.

Concentrarea de saturație variază cu natura solventului, compoziția fazei disperse, temperatura și presiunea.

Prin variația condițiilor fizico-chimice de ex. prin subrăcire se poate obține o soluție cu concentrația mai mare decât cea de saturație. Atunci soluția este suprasaturată.

Soluțiile suprasaturate nu sînt stabile; ele au tendința de a depune excesul de substanță sub forma de fază solidă cristalină.

Variind în sens invers condițiile fizico-chimice, de ex. prin încălzire, o soluție suprasaturată poate deveni nesaturată și deci capabilă să mai dizolve o nouă cantitate de substanță, pînă la saturarea corespunzătoare noilor condiții.

Un exemplu simplu pentru ilustrarea acestor stări ale soluției poate prezenta diagrama de solubilitate a azotatului de potasiu în apă (fig. 418).

Trecînd concentrația de saturație pe ordonată și temperatura pe abscisă, la presiunea normală, se vede că solubilitatea urmează o curbă ascendentă, care trece prin punctul $S_1(24,1 \text{ g\%}, t^{\circ} = 20^{\circ})$, și prin punctul $S_2(39,1 \text{ g\%}, t^{\circ} = 40^{\circ})$.

Încalzind la 40° soluția cu o concentrație de 31,5%, punctul S' care corespunde noilor coordonate, va fi situat dedesubtul curbei, ceea ce arată că în aceste condiții soluția este nesaturată.

Pentru a ajunge la saturație are nevoie de o concentrație de 39,1%. Este deci capabilă să mai dizolve încă 7,6 gr. KNO_3 .

Prin răcire la 30° , punctul S_2 , cu coordonatele respective, se situează chiar pe curba de solubilitate, arătând că soluția este saturată.

Dacă se răcește soluția și mai departe, pînă la 20° , punctul reprezentativ se deplasează în S^+ , deasupra curbei de solubilitate. Soluția este, la această temperatură, saturată pentru concentrația de 24,1% pe cînd pentru concentrația considerată (31,5%) este suprasaturată și conține un exces de 7,4 gr. KNO_3 .

Dacă răcirea se face în mod lent, fără ca soluția să fie agitată și în vas acoperit, suprasaturația, prin răcire se poate duce pînă la o anumită limită, fără ca excesul de substanță să cristalizeze spontan.

Aceasta este limita de suprasaturație, pînă la care soluția este metastabilă.

Dacă se adaugă cristale sau fragmente de cristale din aceeași substanță, în soluția astfel suprasaturată, tot excesul de substanță cristalizează rapid.

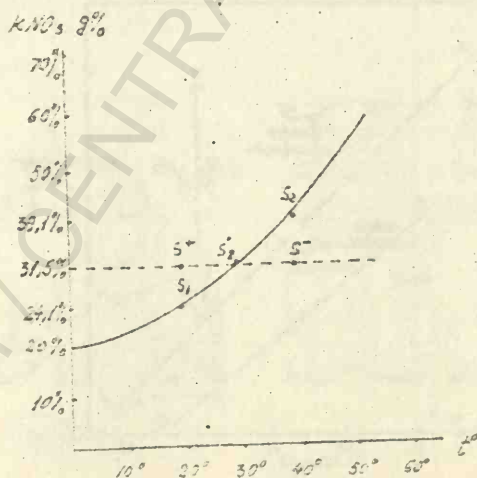


Fig. 418.

Continuând însă subrăcirea și sub această limită, soluția își pierde și această stabilitate devenind labilă. La cea mai mică atingere sau agitare cristalizează spontan, fără germinare.

În diagrama azotatului de sodiu (fig. 419) curba de solubilitate $A - A'$ reprezintă limita de echilibru între soluția nesaturată și starea solidă a NaNO_3 și separă domeniul soluției nesaturate, de domeniul soluției suprasaturate metastabile, iar curba de suprasaturație $B - B'$ separă domeniul soluției suprasaturate metastabile de domeniul soluției suprasaturate labile.

Soluțiile suprasaturate pot fi păstrate ca atare mult timp dacă sînt ferite de praful din atmosferă și nemișcate, dar cu timpul încep să cristalizeze.

Suprasaturarea soluției mai poate fi provocată și prin creșterea presiunii deoarece solubilitatea substanței se află tot într-un raport direct și cu variația presiunii.

De asemenea suprasaturarea se poate realiza prin evaporarea solventului, mărind deci concentrația.

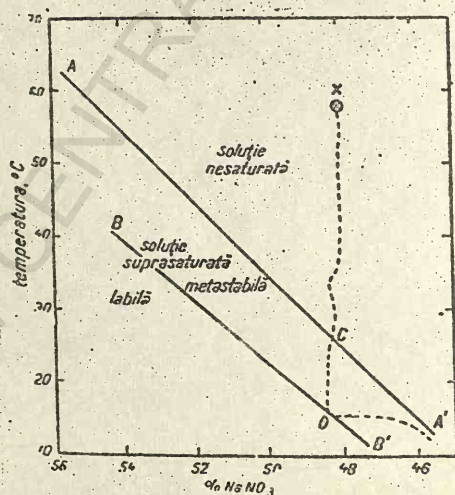


Fig. 419.

b. Germinarea cristalelor.

Ca și în cazul topiturilor, dintr-o soluție supra-saturată nu se separă de la început cristale mari ci, mai întâi, se formează niște particule cu structură cristalină de dimensiuni foarte mici care constituie germeni de cristale.

Dacă se ia o picătură dintr-o soluție de clorură de sodiu sau de alaun se pune pe o lamă de sticlă și se observă la microscop, se constată că, în urma evaporării solventului, apar mai întâi particule foarte mici, germeni de cristal, care în mod treptat cresc din ce în ce mai mult și capătă forme caracteristice substanței respective; cuburi pentru clorura de sodiu și octaedri pentru alaun. Aceasta este o germinare spontană.

Dacă în soluție s-ar produce numai un singur germen, atunci toată masa în exces s-ar solidifica sub forma unui cristal unic. De obicei însă se produc numeroși germeni așa că se dezvoltă cristale numeroase și mărunte sau chiar agregate de cristale (fig.420).

Cu cât gradul de subrăcire sau suprasaturare a lichidului este mai mare, cu atât numărul germenilor care apar este mai mare și deci cu cât suprasaturarea va fi mai intensă, puterea sau viteza de cristalizare va fi mai mare.

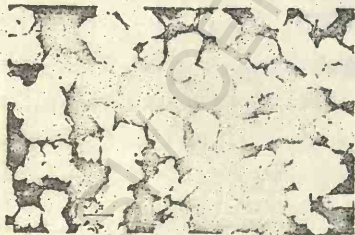


Fig. 420 a



Fig. 420 b.

Dimensiunile cristalelor care se formează, din contra, vor fi cu atât mai mari cu cât suprasaturarea va fi mai mică și cu atât mai mici cu cât suprasaturarea și puterea de cristalizare vor fi mai mari.

De ce însă se lasă subrăcite unele soluții și nu se declanșează cristalizarea lor decît în urma unei amorsări externe?

Cauza principală este creșterea vîscozității lor odata cu subrăcirea.

Posibilitatea deplasării și deci unirii particulelor, la început sub formă de germeni sau centre de cristalizare, este cu atât mai mică cu cât temperatura este mai coborîtă, cu cât vîscozitatea este mai mare.

La o răcire sau suprasaturare bruscă nici nu se vor mai forma cristale ci, mase amorfe sau coloidale de substanța (fig. 421).

Ca o dovadă a rolului vîscozității în împiedecarea cristalizării este faptul că substanțe a căror topitură este vîscoasă, cum este de ex. cazul silicei care se solidifică în formă amorfă sticloasă și care prin adaugarea de substanțe ce măresc fluiditatea topiturii, cristalizează la răcire.

Cristalizarea ei trebuie, în mod teoretic, să înceapă la concentrația de saturație a soluției sau la temperatura de topire a substanței. În fapt, începe ceva mai tîrziu, după o oarecare suprarăcire sau suprasaturare.



fig. 421

Ca să ferim soluția de contactul cu germenii din atmosferă, care de asemenea pot provoca cristalizarea, trebuie să acoperim vasul în care se află, iar înainte de a începe experiența să încălzim soluția, puțin peste temperatura concentrației de saturație, pentru a distruge eventualii germeni.

Ca și în cazul topiturilor unele soluții se lasă puternic subrăcite și cristalizează pînă la un punct doar în urma germinării artificiale, pe cînd altele cristalizează încă de la o mică suprasaturare prin germinarea spontană.

3. CREȘTEREA CRISTALELOR

Procesul de creștere a cristalelor din topiturile subrăcite decurge în același mod ca și în cazul soluțiilor supra-saturate încît va fi tratat și aici, în general.

În creșterea cristalelor se pot distinge mai multe etape succesive. În primul rînd o etapă de formare a germenilor de cristale, în al doilea rînd și în continuare, o etapă de constituire a formelor poliedrice cu fețe plane, o etapă de echilibrare a acestor forme prin definitivarea formei finale și în sfîrșit etapa de creștere a cristalului în forma constantă echilibrată.

3.1. Formarea germenilor

În soluțiile nesaturate ca și în topiturile supraîncălzite, particulele au o mare mobilitate și o mare energie care le asigură permanenta mișcare de translație.

Din această cauză, același număr de particule care se unesc în urma ciocnirilor reciproce se și despart în unitatea de timp, iar soluția, respectiv topitura prezintă o omogenitate confuză.

Acest lucru se întîmplă pînă la limita de saturație cînd faza solidă și cea lichidă sînt în echilibru.

De îndată ce se trece însă la o ușoară suprasaturare sau subrăcire a soluției sau topiturii și deci pe măsură ce crește viscozitatea, mișcarea liberă a particulelor este din ce în ce mai mult frînată, și se manifestă mai puternic tendința de asociere a atomilor sau ionilor substanței dizolvate sau topite.

Se formează complexe de atomi, ioni sau molecule bipolare care se leagă sub formă de lanțuri sau grupări simetrice ca un început de edificiu cristalin, reticular, de dimensiuni submicroscopice, care ajuns la o mărime relativ importantă, de până la 10^{-3} cm., constituie germenele de cristal.

Particulele asociate sub formă de dipoli și complexe ionice din soluție sau topitură, se îndreaptă și se orientează în jurul germenului de cristal sub influența câmpului său de forță electric. În felul acesta germenele de cristal crește mai departe, îmbrăcându-se cu rețe plane și căpătînd formă poliedrică.

3.2. Forme echilibrate de cristale

S-a constatat că, la început cristalul se îmbracă cu un număr mai mare de fețe cu diferite orientări.

După teoria lui P. Curie, pentru formarea fiecărui fel de fețe, se consumă o cantitate de energie care, pentru unitatea de suprafață reprezintă constanta capilară sau tensiunea superficială a sistemului cristal-soluție, însemnată cu litera σ . Constanta capilară variază cu orientarea feței, adică variază cu direcțiunea.

Produsul dintre constanta capilară și suprafața feței σ_s constituie energia superficială a feței de cristal, iar suma energiilor superficiale ale tuturor fețelor unui poliedru cristalin, constituie energia superficială totală a cristalinului.

$$E_s = \sigma_1 s_1 + \sigma_2 s_2 + \dots + \sigma_n s_n = \sum (\sigma_s)$$

În timpul creșterii cristalului format din germene se manifestă tendința de dispariție a unora dintre fețe și de dezvoltare și păstrare numai a unui număr mic de fețe, care corespund unei energii superficiale minime.

Această formă, pentru care energia superficială a cristalului pe unitatea de volum este minimă, se numește formă echilibrată.

Ulterior, teoria a fost apreciată ca valabilă în ceea ce privește fundamentarea energetică, numai pentru cristalele mici; rolul energiei superficiale în determinarea habitusului cristalelor mai mari fiind considerat neglijabil.

3.3. Viteza de creștere a cristalelor

Introducînd noțiunea de viteză de creștere a cristalelor pe o direcție normală la fețe, G.V. Vulf admite că aceasta este proporțională cu constanta capilară a feței respective.

În urma unor numeroase experiențe de creștere a cristalelor din soluții, efectuate între primii și de Vulf, s-a constatat că viteza de creștere normală a fețelor de cristal, ca și constanta capilară, variază cu direcțiunea și că, în aceleași condiții de creștere, viteza este egală pe toate direcțiile echivalente, dar diferită pe direcții neechivalente.

Vulf a remarcat că la creșterea aceasta, prin translație paralelă, a fețelor, se ajunge în urma creșterii stratului nou de particule care se depun și îl dezvoltă în direcții paralele cu fața pe care o acopere, adică se ajunge în urma creșterii tangențiale a stratului.

De asemenea, Bravais și Vulf au constatat că viteza de creștere este invers proporțională cu densitatea reticulară a rețelor de cristal și că, prin urmare, fețele de mai mică densitate vor crește mai repede și vor dispărea, iar cele cu densi-

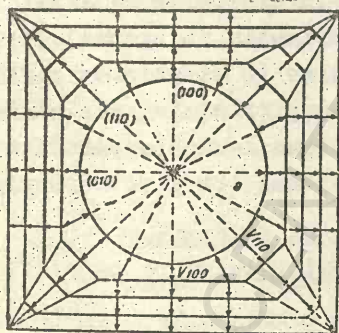


Fig. 422 a

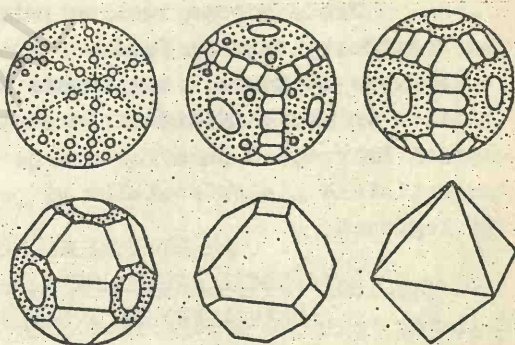


Fig. 422 b.

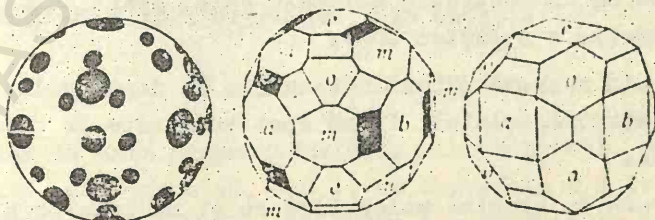


Fig. 422 c.

tate maximă vor crește cel mai încet și vor acoperi cristalul. Numeroase experiențe au confirmat tendința cristalelor de a se acoperi pînă la urmă cu fețe de creștere înceată, ajungînd la o formă finală, echilibrată, caracteristică substanței și condițiilor respective de creștere.

Astfel, prin creșterea treptată a unei mici sfere de NaCl , aceasta capătă la început, mai multe feluri de fețe: (100), (111), (110), iar apoi dispar succesiv celelalte fețe, începînd cu fețele (110), de dodecaedru romboidal, pînă cînd rămîn numai rețele de cub (100), care au avut cea mai mică viteză de creștere.

Fețele cu viteză mai mare de creștere, care dispar, se numesc rețe virtuale. Așa sînt aici fețele de dodecaedru romboidal și de octaedru care, în creștere, au fost înlocuite prin muchiile și respectiv colțurile cubului.

Mai departe cristalul crește prin adăugarea de strate noi, paralele cu fețele de cub (fig.422).

Toate aceste idei cu privire la creșterea cristalelor au fost dezvoltate și fundamentate cantitativ în special în două grupe de teorii: una bazată mai ales pe difuziunea particulelor în mediul fluid și fenomenele superficiale, cealaltă bazată în special pe structura atomică sau ionică a păturilor superficiale ale cristalelor și pe acțiunea lor electrostatică de legătură.

3.4. Teorii asupra creșterii cristalelor pe baza difuziunii și adsorbției.

În aceste concepții se considera că în jurul cristalului scufundat în soluția suprasaturată se formează o pătură îngustă de concentrație mai mare chiar decît concentrația de suprasaturație a soluției (C_2).

Din această pătură moleculele se depun prin adsorbție pe suprafața cristalului, fiind apoi integrate în ordinea sa reticulară.

Această zonă de grosime moleculară se și numește pătura de adsorbție.

După ea urmează o altă zonă, cu concentrație de suprasaturație mai scăzută (C_1) decât a soluției suprasaturate (C_2) care urmează, bine înțeles însă mai mare decât concentrația de echilibru (de saturație), C_0 .

Din cauza diferenței de concentrație care s-a creat între zona C_1 și restul soluției, C_2 , se produce un curent de difuziune, care transportă particulele de substanță solvită, din zona mai concentrată C_2 spre zona mai puțin concentrată C_1 , tinzând să egaleze concentrarea.

Aici însă particulele, intrînd în raza de acțiune a forțelor de legătură sînt atrase la suprafața cristalului, în pătura de adsorbție și mai departe, integrate în structura cristalină. Astfel se produce din nou diluarea soluției din zona C_1 și procesul se repetă continuu cu transportul de substanță care duce la creșterea cristalului, pînă cînd tot excesul de substanță din soluția suprasaturată se consumă și soluția - saturată - ajunge la echilibru cu cristalul.

Dacă procesul decurge liniștit, în condiții fizico-chimice normale, se stabilește în timpul procesului un echilibru între viteza de depunere a substanței pe cristal și cea a aportului prin difuziune a substanței. Creșterea va urma succesiunea normală: germinarea - formare de poliedre - echilibrarea poliedrelor și - creștere a formei, care rămîne constantă.

a. Expresia matematică a procesului.

Raportul cantitativ dintre factorii determinanți de creștere a cristalului prin difuziune a fost exprimat matematic.

Astfel, viteza de creștere a cristalului, care reprezintă cantitatea de substanță dx depusă pe cristal în fracțiunea de timp dt a fost exprimată prin ecuația:

$$\frac{dx}{dt} = k s (C_1 - C_0) \quad (1)$$

care arată că este proporțională cu suprasaturația efectivă din zona de difuziune ($C_1 - C_0$), cu suprafața s a cristalului și cu un coeficient, k , de integrare a particulelor în rețeaua

cristalină pe o anumită direcție, o anumită față.

Viteza de difuziune a fost exprimată printr-o ecuație similară:

$$\frac{dx}{dt} = \frac{D}{\delta} s (C_2 - C_1) \quad (2)$$

în care $(C_2 - C_1)$ reprezintă gradientul de concentrație, D , coeficientul de difuziune și δ grosimea zonei de difuziune, cu care viteza este invers proporțională.

În regim normal, cele două viteze sînt egale:

$$\frac{dx}{dt} = k s (C_1 - C_0) = \frac{D}{\delta} s (C_2 - C_1).$$

Scotînd valoarea lui C_1 din ecuația (2) și înlocuind-o în relația (1), iar apoi trecînd pe s în membrul întîi, rezultă viteza de cristalizare:

$$V_c = \frac{1}{s} \cdot \frac{dx}{dt} = \frac{D}{\delta + \frac{D}{k}} (C_2 - C_0) \quad (3)$$

care este funcție de gradientul de difuziune, de coeficientul de difuziune, de grosimea zonei de difuziune și de coeficientul vitezei de cristalizare. Aceasta este ecuația lui Berthoud.

Amplificînd cu $\frac{k}{\delta}$ dracția din membrul al doilea al acestei ecuații se ajunge la ecuația lui Friedel care exprimă viteza reală de creștere sub formă:

$$V_c = \frac{\frac{kD}{\delta}}{k + \frac{D}{\delta}} (C_2 - C_0) \quad (4)$$

în care $\frac{D}{\delta} = M$ este coeficientul de viteză în soluție și care se poate scrie și sub forma:

$V_c = \frac{kM}{k + M} (C_2 - C_0)$ în care factorul $\frac{kM}{k+M} = R$ este coeficientul vitezei efective de creștere a unei rețe, deci $V_c = R(C_2 - C_0)$ (5).

Viteza de creștere variază cu direcțiunea așa că ecuațiile și coeficienții care intră în compunerea lor se referă la fiecare fel de față.

Atunci cînd cristalizarea decurge normal, fețele cu

viteza mai mare de creștere vor dispărea și forma va fi acoperită de rețele cu viteza de creștere minimă, devenind forma echilibrată.

Așa se întâmplă în cazul creșterii normale a NaCl , unde forma echilibrată este cubul și unde fețele de dodecaedru romboidal (110), pe direcția cărora viteza de creștere este mai mare, dispar.

Bine-nțeles că pe direcții echivalente, în condiții normale, viteza de creștere va fi aceeași; poliedrul va avea aceeași formă ideală, cum este în acest caz cubul.

Ar însemna dar, ca o aceeași substanță, să cristalizeze în aceleași forme, trecând prin aceleași etape succesive, ceea ce nu se întâmplă în realitate.

O serie întreagă de factori care intervin în procesul concret al cristalizării pot produce perturbații în desfășurarea procesului și pot duce la construcția unor cristale cu habitusuri diferite sau, foarte adesea, la construcția de formațiuni cristaline, uneori foarte deosebite de formele ideale, dar respectând totdeauna legea constanței unghiurilor.

b. Principalii factori care influențează desfășurarea procesului de cristalizare.

Condiții de concentrație. În cazul când creșterea se face cu viteză mai mare decât cea pe care am considerat-o, mai înainte, normală, soluția cu concentrația C_1 din jurul cristallului, care are o densitate mai mică, tinde să se ridice în sus, fiind înlocuită cu soluție de concentrație mai mare, cu densitate mai mare, din zona C_2 .

Se produc astfel curenți de concentrație sau de convecție care produc perturbații în mersul curentului de difuziune.

Pe unele direcții, chiar echivalente, viteza lor este mai mare, alimentarea fețelor cu substanță se face mai repede, creșterea fețelor este grăbită.

Pe altele, viteza este mai mică decât cea normală, creșterea fețelor este întârziată.

Acest lucru poate modifica habitusul cristalelor finale

determinînd uneori chiar creşterea cristalelor cu forme neregulate.

Astfel, la un cristal suspendat în soluţie suprasaturată, faţa orizontală superioară de pe care se ridică din aureola de cristalizare curenţii cu lichid mai sărac, se va dezvolta mai încet şi deci în cele din urmă va predomina asupra altor feţe cu viteză mai mare de creştere.

Feţele laterale se vor dezvolta mai repede, datorită curenţilor cu lichid mai concentrat, cu care ajung în contact, iar pe faţa inferioară orizontală, cristalul se va dezvolta şi mai repede întrucît este alimentat de curenţi cu soluţie şi mai concentrată.

Din contra, dacă cristalul va fi aşezat cu această faţă pe fundul vasului, ea ne mai fiind alimentată prin curenţii de difuziune, nu se va mai dezvolta de loc.

Feţele laterale se vor dezvolta, în acest caz, din ce în ce mai puternic, în trepte, pe măsură ce se depărtează de rîndul vasului în sus.

Viscozitatea. Cu cît viscozitatea este mai mare, cu atît depunerea substanţei pe cristal se face mai încet şi cu cît viscozitatea este mai mică, cu atît depunerea se face mai repede.

Viscozitatea se micşorează odată cu creşterea temperaturii şi deci în aceste condiţii cresc posibilităţile de simplificare a formelor cristaline, se ajunge repede la forma echilibrată, cu număr redus de feţe.

Viscozitatea creşte odată cu evaporarea soluţiei şi deci cu creşterea concentraţiei.

Creşterea viscozităţii poate duce la suprimarea curenţilor de concentraţie şi deci la regularizarea depunerii de substanţă din soluţia suprasaturată, numai pe seama curenţilor de difuziune.

În acest caz, se vor parcurge etapele de constituire şi definitivare treptată a formelor poliedrice, de la formele iniţiale, bogate în tipuri de feţe, la formele finale echilibrate, cu

număr redus de categorii de fețe.

Creșterea vîscozității și suprimarea curenților de concentrație se poate realiza și prin adăugarea unor substanțe inerte, de obicei coloidale, cum sînt, gelatina, argila etc., care permit o desfășurare normală a cristalizării, numai pe baza curenților de difuziune.

Așa se produc monocristalele foarte regulate de gips din argile.

Viteza de răcire și viteza de evaporare. În timpul cristalizării normale se crează în jurul cristalului, suprafețe de egală concentrare, paralele cu fețele sale.

Perpendicular pe aceste suprafețe se îndreaptă liniile de difuziune a particulelor spre cristal.

Spre muchii și spre colțurile cristalului aceste linii sînt îndreptate oblic și convergent.

La cristalizare liniștită a soluției slab suprasaturate, cu gradientul de difuziune ($C_2 - C_0$) puțin important, rolul determinant al vitezei de cristalizare, după cum se vede, din ecuația $V_c = R (C_2 - C_0)$, îl are coeficientul de adsorbție care intră în compunerea constantei R .

Transportul de substanță prin difuziune se face în general foarte lent, fețele cu diferite orientări se dezvoltă concomitent, vitezele lor diferite de creștere fiind echilibrate de aportul sporit de particule, provocat de convergența curenților de difuziune, spre muchii și spre colțuri.

Dezvoltarea fețelor care constituie trahtul cristalului se face predominant sub imperiul legilor geometrice.

În cazul unei subrăcirii puternice sau a unei evaporări și deci suprasaturări puternice, rolul determinat al vitezei de cristalizare aparțin gradientului de difuziune ($C_2 - C_0$), a cărui creștere rapidă duce la accelerarea vitezei de transport prin curenții de difuziune.

Aportul sporit de substanță, determinat de convergența curenților de difuziune spre muchiile și spre colțurile cristalului, nu mai poate fi echilibrat în timp.

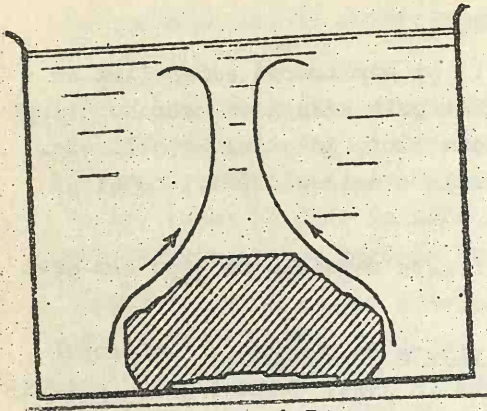


Fig. 423 a

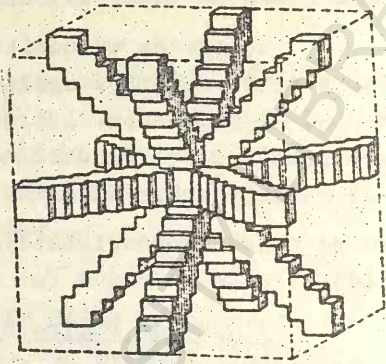


Fig. 423 c

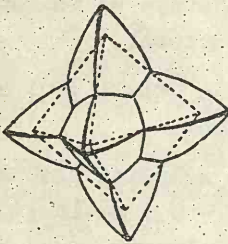


Fig. 423 b.

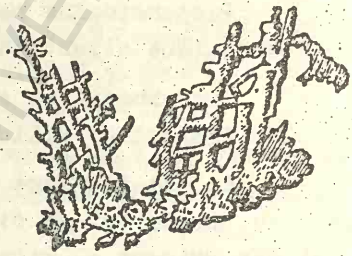


Fig. 425

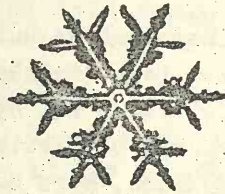


Fig. 424

Cristalele se dezvoltă exagerat în aceste direcții și astriel se produc forme cu fețe bombate, forme scheletice și forme dendritice, cum sînt tremiile de sare (fig.423) formele stelare ale fulgilor de zăpadă (fig.424) sau dendritele de aur sau cupru nativ (fig.425).

Adaosul de substanțe străine, impuritățile. Introducerea unor substanțe străine în soluție poate duce la obținerea unor cristale cu habitus diferit de cel obținut din soluția pură.

Sînt cunoscute și date ca asemenea exemple soluțiile apoase de clorură de sodiu și alaun de potasiu.

Dacă în soluția apoasă de NaCl, din care prin suprasaturare se formează cristale în forma de cub, se adaugă o cantitate de uree, încep să se formeze rețele de octaedru care se dezvoltă pe seama celor de cub, cu atît mai mult, cu cît se mărește cantitatea de uree, pînă ce rețele de cub dispar cu totul.

Invers se întîmplă în cazul alaunului de potasiu. Acesta cristalizează din soluția apoasă sub formă de octaedri. Dacă în soluție de adaugă o cantitate de amoniac, se vor dezvolta rețele de cub, cu atît mai mult, cu cît cantitatea de amoniac va fi mai mare.

Aceste modificări de habitus se explică uneori prin acțiunea unor ioni ai substanțelor străine adăugate, asupra unor ioni ai substanței din soluție și blocarea anumitor legături care recepționau particulele pe anumite direcții, modificînd viteza relativă de cristalizare pe diferitele fețe de cristal.

3.5. Teorii bazate pe energia structurii atomice și ionice a păturilor superficiale ale cristalelor

Deși s-au dezvoltat mult și s-au verificat experimental în multe privințe, totuși, teoriile bazate pe difuziune ne-au putut explica unele laturi importante ale cristalizării.

În aceste teorii s-a dezvoltat și aprofundat cu prioritate procesul de difuziune și rolul său în transportul particulelor care alimentează creșterea cristalului. Procesul in-

tim de atragere și fixare a particulelor pe suprafața cristallului și încadrarea lor în ordinea reticulară, reprezentat aici doar printr-un coeficient global (K), a fost dezvoltat de teorii mai noi, bazate pe structura atomică și ionică.

În primul rând W.Kossel și apoi I.N.Stranski au dezvoltat aceste idei în teoria cinetică moleculară a creșterii cristalelor.

La baza teoriei stau procesele energetice care se desfășoară între particulele din soluție și particulele de la suprafața cristallului în creștere.

Se consideră că particulele din rețea, respectiv de la suprafața cristallului, au o anumită energie potențială care depinde, la cristalele ionice, de legăturile electrostatice coordinative rămase disponibile după situarea particulelor în anumite poziții din rețea și celelalte forțe de legătură din rețelele atomice.

Creșterea cristallului se realizează prin legarea particulelor din soluție cu particulele din cristall. La legarea unei particule cu cristallul se eliberează o anumită cantitate de energie care a fost numită de Kossel pas energetic.

Prin repetarea periodică la infinit a acestor pași energetici, cu adăugarea succesivă a particulelor din soluție la rețea, se formează treptat șiruri reticulare, plane reticulare și apoi corpuri reticulare tridimensionale.

Cu cât se vor efectua mai multe legături cu particulele cristallului, deci cu cât energia eliberată va fi mai mare și cu cât vor rămâne mai puține legături libere în sistem, cu atât procesul de legare a unei particule la cristall se va repeta mai frecvent.

a. Creșterea cristalelor ionice

Considerând un cristall ionic de clorură de sodiu, a cărui formă cubică este cea mai simplă, se apreciază că depunerea particulelor pe o față a cristallului în creștere se face în trei etape.

În prima etapă, pe față de cristall se depune o particulă;

în a doua etapă se adaugă o serie de particule care completează un şir reticular; în a treia etapă se formează alături alt şir reticular.

Operaţia se repetă periodic pînă cînd se completează stratul care constituie acum faţa cristalului (fig.426, 1,2,3,).

Considerînd depunerea unei particule în continuarea unui şir reticular care completează noul plan reticular (poz.3) Kossel îi desface pasul energetic de legare cu particulele de semn contrar, (φ_0) în trei componente: una pe direcţia de creştere paralelă (φ''') şi două pe cele două direcţii perpendiculare de creştere tangenţială (φ' şi φ''), astfel că pasul energetic $\varphi_0 = \varphi' + \varphi'' + \varphi'''$ (fig.427).

Pentru fixarea unei particule izolate pe suprafaţa cristalului (poz.1) se eliberează deci numai o fracţiune de energie φ''' , corespunzătoare legăturii pe verticală, singura ca care se realizează.

La adăugarea unei particule pentru formarea unui nou şir reticular pe faţa de cristal, se eliberează, pe lîngă energia corespunzătoare legăturii pe verticală şi fracţiunea φ'' de legătură cu muchia planului început (poz. 2).

În fine, pentru aşezarea unei particule în continuarea noului şir, deja început, se eliberează atît fracţiunile de energie φ''' şi φ'' corespunzătoare începutului de şir nou, cît şi fracţiunea φ' , corespunzătoare legăturii cu particula anterioară a şirului (poz.3), deci se eliberează energia totală $\varphi_0 = \varphi' + \varphi'' + \varphi'''$ corespunzătoare unui pas energetic.

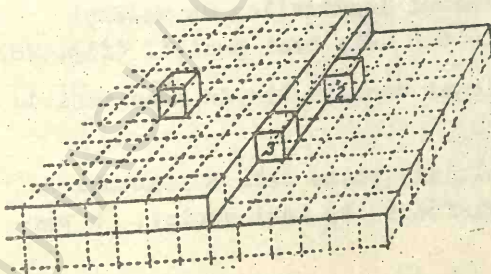


Fig.426.

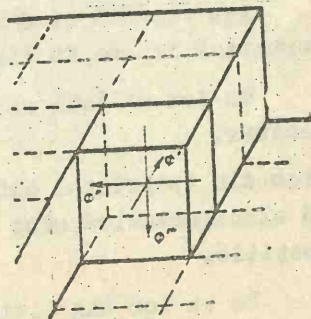


Fig.427.

Pe baza legii lui Coulomb, în funcție de potențialul electrostatic al șirului reticular s-a calculat energia de legătură corespunzătoare fiecărei component și s-a găsit:

$$\varphi'_{(100)} = 0,6932; \varphi''_{(100)} = 0,1144; \varphi'''_{(100)} = 0,0662$$

La fixarea unei particule izolate pentru începerea unei fețe noi (poz.1) se eliberează deci numai energia corespunzătoare componentei $\varphi''' = 0,0662$; pentru fixarea unei particule la începerea unui nou șir reticular (poz.2) se eliberează energia corespunzătoare componentelor φ'' și $\varphi''' = 0,1806$, iar la așezarea particulei în continuarea unui șir reticular pe lângă muchia planului reticular în creștere (poz.3) se eliberează energia totală, corespunzătoare pasului energetic, deci $\varphi_0 = \varphi' + \varphi'' + \varphi''' = 0,8738$.

Începutul unui nou plan reticular se va petrece relativ mai rar din cauză că se produce cu eliberarea celei mai mici cantități de energie. Continuarea planului reticular se face însă, după aceea, din ce în ce mai repede.

Creșterea paralelă (după normala la față) a cristalinului se face mult mai încet decât creșterea tangențială care se face relativ foarte repede.

Din calcul rezultă că pasul energetic pentru depunerea pe mijlocul unei fețe este 0,066, pentru depunerea pe muchii este 0,090, iar pentru colțuri 0,247.

Locul cel mai probabil pentru începerea unei noi fețe de cristal trebuie să fie cel pentru care pasul energetic este mai mare, adică colțurile.

Așa rezultă și din numărul legăturilor de valență electrostatică libere în fiecare din cele trei poziții (fig.428).

Un ion al NaCl este legat coordinativ de șase ioni de semn contrar.

La un ion din interiorul cristalinului, toate cele 6 legături de valență electrostatică sînt satisfăcute de ioni vecini, în toate direcțiile.

La un ion din ultimul strat, de la suprafața cristalinului, o asemenea legătură, cea exterioară, este liberă.

La un ion situat pe muchia cristalului sînt două legături libere, iar la un ion din colțul cristalului trei.

b. Creșterea cristalelor atomice

În cazul cristalelor atomice, unde forțele de legătură nu mai sînt de natură electrostatică, pasul energetic al particulei ce se depune din soluție este caracterizat de numărul de atomi care-i devin vecini în cristal și de distanța la care aceștia sînt situați.

Folosind pentru interpretarea desfășurării procesului tot un cristal în forma de cub, ținînd seama de faptul că forța de atracție scade cu distanța și luînd în considerație numai atomii vecini, care exercită cea mai mare parte din această forță, se ajunge la concluzia că depunerea particulelor pe cristal urmează, în cazul cristalelor atomice, un drum invers decît în cazul cristalelor ionice.

Atomii care înconjoară particula depusă vor fi învecinați cu aceasta pe trei direcții: pe direcția muchii cubului, pe direcția diagonalei feței de cub și pe direcția diagonalei spațiale a cubului.

Considerînd distanța interatomică pe direcția muchii egale cu d , distanța interatomică după direcția diagonalei feței va fi $d\sqrt{2}$, iar după direcția diagonalei cubului, $d\sqrt{3}$.

Forța de atracție, invers proporțională cu distanța, va fi direct proporțională cu numărul de particule astfel învecinate pe diferitele direcții.

Pasul energetic va fi egal cu suma forțelor de atracție care acționează pe cele trei direcții.

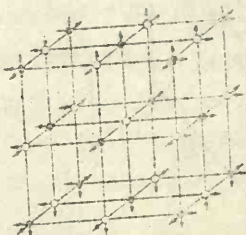


Fig. 428.

Numărul atomilor vecini care determina pasul energetic al particulei, situați la distanțele corespunzătoare celor trei direcții; va fi pentru fiecare poziție de așezare următorul:

Poziția de depunere	Nr.de particule învecinate la distanțele		
	d	d 2	d 3
- pe colțuri	1	2	1 (fig.429)
- pe muchii	1	3	2 (fig.430)
- pe mijlocul feței	1	4	4 (fig.431)

După cum se vede cel mai mare pas energetic corespunde depunerii particulei pe mijlocul feței de cub.

Cu aceasta va începe creșterea planului reticular la cristalele atomice.

Si aici, ca și în cazul creșterii cristalului ionic, viteza cea mai mare de creștere o va avea cristalul în etapa depunerii tangențiale în poziția (3), de continuare a șirului reticular de pe muchia planului nou, unde numărul atomilor vecini este și mai mare: 3 la distanța d, 6 la distanța d $\sqrt{2}$ și 4 la distanța d $\sqrt{3}$ (fig.432).

Acest mod de creștere ar explica tremiile convexe care se observă pe fețele unor cristale atomice, în opoziție cu tremiile concave ale clorurii de sodiu și altor cristale ionice, la care construcția unui plan reticular începe de la colțuri.

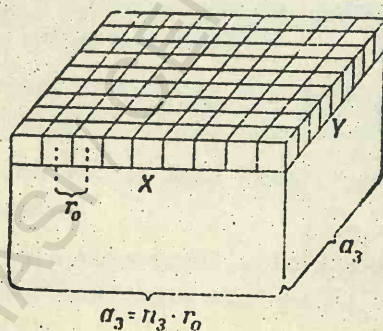


Fig.429

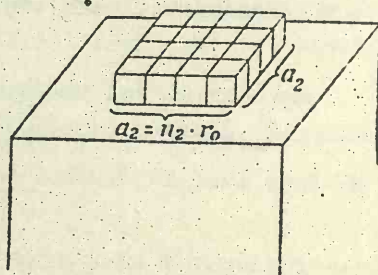


Fig.430

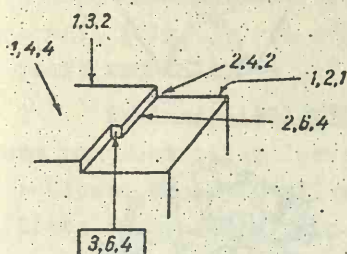


Fig. 431

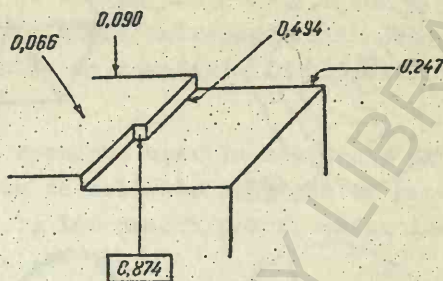


Fig. 432

Ca și teoriile care dezvoltă cu precădere aspectele fazei de difuziune, și aceste teorii care pun accent deosebit pe raza atomoenergetică de depunere a particulelor pe cristal, rolul este o prezentare simplificată a procesului de cristalizare. În realitate mai ales în condiții naturale, procesul este mult mai complex și de aceea nici teoriile actuale nu elucidează încă pe deplin toate aspectele cristalizării.

3.6. Incluziuni în cristale

De multe ori în masa cristalelor se găsesc înglobate diferite substanțe străine. Acestea se numesc incluziuni.

Incluziunile pot fi de origine primară, atunci când au fost cuprinse în masa cristalinului în timpul creșterii sale și de origine secundară, atunci când s-au produs în masa cristalinului printr-o oarecare acțiune ulterioară, după ce cristalinul era deja format.

a. Incluziunile primare. În timpul creșterii rapide sînt de multe ori cuprinse în mod mecanic în masa cristalelor substanțe străine, care se găsesc atunci în mediul de cristalizare.

Aceste incluziuni pot fi solide, lichide, gazoase sau complexe.

Incluziunile pot fi uneori atît de mari încît, la cristalele transparente, pot fi văzute cu ochiul liber, sau atît de mici încît să nu poată fi observate decît la microscop.

Uneori incluziunile sînt rare, alte ori însă pot fi extrem de numeroase.

S-a evaluat, în unele cazuri, numărul lor la peste un milion pe centimetru cub.

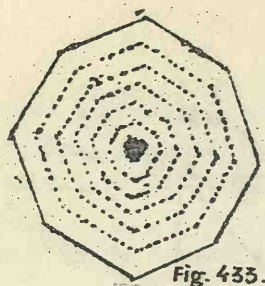


Fig. 433.

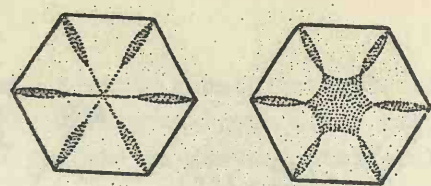


Fig. 434

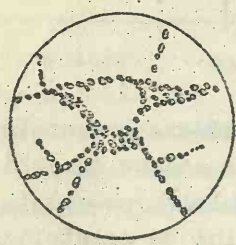


Fig. 435



Fig. 436.

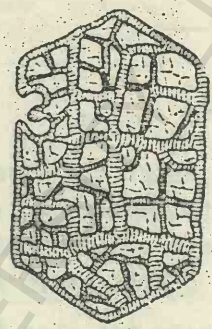


Fig. 437

Atunci cînd incluziunile sînt foarte numeroase și răspîndite în masa cristalului, produc tulburarea sau colorarea și opacitatea acestuia.

-Incluziunile solide pot fi amorfe sau cristalizate.

Amorfe sînt incluziunile de sticlă vulcanică ce se întîlnesc în cristalele mineralelor din lavele care s-au solidificat brusc.

Incluziunile cristaline care se întîlnesc în mineralele rocilor magmatice, arată prin conturul propriu pe care și-l păstrează că erau deja formate în timpul cristalizării mineralelor respective și dau prin aceasta posibilitatea să se stabilească ordinea de cristalizare a mineralelor din magma respectivă.

De multe ori aceste incluziuni sînt distribuite la întimplare în toată masa cristalului, dar uneori prezintă o distribuție zonală sau simetrică după diferite direcții.

O asemenea distribuție au incluziunile cristaline dispuse după zone concentrice în cristalele tetragontrioaedrice de leucit (fig.433) și incluziunile de hematită din cristalele de cuarț roș (fig.434).

Incluziunile solide se recunosc ușor la microscop din cauza proprietăților lor diferite de cele ale cristalului gazdă (culoare, relief, clivaj etc.), iar uneori pot fi chiar identificate după aceste proprietăți.

Tot astfel sînt orientate incluziunile de rutil care apar sub formă aciculară, ca saenit, în cristalele de biotit.

Incluziunile lichide și gazoase se întîlnesc în mineralele rocilor eruptive formate în condiții de temperatură și presiune mare, care nu au proprietatea de clivaj sau au un clivaj cu totul imperfect, cum sînt cristalele de cuarț și altele minerale.

În schimb la feldspatul, bogat în urme de clivaj, care au permis eliminarea lor, asemenea incluziuni lipsesc în general.

Uneori incluziunile lichide și gazoase din cristalele de cuarț, avînd dimensiuni mari, se văd cu ochiul liber ca li-
bele, în care bula de gaz se mișcă neconținut (fig.435).

De obicei însă aceste incluziuni pot fi văzute numai la microscop și sînt deosebit de abundente. Atunci ele dau cuarțului culoarea alb lăptoasă și-l fac opac.

Incluziunile lichide și gazoase sînt ușor recunoscute datorită conturului net pe care-l capătă din cauza indicelui de refracție mult mai mic decît al cristalului gazdă.

Incluziunile lichide sînt constituite mai ales din apă, CO_2 lichid și diferite soluții de NaCl , CaSO_4 etc.

La analiza chimică a incluziunilor dintr-un cristal de cuarț s-a găsit 98,33% CO_2 , 1,67% N, urme de $\text{SH}_2\text{SO}_2\text{NH}_3$, H_2O , compuși de r, de Cl etc.

În mineralele formate la temperaturi și presiuni coborîte se pot găsi incluziuni gazoase și în cristale cu clivaj foarte bun.

Aşa este "sarea plesnitoare" de la Slănic Prahova" care la solvare în apă degajă mari cantităţi de gaze. N. Costoşescu, fost profesor de chimie anorganică la Universitatea din Iaşi, a analizat aceste gaze şi a găsit un conţinut de 110,68 cmc. gaz la Kg., constînd, în cea mai mare parte din metan, etan, oxigen, hidrocarburi nesaturate, puţin CO_2 etc.

Prin încălzire, incluziunile formate din 2 sau 3 faze, se omogenizează. Astfel, în cazul unei incluziuni cu cristale de NaCl. soluţie şi gaze (fig. 436), la încălzire treptată, se solvă mai întîi cristalul în lichid şi apoi bula de gaz, incluziunea devenind omogenă. Cavităţea se umple cu soluţie.

La o încălzire prea puternică, din cauza presiunii care se crează, cristalul decrepită.

Mai întîi, omogenizarea incluziunilor fluide, apoi decrepitaerea, au fost aplicate în geotermometrie, în determinarea condiţiilor de temperatură şi presiune în care s-au format minerale cu asemenea incluziuni.

Folosirea incluziunilor fluide ca termometru geologic se bazează pe ideea că la formarea mineralului au fost incluse în masa sa lichidă cu temperatura şi presiunea mediului de formare.

După aceea, în urma răcirii, lichidul îşi micşorează volumul eliberînd o cantitate din ce în ce mai mare de vapori sau gaz, precum şi excesul de substanţă aflată eventual în soluţie.

Pentru omogenizare, cristalul trebuie adus în condiţiile de temperatură şi presiune de la formarea sa.

La noi în ţară cercetările geotermometrice au fost introduse de acad. Mircea Savul, fost profesor de Mineralogie la Universitatea din Iaşi, care le-a aplicat împreună cu colaboratorii săi la studiul unor formaţiuni şi zăcămintele de minerale utile, contribuind la clarificarea genezei lor.

Autorul prezentului curs, împreună cu colaboratorii, au extins folosirea metodei geotermometrice în elucidarea descrierii proceselor geochimice de concentrare a unor elemente rare în zăcămintele de minereuri.

În această concepție, metoda poate prezenta o deosebită importanță practică prin aplicarea ei în explorarea și în extinderea exploatării zăcămintelor de minereuri.

b. Incluziunile secundare sau tardive se datoresc de multe ori cicatrizării fisurilor din cristal. Materialul solid străin care umple aceste fisuri poate include la rîndul său lichide sau gaze din soluția care le-a generat. La încălzire, bulele de gaz din picăturile lichidului dispar mai devreme decît cele din incluziunile primare.

Alte ori incluziunile secundare provin din alterarea mineralului însuși. Așa se formează lamele microscopice de mica sau caolin în cristalele de ortoază. La început ele se produc pe planele de clivaj iar apoi se dezvoltă în toată masa cristalului.

De asemenea, prin alterarea olivinei, pe fisurile fine ale mineralului cresc cristale de serpentină, care umplu plesnăturile din ce în ce mai largi ale cristalului (fig.437).

Si incluziunile secundare, prin natura și modul lor de răspîndire în cristal, dau indicații asupra evoluției procesului geochimic

3.7. Neregularități structurale și morfologice în creșterea cristalelor.

a. Defecte reticulare sau neregularități în rețeaua cristalelor reale se pot produce din mai multe cauze:

-Astfel, în jurul incluziunilor, dezvoltarea rețelei se poate să capete o altă orientare decît în restul cristalului.

-Prezența unor ioni străini, cu însușiri diferite, chiar în unele noduri ale rețelei cristaline, poate provoca de asemenea deranjamente în structura rețelei. Astfel se înîmplă în cazul înlocuirii parțiale a Ca^{2+} cu Y^{3+} din rețeaua fluorinei, cînd, pentru compensarea sarcinii se mai introduc ioni suplimentari de F^- în golurile rețelei. În jurul ionilor de ytriu rețeaua este deformată.

-Tot așa se pot produce discontinuități ulterioare în jurul atomilor radioactivi înglobați în rețea, atât ca urmare a dezintegrării lor, cât și ca urmare a acțiunii particulelor emise asupra atomilor înconjurători din rețea.

-Alteori rețele începute în diferite centre de germinare se unesc prin înglobarea fragmentelor de rețea în creștere, și continuă să se dezvolte împreună, mai departe numai pe marginile care n-au venit în contact. La racordarea acestor fragmente fiecare își păstrează însă orientarea ochiurilor de rețea a paralelipipedelor elementari pe care a avut-o în momentul întâlnirii.

Rezultă o structură mozaicată a cristalului (fig.438).

-Tot de această natură pot să fie și defectele reticulare cunoscute sub denumirea de "cubicitate" a maclelor, când șirurile reticulare ale celor două părți ale maclei de hemitropie nu se continuă simetric de-a parte și de alta a planului de macă.

b. Neregularitățile morfologice sînt foarte frecvente la cristalele naturale.

În ceea ce privește fețele cristalelor naturale cele mai frecvente neregularități constă din creșterea lor uneori stratificată, alteori cu strițiuni caracteristice, ori din creșterea lor convexă sau concavă.

- S-a observat la microscop că în unele cazuri, la creșterea cristalelor din soluții concentrate, pe rețele de cristal încep să se formeze de ex. începînd de la muchii, sau de la colțuri, pături noi de substanță care înaintează cu tendința de a acoperi întreaga față. Îndată însă ce acestea au început să se întindă, se pornesc din urmă alte pături care se acoper succesiv una pe alta, acoperind pînă la sfîrșit fața de bază cu o față dezvoltată în trepte.

Aceste fețe care prezintă un mic unghi față de planul reticular normal de mare densitatea se numesc fețe vicinale.

-Dacă se pornesc asemenea rețe de pe toate laturile feței sau dinspre toate colțurile sale, se formează mai multe asemenea fețe vicinale pe fața de bază, dînd cristalului o formă convexă.

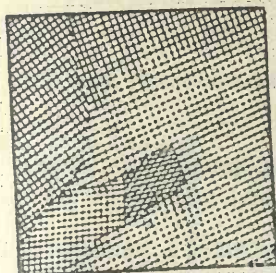


Fig. 438

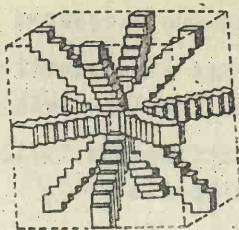


Fig. 439a

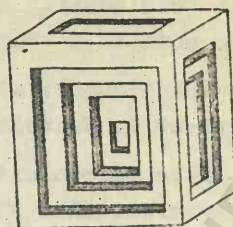


Fig. 439

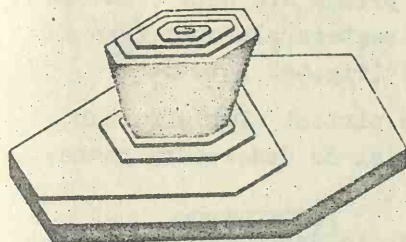


Fig. 440.

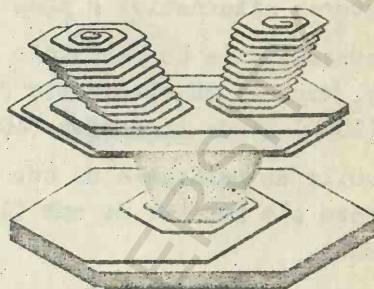


Fig. 441

Așa se întâmplă uneori în cazul fluorinei când fețe de cub sînt acoperite cu cîte patru fețe vicinale de tetrahedru care au o foarte ușoară înclinare față de vecinele lor care sînt plane reticulare de mare densitate, (100).

Unii din indicii fețelor vicinale vor fi neobișnuit de mari, de ex. în cazul fluorinei ($40 \ 1 \ 0$) sau în parametri $a : 40 \ a : \infty \ a$, comparabil cu $a : \infty \ a : \infty \ a$ ai feței de cub.

-Alteori, ca în cazul calcitei, creșterea în trepte se începe de pe mijlocul reței și se dezvoltă ascendent spre laturile de romboedru. Rezultă un romboedru cu fețele concave.

Tot astfel din cauza creșterii în trepte ascendente de la mijlocul reței spre laturi se formează cristale de NaCl scheletice, a caror rețe prezintă adîncituri (fig. 439).

S-au observat că uneori pe fețele de carborundum, de cuarț etc. aceste trepte se dezvoltă concentric în formă de spirală regulată sau cu contur poligonal (fig. 440), iar cîteori se formează două asemenea spirale de sens contrar, care cînd urmează să se unesc (fig. 441).

Se consideră că aceste creșteri în trepte sînt datorate

unor mici "dislocații" din rețea de diferite forme care sînt puncte de pornire a treptelor de creștere.

Mulți autori atribuie și curenților de concentrare un rol important în dezvoltarea fețelor vecinale.

Alte neregularități frecvent întîlnite pe fețele cristalelor naturale sînt striatiunile.

S-a dovedit că aceste striatiuni ordonate și paralele rezultă din creșterea alternativă a unor începuturi de fețe diferite.

Astfel striatiunile de pe fețele de prismă ale unor cristale de cuarț, reprezintă alternanțe de creștere ale unor fețe de prismă (1010) și de romboedru (1011) (fig.442 a,b,c).

Striatiunile de pe fețele de cub ale piritei sînt alternanțe de creștere ale fețelor de cub (100) și de dodecaedru pentagonal (210).

Este interesant că striatiunile de pe fețele vecine au direcții perpendiculare astfel că pun în evidență simetria parahemiedrică a formei cu axe principale de ordinul doi ($3L^2$ $4L_6^3$ $3\bar{C}$), (fig.442 d).

În ceea ce privește deformările poliedrelor cristaline, rolul preponderent se atribuie tot curenților de concentrație și perturbărilor din curenții de difuziune.

De multe ori aceste perturbații în condițiile de creștere au ca rezultat schimbarea importantă a habitusului cristalelor.

Astfel alaunul, care în condiții normale cristalizează în forme izometrice cu habitus octaedric, în condiții neravorabile se dezvoltă sub formă de cristale cu habitus tabular pseudohexagonal dacă octaedrii sînt aplatizați după o trigiră, sau habitus rombobipiramidal, dacă sînt aplatizați după o digiră.

În condițiile cristalizării rapide, dezvoltarea accelerată și excesiva în direcția muchiilor sau colțurilor poate duce la formarea cristalelor scheletice.

În cazul dezvoltării libere într-un mediu omogen cu fluiditate mare se formează asemenea cristale simetrice, cum

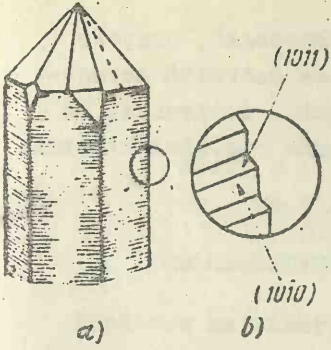


Fig. 442

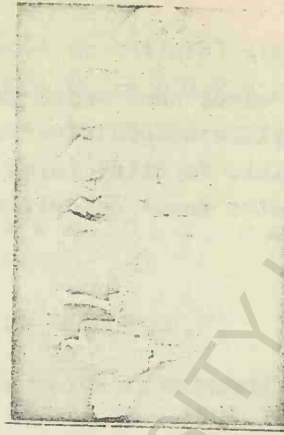


Fig. 442 c

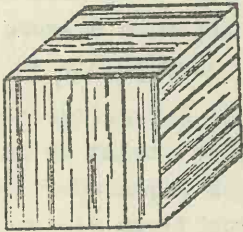


Fig. 442 d

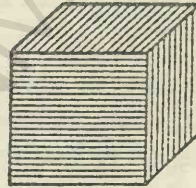


Fig. 442 e.



Fig. 443 a

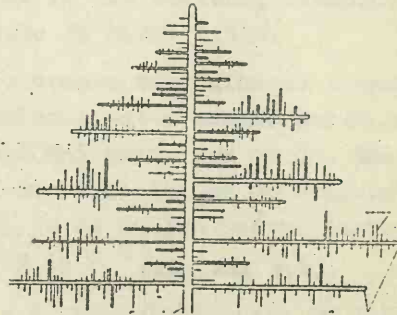


Fig. 443 b.

sînt stelulele fulgilor de zăpadă.

În cazul unui mediu viscos sau neomogen, brațele și ramificațiile cristalelor scheletice se dezvoltă neregulat, cristalele căpătînd forme arborescente, de frunze, de crenguțe, adică forme dendritice, filiforme etc. fără simetrie (fig. 443).

CRISTALOGRAFIE

4. CRISTALOGENEZA.

XVII. DIZOLVAREA CRISTALELOR.

1. SOLUBILITATEA. CURBE DE DIZOLVARE.

După cum am văzut, o soluție poate fi saturată, supra-saturată sau nesaturată.

Concentrația substanței solide solvite, într-o soluție saturată, constituie solubilitatea substanței și reprezintă cantitatea maximă de substanță care poate fi solvită în solventul respectiv, în anumite condiții de temperatură și presiune, adică în condiții de echilibru.

Solubilitatea depinde de compoziția substanței care se dizolvă și de natura solventului, iar pentru același solvent și aceeași substanță, depinde de temperatură și în mai mică măsură (prețic neglijabil), de presiune și de alți factori. Astfel, de ex. pentru același solvent, apa, la 20°C și la presiune atmosferică, NaCl are o solubilitate de 26,39%, pe când NaNO_3 are o solubilitate de 46,8%.

Pentru aceeași substanță NaCl , dar în alt solvent, alcoolul metilic, solubilitatea la 20°C este de numai 1,41%.

În general, solubilitatea crește cu ridicarea temperaturii, dar la unele substanțe, solubilitatea crește puțin cu temperatura pe când la altele mult mai mult. Așa de ex. solubilitatea KNO_3 în apă la 20°C este de 24,1% iar la 60°C ajunge la 52,5%, pe când solubilitatea NaCl de la 26,39% pentru temperatura de 20° , ajunge doar la 27,07% la 60° (fig. 444 a, b),

Sînt și unele substanțe a căror solubilitate cu ridicarea temperaturii, cum se întîmplă de ex. în cazul Na_2SO_4 .

Solubilitatea substanțelor se reprezintă grafic prin curbe de solubilitate. Atunci cînd procesul decurge normal, adică în timpul solvirii nu se produc procese chimice sau alte

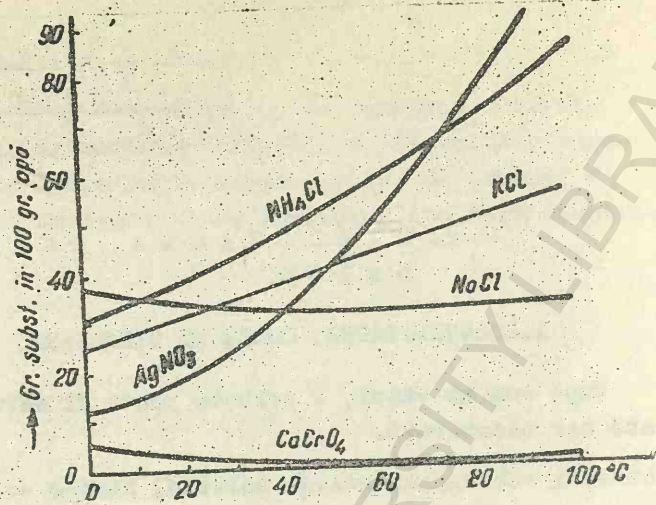


Fig. 444a

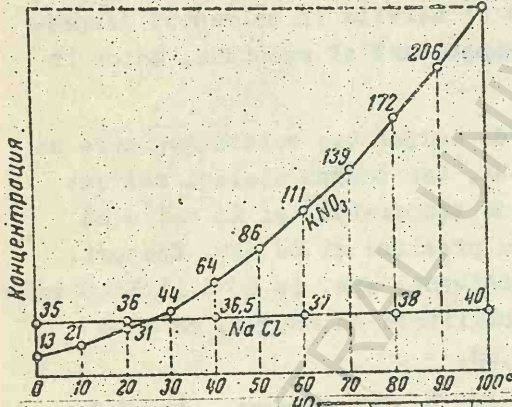


Fig. 444b

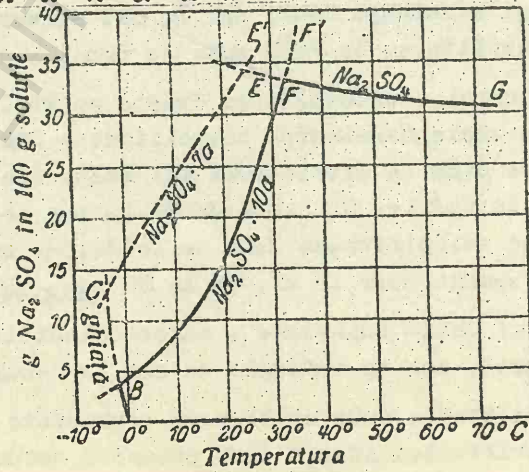


Fig. 445

fenomene secundare perturbatoare, curba de solubilitate este continuă și fără inflexiuni, așa cum sînt curbele de solubilitate ale celor două substanțe comparate mai sus (fig.444).

În cazul $\text{Na}_2\text{SO}_4 \cdot 10 \text{ H}_2\text{O}$ solubilitatea crește repede odată cu ridicarea temperaturii de la 4,5% cît este la 0°C , la 16,1% la 20° și pînă la 33,2% la $32,38^\circ\text{C}$.

Pe acest parcurs curba de solubilitate are o alătură ascendentă cu panta mare.

La această temperatură curba suferă o inflexiune, își schimbă direcția și mai departe capătă o alătură descendentă (fig.445). Solubilitatea scade continuu pe măsură ce crește temperatura.

S-a constatat că la $32,38^\circ\text{C}$, sulfatul de sodiu hidratat suferă brusc o schimbare structurală eliminînd cele zece molecule de apă din compoziția sa și transformîndu-se în sulfat de sodiu anhidru, Na_2SO_4 .

Solubilitatea acestuia scade odată cu creșterea temperaturii. de la 33,2% cît era pe punctul de inflexiune, la 32,5% la 40°C la 30% la 90°C și tot așa mai departe, pînă la temperatura critică cînd ajunge la zero.

Procesul este reversibil. Răcind soluția cu temperatură mai mare de $32,38^\circ\text{C}$ în care s-au introdus 33,2 g Na_2SO_4 , se constată că pînă la temperatura de $32,38^\circ\text{C}$ soluția saturată stă în echilibru cu excesul cristalin de Na_2SO_4 . La această temperatură toată cantitatea de Na_2SO_4 trece în soluție care este acum saturată cu cele 33,2 g de substanță.

Prin răcire mai departe, începe să se separe din nou și din ce în ce mai abundent, precipitatul cristalin care se constată că este $\text{Na}_2\text{SO}_4 \cdot 10\text{H}_2\text{O}$. La $32,38^\circ\text{C}$ sulfatul de sodiu se rehidratează.

Așa dar nu este aici vorba de o curbă de solubilitate cu inflexiuni ci de două curbe de solubilitate normale, corespunzînd celor două forme structurale deosebite ale sulfatului de sodiu.

Una, la care solubilitatea variază în modul cel mai obișnuit,

creșcînd odată cu creșterea temperaturii după o curbă continuă, ascendentă de pantă mare, cealaltă, la care solubilitatea scade moderat odată cu creșterea temperaturii, după o curbă continuă descendentă.

2. SUPRASATURAREA SOLUȚIILOR

Soluția care conține mai multă substanță dizolvată decît soluția saturată pentru temperatura respectivă este o soluție suprasaturată.

Dacă se răcește repede soluția saturată a unei substanțe a cărei solubilitate crește cu temperatura, soluția devine suprasaturată. Așa se întîmplă de ex. cu o soluție de KNO_3 cu concentrația de saturație de 39,1 g% la 40°C cînd este răcită repede la 20°C , temperatură pentru care concentrația de saturație este de numai 24,1 g%.

Soluția suprasaturată are un exces de substanță de 15 g%.

În mod analog cu ceea ce se întîmplă la subrăcirea topiturilor și soluția astfel suprasaturată poate fi păstrată ca atare, în această stare metastabilă, un timp îndelungat.

La amorțirea ei sub orice formă, excesul de substanță se separă în stare cristalină, așa cum am văzut la cristalizarea din soluții.

3. DIZOLVAREA CRISTALELOR

Soluția care conține mai puțină substanță decît cea corespunzătoare saturației la temperatura respectivă este o soluție nesaturată și are tendința de a solvi mai departe substanță, pînă la saturație.

3.1. Mecanismul dizolvării

Procesul de dizolvare a cristalelor decurge, în general, invers decît procesul de creștere a cristalelor din soluțiile suprasaturate.

Dacă un cristal ajunge în contact cu solventul, la suprafața sa se formează repede un strat îngust de soluție saturată, din care moleculele dizolvate trec treptat, prin difuziune, în masa solventului, pînă la omogenizarea și saturarea

soluției sau, în cazul când acesta nu este suficient, până la dizolvarea lui totală,

Curentul de difuziune este aici centrifug, particulele se deplasează în sens invers decît la creșterea cristalului din soluție suprasaturată, de la cristal spre periferie.

3.2. Viteza de dizolvare

Viteza de dizolvare $\frac{ds}{dt}$ este direct proporțională cu suprafața cristalului, respectiv, cu suprafața stratului saturat S și cu gradientul de concentrație al soluției $(C_1 - C_0)$, în care C_1 este concentrația stratului de saturare iar C_0 concentrația soluției nesaturate:

$$\frac{ds}{dt} = k S (C_1 - C_0)$$

Ca și viteza de creștere, viteza de descreștere a cristalului este o proprietate vectorială discontinuă.

Direcțiile cu viteză de creștere mai mare sînt și direcții de descreștere cu viteză mai mare. De aceea la un cristal cubic de NaCl pus într-o soluție nesaturată se vor distruge mai întîi colțurile și muchiile care se vor rotunji treptat, pîna la urmă fiind înlocuite cu fețele virtuale care au disparut în timpul creșterii.

3.3. Forme de dizolvare.

La o desțăgurare ideală a procesului se va trece de la forma echilibrată, înapoi la forme intermediare poliedrice, mai complexe din prima fază de creștere. Formele astfel rezultate se numesc forme de dizolvare.

Ca și în cazul creșterii, obiceiul formelor de dizolvare depinde de mediul de dizolvare și de gradul de dizolvare la care s-a ajuns.

Astfel, la un cub de NaCl pus într-o soluție nesaturată de sare cu adaos de 5% uree, se vor dezvolta treptat fețele de tetrahedru (fig.446) prin dizolvarea muchiilor de cub, iar apoi și fețele de tetragontrioedru, prin dizolvarea colțurilor de cub (fig.447).

Dacă dizolvarea este dusă mai departe, forma se îmbracă numai cu fețe de tetragontrioctaedru (fig.448).

În același mod, prin dizolvarea unei sfere de calcită cu HNO_3 concentrat se ajunge la forma de bipiramidă hexagonală, iar prin dizolvarea cu HCl , la forma de romboedru.

Indiferent însă de reactivul întrebuintat, formele rezultate vor avea simetria aceeași clase.

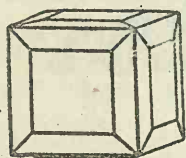


Fig.446(a)

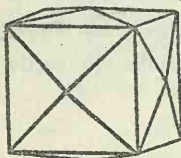


Fig.446(b)

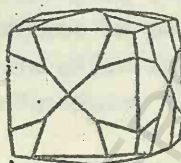


Fig.447(c)

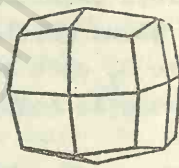


Fig.447(d)

3.4. Simetria creșterii și dizolvării.

S-a constatat că viteza de creștere a fețelor virtuale este mai mare decât viteza lor de creștere. Aceasta face ca, pentru același stadiu, formele de dizolvare să fie diferite de cele de creștere.

Se naște întrebarea, dacă se mai poate menține afirmația că descreșterea este inversul creșterii, că cele două fenomene care decurg în sens contrar sînt simetrice și, în cazul cînd sînt, cum s-ar putea explica inegalitatea dintre vitezele lor.

Următoarea experiență a dat posibilitatea să se lămurească această problemă:

Un cristal de alaun de potasiu, prin creștere, capătă un habitus octaedric, avînd în plus fețe mai puțin dezvoltate de dodecaedru romboidal și de cub.

Dacă se face într-un asemenea cristal o cavitate cilindrică și cu ajutorul unui tub și a unei trompe se face să circule prin cavitate un curent rapid de soluție ușor nesaturată de alaun cavitatea se mărește prin dizolvare și după cîtva timp capătă un profil negativ al trahtului de creștere (fig. 449).

Se constată acum că viteza de descreștere concavă este egală cu viteza de creștere convexă pe aceeași direcție.

Creșterea și descreșterea cristalelor sînt, așa dar, două fenomene simetrice.

Se poate însă trage concluzia că atât creșterea cât și descreșterea sînt proprietăți vectoriale polare.

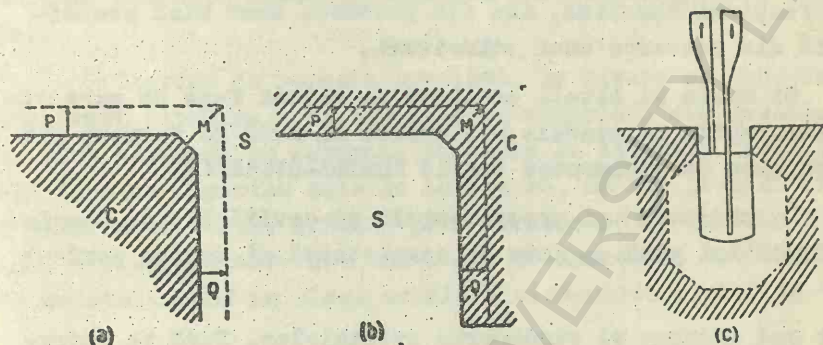


Fig. 449.

Pe aceeași direcție fiecare din aceste proprietăți se manifestă cu intensități diferite în cele două sensuri opuse opuse.

Contrat fenomenului de creștere, care este exoterm, dizolvarea se face cu consum de caldură, este un proces endoterm.

În ecuația vitezei de dizolvare factorul energetic a fost cuprins în constanta k .

Și la solvire energia corespunzătoare procesului elementar variază cu direcțiunea.

Pe baza teoriei cinetice - moleculare s-a calculat că pentru îndepărtarea unui ion de la un colț al cubului de NaCl energia este de 1,3459 pentru îndepărtarea unui ion de pe o muchie a cubului este de 1,5910 și pentru smulgerea unui ion de pe o față de cub este 1,6814.

După cum se vede pasul energetic este aici diferit, cu valorișe pentru cele trei poziții în ordine inversă de mărime și, bine-nțele de semn contrar (-).

4. FIGURI DE COROZIUNE

Fenomenele de creștere și dizolvare duc la forme geometrice perfecte, cu fețe perfect plane și se desfășoară după regulile stabilite, numai în condiții ideale.

În realitate, de multe ori, rețele cristalului prezintă imperfecțiuni constând, fie din prezența unor mici proeminențe fie din prezența unor adîncituri.

Si unele și altele prezintă de obicei fețe de mare viteză, comparabile cu planele reticulare în curs de formare din figura cu care am argumentat teoria KOSSEL-STRAUSKI.

La creștere și proeminențele și cavitățile se completează tangențial pînă ce fața se completează și devine perfect plană.

În acest mod decurge și vindecarea cristalelor. Dacă se introduce în soluția suprasaturată un fragment rupt dintr-un cristal, se constată creșterea lui cu viteză mai mare pe planele de rup-tură și se produce completarea sau vindecarea lui pînă la forma cristalografică corespunzătoare întreagă.

La dizolvare, proeminențele capătă mai întîi un contur geometric și apoi continuă să se micșoreze pînă dispar, fața pe care erau ridicate rămînînd perfect plană.

Dacă fețe cu adîncituri se tratează cu solvenți, atunci muchiile cavităților vor fi mai puternic atacate, vor dispărea și vor fi înlocuite cu fețe rapide.

Cavitățile se vor lărgi treptat și vor căpăta mai întîi forme regulate, simetrice.

Dacă se va continua dizolvarea, aceste cavități vor interfera, se vor uni și vor cuprinde toată fața cristalului care, prin eliminarea treptată a materialului din pereții cavităților va deveni perfect plană.

Ridicăturile și cavitățile corodate, care la început au căpătat forme simetrice, se numesc figuri de coroziune.

Forma figurilor de coroziune variază, la același cristal, după natura și concentrarea solventului și după temperatura la care se face solvirea, dar simetria și orientarea lor pe aceeași față și pe toate rețele similare rămîne neschimbată.

Aranjamentul figurilor de coroziune pe aceleași fețe reflectă simetria clasei din care face parte cristalinul.

Astfel pe fețele unui cub de NaCl, prin solvire cu vapori de apă, se formează figuri de coroziune de forma unor piramide tetragonale cu vârful în jos, ale căror laturi de bază sînt paralele cu fețele de cub. Fața, în întregime, cu figurile confirmă simetria clasei planaxiale a sistemului cubic (fig. 450).

Clorura de potasiu prezintă, pe fețele de cub, tot adîncituri piramidale de simetrie tetragonică, dar acestea nu mai sînt aranjate cu laturile paralele la laturile feței de cub. Fața cu figurile sale de coroziune, nu mai prezintă nici un plan de simetrie, arătînd prin aceasta că este vorba de o clasă meriedrică care are numai axe de simetrie. Într-adevăr KCl cristalizează în clasa axială a sistemului cubic (fig. 451).

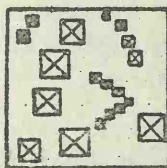


Fig. 450

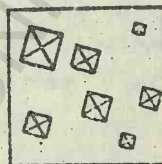


Fig. 451

Figurile de coroziune dau posibilitatea să deosebim clasa de simetrie diferită a unor substanțe care prezintă cristale cu aceeași formă așa cum a fost în cazul cuburilor de NaCl și KCl, știut fiind că pentru a față cu normala în L^4 , cubul se găsește în toate clasele sistemului.

Prin tratarea cu HF a unei fețe de mică albă, care prezintă în general, o formă hexagonală, rezultă figuri de coroziune în formă de hexagon neregulat (fig. 452), care indică simetria clasei prismatice din sistemul monoclinic.

Quartul prezintă, între altele, frecvent, forma compusă de prismă hexagonală cu bipiramidă hexagonală, care aparent are simetria clasei holcedrice a sistemului hexagonal. Atacînd cu HF, cîte două fețe consecutive de bipiramidă, de-o parte și de alta a prisme se obțin două feluri de figuri de coroziune care

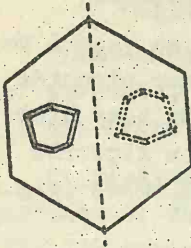


Fig.452



Fig.453.

alternează, atât la fețele alăturate din aceeași parte, cât și la fețele de sus și de jos ale bipiramidei.

Aceasta arată că nu este vorba de o bipiramidă hexagonală ci de doi romboedri ai căror fețe se repetă alternativ (fig.453).

Pe fețele de prismă rezultă figuri de coroziune care nu admit existența unor plane de simetrie, dar a căror orientare diferită se repetă alternativ la fețele vecine astfel că pun în evidență existența unor axe L^2 pe muchiile prisme.

Toate acestea dovedesc că cuarțul este cristalizat în clasa arială a sistemului trigonal și nici de cum în clasa planarțială a sistemului hexagonal, cum s-ar fi bănuț la prima vedere după aspectul general al formei.

Mai mult, după felul cum sînt așezate figurile pe două fețe alternative de prismă se poate stabili dacă este vorba de o formă dreaptă sau de-o formă stîngă.

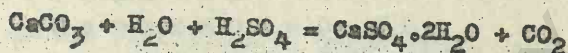
5. SUBSTITUTIA METASOMATICA SAU METASOMATOZA

Atunci cînd rocile sau mineralele deja formate ajung în contact cu soluții care le imbibă ulterior, între substanțele din soluție și mineral... agregatului mineral pot avea loc reacții chimice de substituție.

Mineralul vechi este înlocuit cu un nou mineral, care rezultă din reacție și care îi ocupă locul din agregat.

Acest proces de substituție a mineralelor, prin reacțiile chimice de schimb, se numește metasomatoză.

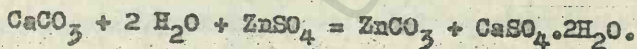
În acest mod este, de exemplu, substituită calcita prin gips într-o rocă sau într-un minereu cu gangă de calcită, sub acțiunea soluțiilor apoase cu acid sulfuric.



Tot astfel o soluție de CuSO_4 care spală un zăcămint de minereu cu blendă poate substitui metasomatic blendă prin covelină.

$\text{ZnS} + \text{CuSO}_4 = \text{CuS} + \text{ZnSO}_4$, iar sulfatul de zinc, în loc, să fie transportat mai departe până când întâlnește un alt mineral cu care soluția să reacționeze dând minerale insolubile.

Așa se poate substitui calcita din rocile sau minereurile întâlnite mai departe prin smithsonit și gips.



Mineralul nou format, substituent, se numește mineral metasomatic.

Dacă roca sau minereul este monomineral, substituția poate fi integrală. Dacă însă, este vorba de o rocă sau de un minereu polimineral, atunci numai mineralul care reacționează cu soluția va fi substituit și mineralul nou format îi va lua locul.

Se spune că, în acest caz, se produce o metasomatoză selectivă.

Dacă, așa cum se întâmplă adesea, mineralul metasomatic cu o simetrie deosebită de a mineralului substituit, adoptă caracterele morfologice și uneori și structura internă a vechiului mineral, se spune că se produce o pseudomorfoză.

Așa sînt pseudomorfozele de formă cubică ale limonitului ($\text{HFeO}_2 \cdot \text{aq}$), rombic bipiramidal, după pirită (S_2Fe).

CRISTALOGRAFIE

4. CRISTALOGENEZA

XVIII.

FORME DE DEZVOLTARE ȘI CONCREȘTERE A CRISTALELOR NATURALE.

Condițiile naturale de formare și creștere a cristalelor prezintă o mare varietate și complexitate. De aceea, formele singulare, monocristalele, mai ales în forma lor poliedrică ideală, se întâlnesc rar.

Mai frecvent se întâlnesc deformațiunile cristaline agregatele de cristale.

1. CRISTALELE UNICE SAU MONOCRISTALELE.

1.1. Caracterele morfologice regulate.

Caracterele morfologice regulate prezintă monocristalele care au avut condiții normale de creștere, cristalele care s-au dezvoltat cu înțelesul, într-un mediu omogen și izotrop, cu suficientă fluiditate și lipsit de influențe perturbatoare.

În asemenea condiții se pot dezvolta cristale cu forme simple, așa cum am văzut, cristale în forma finală echilibrată, sau, mai frecvent, cristale cu forme compuse din mai multe feluri de fețe, care alcătuiesc trântul individului cristalin.

De obicei, dintre aceste forme simple compuse, unele capătă o dezvoltare mai puternică, dând cristalului aspectul dominant care constituie habitusul său specific, iar celelalte sunt mai slab dezvoltate.

Caracterul morfologic al cristalului este determinat de combinația de forme simple, de trântul său și de formele componente ale căror fețe au o dezvoltare predominantă, adică de habitusul său specific.

La același mineral, asociația de forme simple care

Abraziă cristalul este, în general aceeași dar habitusul cristalelor sale poate fi foarte diferit.

Așa se întâlnesc la aluun fețe (100), (111) și (110) dar, după condițiile de dezvoltare, cristalele pot avea habitus cubic (a) habitus octaedric (b), habitus rombododecaedric ca și granatul (c) sau habitus cub - octaedric (d) așa cum se vede din (fig.454).

Tot astfel pirita, în al cărei trant intră fețele (100), (210), (111) și mai rar (110, 321 etc.) prezintă în mod frecvent un habitus cubic (a) sau de dodecaedru pentagonal (b) și mai rar un habitus octaedric sau combinat (c) din octaedru și dodecaedru pentagonal (fig.455).

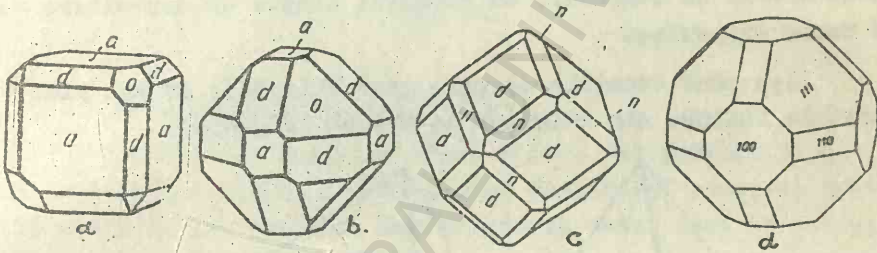


Fig.454

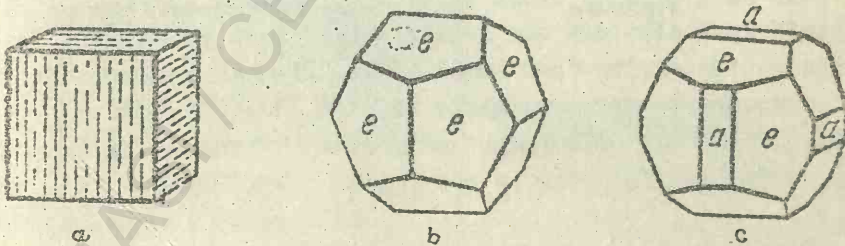


Fig.455

Variația habitusului la același mineral arată condiții diferite de formare și de aceea este uneori caracteristic pentru un anumit zăcămint. De ex. pirita de la Fața Băii de lângă Zlatna are habitus de dodecaedru pentagonal, cea de la Buoiu Izbita lângă Brad, habitus cubic,.

Mineralele care dau cristale cu diferite habitusuri cum sînt și cele prezentate mai sus se numesc minerale politipe.

Acestea se întîlnesc în modul cel mai frecvent, dar sînt și unele minerale care dau cristale cu putere mare de creștere totdeauna în aceeași direcție așa că au un habitus constant. Acestea se numesc minerale monotipe. Așa este spinelul care prezintă totdeauna un habitus octaedric (fig.456).

1.2. Cristalele scheletice care se formează uneori din cauza vitezei accelerate de creștere pe anumite direcțiuni (în general muchii și colțuri), în condiții libere de dezvoltare capătă forme simetrice.

Așa sînt tremiile de sare gemă (fig.457) și mai ales minunatele stoluri ale fulgilor de zăpadă (fig.458).

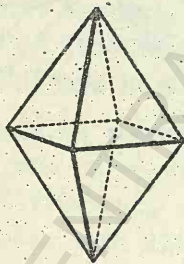


Fig.456 a

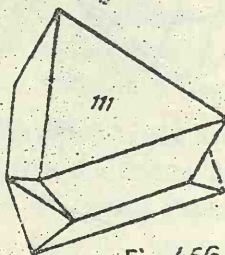


Fig.456 b

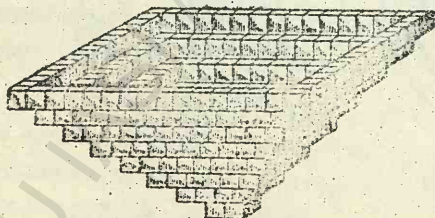


Fig. 457 a

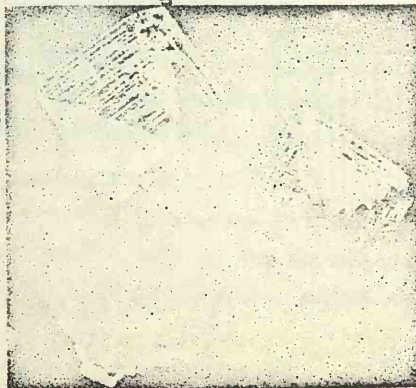


Fig. 457 b

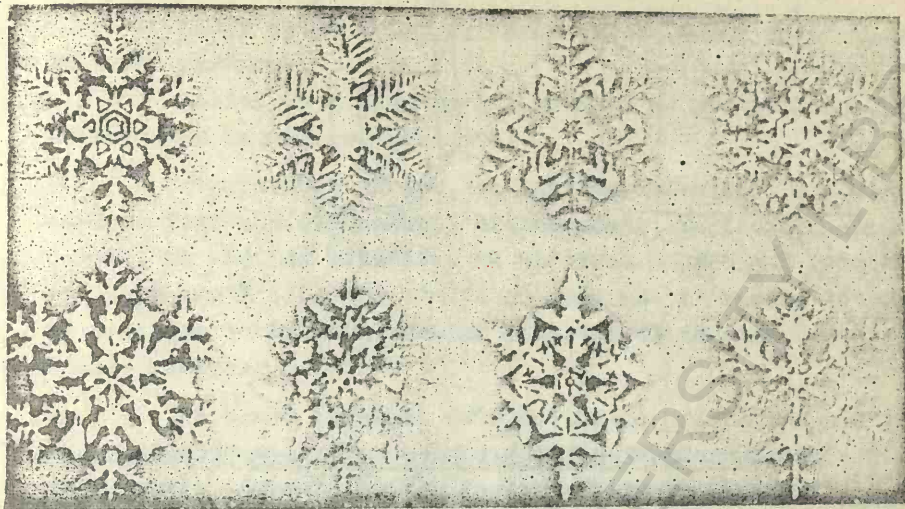


Fig. 458.

1.3. Deformațiuni cristaline

Condițiile naturale oferă foarte rar posibilitatea unei dezvoltări libere a cristalelor care să-și păstreze nestirbită simetria lor proprie. Foarte adesea chiar dacă au posibilitatea să se dezvolte separat, monocristalele sînt împiedecate în creșterea lor pe unele din direcțiile similare și ca urmare capătă anumite deformațiuni care nu mai păstrează simetria formelor ideale.

Așa de exemplu un cristal cubic de sare gemă care este împiedecat în dezvoltarea lui pe una din cele trei direcții de creștere normală capătă forma unei prisme tetragonale cu $c < a$ (fig. 459). Și invers, cristalele care în creșterea lor normală au habitus tetragonal prismatic, dacă sînt împiedecate în dezvoltarea lor după axa c , pot căpăta o formă pseudocubică ($a = b \approx c$).

În toate cazurile însă structura reticulară rămîne neschimbată, iar deplasarea fețelor se face strict cu respectarea legii constantei unghiurilor.

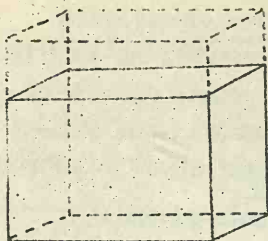


Fig. 459 a

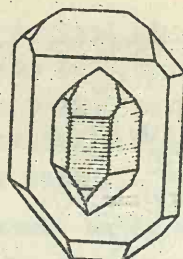


Fig. 459 b

1.4. Intr-un înțeles mai larg se folosește noțiunea de habitus pentru a exprima aspectul general pe care-l dă raportul de dezvoltare al cristalelor după cele trei direcții (a,b,c).

Se deosebesc în felul acesta trei categorii de habitusuri:

a. Cristalele cu aceeași dezvoltare în toate cele trei direcții, cum sînt în general cele din sistemul cubic, cum sînt cristalele romboedrice din seria calcitei etc. se spune că au un habitus izometric.

b. Cristalele care sînt mai dezvoltate în două direcții se spune că au habitus tabular (cum sînt plăcile de barietă de la Baia Sprie), sau habitus lamelor (ca în cazul foioșelor subțiri de mică albă).

c. Cristalele care sînt alungite într-o singură direcție se spune că au habitus columnar, cu formă de coloană, cum sînt uneori cristalele de cuarț, habitus prismatic, ca în cazul amfibolilor cu fețele de prismă bine dezvoltate, habitus acicular, cînd prezintă forme subțiri și rigide cu fețele de prismă foarte alungite, cum este cazul stibinei de la Baia Sprie sau habitus fibros, cînd cristalele subțiri și foarte alungite nu mai au rigiditatea celor aciculare, seamănă cu niște fire textile, cum este cazul asbestului din care se fac țesături termoizolante.

și, în acest înțeles, unele minerale pot prezenta habitusuri variate.

Astfel de ex.feldspatul potasic se prezintă în trei variante cu habitusuri diferite:

-varietatea adular, cu habitus izometric (fig.460 a), care se formează din soluții hidrotermale, varietatea ortoază comună, cu habitus prismatic cu alinirea după axa Z (fig.460 b) sau după axa X (fig.460 c) care se formează în rocile intrusive și senidina cu habitus tabular (fig.460 d) care se formează în rocile efusive.

În acest înțeles, deformațiunile cristaline pot îmbrăca habitusuri diferite de cele normale. Astfel cristale din sistemul cubic, izometric, pot căpăta habitusuri neizometrice, ca în cazul octaedrilor aplatizați după o axă L^3 care capătă habitus tabular sau cristale prismatice tetragonale împiedicate în creșterea lor după axa C care pot căpăta habitus izometric pseudocubic etc.

Hematita formată din soluții hidrotermale, în condiții normale de dezvoltare, prezintă un habitus izometric (romboedric) pe când hematita formată din exhalatiile vulcanice, în condiții deosebite de cristalizare, prezintă un habitus lamelar.

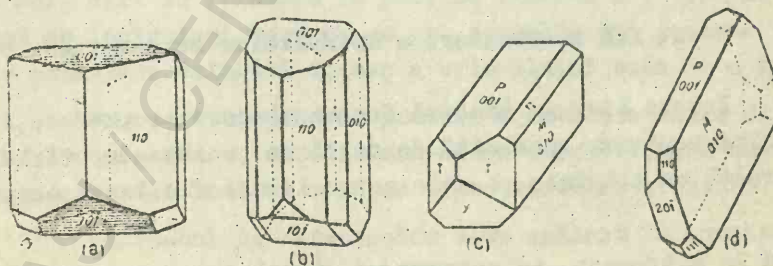


Fig.460

2. ASOCIAȚII DE CRISTALE DE ACELAȘI FEL

2.1. Ortotropismul.

Atunci cînd se produce cristalizarea pe pereții unui vas, indivizii cristalini capătă o anumită orientare.

În cazul unei substanțe care cristalizează în forme alungite prismatice sau columnare fenomenul de desfășurare în felul următor:

Mai întîi, pe pereții vasului se produc centre cu concentrări diferite din care se formează germeni. Aceștia încep să crească sub formă de prisme perpendiculare pe peretele vasului sau cu diferite înclinări.

Prismele care sînt înclinate pe pereții vasului se întîlnesc în creșterea lor cu alte prisme verticale sau înclinate și sînt împiedecate de acestea să se dezvolte mai departe. Creșterea lor este mai întîi încetinită prin intrarea lor în zona de concentrare mai slabă din care s-a alimentat pînă atunci cristalul întîlnit.

Cristalele care cresc în direcție perpendiculară pe pereții vasului, neîntîlnind nici o piedică în calea lor, pot să se dezvolte liber mai departe, alimentîndu-se din soluția omogen concentrată. În felul acesta se selecționează dintre cristalele formate inițial pe numeroasele centre de concentrare și se dezvoltă în continuare numai cristalele perpendiculare pe pereții vasului (fig. 461 a, b). Așa sînt concrescăterile de NaCl pe direcțiile $[101]$ și $[111]$ (fig. 461 c).

Acest fel de creștere a cristalelor se numește ortotropism.

Foarte bine se observă fenomenul care se produce, în cazul cînd topitura subrăcită de salol de pe lama de sticlă este amorsată cu cristale pe cele patru laturi ale lamei acoperitoare.

Privind la microscop, se observă că, imediat ce s-a produs amorsarea, începe cristalizarea topiturii, care progresează de la marginea lamei către interior, cu cristalele perpendiculare pe marginile lamei (fig. 461 d).

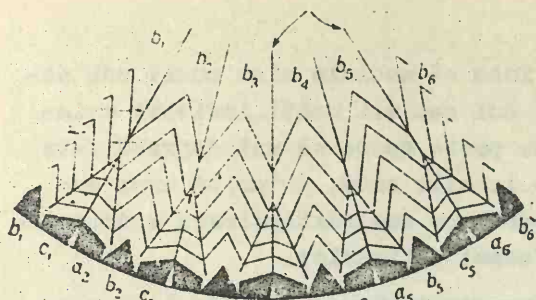


Fig. 461 a

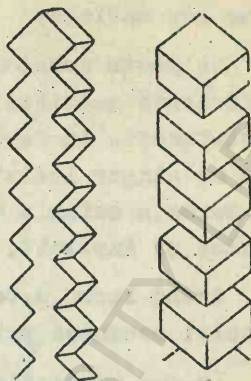


Fig. 461 c

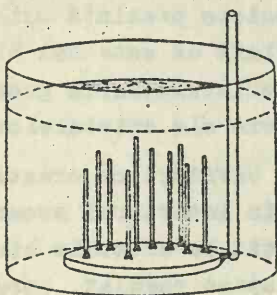


Fig. 461 b.

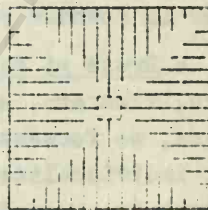


Fig. 461 d

Ortotropismul se produce adesea în cristalizarea topiturilor în vase închise, de ex. la solidificarea metalelor.

În creșterea lor, cristalele pot îngloba alte centre mai noi, care se formează în părțile interne ale vasului, sub formă de incluziuni care nu se pot dezvolta mai departe și care au o orientare diferită de cea a cristalului care le-a înglobat.

Prin ortotropism se produce o selecție între diferitele cristale care cresc, dezvoltându-se și supraviețuind numai cristalele cele mai înalte, care au o creștere ortotropică.

Fenomenul de ortotropism este aplicat în anumite procedee de producere a monocristalelor.

2.2. Concreșteri regulate de cristale

În această categorie de asociații de cristale cele mai regulate sînt considerate concreșterile paralele și concreșterile

simetrice sau maclele.

Se poate considera însă că maclele sînt numai sub aspect morfologic asociații de doi sau mai mulți indivizi cristalini distincti. În fapt, se poate spune că mai degrabă este vorba de un singur individ cristalin care, datorită unor acțiuni externe, a suferit o dedublare sau multiplicare a orientării rețelei și implicit, a formei poliedrice.

Acest lucru este demonstrat în mod evident de producerea maclei mecanice prin experiența lui Baumbauer.

Într-o concepție sau alta, maclele prezintă oricum un caz aparte, complex, și de aceea am găsit că este mai bine să fie tratate în cadrul capitolului de cristalografie geometrică referitor la formele poliedrice complexe ale cristalelor.

a. Druze și geode. Pe pereții cavitațiilor create prin dizolvare, fisurare, sau alte cauze, în interiorul scoarței pămîntului, se formează adesea asociații de cristale bine dezvoltate, individualizate și uneori dispuse regulat, care constituie druzele și geodele.

Acstele cavități pot avea dimensiuni foarte variate; de la mărimea porilor pînă la mărimea unor adevărate grote. Si cristalele care le cîmpușesc pot avea dimensiuni mici, formînd așa numitele perii de ex., sau dimensiuni mari și foarte mari cum se întîlnesc la druzele de cuarț.

Cavitățile care au pereții cîmpușiți cu asemenea cristale constituie așa numitele geode (fig. 462 a), iar grupările de cristale care le cîmpușesc constituie druzele (fig. 462 b, c). De multe ori însă aceste noțiuni se confundă.

Concrescute după legea ortotropismului, agregatele de cristale au o dispoziție convergentă atunci cînd pereții geodeli au formă concavă, dispoziție divergentă cînd porțiunea de perete pe care au crescut este convexă și dispoziție paralelă cînd crescute pe porțiuni drepte ale pereților.

Așa se formează frumoasele druze de cristal de stîncă în formă de pieptene, în formă de arici, de concrescături paralele, de columnare etc. din Maramureș.



Fig. 462 a



Fig. 462 b



Fig. 462 c.

b. Concreșteri paralele

Formate în condițiile arătate, acestea sînt compuse din indivizi cristalini distincți și complet dezvoltăți.

Crescute împreună, în aceleași condiții de ortotropism, cristalele vecine sînt în acest caz alipite după o față sau după o muchie astfel că toate fețele și toate muchiile lor analoge sînt paralele.

Prin muchiile și fețele nealipite și prin virfurile de concurență a unor muchii oblice față de direcțiile de alipire, cristalele asociate, își păstrează însă individualitatea proprie.

Asemenea concreșteri paralele de cristale sînt foarte răspindite la minerale cu habitus prismatic, columnar etc., cum se întîlnesc la cuarț (fig. 463₁), sau la sarea gemă (463 a, b).

Tot concreșteri paralele pot fi recunoscute și la unele cristale scheletice arborescente sau dendritice, cum se întîlnesc adesea la aur și la alte metale native (fig. 463 c).

c. Concreșteri sferoidale de cristale

În medii omogene și dispersate, de dimensiuni și uneori și de natură coloidală, cum sînt mlurile, argilele etc. se formează concreșteri sau agregate radiare de cristale.

Fornite de obicei dintr-un centru de cristalizare, cristalele cu habitus acicular sau fibros se dezvoltă în mediul izotrop cu aceeași viteză în toate direcțiunile formînd un agregat mai mult sau mai puțin sferoidal care ar putea reprezenta plastic imaginea suprafeței înfășurătoare a vectorilor vitezei de creștere pe toate direcțiile.

Uneori concreșterile sferoidale ating un înalt grad de simetrie radiară ca în cazul concreștiunilor de roșiorit (fig. 464 a), marcăsită, (464 b).

Oolitele. Alteori, concreștiuni sferice de argonit sau calcit compuse din pături concentrice cu structură fibroradiară, se formează din soluțiile apoase în jurul unor nuclee de cristalizare. Acestea se numesc oolite (fig. 464 c, d, e).

CONCREȘTERI

PARALELE

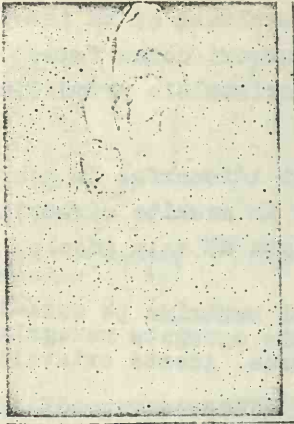


Fig.463₁



Fig.463₁



Fig.463 a, b.



Fig.463 c.

În cazul concreșterilor sferoidale procesul de cristalizare se desfășoară în sens invers decât în cazul concreșterilor prin ortotropism de pe pereții cavităților.

2.3. Agregate neregulate de cristale

Atunci când au drum liber de dezvoltare și nu intervin factori perturbatori, cristalele capătă uneori chiar forme ideale, cum sînt cuburile de pirită sau cristalele prismatice perfecte de gips din unele argile.

Se spune că aceste cristale sînt idiomorfe. În geode cristalele se dezvoltă de asemenea liber în anumite direcții, așa cum am văzut, și capătă forme apropiate de cele ideale. Acestea sînt cristale hipidiomorfe.

Alteori însă, din cauza spațiului restrîns pe care-l umplu, cristalele ce se formează constituie agregate neregulate de cristale care nu mai au formă proprie. Aceste cristale sînt allotrimorfe sau xenomorfe.

Așa cum se vede din schema cristalizării (fig. 465 a), mai întîi se formează germenii de cristale (1), care cresc apoi în forme regulate atît cît le permite spațiul (2). Mai departe cristalele caută să ocupe tot spațiul liber, împiedecîndu-se unul pe altul în creșterea ulterioară (3), ceea ce duce la formarea agregatelor granulare (4). După mărime, agregatele constituite din cristale care se pot vedea cu ochiul liber se spune că sînt fanerocristaline.

Agregatele constituite din cristale care se pot distinge numai cu ajutorul microscopului, se spune că sînt microcristaline, iar cele care nu se pot distinge nici cu microscopul obișnuit se spune că sînt criptocristaline.

După gradul de agregare se disting agregate compacte și agregate afanitice.

După forma și aranjarea cristalelor se deosebesc de asemenea mai multe feluri de agregate:

a.-agregate granulare, în care cristalele de formă neregulată concreșcute compact sînt aproximativ izometrice (fig. 465 b).

b.-agregate bacilare, acidulare sau fibroase, cînd cristalele componente au forme alungite după o direcțiune (fig. 465 c).

c.-agregate lamelare, foioase sau solzoase, cînd cristalele sînt dezvoltate pe două dimensiuni (fig. 465 d).

d.-agregate arborescente, dendritice sau radiare, cînd sînt ramificate neregulat în spațiu (fig. 466).

CONCREȘTERI SFEROIDALE

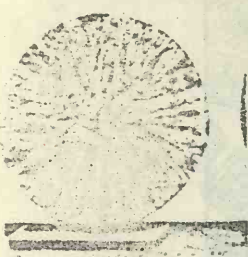


Fig. 464 a



Fig. 464 b

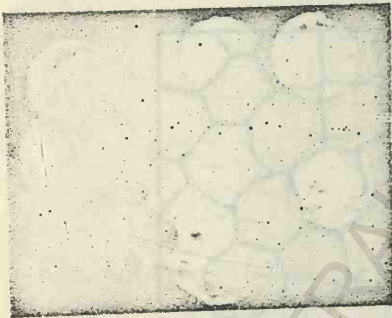


Fig. 464 c

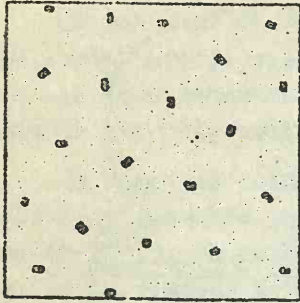


Fig. 464 d

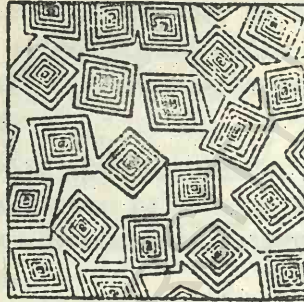


Fig. 464.

CRISTALIZAREA AGREGATELOR



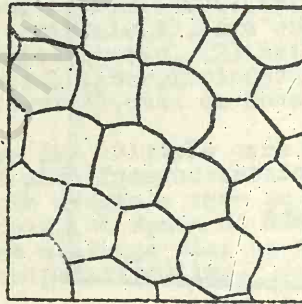
a_1



a_2



a_3



a_4

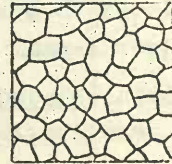
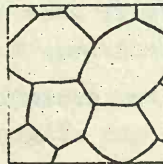
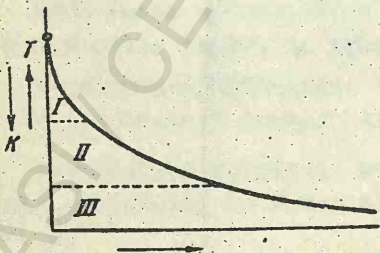


Fig. 465a

AGREGATE



Fig. 465b

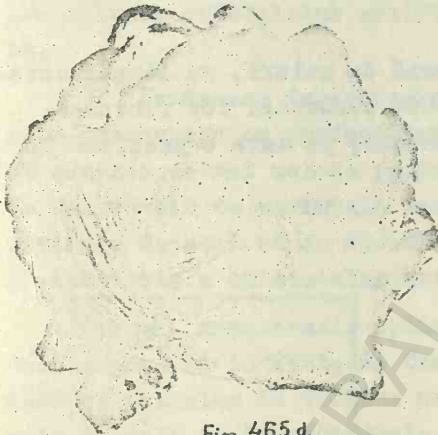


Fig. 465d



Fig. 465c

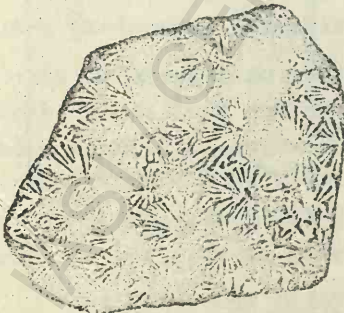


Fig. 466a



Fig. 466b

2.4. Concretiuni

Aceste formațiuni minerale care provin de obicei din cristalizarea gelurilor se întind ca și druzele în cavități.

Soluțiile coloidale circulând încet ajung în spațiile libere unde suspensiile se depun și cresc cu timpul căpătând diferite forme rotunjite sau de curgere, mamelonare, reniforme, stalactitice, stalagmitice etc. (fig. 467).

Dimensiunile acestor formațiuni sînt foarte variate, ajungînd uneori la dimensiunile unor stîlpi puternici cum sînt stalactitele și stalagmitelă care se unesc în peșteri.

Compoziția lor este de asemenea destul de variată: carbonați de calciu, hidroxizi de fier, hidroxizi de mangan, sulfati, sulfuri etc.

Depuse la început sub formă de geluri, cu timpul cristalizează ceea ce se recunoaște după structura lor fibroasă, radiară etc. mai fină sau mai grosieră, pe care o prezintă în secțiune.



Fig. 467 a



Fig. 467 b

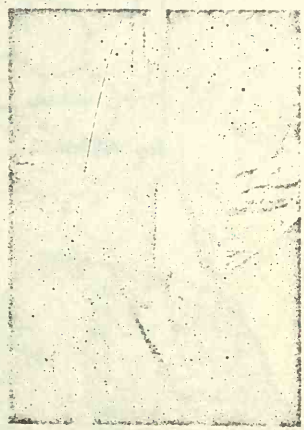


Fig. 467 c

CRISTALOGRAFIE.

4. CRISTALOGENEZA.

XIX.

METODE PRACTICE DE OBTINERE A CRISTALELOR UNICE.

Marea importanță științifică și practică pe care o are cultura cristalelor artificiale este astăzi bine cunoscută.

Numeroase laboratoare ale institutelor de cercetări sînt preocupate cu perfecționarea metodelor, de-acum vechi, și găsirea de noi metode pentru producerea acestor cristale. Nu mai vorbim de cerințele cantitative, care au făcut ca în ultimele decenii să se creeze și să se dezvolte mereu o întregă industrie a cristalelor artificiale.

Tot mai numeroasele aplicații pe care le capătă monocristalele pure și perfecte ca formă și structură, în tehnica clasică și mai ales în tehnica modernă, cer să se progreseze tot atît de mult și în procedeele de producere a cristalelor cu anumite proprietăți impuse.

Sînt numeroase procedee de laborator și industriale pentru producerea monocristalelor artificiale.

În cele ce urmează nu putem prezenta decît un număr redus de metode, alese însă astfel ca să illustreze transpunerea în practică a teoriilor expuse în capitolele de "Cristalogenază" și să scoată aît de cît în evidență evoluția și tendințele pe care le are dezvoltarea tehnicii de producere a cristalelor artificiale, cerute și aplicate în cele mai diferite ramuri ale industriei.

1. OBTINEREA CRISTALELOR UNICE DIN SOLUTII

Prin cristalizarea spontană, din soluțiile suprasaturate se produc simultan mai multe cristale sau, prin contopirea

acestora, se produc agregate de cristale.

Pentru a se obține cristale unice, monocristale, trebuie să se folosească soluții lipsite de germeni și să se provoace cristalizarea în jurul unui singur germen de cristal.

Acestea este apoi alimentat continuu din soluția suprasaturată, menținută la aproximativ același grad de concentrație, lucru care se realizează prin diferite metode.

1.1.1. Metoda evaporării soluțiilor

Se întrebuintează în acest caz o soluție care este saturată la temperatura camerei și care a fost încălzită pentru a se distruge eventualii germeni de cristalizare pe care i-ar fi conținut. Pentru a fi ferită și de atmosferă soluția se răcește și se păstrează în vasul acoperit.

a) Pentru a produce monocristalul se suspendă în soluție cu un fir de păr de ex. sau se așează pe rundul vasului, un cristal sau un fragment de cristal obținut dintr-o altă cristalizare a substanței respective (fig. 468 a).

După ce prin evaporarea soluției se ajunge la o ușoară suprasaturație, cristalul începe să crească consumind din excesul de suprasaturare al substanței.

În același timp solventul continuă să se evaporeze, ceea ce face ca să se mențină concentrația soluției și să se asigure astfel alimentarea și creșterea cristalului la dimensiuni din ce în ce mai mari.

Dacă germenele de cristal a fost așezat pe fundul vasului, cristalul nu se poate dezvolta decât în sus, fundul vasului împiedecându-i dezvoltarea de jos.

În figura 468 b, acest lucru este pus în evidență cu un cristal de alaiun. La creșterea liberă a cristalului așezat se formează un octaedru. La creșterea limitată de fundul vasului se formează o piramidă tetragonală, ca o jumătate de cristal, și în orice caz, un cristal deformat din cauza dezvoltării diferite pe diferitele direcții, provocată de modul de acțiune al curenților de difuziune și de convecție.

Acest lucru poate fi evitat dacă se schimbă din când în când poziția cristalului pe alte fețe. La schimbarea pozi-

ției, cristalul continuă să crească mai repede pe fața rămasă în urmă până la "vî. decarea" lui.

b) Pentru a grăbi evaporarea solventului se poate introduce vasul într-un exicator în care se găsește o substanță avidă de apă, cum este H_2SO_4 ce absoarbe vaporii (fig.469).

c) În condițiile arătate pînă acum este greu să se obțină cristale mari și omogene, din cauza variațiilor de temperatură de cel puțin $3-4^{\circ}C$ pe care le suferă soluția în cursul unei zile. Odată cu aceste variații de temperatură, concentrația soluției oscilează de asemenea, fiind cînd suprasaturată și producînd creșterea cristalului, cînd nesaturată, provocînd solvirea cristalului.

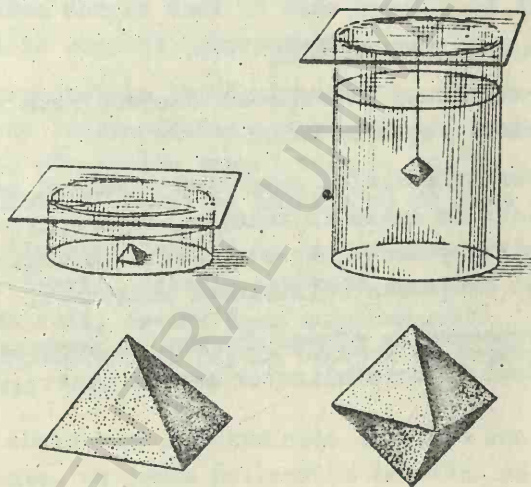


Fig. 468 a

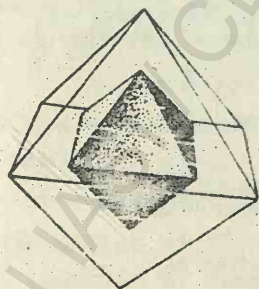


Fig. 468 b

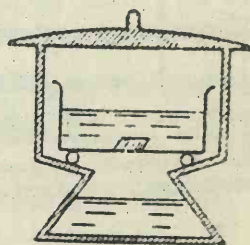


Fig. 469

Pentru înlăturarea acestor dificultăți și pentru obținerea unor cristale mari și omogene, în cantități industriale, s-au construit aparate speciale termostate, în care temperatura este menținută constantă cu ajutorul unui termoregulator, care întrerupe automat curentul electric îndată ce temperatura crește, și restabilește apoi circuitul îndată ce temperatura scade (fig.470 a, termostat gertal).

În aceste sisteme se folosesc soluții suprasaturate. Suprasaturația însă nu trebuie să fie prea mare, pentru că atunci cristalizarea se produce prea repede și cristalele ies tulburi în loc să fie transparente.

Cristalizarea poate dura de la câteva ore pînă la mai multe luni de zile pentru a se obține cristale de mari dimensiuni (fig.470 b).

1.2. Metoda transvazării

Pentru obținerea cristalelor omogene este nevoie ca soluția să fie numai puțin saturată.

Creșterea cristalului este deci limitată de cantitatea de substanță aflată în exces în soluție. După epuitarea acestuia, cînd soluția devine saturată, se stabilește un echilibru între cele două faze și creșterea cristalului încetează.

Prin evaporare se ajunge din nou la suprasaturația de creștere, dar dacă în cristalizator este o cantitate mică de

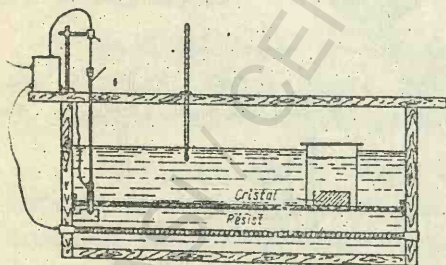


Fig. 470 a

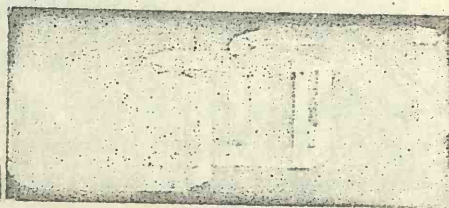


Fig. 470 b.

soluție cristalul nu poate ajunge la dimensiuni mari.

Pentru a se asigura continuarea creșterii pînă la mărimea dorită este nevoie să se mențină soluția la suprasaturarea și în cantitatea necesară.

Acest lucru se face adăugînd treptat, pe măsură ce crește cristalul, noi cantități de soluție suprasaturată preparată separat.

Sînt asemenea cristalizare în care, ca și reglarea temperaturii, alimentarea soluției se face automat (fig. 470 c).

1.3. Metoda răcirii lente

Pentru a evita aceste neajunsuri în cazul substanțelor a căror solubilitate crește mult cu temperatura, se folosesc soluții saturate la temperaturi mai mari decît temperatura ambiantă. Acestea conțin deci un mare exces față de solubilitatea substanței la această temperatură.

În termostatele întrebuintate în acest scop temperatura nu mai este constantă. Ele pot fi reglate astfel ca de ex. din 2 în 2 zile să coboare temperatura cu $0,1^{\circ}\text{C}$, $0,2^{\circ}\text{C}$ etc., menținînd-o constantă numai pe intervalul de timp necesar.

Solubilitatea scăzînd la aceste substanțe odată cu scăderea temperaturii, soluția saturată de ex. la 10°C peste temperatura ambiantă, devine ușor suprasaturată. La fiecare coborîre de temperatură și depune excesul de substanță pe monocristal.

S-au obținut pe aceasta cale cristale foarte mari, perfect transparente, cu forme poliedrice deosebit de regulate și cu fețe perfect netede de alaun, de salpetru, de sulfat de cupru, de tartrat dublu de sodiu și potasiu (sare Seignette) etc.

Datorită proprietăților sale electrice, sarea Seignette prezintă o mare importanță tehnică pentru coloronie, radiofonie etc.

Printr-o asemenea metodă perfecționată de N. Șeftal, colaboratorul acad. Șubnikov (fig. 470 d) s-au obținut în 2-3 luni cristale de sare Seignette perfect pure în greutate de 1400 g.

1.4. Metode dinamice

Spre deosebire de metodele statice, prezentate mai sus, în care cristallul rămâne nemișcat și soluția rămâne tot timpul foarte liniștită, în metodele dinamice cristallul se mișcă în soluție și datorită acestei mișcări care-l ține tot timpul în contact direct cu soluția suprasaturată, fără intermediul păturei de diluare, crește mult mai repede.

După ideile lui I. Wulf, profesorul O. Angelescu de la Universitatea din Leningrad și colaboratorii săi, au construit un termostat în care cristallul are o mișcare în jurul axei sale, descriind în același timp o mișcare circulară de revoluție prin cristallizer (fig. 470 (a)).

Cu acest procedeu s-a obținut în numai 25 zile un cristall de sare Seignette pur și omogen în greutate de 6 kg.

2. OBTINEREA CRISTALELOR UNICE DIN TOPITURI

Sînt unele substanțe pentru care monocristalele din soluții se obțin așezându-se într-un timp prea îndelungat, iar altele, cum sînt - în general - metalele, pentru care, din soluții, nici nu se pot obține monocristale.

Pentru obținerea monocristalelor din aceste materiale se folosesc însă adesea cu succes metode de cristalizare din topituri.

S-a observat că în procesele metalurgice totdeauna, în topituri, metalele cristalizează sub formă de agregate microgranulare compacte.

Aceasta se datorește cristalizării simultane care se produce în toată masa topiturii încă de la începutul subrăcirii sale.

De aceea, la baza metodelor folosite pentru obținerea monocristalelor din topituri stă mai ales amorsarea cristalizării cu un singur germene de cristal, sau, oricum, într-un spațiu foarte limitat al topiturii ușor supraîncălzite, urmată de răcirea treptată a masei topite.

În felul acesta, chiar dacă la început se formează un mare număr de cristale mici totuși, odată cu creșterea mai departe, numărul lor se micșorează și pînă la urmă supraviețuiesc

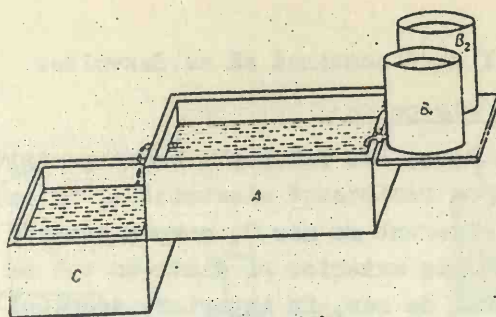


Fig. 470 c

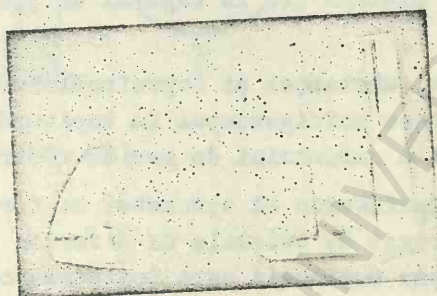


Fig. 470 d

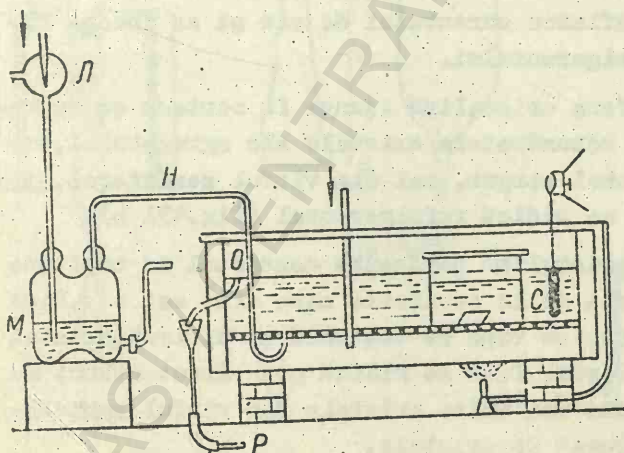
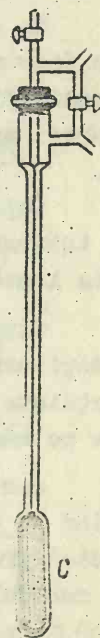


Fig. 470 e.



te un singur cristal care continuă să se dezvolte.

2.1. Metoda Kirooulos

În această metodă se folosește un dispozitiv care constă dintr-o sobă cu rezistență electrică A, un creuzet de platină B și un refrigerent cu aer C, compus dintr-o eprubetă scitoare de platină, la exterior și dintr-un tub de cupru prin care se suflă curentul de aer, în interior. Aparatul mai este prevăzut cu un mecanism cu care se poate introduce și scoate refrigerentul în și din topitura aflată în creuzet (fig.471 a).

Eprubeta de platină are la capătul de jos o formă semisferică.

După topirea substanței și supraîncălzirea puternică a topiturii se introduce refrigerentul în topitură și se începe trecerea prin el a curentului de aer de răcire.

Pe capătul semisferic al eprubetei se formează încetul cu încetul un agregat de cristale de diferite forme dispuse radial în direcția topiturii care înfășoară ca o crustă în evantai mai mult sau mai puțin groasă, capătul refrigerentului.

După ce s-a format acest agregat semisferic de cristale se intensifică suflarea curentului de aer și se începe ridicarea lentă a refrigerentului.

Când semisfera cristalină ajunge în contact cu suprafața topiturii, din nenumăratele cristale ale agregatului, supraviețuiește numai unul singur, cel din vârful semisferei, și crește pe măsură ce se ridică refrigerentul (fig.471 b).

Semisfera cristalină părăsește contactul cu topitura începând cu cristalele de la periferie care sînt mai sus. Dacă se ridică prea repede, se rupe de topitură și ultimul cristal de pe centrul semisferei. Dacă se ridică prea încet atunci au timp să se consolideze mai multe cristale din vârful semisferei și crește un agregat de cristale.

De aceea ridicarea refrigerentului cu semisfera cristalină trebuie să se facă lent dar în așa măsură, ca să se rupă de topitură toate cristalele din jurul oclui axial, iar acesta să continue să crească așa cum se lungeste firul tors dintr-un caier de lînă, dar de jos în sus, după legea or-

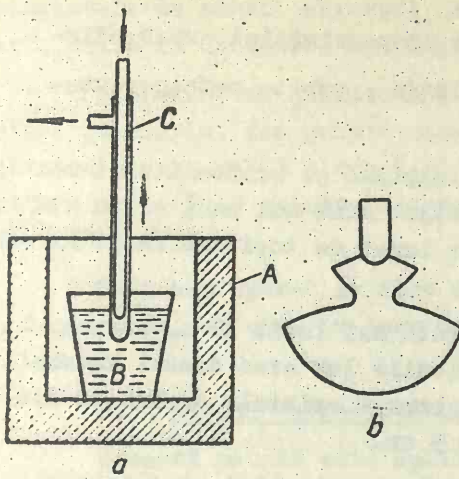


Fig. 471

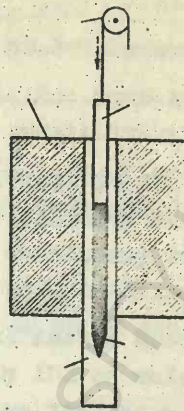


Fig. 472

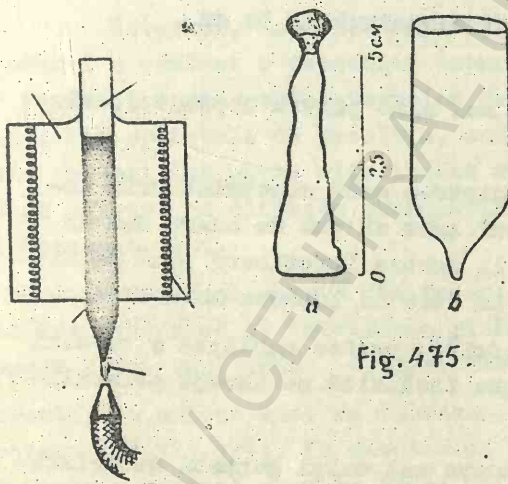


Fig. 473.

Fig. 475.

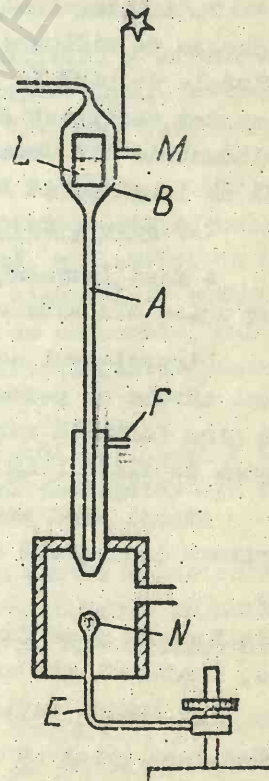


Fig. 474

totropismului.

Tot crescînd în greutate, monocristalul are tendința ca pînă la urmă să se desprindă de eprubete refrigerentului.

Cu atît se face răcirea inițială și cristalizarea mai încoet, cu atît cristalele din agregat sînt mai mari și cu atît sînt mai mari șansele de a rămîne legat de topitură numai un singur cristal.

Metoda a fost întrebuintată mai întîi la obținerea monocristalelor de KCl și dimensiunile lor erau destul de mici. Chamberlain a obținut cu același aparat cristale de BrK cu diametrul de 2,5 cm. și lungimea de 5 cm.

Modificînd însă dimensiunile aparatului și corespunzător, durata de ridicare a monocristalului Chamberlain a obținut cristale de pînă la 12,5-15 cm. cu greutatea de 3200 g. Iar cu un aparat modificat de Korber în laboratoarele firmei I.G. Farbenindustrie din Germania s-au obținut cristale cilindrice de NaCl cu lungimea de 17 cm și diametrul de 30 cm.

2.2. Metoda Bridgman.

A fost întrebuintată mai ales pentru obținerea cristalelor unice din metale.

Dispozitivul consta dintr-o sobă electrică prin interiorul căreia se poate coborî lent un tub de cuarț sau de sticlă greu fuzibilă subțiat la partea inferioară pînă la dimensiunea capilară (fig.472) în care se topește substanța.

Atunci cînd prin coborîre, partea capilară a tubului cu topitură iese afară din zona încălzită se începe cristalizarea.

Dacă la început s-au format cuava mai mulți germeni de cristalizare, conform legii ortotropismului, se va dezvolta mai departe, de-a lungul capilarei, un singur cristal.

Coborînd lent tubul cu topitură, răcirea se va produce treptat de jos în sus iar substanța topită va cristaliza în întregime formînd un singur cristal.

S-au obținut astfel monocristale de Cu, Al, Ag; etc.

Printr-un dispozitiv analog s-au obținut de asemenea monocristale de săruri ca: NaCl, NaBr, KCl, RbCl, KBr, AgCl etc., foarte utile în industria optică, cu greutatea de peste 2 kg.

Dispozitivul Șubnikov-Obreimov, este construit după același principiu, dar pentru accelerarea cristalizării, după ieșirea din zona caldă a sobei electrice, tubul de sticlă cu topitura este răcit printr-un curent de aer rece dat de un suflai (fig.473).

Cu acest aparat au fost obținute monocristale de Sn, Bi, Cd, Sb, Al, Mg etc. cu lungimea de 30 cm și cu diametrul de 1-30 mm.

2.3. Metoda Verneuil-Popov

Această metodă este aplicată la producerea monocristalelor din substanțe care se topește la temperatura foarte înaltă.

De la început, dispozitivul lui Verneuil a servit la obținerea corindonului din pulberea de alumina Al_2O_3 , cu scopul de a produce pietre prețioase artificiale (rubine, safire etc.).

Ulterior, datorită durității sale foarte mari (9), corindonul a căpătat o deosebită importanță tehnică fiind folosit la confecționarea perforatoarelor de stîncă, a pieselor de mare uzura din aparatele de precizie, cum sînt minusculele rubine pe care se sprijină axele diferitelor roțițe de ceasornic, sub formă de pulberi cu diferite granulații, pentru șlefuitul pietrelor și metalelor etc.

Procedeu constă din topirea pulberii de alumina în flacăra oxhidrică și colectarea picăturilor de topitură pe un suport refractar, unde cristalizează.

Curentul de oxigen care se introduce pe la partea superioară a aparatului (fig.474), în amestec cu pulberea de alumina cernută dintr-o cutiută cu sită trece mai departe într-o cameră în care se suflă hidrogenul.

La temperatura de peste $2000^{\circ}C$ a flăcării oxhidrice, pulberea se topește și formează mici picături care se depun pe suportul refractar, răcit.

Se formează mai întâi un germene de cristal care, pe măsura depunerii picăturilor de topitură continuă să crească stalagmitic în formă cilindrică.

Adăugând la pulberea de alumina pură mici proporții de oxizi metalici se obțin cristale colorate asemănătoare întru totul pietrelor prețioase naturale.

De ex. cu 2,5% oxid de crom rezultă cristale de rubin roșii. Adăugând mici cantități de fier se obțin rubine cu reflexe roz asemănătoare cu rubinele naturale din Tailanda.

Cu adaos de oxizi de fier și titan se obțin safire albastre.

Dacă un rubin natural de 2 g. este o raritate, apoi prin această metodă s-au obținut rubine de 50, 100, 200 și până la 400 g.

În aparatul lui Verneuil monocristalele care se formează capătă forma unei butelii cu gura în jos (fig. 475).

Pentru confecționarea rubinelor de ceasornic, de ex. acestes trebuie sfărâmate la mici dimensiuni și șlefuite. Acest lucru este anevoios deoarece, afară de diamant nu există nici un alt material care să-l zgârie. În plus, cea 97% din material se pierde sub formă de pulberi, așchii și resturi inutilizabile.

Prin modificările aduse aparatului de către S.K. Popov s-a reușit să se producă cristale de corindon în formă de tijă cu diametrul de 2-3 m., care pot fi foarte ușor segmentate pentru obținerea pieselor mici ca cele pentru rubinele de ceasornic, iar pierderile la prelucrare sînt neglijabile.

3. OBTINEREA MONOCRISTALELOR PRIN ELECTROLIZA

3.1. Prin electroliza soluțiilor se obțin la catod monocristale metalice. Sînt însă puține metale ale căror săruri sînt solubile în apă, iar datorită creșterii rapide, a cristalelor capătă de obicei forme grăunțose sau dendritice.

Totuși, în anumite condiții, s-au obținut prin electroliză sulfatului de cupru monocristale metalice cu lungimea

de 7,5-10 cm și cu diametrul de 0,4 cm.

5.2. Prin electroliza topiturilor de săruri s-au putut obține monocristale metalice cu diametrul mai mare și în același timp cu o structură mai bună decât a celor obținute prin electroliza soluțiilor.

Astfel s-au obținut monocristale de wolfram din topitura de Li_2WO_4 în amestec cu WO_3 .

Wolframatul de litiu pur are o reacție alcalină și de aceea pentru neutralizarea electrolitului se adaugă oxid de wolfram în diferite proporții.

Reacția de formare a monocristalului de wolfram pe catod se produce în două faze:

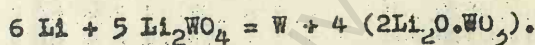
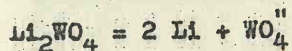


Fig. 465A CRISTAL DE STINCA

MONOCRISTALE ȘI DRUZE



Fig. 465 B Cuarț



Fig. 465 C K_2SO_4



Fig. 470 F Sare Seignette



Fig. 465 D Stibină



Fig. 465 E Cuarț

TRAIAN IDRICEANU
CRISTALOGRAFIE

—> Sinte de la Teorie

5.

CRISTALOGRAFIA
FIZICĂ

BCU IASI / CENTRAL UNIVERSITY LIBRARY

CRISTALOGRAFIA

FIZICA

A.

O P T I C A

CRISTALELOR.

CRISTALOGRAFIE

5. CRISTALOGRAFIA FIZICA.

A.

OPTICA CRISTALELOR.

INTRODUCERE.

Dintre proprietățile fizice ale cristalelor, o deosebită importanță pentru studiul lor, prezintă proprietățile optice.

La trecerea luminii prin cristale se produc o serie de fenomene foarte variate și caracteristice, care depind, pe de o parte de natura luminii, iar pe de altă parte, de structura cristalelor străbătute.

Este deosebit de important faptul că fiecare corp cristalizat, mineral sau substanță chimică, prezintă anumite caractere, anumite constante optice, particulare.

Aceste fenomene caracteristice dau posibilitatea determinării, cu ușurință, a corpurilor cristalizate. Si aceasta, nu numai când se găsește în forme poliedrice bine dezvoltate, cu morfologie geometrică evidentă și izolate, dar și în formă de fragmente mici de cristale, sau de agregate poliminerale, în general policomponente, de substanțe cristalizate împreună.

Pentru foarte multe din aceste cazuri, determinarea pe baza însușirilor optice este cea mai avantajoasă, cea mai lesnicioasă, uneori chiar singura cale de determinare completă și precisă a lor.

Desigur că pentru înțelegerea acestor fenomene este necesar să cunoaștem, în primul rând, însușirile radiațiilor care le produc.

Natura, originea și caracterele generale ale radiațiilor de diferite forme sînt studiate de fizică.

În cristalografie, pe noi, ne interesează aici numai o gamă de radiații cuprinse în limita spectrului care constituie lumina albă și anume, efectele pe care le produc aceste radiații în trecerea lor prin cristale.

Este însă necesar ca înainte de a intra în prezentarea fenomenelor optice care se petrec în cristale, să reamintim cîteva noțiuni legate de însăși caracterele radiației luminoase, noțiuni de care ne vom servi apoi în exprimarea și în explicarea fenomenelor ce ne interesează.

CRISTALOGRAFIA FIZICA

A. OPTICA CRISTALE -
LOR.

XX.

NOTIUNI PRELIMINARE.

Toate fenomenele optice care se produc la trecerea luminii prin cristale pot fi explicate, practic, pe baza concepției ondulatorii asupra naturii luminii. În această accepțiune, vom prezenta și noi, numai acele date care ne vor fi necesare și suficiente și ne vor da posibilitatea înțelegerii clare și depline a acestor fenomene.

1. CARACTERISTICILE UNDEI LUMINOASE.

1.1. Vibrație, oscilație, undă

Se consideră că lumina se produce prin oscilația în jurul unui punct de echilibru a particulelor luminoase, oscilație care ar putea fi reprezentată prin proiecția mișcării lor circulare uniforme, desfășurate pe diametrul unui cerc, al cărui centru (O) constituie originea mișcării (fig. 476).

În această mișcare periodică particula luminoasă are o viteză variabilă, prezentând o valoare maximă la trecerea prin punctul de echilibru O și scăzând treptat pînă la zero, în poziția de depărtare maximă față de acest punct.

În figură, această scădere este evidențiată prin micșorarea continuă a intervalelor, egale în timp, dintre diferitele momente ale mișcării (BB', B'C, C'D, D'E).

Mișcarea de vibrație se va transmite particulelor învecinate în mod simultan și uniform, pe o direcție AR, perpendiculară pe direcția de vibrație Ca. Aceasta este direcția de propagare a luminii.

Mișcarea ondulatorie care rezultă din compunerea ce-

lor două mișcări, poate fi reprezentată printr-o sinusoidă, în figura noastră sinusoida AR, pe care sînt puse în evidență și elementele componente ale undulației.

-Amplitudinea, este distanța dintre poziția de echilibru și depărtarea maximă de aceasta, a particulei oscilante (în figura noastră, $a = Oa$).

-Intensitatea. I. se exprimă tot în raport cu amplitudinea, cu a cărei pătrat este proporțională.

-Lungimea de undă este distanța pe care s-a transmis mișcarea de vibrație în timpul T al unei oscilații complete a particulei considerate (în figura noastră, $\lambda = AR$).

Diferitele radiații se deosebesc prin lungimile diferite de undă, astfel:

- undele herziene au lungimi de undă de la 2 mm. la 10 km;
- razele infraroșii, de la 0,3 mm la 7600 Å;
- radiațiile luminoase, de la 7600 Å la 3800 Å;
- razele ultraviolete, de la 3800 Å la 1000 Å;
- razele roentgen, de la 12,4 Å la 0,17 Å; iar razele emise de substanțele radioactive au lungimi de undă și mai mici.

La microscop, cristalele se studiază în lumină albă sau într-una din culorile componente ale spectrului său, în lumină monocromatică, cu o anumită lungime de undă, cum este de ex. lumina galbenă emisă de sodiu cu $\lambda = 589 \text{ m}\mu$.

-Perioada este timpul T în care s-a produs această oscilație completă;

-Viteza, v, este distanța pînă la care s-a transmis mișcarea într-o secundă. Ea este dată de raportul $v = \frac{\lambda}{T}$, variind deci cu lungimea de undă, dar mai variază și în funcție de mediul prin care se propagă.

În vid, viteza luminii este de 300.000 km/sec. și această cifră este o constantă care se înseamnă cu C.

-Frecvența ν , reprezintă numărul oscilațiilor pe secundă. Ea se găsește într-un raport invers cu perioada,

$$v = \frac{1}{T} \text{ și } v = \lambda \nu .$$

-Faza mișcării, reprezintă poziția pe sinusoidă, a punctului în mișcare, la un moment dat, și se exprimă prin unghiul φ , care determină această poziție.

Doă oscilații, cu aceeași lungime de undă, sînt în concordanță de fază atunci cînd au diferența de timp egală cu un număr întreg de perioade, iar cînd au o diferență de timp egală cu o fracțiune de perioadă, sînt în discordanță de fază.

Lumina naturală și lumina polarizată. După Fresnel, lumina naturală vibrează într-un plan perpendicular pe direcția de propagare, în toate azimuturile (fig.477).

Cînd vibrațiile se fac într-un singur azimut, în planul de vibrație care cuprinde direcția de propagare, se spune că lumina este polarizată (fig.478).

Proprietățile optice ale cristalelor se studiază în lumina polarizată.

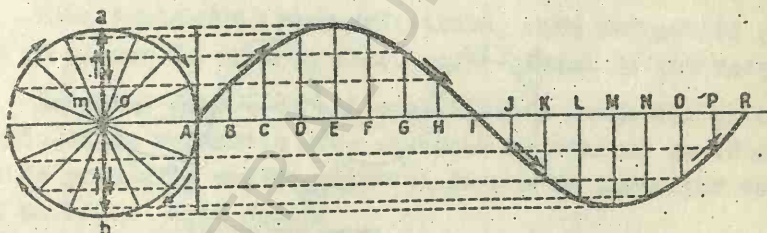


Fig. 476

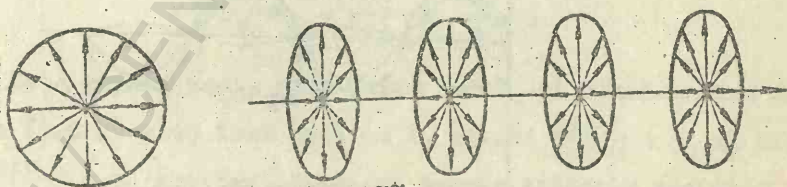


Fig. 477

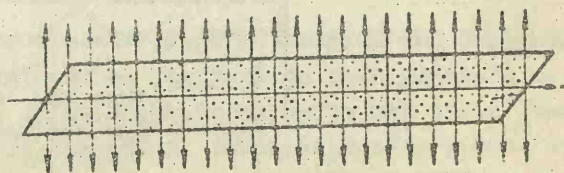


Fig. 478

2. INTERFERENȚA LUMINII

Două oscilații de aceeași lungime de undă, care se propagă în același plan și în aceeași direcție, vor interfera, se vor compune într-o singură oscilație, a cărei amplitudine rezultantă depinde de diferența lor de drum sau de fază.

Dacă diferența de drum (Δ) va fi egală cu un număr întreg de lungimi de undă, interferența va fi pozitivă, amplitudinea rezultantei va fi mărită, intensitatea luminii va crește (fig.479).

Dacă diferența de drum va fi un număr impar de $\frac{\lambda}{2}$, interferența va fi negativă, amplitudinile celor două oscilații se vor scădea, rezultanta va fi micșorată și intensitatea luminii scade (fig.480).

Dacă cele două oscilații cu aceeași lungime de undă au și intensități egale, la diferența de fază de $\frac{\lambda}{2}$ se vor anula (fig.481).

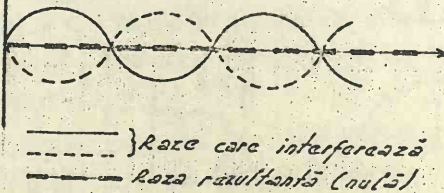
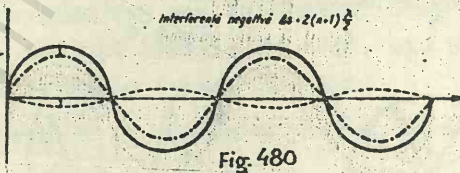
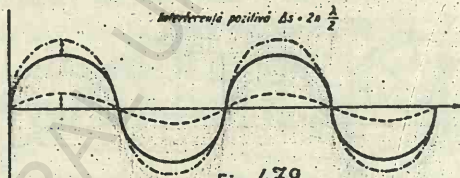


Fig. 481

3. REFLEAIA SI REFRACTIA LUMINII IN MEDII IZOTROPE.

Cind o rază de lumină care străbate un mediu izotrop și transparent cade pe suprafața ce-l separă de alt mediu izotrop și transparent, dar cu densitate diferită, suportă următoarele trei efecte:

- o parte se reflectă pe suprafața respectivă;
- o parte pătrunde în mediul dens și trece mai departe, cu viteză și direcție de propagare schimbată, adică se refractă;
- o parte, pătrunde în mediul dens și este absorbită.

3.1. Raza reflectată face cu normala la plan în punctul de incidență, un unghi egal cu unghiul de incidență (fig.482).

3.2. Raza refractată face cu normala un unghi diferit de unghiul de incidență și anume, dacă al doilea mediu este mai dens, face un unghi mai mic, apropiindu-se de normală iar dacă este mai puțin dens, face un unghi mai mare, depărtându-se de normală.

Raza incidentă, raza reflectată, raza refractată și normala se găsesc în același plan, numit planul de incidență.

Raportul dintre sinusul unghiului de incidență și sinusul unghiului de refracție este constant și egal cu raportul vitezelor de propagare sau cu raportul invers al indicilor de refracție ai celor două medii:

$$\frac{\sin i}{\sin r} = \frac{v_1}{v_2} = \frac{n_2}{n_1}.$$

Dacă primul mediu este chiar aerul, al cărui indice de refracție (1,002) este luat egal cu 1, atunci $\frac{\sin i}{\sin r} = n_2$ și mai simplu, $\frac{\sin i}{\sin r} = n$, înțelegându-se că n este indicele mediului dens.

Această relație se poate deduce, după principiul lui Huygens, în modul următor: Se consideră un fascicul de raze paralele ce cad oblic pe o suprafață PP' ce desparte un mediu mai puțin dens (I) de altul mai dens (II), fig.482 a. Vibrațiile care pleacă în același timp din punctele de pe frontul de undă A-B-C-D vor a-

tinge planul PP' în punctele b, c, d , care împreună cu A vor deveni centre ale unor unde sferice ce se propagă în mediul II. În acest mediu vibrațiile se vor propaga cu o viteză diferită (aici, mai mică) de cât în mediul I.

Suprafețele de undă ale vibrațiilor plecate din punctele de contact A, b, c, d , vor fi sfere cu razele AA', bB', cC' , din ce în ce mai mici, care într-un anumit moment, vor forma frontul de undă cu direcția $A'd$ în mediul II. Unda plană va fi aici planul tangent la aceste sfere. Normala la unda plană $A'd$ reprezintă direcția de propagare a razei incidente SA în mediul II și deci raza refractată AA' . Din figură se poate deduce relația dintre unghiurile celor două raze: unghiul de incidență, $\angle SAN = \angle DAD = i$ și unghiul de refracție $\angle N'AA' = \angle AdA' = r$.

Cu vitezele de propagare v_1 și v_2 din cele două medii, vibrația se va transmite din D în d , în timpul t , după relația:

$Dd = v_1 t = Ad \sin i$. Dar și
 $AA' = v_2 t = Ad \sin r$, de unde:

$$\frac{v_1 t}{v_2 t} = \frac{Ad \sin i}{Ad \sin r} \text{ sau } \frac{v_1}{v_2} = \frac{\sin i}{\sin r}$$

Vitezele de propagare în fiecare mediu fiind constante, și raportul lor va fi tot constant:

$$\frac{\sin i}{\sin r} = \frac{v_1}{v_2} = n \text{ (const.)}$$

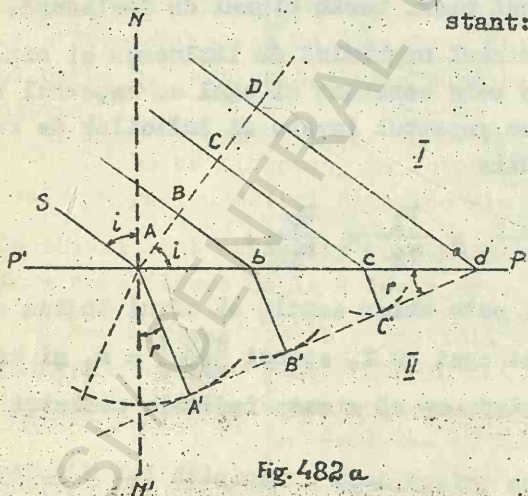


Fig. 482 a

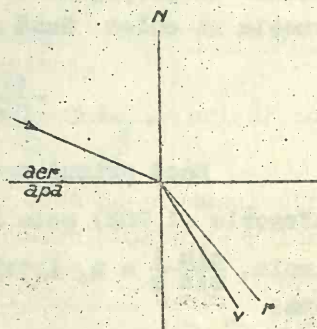


Fig. 482 c

3.3. Zone de refracție

Considerind suprafața despărțitoare dintre un mediu mai puțin dens (I) și un mediu mai dens (II) putem întâlni următoarele situații: (fig. 483).

-Raza de lumină, venind din mediul I, cade perpendicular pe suprafața despărțitoare, confundându-se cu normala N.

Unghiul de incidență fiind egal cu zero și $\sin i = 0$.
Dar $\sin i = n \sin r$, ceea ce înseamnă că $\sin r = 0$ și deci și unghiul $r = 0$.

Raza N își va continua drumul prin al doilea mediu nedeviată pe direcția N'.

-Unghiul de incidență este cuprins între 0° și 90° .
Raza (1) venind din același mediu, cade oblic pe suprafața de separare.

Indicele de refracție al mediului II fiind mai mare ca I, din relația $\sin i = n \sin r$ rezultă că unghiul r va fi mai mic decât unghiul de incidență i , dar cu cât raza incidentă se va îndepărta de normală, i crescând, va crește și r ; raza refractată se va depărta de asemenea de normală (razele $1'$, $1''$ etc.).

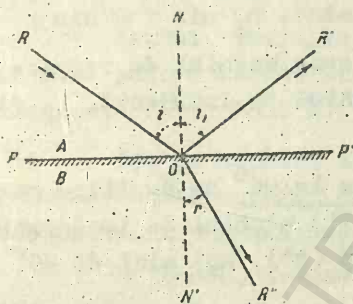


Fig. 482 b.

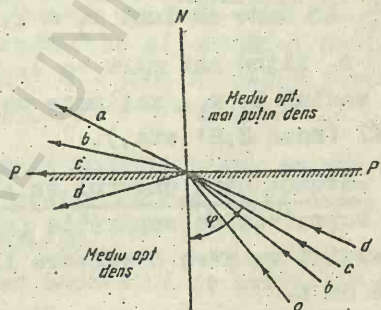


Fig. 483 a

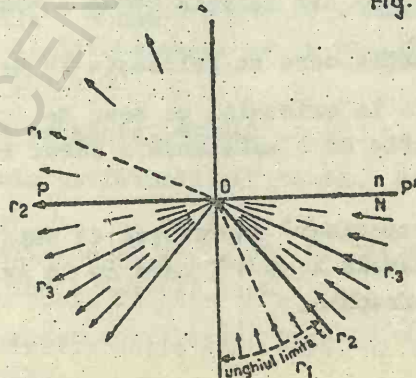


Fig. 483 b.

-Atunci cînd incidența este razantă (raza R) unghiul i ajungînd la 90° ($\sin i = 1$), unghiul r va avea o valoare maximă (t). Unghiul t se numește unghi limită de refracție.

Relația $\sin i = n \sin r$ devine $n \sin r = 1$ sau $\sin r = \sin t = \frac{1}{n}$.

Ca și indicele de refracție însuși, această valoare este o constantă caracteristică a mediului respectiv (II).

Considerînd acum situația inversă: trecerea unei raze din mediul dens II în mediul mai puțin dens (I), vom întîlni următoarele cazuri:

-Raza normală la suprafața de separație, care se confundă cu N' , răsînd deci cu aceasta un unghi de 0° , va avea și unghiul de refracție egal cu zero, va străbate în mediul I nedeviată în direcția N.

O rază oblică, se va refracta după relația $\frac{\sin i}{\sin r} = \frac{n_1}{n_2}$ în care am luat $n_1 \neq 1$. De aici, $n_2 \sin i = \sin r$ și deci n_2 fiind mai mare ca 1, vom avea unghiul de refracție, în mediul I, r_1 , mai mare ca unghiul de incidență, i_2 din mediul II (raza 2, 2' etc.).

-Atunci cînd unghiul va ajunge la 90° de N, fiind rezant la suprafața de separație (raza T') unghiul de incidență i_2 al razei T va avea o valoare limită (t'), mai mică de 90° și egală cu t .

Si în acest caz din relația $\frac{\sin i}{\sin r} = \frac{\sin t}{\sin 90^\circ} = \frac{n_1}{n_2}$ sau $\sin t = \frac{n_1}{n_2}$ relație care se folosește în determinarea indicilor de refracție la cristale, pe baza determinării unghiului t și în comparație cu o substanță a cărei indice de refracție este cunoscut.

Emisfera superioară suprafeței de separație și conul de raze cu generatoarele t și t' , care au în axa lor normală NN' sînt zone de refracție.

3.4. Zone de reflexie totală

Mai departe rezele oblice cu unghiuri mai mari ca t și pînă la limita de 90° , deci cuprinse între rezele T și R , respectiv T' și R' , nu vor mai putea părăsi mediul dens, fiind reflectate total în acesta (raza T_1 etc.).

Unghiul t este în acest caz unghi limită de reflexie totală.

Ajunsem din nou la relația $\frac{\sin t}{\sin 90^\circ} = \frac{n_1}{n_2}$ sau

$\sin t = \frac{n_1}{n_2}$, care servește la determinarea indicilor de refracție ai cristalelor cu refractometrul, pe baza unghiului de reflexie totală.

3.5. Dispersia luminii

Indicii de refracție ai aceluiași mediu, la aceeași temperatură variază cu lungimea de undă a radiației.

Astfel, indicii de refracție al oricărui mediu este mai mare pentru lumina violetă ($\lambda = 3800 \text{ \AA}$) decît pentru lumina roșie ($\lambda = 7800 \text{ \AA}$). Fig. 482 c. $\rightarrow 100^\circ \text{ A}$

Așa se explică dispersia luminii albe, descompunerea ei în diversele culori, de la violet la roș, cînd trece printr-o priză triunghiulară de sticlă.

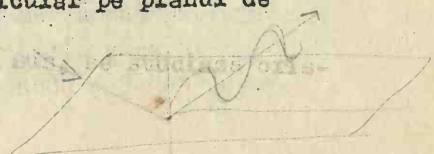
De aceea, determinarea indicelui de refracție în lumină albă nu dă o valoare precisă. Determinarea exactă a indicelui de refracție se face folosind lumina monocromatică, cu lungime de undă determinată, ca de ex. lumina galbenă a sodiului ($\lambda_{Na} = 589 \text{ m}\mu$).

3.6. Polarizația luminii

Atît raza reflectată cît și raza refractată sînt polarizate.

Prin reflexie se poate obține lumină polarizată pe orice suprafață lucie (sticlă, apă etc.).

Raza reflectată vibrează perpendicular pe planul de incidență (fig. 484).



Ea este polarizată total numai atunci când unghiul dintre aceste și raza refractată este de 90° , lucru care se întâmplă numai la o anumită valoare a lui i , care depinde de indicele de refracție al substanței reflectate.

În acest caz, unghiul de incidență se mai numește și unghi de polarizare sau unghi brewsterian, după relația lui Brewster, care rezultă, în acest caz particular:

$$n = \frac{\sin i}{\sin r} = \frac{\sin i}{\sin (90^\circ - i)} = \frac{\sin i}{\cos i} = \operatorname{tg} i.$$

Indicele n fiind mai mare ca 1 și $\operatorname{tg} i > 1$, deci unghiul brewsterian trebuie să fie mai mare de 45° .

De ex., pentru sticla amorfă, $56^\circ 20'$; pentru apă, 53° ; pentru blendă, $67^\circ 8'$.

Raza refractată este de asemenea polarizată parțial sau total ca și raza reflectată.

Ea vibrează într-un plan perpendicular pe cel al razei reflectate, adică în planul de incidență.

O polarizare aproape totală a razei se obține prin refracție, repetată, de extrăcând-o succesiv printr-o serie de plăci de sticlă suprapuse (fig. 485).

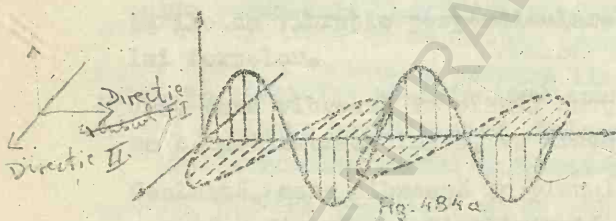


Fig. 484a

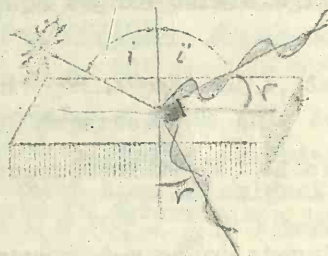


Fig. 484b

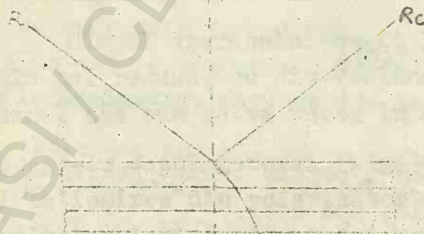


Fig. 485

$$n = \operatorname{tg} i$$

$$n > 1 \rightarrow \operatorname{tg} i > 1$$



4. REFRACTIA LUMINII ÎN MEDII ANIZOTROPE ^(optic)

După cum am văzut, raza de lumină care pătrunde într-un corp izotrop se refractă simplu. Cristalele izotrope sînt monorefringente.

O rază de lumină, care pătrunde într-un cristal anizotrop, se desface însă în două raze refractate care se propagă cu viteze deosebite și pe direcții diferite.

Raza incidentă este în acest caz dublu refractată. Cristalele anizotrope sînt birefringente.

Un exemplu clasic de birefrință prezintă calcita incoloră și transparentă, numită apat de Islanda.

Așezînd un romboedru de calcită cu o față deasupra unui punct scris pe o foaie de hîrtie, se vor vedea două puncte.

Dacă se rotește romboedrul, un punct va rămîne nemîșcat, iar celălalt se va învîrți în jurul lui.

Cînd raza de lumină pătrunde în cristalul de calcita după o direcție perpendiculară pe o față de romboedru, se desface în două raze din care una, corespunzătoare punctului fix, trece fără a fi deviată.

Aceasta se supune regulei lui Descartes și se numește rază ordinară.

Cea corespunzătoare punctului mobil este deviată chiar atunci cînd pătrunde după normala la fața de romboedru și nu se supune regulei lui Descartes. Aceasta se numește rază extraordinară.

Dacă raza de lumină pătrunde oblic în cristal, atunci se refractă ambele raze în care se desface.

Inclinînd romboedrul de calcită față de foaia cu punctul desenat și rotîndu-l se vor roti ambele puncte care apar (fig. 486).

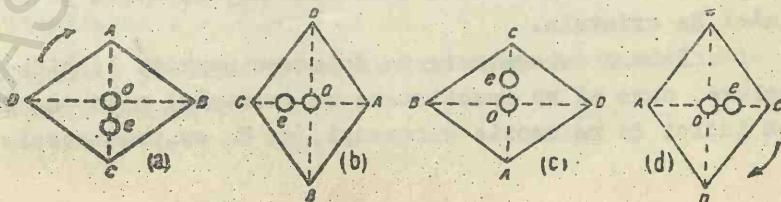


Fig. 486.

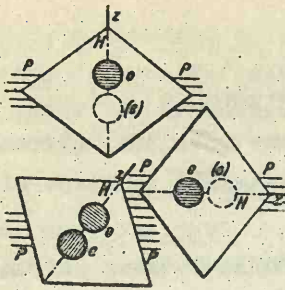


Fig. 486 e.

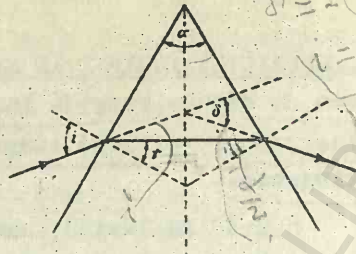


Fig. 487

5. DETERMINAREA INDICIILOR DE REFRACTIE

Se cunosc mai multe metode și sînt numeroase dispozitive și aparate pentru determinarea indicilor de refracție ai cristalelor. Acestea se bazează, fie pe fenomenul refracției, fie pe fenomenul reflexiei totale.

5.1. Metoda prismei, bazată pe fenomenul refracției, se folosește în cazul cristalelor mari.

Pentru aceasta se aleg cristale care fac între ele unghi ascuțit, sau se șlefuesc prisme de cristal cu asemenea fețe.

Cu ajutorul unui goniometru se măsoară unghiul diedru dintre două fețe. Tot cu ajutorul goniometrului, în lumină monocromatică, se măsoară unghiul δ , al razei ce iese din cristal (fig. 487).

Cunoscînd că unghiul de incidență (i) = $\frac{\alpha + \delta}{2}$ iar unghiul de refracție (r) = $\frac{\alpha}{2}$, se scoate valoarea indicelui de refracție din relația:

$$n = \frac{\sin i}{\sin r} = \frac{\sin \frac{\alpha + \delta}{2}}{\sin \frac{\alpha}{2}}.$$

5.2. Metoda imersiunii, bazată pe același fenomen, poate fi folosită la determinarea indicilor de refracție pe fragmente mici de cristale.

Pentru determinare se folosesc anumite lichide stabile, incolore, care să nu reacționeze cu cristalul cercetat și să aibă indici de refracție cunoscuți, ca de ex. următoarele:

-apa.	1,333
-alcool	1,362
-butirat de etil.	1,386
-valerat de etil.	1,393
-cloroform.	1,446
-ulei de terpentină.	1,469
-glicerină.	1,473
-benzen	1,500
-balsam de Canada	1,537
-monobrombenzen	1,550
-bromoform.	1,597
-moniodbenzen.	1,619
-monocloronafalină	1,639
-monobromnaftalină.	1,660
-iodură de metilen.	1,740
-iodură metilen saturată cu sulf	1,778

Se introduce cristalul într-un asemenea lichid și se observă conturul său. Se pot ivi trei cazuri:

-Într-un lichid care are indicele de refracție egal cu al cristalului, conturul acestuia trebuie să dispară din cauză că lumina care pătrunde în lichid trece mai departe ne-deviată prin cristal.

-Într-un lichid care are indicele de refracție mai mic decât al cristalului, acesta capătă un relief mai pronunțat. Se spune că este un relief pozitiv.

Asemenea unei lentile convergente, cristalul restrânge fasciculul de lumină, producând o franjă luminoasă pe marginea sa.

-Într-un lichid cu indicele de refracție mai mare decât al cristalului, cristalul se comportă ca o lentilă divergentă, care împrășteie razele. Franjă luminoasă trece în exteriorul său, de partea lichidului.

Cristalul prezintă un relief mai slab decât al lichidului, un relief negativ.

Se procedează în doua moduri:

-Se folosesc serii de lichide cu indicii de refracție crescândă gradat, ca în seria prezentată.

-Se tatonează începînd cu unul din termenii mijlocii ai seriei, schimbînd lichidul în sensul arătat de dunga luminoasă, pînă cînd conturul cristalului dispăre. Indicele său de refracție este egal cu cel al ultimului lichid folosit.

-Se folosesc două lichide miscibile; unul cu indicele de refracție mai mare și altul cu indicele de refracție mai mic decît al cristalului.

Se amestecă succesiv cele două lichide în diferite proporții, pînă ce se ajunge la un lichid cu indice egal cu al cristalului (dispariția conturului).

Se determină cu refractometrul pentru lichide indicii de refracție al amestecului.

5.3. Metoda refractometrului, se bazează pe fenomenul reflexiei totale.

Refractometrul este prevăzut cu o emișură de sticlă cu refringență mare, de obicei sticlă cu plumb, care are $N=1,9$. Emisura se poate învîrți în jurul unei axe verticale A (fig.488).

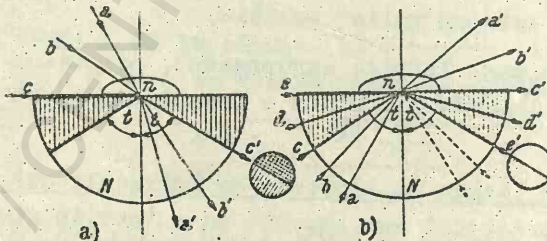


Fig. 488

Aparatul mai are o lunetă cu fir reticular, care se rotește după o axă perpendiculară pe A în punctul de impact cu emisfera și de asemenea, un cerc vertical gradat, pentru citirea unghiurilor.

O placă din cristalul cercetat, perfect slefuită și lustrăită, se lipește pe emisferă cu ajutorul unui lichid al cărui indice de refracție este mai mic decât al emisferei, dar mai mare decât al cristalului.

Se luminează emisfera de sticlă lateral. Razele cu unghiul de incidență mai mic decât unghiul limită de reflexie totală (t) vor trece prin cristal, iar cele cu unghiul de incidență mai mare ca t vor suferi reflexie totală.

Se rotește luneta pînă ce cîmpul său este despărțit prin șirul de reticul în două jumătăți; cea de sus luminată și cea de jos întunecată.

Se citește pe goniometru valoarea unghiului t .

Din formula $n = N \sin t$ se scoate valoarea indicelui de refracție, n al cristalului.

Dacă se trimite fascicolul de lumină prin incidență razantă, de sus, cele două semicercuri din cîmpul lunetei vor fi luminate și întunecate în sens invers.

Pentru cristalele birefringente, se determină indicii de refracție pe diferitele direcțiuni, confecționînd secțiuni orientate pe diferitele direcții de vibrație, care se identifică la microscopul polarizant.

Așa cum se va vedea în capitolul respectiv, la microscopul polarizant se determină indicele de refracție relativ al cristalelor în secțiuni subțiri, tot pe baza principiilor aplicate în cazurile prezentate mai sus.

6. POLARIZATIA LUMINII

Ca și la cristalele izotrope, unde la trecerea prin cristal, raza de lumină era polarizată, vibrând într-un singur azimut și aici cele două raze care rezultă din birefringență, sînt polarizate.

Ele vibrează în plane perpendiculare.

Planul care cuprinde axa principală de simetrie a calcitei³ și normala razei incidente, se numește secțiune principală.

Raza extraordinară vibrează în planul secțiunii principale iar raza ordinară, într-un plan perpendicular pe secțiunea principală.

6.1. Dispozitive și aparate pentru polarizarea luminii a. Nicolii

În anul 1828, fizicianul englez William Nicol a reușit să separe complet cele două raze cu ajutorul unui dispozitiv care se numește prizma lui Nicol sau simplu, nicol.

Pentru construcția lui, două fețe paralele ale unui romboedru alungit de spat de Islanda, care fac în cristal un unghi de 71° cu muchiile adiacente, se șlefuesc astfel ca unghiul să se reducă la 68° (fig. 489 a).

După aceea, cristalul se taie în două jumătăți după diagonala mică rezultată în urma șlefuirii și după un plan perpendicular pe secțiunea principală și pe fața șlefuită.

Apoi, cele două jumătăți se lipesc la loc cu balsam de Canada.

Nicolul astfel confecționat și cu fețele alungite, înnegrite, este așezat într-o montură metalică.

Raza de lumină care intră în nicol este descompusă în cele două raze: ordinară și extraordinară.

Raza ordinară, avînd un indice de refracție ($n = 1,65$) mai mare decît al balsamului de Canada (1,54) și căzînd pe secțiunea nicolului sub un unghi (70°) mai mare decît unghiul de reflexie totală ($t = 68^\circ 13'$), este eliminată și absorbită în montura nicolului.

Raza extraordinară, careia îi corespunde aici un indice de refracție (1,51) apropiat de al balsamului de Canada, suferă o deviație însemnată și oăzind pe secțiune sub un unghi mai mic decât unghiul de reflexie totală, trece mai departe, ieșind din nicol complet polarizată (fig. 489 b).

Unele imperfecțiuni date de ușoara deviație a razei extraordinare și de absorbția importantă a acestui nicol, au fost remediate, în prezent folosindu-se nicoli îmbunătățiți, care dau o polarizație perfecționată și o luminozitate mult mai mare.

Nicolii se folosesc în construcția microscopelor polarizante.

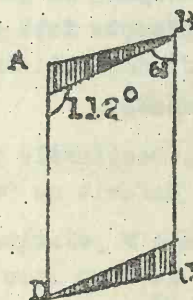
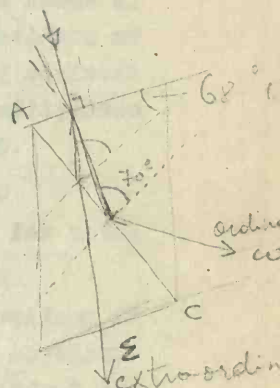


Fig. 489 a



Fig. 489 b.



b. Mersul unei raze de lumină prin doi nicoli.

În construcția microscopelor polarizante se folosesc doi nicoli; unul ca polarizator, altul ca analizor.

Pentru cercetarea cristalelor, aceștia se pot aranja cu secțiunile în poziție paralelă, încrucișată sau înclinată, după efectul care se urmărește.

Nicolii paraleli (fig. 490), Raza de lumină intrând în primul nicol, polarizorul, se desface în cele două raze polarizate, care vibrează în plane perpendiculare.

Raza ordinară, care vibrează într-un plan perpendicular pe secțiunea principală, este eliminată prin reflexie totală.

Raza extraordinară, care vibrează în planul secțiunii principale, trece mai departe.

Al doilea nicol, analizatorul, având secțiunea orientată ca și polarizorul, se comportă ca o prelungire a acestuia. Raza extraordinară va trece mai departe, nedescompusă și nedeviată, luminând cîmpul aparatului.

-Nicolii perpendiculari sau în cruce (fig.491)

În acest caz, la polarizor, fenomenul se petrece ca și în cazul anterior. Mai departe însă, raza extraordinară intrînd în analizorul care are secțiunea principală în poziție perpendiculară pe cea a polarizorului, se găsește față de acesta în condițiile unei raze ordinare și va fi deci eliminată.

Cîmpul aparatului va fi întunecat.

-Nicolii înclinați (fig.492). Secțiunile principale ale celor doi nicoli fac între ele unghi diferit de 90° .

Raza extraordinară care iese din polarizator, intrînd în analizor se va descompune din nou în două raze cu azimuturile de vibrație perpendiculare, după regula paralelogramului forțelor.

Una, care vibrează în planul secțiunii principale (E'), deci ca o rază extraordinară, va trece mai departe.

Cealaltă, care vibrează în planul perpendicular (O'), deci ca o rază ordinară, va fi eliminată.

Cîmpul aparatului va fi luminat, dar cu o intensitate cu atît mai redusă, cu cît înclinarea celor doi nicoli este mai mare, așa cum se va vedea în cele ce urmează.

-În cazul general (fig.493). Considerînd intensitatea razei la ieșirea din polarizator (I_p), proporțională cu a^2 , intensitatea luminoasă a razei care străbate analizorul (I_A), va fi proporțională cu b^2 . Dar în figură se vede că $b = a \cos \alpha$, de unde $I_A = b^2 = a^2 \cos^2 \alpha = I_p \cos^2 \alpha$.

$$I_p = a^2$$

$$I_A = b^2$$

Avem însă două cazuri particulare:

-Cînd nicolii sînt paraleli, $\alpha = 0$ și deci $\cos \alpha = 1$.
atunci, $I_A = I_E \cos^2 \alpha = I_p$, așa se menține aceeași intensitate;

-În cazul nicolilor încrucișați, cînd $\alpha = 90^\circ$ și
deci $\cos \alpha = 0$, rezultă că $I_A = \cos^2 \alpha = 0$. Intensitatea la
ieșirea din analizor este nulă, cîmpul este întunecat.

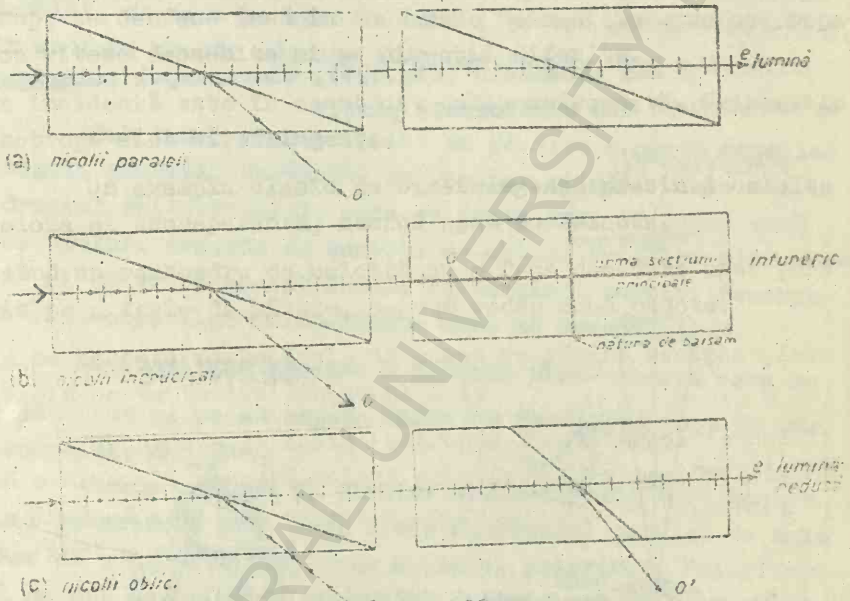


Fig 492

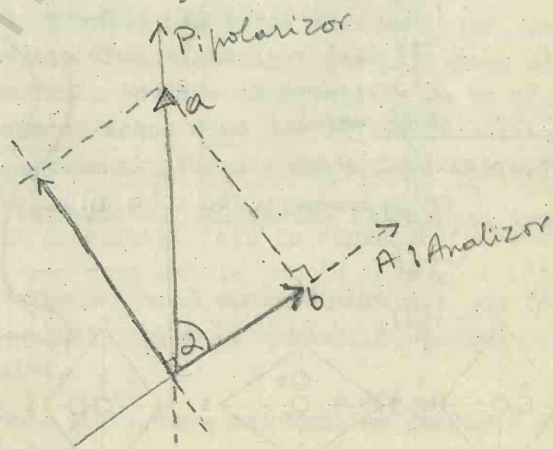


Fig 495

7. MICROSCOFUL POLARIZANT

Microscopul, în general, este un aparat care ne dă posibilitatea să vedem un obiect mărit de un număr mare de ori.

Spre deosebire de microscopul obișnuit (biologic etc.), microscopul polarizant este prevăzut, în plus, cu o serie de dispozitive care dau posibilitatea să studiem cristalele în lumină polarizată.

În mod schematic (fig. 494), microscopul polarizant este constituit din următoarele părți:

PRINCIPIU

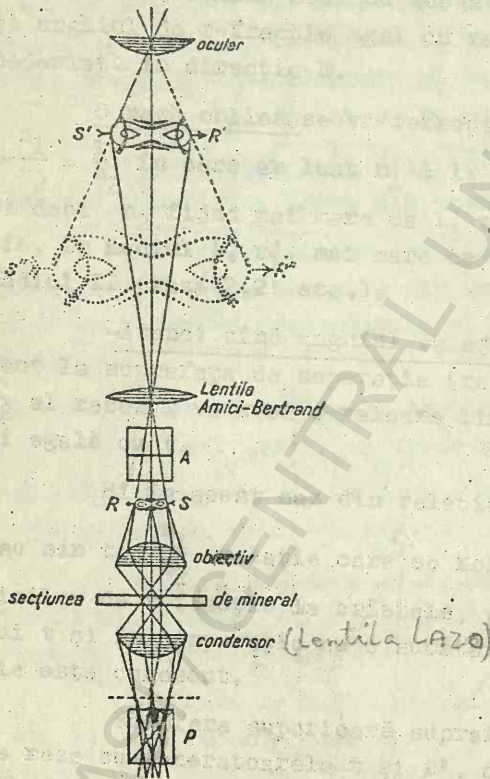


Fig. 494 a

SECȚIUNE

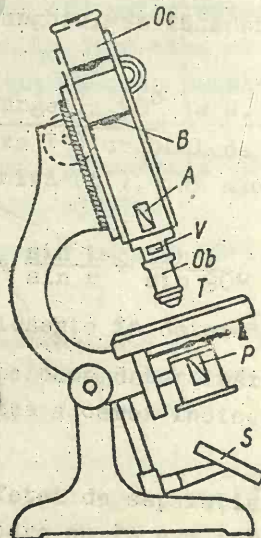


Fig. 494 b.

-Un tub cilindric de metal în care se montează o parte din dispozitivul optic al microscopului;

-Un sistem de lentile, așezate la capătul inferior al tubului (spre obiectul de cercetat), care are efectul unei lentile convergente, dând o imagine reală, mărită și răsturnată a obiectului, numit obiectiv;

-Alt sistem de lentile, așezate la capătul superior al tubului, de care se apropie ochiul pentru a privi imaginea, numit ocular; acesta mărește imaginea reală, dând o imagine virtuală.

-Sub tubul microscopului se găsește o placă metalică circulară, gradată, prevăzută cu vernier și găurită la mijloc (în dreptul obiectivului), care se poate roti în jurul axei microscopului. Aceasta se numește de obicei "platina microscopului" și pe ea se așează lamele cu secțiuni subțiri transparente ale corpurilor cristalizate care se cercetează.

-Mai jos, se găsește o oglindă plan-concavă care se poate roti astfel ca să așeze diferite înclinări față de axa microscopului;

-Între oglindă și platina microscopului este așezat nicolul polarizer, prin care trece fasciculul paralel de raze trimise de oglindă, fiind, prin aceasta, polarizat. Polarizorului i se pot da diferite înclinări față de axa microscopului;

-Deasupra obiectivului, în tubul microscopului, se află analizorul în poziție încrucișată. El poate fi scos din tubul microscopului pentru a se face observațiile cu un singur nicol, polarizorul, ceea ce este, după cum am văzut, același lucru ca și cum s-ar cerceta cristalul între nicoli paraleli.

Prin introducerea analizorului în tub se fac observații între nicoli încrucișați.

Tot cu analizorul în tubul microscopului se pot face și observațiile între nicoli înclinați schimbând, pentru aceasta, poziția polarizorului.

Cu dispozitivele prezentate mai sus, se studiază cristalele în lumină paralelă.

Pentru studiul în lumină convergentă, microscopul mai este prevăzut cu două lentile:

-o lentilă convergentă, mai bine zis, un sistem de lentile, așezat între polarizor și platina microscopului, care se numește condensor sau lentila lazo. Aceasta servește la concentrarea fascicolului;

-o lentilă ajutătoare, care mărește și mai mult imaginea dată de obiectiv și ocular, acum destul de mică, din cauza concentrării fascicolului. Aceasta se numește lentila Amici Bertrand și este așezată între analizor și ocular.

În capătul de jos al tubului, între obiectiv și analizor, se găsește o deschidere cu direcția NV-SE, în care se pot introduce pentru anumite observații, niște dispozitive speciale numite compensatoare.

-Tubul microscopului și celelalte piese care nu-i aparțin, sînt prinse de un stativ metalic greu, ca să aibă stabilitate. Pentru a putea fi apropiat sau depărtat de obiectiv, tubul este prins de stativ printr-o cremalieră prevăzută cu două șuruburi; un șurub pentru mișcarea mare (repede) și altul pentru mișcarea înceată. Acest de-al doilea șurub este prevăzut cu o rozetă gradată în diviziuni mici, care măsoară pasul în mișcarea pe verticală. El se numește, de aceea, șurub micrometric.

La un microscop se folosesc mai multe obiective și oculare pentru mărimi diferite ale imaginii.

De obicei sînt obiective care măresc de la 3 la 90 ori și oculare care măresc de la 4 la 15 ori.

Mărirea totală a imaginii este dată de produsul dintre puterea de mărire a obiectivului și a ocularului care se folosesc împreună; în exemplu nostru, pînă la 1350 ori.

CRISTALOGRAFIA FIZICA

A. OPTICA CRISTALELOR.

XXI.

PROPAGAREA LUMINII PRIN CRISTALE.

Din punct de vedere optic, sînt izotrope cristalele din sistemul cubic și anizotrope, cristalele din celelalte sisteme. Un punct luminos dintr-un corp cristalin, intrînd la mișcare, își va propaga vibrațiile cu aceeași viteză în toate direcțiile, sau cu viteze diferite pe diferitele direcții, după cum corpul este izotrop sau anizotrop.

Dacă după unitatea de timp unim capetele vectorilor ce reprezintă distanța pînă la care s-a propagat această vibrație, vom obține o suprafață înconjurătoare care se numește suprafață de undă.

1. PROPAGAREA LUMINII ÎN CRISTALELE IZOTROPE

La un cristal din sistemul cubic suprafața de undă va fi o sferă (fig. 495) iar vectorul Om , care este raza acestei sfere inițiale, reprezintă viteza de propagare a undei. După Huyghens, fiecare punct de pe această sferă va deveni un nou centru de vibrație, astfel că vibrația se va propaga mai departe, tot după suprafețe sferice, care au ca suprafață înconjurătoare tot o sferă. Această sferă concentrică este tot o suprafață de undă.

Cu cît propagarea se face mai departe, cu atît suprafața înconjurătoare are o rază de curbură mai mare, ce tinde la infinit.

O porțiune mm' din suprafața înconjurătoare va putea fi considerată, în această situație, ca fiind plană, deoarece se confundă cu planul de tangență la sferă în acest punct (PP).

Această suprafață se numește undă plană sau front de

undă, iar dreapta care unește centrul de vibrație O cu punctul de contact (m) al planului tangent la sferă reprezintă direcția de propagare a undei.

Unda plană este perpendiculară pe direcția de propagare și se propagă paralel cu ea înăsași.

PROPAGAREA LUMINII

IN CRISTALE IZOTROPE

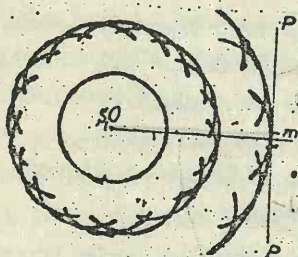


Fig. 495a

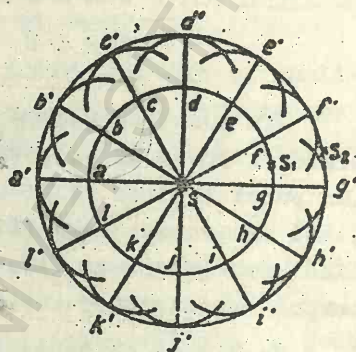


Fig. 495b

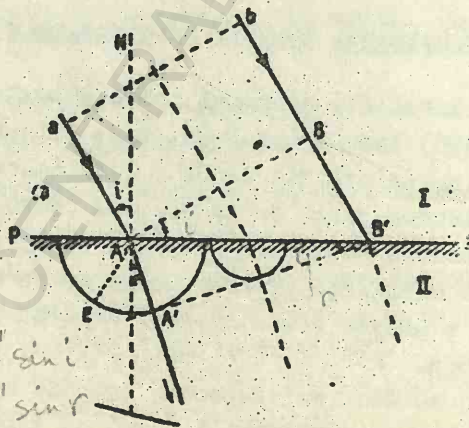


Fig. 495c

$$BB' = v_1 t = AB' \sin i$$

$$AA' = v_2 t = AB' \sin r$$

$$\frac{v_1}{v_2} = \frac{\sin i}{\sin r}$$

2. IN CRISTALELE ANIZOTROPE

Aici lumina suferă dubla refracție. Raza de lumină care pătrunde în cristal se desface în cele două raze, raza ordinară și raza extraordinară, cu viteze și direcții de propagare diferite.

Cristalele din categoria mijlocie și inferioară de simonii sînt în general, birefringente, dar există în aceste cristale și direcții de monorefringență în care razele de lumină nu suferă dubla refracție.

Direcțiile de monorefringență din cristalele anizotrope, constituie axele optice. Din acest punct de vedere, se deosebesc două categorii de cristale anizotrope:

Cristalele din categoria mijlocie de simonii au o singură direcție de monorefringență, care coincide cu axa principală de simetrie, deci o singură axă optică; sînt cristale uniaxe. (L^3, L^4, L^6).

În cristalele din categoria inferioară de simonii sînt două direcții de monorefringență deci două axe optice; acestea sînt cristale biaxe.

2.1. Cristalele uniaxe

a) Rază ordinară, rază extraordinară

Pe orice direcție, afară de direcția axei optice, raza de lumină care pătrunde într-un cristal din categoria mijlocie de simonii, suferă dubla refracție, se descompune în două raze polarizate care au caracter diferit:

Una, care se supune legilor Snellius-Descartes, se propagă cu aceeași viteză în toate direcțiile, a cărei suprafață de undă, ca și de indici este o sferă, ca la cristalele izotrope, se numește rază ordinară.

Alta, care nu se supune legilor Snellius-Descartes, se

refractă chiar în cazul unei incidențe perpendiculare pe fața cristalului și se propagă cu viteze diferite pe diferitele direcții din cristal, avînd deci și indici de refracție diferiți. Aceasta este raza extraordinară.

Variația vitezelor ca și a indicilor de refracție este continuă, de la un minim la un maxim. Suprafața de undă, ca și suprafața de indici, este un elipsoid de rotație, cu două axe, din care una este și axă optică, direcție de monorefringentă.

Ea este perpendiculară pe secțiunea circulară a elipsoidului.

b) Semnul optic

Pe direcția axei optice (direcția de monorefringentă), viteza de propagare a razei extraordinare (V_e) este egală cu a razei ordinare (V_o). În fapt cele două raze se confundă, aici nu s-a produs dubla refracție.

Pe direcții perpendiculare și pe alte direcții decît cea a axei optice, viteza razei extraordinare este diferită însă de cea a razei ordinare.

Cristale uniaxe optice pozitive

Dacă viteza razei extraordinare este mai mică decît viteza razei ordinare, se spune că aceste cristale sînt optice pozitive.

Dubla suprafață de undă

Suprafața de undă a razei extraordinare este un elipsoid alungit (fig. 496), a cărui axă mare este egală cu diametrul suprafeței sferice de undă a razei ordinare, ce îmbracă elipsoidul. Această axă este în același timp și axa optică a cristalului. Ea unește punctele de tangență (AA) ale celor două suprafețe.

Secțiunea circulară, (CC) este perpendiculară pe axa optică, AA.

Secțiunea eliptică, care cuprinde axa optică, se numește secțiune principală. O astrel de secțiune principală es-

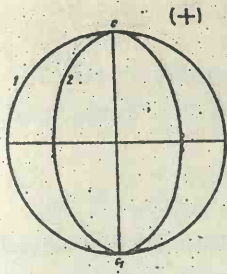


Fig. 496 a

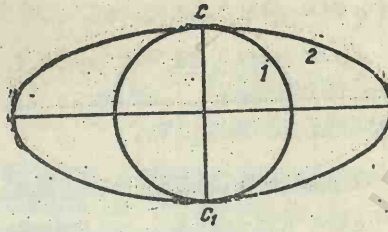


Fig. 498 a

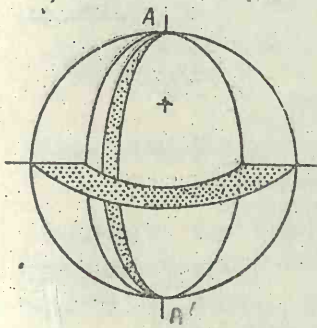


Fig. 496

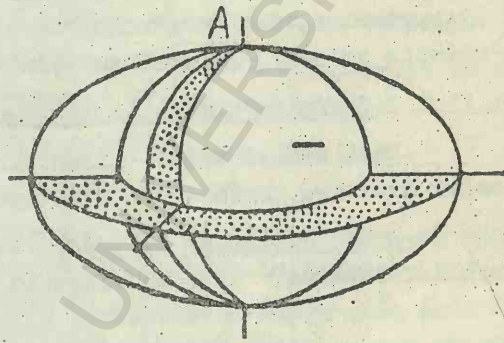


Fig. 498 b

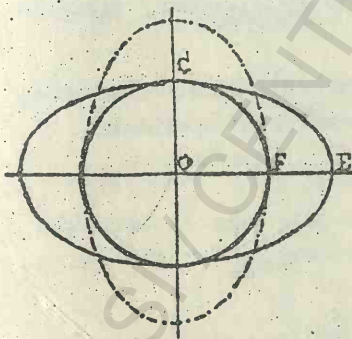


Fig. 497

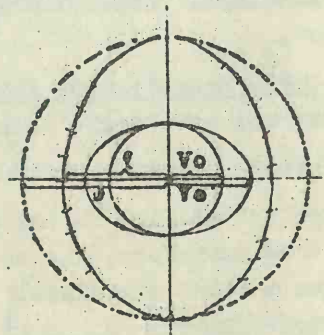


Fig. 499

te și cea din planul desenului. (o infinitate de plane principale)

* Raza ordinară vibrează într-un plan perpendicular pe secțiunea principală, iar raza extraordinară vibrează în planul secțiunii principale.

-Dubla suprafață de indici.

Aici elipsoidul va îmbrăca sfera, întrucât indicele razei extraordinare, $\varepsilon = \frac{1}{V_e^2}$ este mai mare decât indicele razei ordinare, $\omega = \frac{1}{V_o^2}$ (fig.497).

Elipsoidul va avea o formă turtită. Axa optică (AA) va uni de asemenea cele două puncte de tangență, ale sferei și elipsoidului, iar secțiunea circulară (CC) a elipsoidului de rotație va ocupa aceeași poziție, perpendiculară pe axă.

d) Cristale uniaxe, optic negative $V_e > V_o$

Dacă viteza razei extraordinare este mai mare decât a celei ordinare, cristalele sînt optic negative.

-Dubla suprafață de undă. Aici, suprafața de undă a razei extraordinare este un elipsoid turtit (fig.498) a cărui axă mică este egală cu diametrul sferei ce reprezintă suprafața de undă a razei ordinare. Elipsoidul îmbracă sfera.

Direcția care unește punctele de tangență ale elipsoidului și sferei este de asemenea axă optică a cristalului (AA), iar secțiunea perpendiculară pe ea (CC), este o secțiune circulară.

-Dubla suprafață de indici. Indicele razei ordinare, $\omega = \frac{1}{V_o^2}$ fiind mai mare decât indicele razei extraordinare, $\varepsilon = \frac{1}{V_e^2}$ în acest caz sfera va îmbrăca elipsoidul (fig.499).

Axa optică (AA) va uni și aici punctele de tangență ale celor două suprafețe, iar secțiunea perpendiculară pe ea (CC) va avea o formă circulară.

* Indicatricea. Fresnel, luînd indicii de refracție, nu în lungul direcției de propagare a razei, ci perpendicular pe aceasta direcție, în azimutul de vibrație al razei, a obținut o suprafață unică, numită indicatrice.

-Cristalul uniax pozitiv, va avea o indicatrice în

$$\begin{cases} V_e < V_o \\ \varepsilon > \omega \end{cases}$$

Formă de elipsoid de rotație alungit, cu $\epsilon > \omega$ (fig.500).

-Cristalul uniax negativ va avea indicatrica de forma unui elipsoid turtit, cu $\epsilon < \omega$ (fig.501).

În ambele cazuri, axa optică va coincide cu ϵ , va fi axa de rotație a elipsoidului și va coincide cu axa principală a cristalului din categoria mijlocie de simetrie (L^3, L^4, L^6).

Orice secțiune care cuprinde axa optică este o secțiune principală a indicatricii.

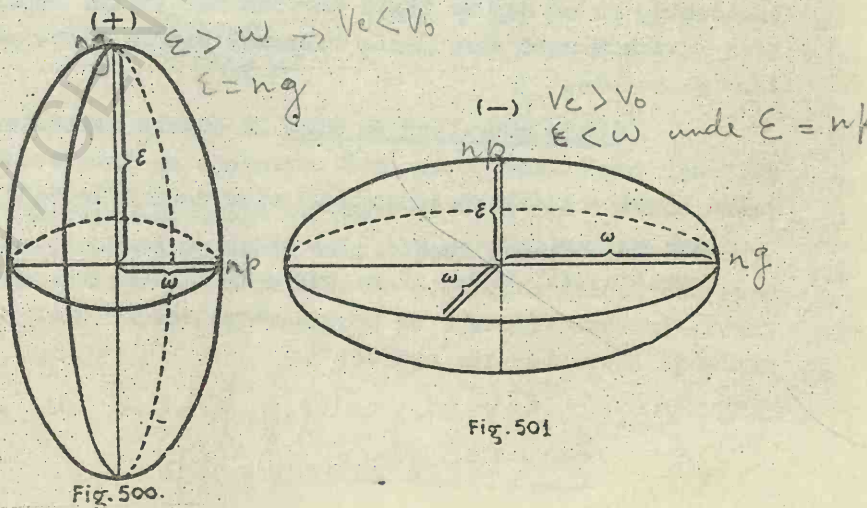
Ca și la dublele suprafețe arătate mai sus și la indicatricii, există o infinitate de secțiuni principale.

Indicii de refracție se înseamnă de obicei cu (ng) (grand = mare, în l.franceză) și (np) (petit = mic, în l.franceză).

În cazul cristalelor uniax pozitive, $n_g = \epsilon$; în cazul cristalelor uniax negative, $n_p = \epsilon$.

O secțiune oarecare în indicatrică este, în general, o elipsă în care diametrele sale reprezintă direcțiile de vibrație și mărimile indicilor de refracție, ω și ϵ , ai celor două raze ce parcurg cristalul într-o direcție perpendiculară pe planul elipsei.

Pentru valorile intermediare, indicele de refracție al razei extraordinare se înseamnă cu ϵ' și acesta variază între mărimile lui ϵ și ω .

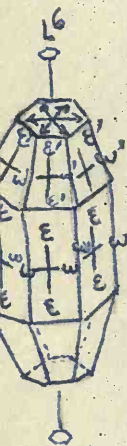


e) Poziția indicatricei la cristalele uniace este legată direct de simetria care caracterizează categoria mijlocie de simfonii: ←

o singură axă de ordin superior și relația axială $a:a:c$.

Astfel, în sistemul trigonal, axa optică va coincide cu axa de simetrie L^3 (fig.502), în sistemul tetragonal va coincide cu L^4 (fig.503). și în sistemul hexagonal, cu L^6 (fig.504).

Secțiunea perpendiculară pe axa optică va fi o secțiune circulară.



in axid
pir. hexagonal
isma



Fig.503

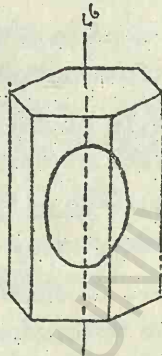


Fig.504

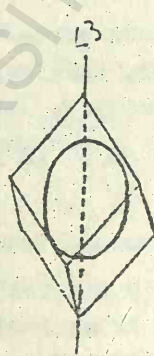


Fig.502

2.2. Cristale biaxe. (optice) (bi refringente)

În cristalele din categoria inferioară de simfonii, nici una din cele două raze polarizate, în care se descompune raza incidentă, nu se supune legii Snellius Descartes. Ambele sînt raze extraordinare care însă, vibrează tot în plane perpendiculare între ele.

a) Dubla suprafață de undă la aceste cristale, este mult mai complicată. Cele două suprafețe se intersectează în patru puncte care sînt opuse două cîte două (fig.505).

Cele două direcții care unesc punctele opuse de atingere ale dublei suprafețe de undă sînt direcții de monorefrință, în care vitezele de propagare ale celor două raze sînt egale și deci sînt axe optice.

Deci cristale din categ. inferioară de Simfonie au 2 axe optice - $(A_1), (A_2)$.

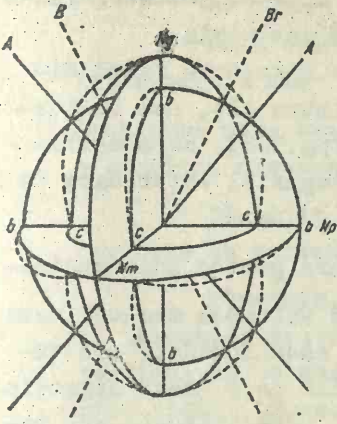


Fig. 505 a

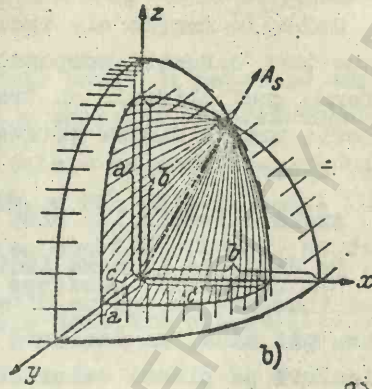


Fig. 505 b

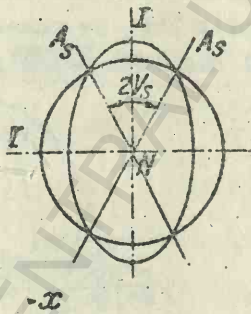


Fig. 505 c.

b) Dubla suprafață de indici, construită cu inversul celor două raze (indicii de refracție), va fi similară cu dubla suprafață de undă, așa cum am văzut și la cristalele uni-axa, adică tot o figură complicată.

c) Indicatricea, în schimb, care este o suprafață unică, simplă, ne dă posibilitatea să înțelegem clar comportarea razelor care pătrund în cristalele din această categorie.

Valorile maxime ale indicilor de refracție fiind diferite, pe trei direcții perpendiculare între ele, dau indicatricei forma unui elipsoid cu trei axe (fig. 506), care satisface relația axială dintre parametrii categoriei inferioare de simfonii, $a=b=c$.

Axele elipsoidului sînt axe binare pentru indicatrice-

Pe direcția în care indicele are valoarea cea mai mare, acesta se înseamnă cu n_g ; pe direcția în care indicele are valoarea cea mai mică, se înseamnă cu n_p , iar pe a treia direcție, perpendiculară pe planul celorlalte două, unde indicele are valoare mijlocie, se înseamnă cu n_m (moyen = mijlociu).

Axele elipsoidului, n_g , n_m , n_p , se numesc și axe de simetrie optică.

Secțiunile care cuprind câte doi din cei trei indici de refracție, reprezentați prin axe, se numesc secțiuni principale. Aici avem numai trei secțiuni principale: $n_g - n_p$, $n_g - n_m$, $n_m - n_p$ (fig. 507).

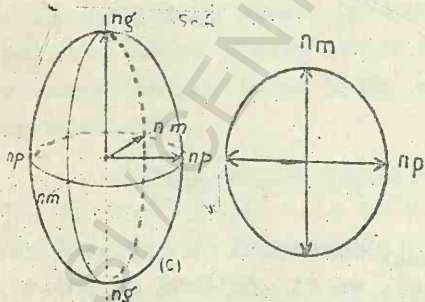


Fig. 506

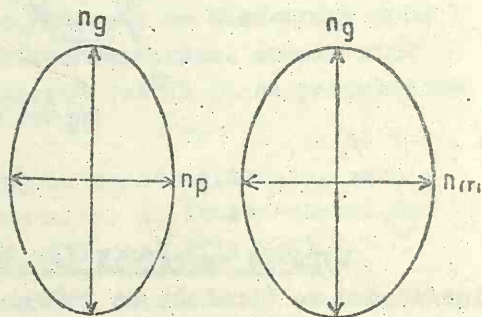


Fig. 507

În intervalele $n_g - n_p$, $n_g - n_m$ și $n_m - n_p$, indicii au valori intermediare între aceștia.

După cum se vede, între n_g și n_p se găsește o valoare intermediară n_m .

Secțiunea care cuprinde acest punct și capetele axei n_m este o secțiune circulară, deci o secțiune monorefringentă.

Direcția perpendiculară pe secțiunea circulară este o direcție de monorefringență, o axă optică (A_2A_2 , fig.508).

Simetric, în partea opusă a elipsei, se repetă aceeași situație; apare a doua secțiune circulară, iar direcția perpendiculară pe aceasta, ca a doua axă optică (A_1A_1). Cristalele sînt optic biaxe.

Secțiunea principală $n_g - n_p$, care cuprinde axele optice, se numește planul axelor optice, iar direcția n_m , perpendiculară pe acesta se mai numește și normală optică.

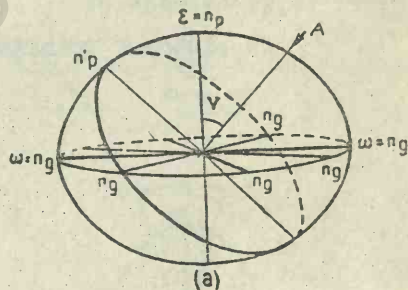
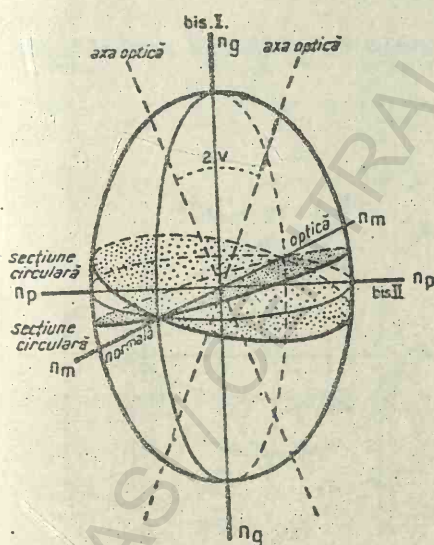


Fig. 508

d) Semnul optic al cristalelor biaxe

Cele două axe optice determină, prin intersecția lor, două feluri de unghiuri: ascuțite și obtuze. Unghiul ascuțit se numește unghiul axelor optice și se notează cu $2V$. Dreapta care înjumătățește acest unghi se numește bisectoare ascuțită iar cea care înjumătățește pe cel obtuz, bisectoare obtuză.

Fiecare din aceste bisectoare poate coincide cu n_g sau n_p .

Atunci când bisectoarea ascuțită coincide cu n_g , cristalul este considerat optic pozitiv, iar atunci când bisectoarea ascuțită coincide cu n_p , cristalul este considerat optic negativ (fig. 509 a și c, d).

e) Poziția indicatricii cristalelor biaxe, este de asemenea legată de simetria sistemului cristalin.

În sistemul rombic, axele de simetrie optică coincid cu cele 3 axe de simetrie L^2 ale clasei planaxiale (fig. 510).

În sistemul monoclinic, una din axele de simetrie optică coincide cu axa L^2 și este perpendiculară pe planul de simetrie (fig. 511).

În sistemul triclinic, axele de simetrie optică deci

(n_p, n_m, n_g)

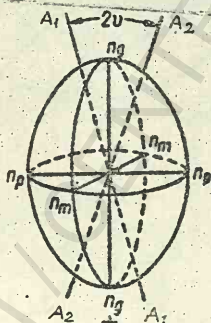


Fig. 509 a.

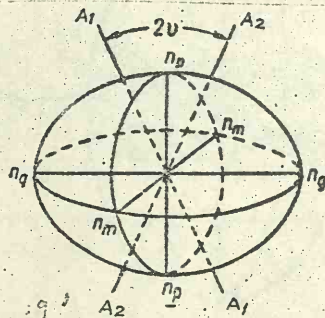


Fig. 509 b.

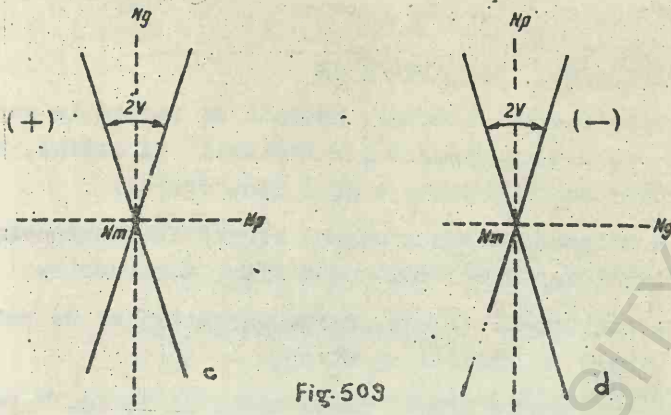


Fig. 508

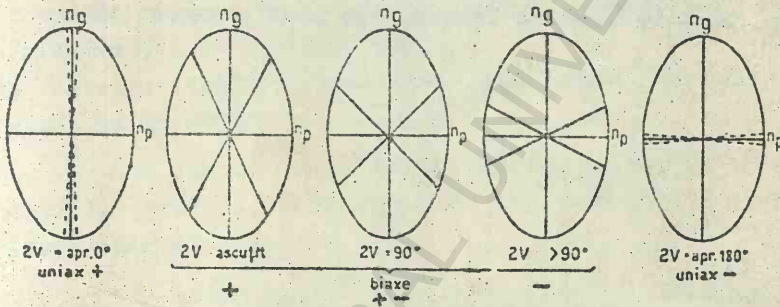


Fig. 509

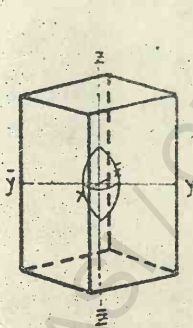


Fig. 510

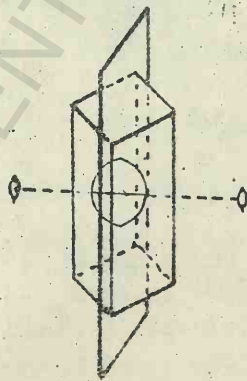


Fig. 511

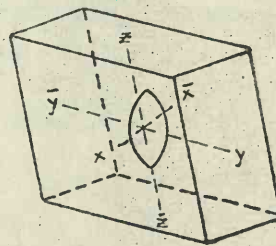


Fig. 512

și indicatricea, au o poziție oarecare (fig.512).

f) Dispersia indicatricelor

Pentru același cristal, indicii de refracție variată cu lungimea de undă a diferitelor radiații și astfel, pentru fiecare culoare va corespunde o altă indicatrice:

-La cristalele din sistemul cubic indicatricile diferitelor radiații vor avea forma unor sfere concentrice.

-La cristalele uniaxe, forma elipsoizilor de rotație variază în raport cu indicii n_g și n_p .

-La cristalele biaxe, poate varia și forma elipsoidului (în raport cu valoarea indicilor (n_g , n_m , n_p) și poziția axelor optice, care depinde de valoarea indicilor principali, n_g și n_p , care variază cu lungimea de undă a radiațiilor.

5.

CRISTALOGRAFIA FIZICA

A.OPTICA CRISTALELOR.

XXII.

STUDIUL CRISTALELOR LA MICROSCOPUL POLARIZANT

La microscopul polarizat se studiază cristalele transparente în secțiuni subțiri, iar cristalele opace în secțiuni lustruite, prin reflexie. În primul rând ne vom ocupa de studiul cristalelor prin transparență, în secțiuni subțiri. Pe asemenea secțiuni, cristalele se studiază în lumină paralelă și în lumină convergență.

În lumină paralelă se fac observații cu nicoli paraleli, practic cu un singur nicol, polarizorul și cu nicoli încrucișați.

1. STUDIUL CRISTALELOR ÎN LUMINA PARALELĂ

1.1. Cu un singur nicol

Se studiază în acest mod, forma geometrică a cristalului, olivajul, spărturile, incluziunile refringente, culoarea, pleocroismul și aureolele pleocroice.

a. Forma geometrică a cristalelor

Conturul cristalului poate da uneori indicații asupra simetriei sale, atunci când prezintă forme poligonale cât de cât regulate. De exemplu, dacă într-o secțiune găsim cristale cu contur dreptunghiular și în formă de paralelogram, acestea indică sistemul monoclinic; dacă în-

tîlnim secţiuni dreptunghiulare şi patrâte sau ditetragonale, acestea indică sistemul tetragonal; contururile dreptunghiulare sau rombice şi hexagonale sînt indicatoare pentru sistemul hexagonal ş.a.m.d.

De asemenea, pentru unele cristale sînt caracteristice forme aciculare, columnare, prizmatice, izometrice etc., care pot fi întîlnite în secţiunile subţiri şi, alături de alte proprietăţi, dau elemente pentru identificarea lor.

b. Clivajul

În cazul cînd secţiunea intersectează feţele de clivaj ale cristalului, pe suprafaţa sa se vor distinge nişte linii, mai accentuate sau mai slabe, după calitatea clivajului.

Orientarea acestor linii poate fi paralelă cu laturile cristalului, cum se întîmplă, de ex., în cazul cristalelor de muscovit sau, făcînd unghiuri diferite de 90° cu laturile cristalului, adică se pot intersecta oblic între ele.

Aşa de ex., la piroxenul augit urmele de clivaj se intersectează după unghiuri de 87° , respectiv 93° , iar la amfibolul hornblendă, după unghiuri de 124° , respectiv 56° (fig. 513 a, b, c.).

c. Spărturile

Se observă, la unele cristale, linii neregulate, dispuse pe direcţii diferite. Acestea pot avea grosimi diferite; pot fi mai puternice sau mai slabe. Ele reprezintă spărturi sau plesnituri ale cristalelor şi sînt caracteristice numai pentru anumite minerale sau substanţe, cum sînt de ex. pentru olivină, pe cînd la altele nu pot fi întîlnite niciodată (fig. 514) şi aceste spărturi pot fi indicatoare în determinarea cristalului.

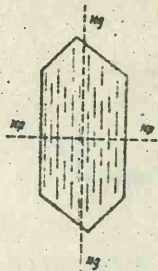


Fig. 513a

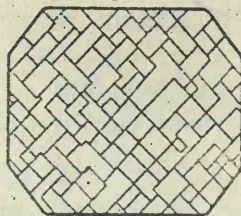


Fig. 513b

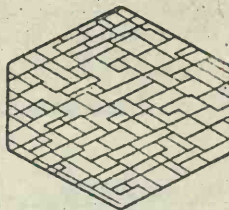


Fig. 513c

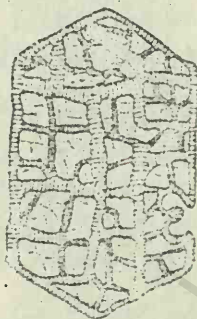


Fig. 514

d. Incluziunile

În timpul creșterii cristalelor se pot prinde în masa lor diferite substanțe străine, care constituie incluziunile.

Incluziunile pot fi gazease, gazease-lichide, sau solide.

Cu ajutorul microscopului se poate stabili în secțiunile subțiri prezența, natura și forma acestor incluziuni.

- Incluziunile gazease se prezintă sub forma unor bule cu relief slab și uniform.

- Incluziunile lichid-gazoase se prezintă sub forma unor bule neomogene, în care faza lichidă are un relief mai puternic decât cea gazoasă. Așa se pot observa la cuarț zone cu incluziuni gazoase sau lichid-gazoase (fig.515).

- Incluziunile solide se prezintă sub forma unor fragmente de cristale cu orientare și proprietăți diferite de ale cristalului secționat (fig.516).

Se înțelege că mineralul sau substanța din incluziuni a cristalizat mai devreme decât cristalul respectiv și, prin determinarea lui, se poate deci, stabili și ordinea de cristalizare a celor două corpuri.

- Alterații. Alteori, cristalul unic, prezintă porțiuni cu proprietăți diferite, fără ca acestea să constituie corpuri străine. Este vorba de transformarea chimică a mineralului primar, într-o fază ulterioară cristalizării sale, când acesta a ajuns în alte condiții de echilibru fizico-chimic.

Aceasta constituie alterarea mineralului și este de cele mai multe ori, ușor observată la microscop și caracteristică (fig. 517). Astfel se întâlnește uneori, de ex., la feldspți, dar niciodată la cuarț.



Fig. 515



Fig. 516



Fig. 517

Intruoît este vorba totuși, de minerale diferite, cele mai noi sînt considerate și ca incluziuni secundare în masa mineralului primar.

e. Refringenta

Pe secțiunile subțiri, la microscop cristalele cu indice de refracție mic prezintă o suprafață netedă, un relief slab, pe cînd cele cu indice mare de refracție, prezintă un relief pronunțat, o suprafață aspră, așa numita suprafață șagrinată.

Datorită reflexiei totale, pe marginea cristalelor se formează o dungă luminoasă care se numește și franja lui Becke.

Cu ajutorul franjei lui Becke se determină indicele de refracție relativ astfel:

Avînd în secțiune mai multe cristale de minerale sau substanțe, la contactul lor, franja lui Becke se va deplasa spre mineralul cu indicele de refracție mai mare, atunci cînd ridicăm tubul microscopului (fig. 518). Dacă cunoaștem indicele de refracție al unuia din cele două cristale, vom aprecia, comparativ, indicele celuilalt cristalt în contact.



Fig. 518 c

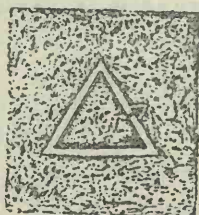


Fig. 518 b

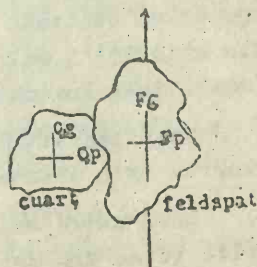


Fig. 518 d

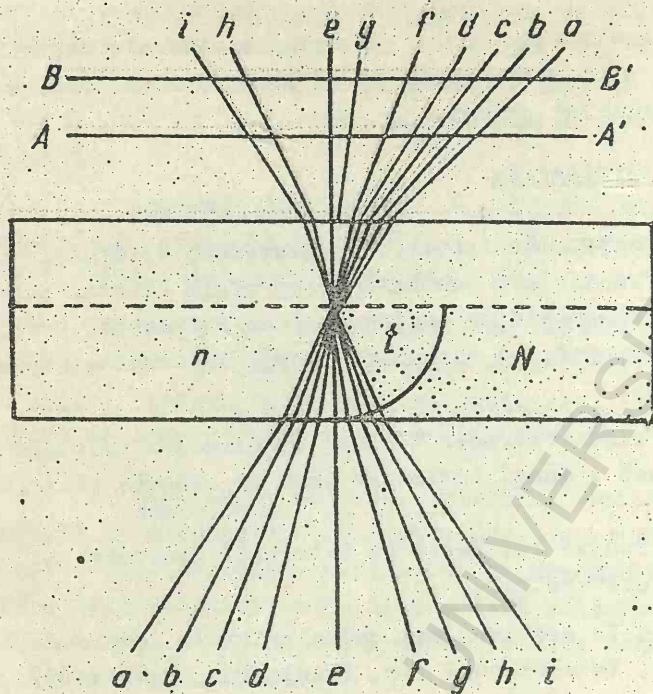


Fig. 518 a.

f. Culoarea și policromismul

În secțiuni subțiri mineralele apar incolore și transparente, colorate diferit sau opace. Culoarea se datorește absorbției selective a radiațiilor din spectrul care constituie lumina albă.

Dacă radiațiile componente sînt la fel absorbite la trecerea prin cristal, acesta apare incolore și transparent.

Dacă unele radiații monocromatice din spectru sînt absorbite total sau mai puternic decît altele, mineralul va căpăta culoarea rezultată din compunerea radiațiilor neabsorbite.

Dacă toate radiațiile sînt complet absorbite, mineralul apare opac.

Atunci cînd pe diferite direcții din cristal sînt absorbite diferite radiații din spectru, uneori și cu intensități diferite, apar culori diferite pe fiecare direcțiune.

Atunci cînd în diferite direcții sînt absorbite aceleași radiații, dar cu intensități diferite, se menține aceeași culoare, dar cu intensități diferite.

Ca orice proprietate optică, culoarea este o proprietate vectorială continuă.

Cristalele izotrope (sistemul cubic) apar uniform colorate în orice direcție; la rotirea secțiunii cu platina microscopului, se menține aceeași culoare.

La cristalele anizotrope culoarea variază cu direcțiunea, după poziția axelor indicatricei.

- În cazul cristalelor uniaxe, în secțiunile tăiate paralel cu axa optică, apar două culori caracteristice:

- Culoarea care apare cînd axa optică este perpendiculară pe planul de vibrație al polarizorului și care se numește culoarea de bază, corespunde razei ordinare. Această culoare apare și la secțiunile perpendiculare pe axa optică. La rotirea platinei microscopului, culoarea rămîne neschimbată.

- Culoarea care apare în aceeași secțiune, cînd este orientată cu axa optică în direcția de vibrație a polarizorului, corespunde razei extraordinare.

Cele două direcții din cristal corespund cu axele n_g și n_p ale indicatricei, după cum cristalul este optic pozitiv sau optic negativ. Culorile caracteristice se mai numesc de aceea și culori axiale.

Apariția acestor două culori caracteristice constituie fenomenul de dicroism.

Între aceste două direcții, la rotirea plăcii microscopului, apar culori intermediare.

Un exemplu interesant de dicroism prezintă mineralul beril, $(\text{Si}_6\text{O}_{18})\text{Al}_2\text{Be}_3$, la care fenomenul poate fi observat și cu ochiul liber; pe o direcție, acesta prezintă culoarea verde, iar pe direcția perpendiculară, culoarea albastră.

Berilul, cristalizat în sistemul hexagonal, este uniax negativ. La microscop, pe secțiunea paralelă cu axa optică, se observă culoarea verde în direcția n_p , a axei optice, care corespunde cu raza ordinară ω și culoarea albastră în direcția n_g , perpendiculară pe axa optică, ce corespunde cu axa extraordinară ξ .

În general fenomenul se numește policroism sau pleurocroism.

Policroismul se exprimă printr-o relație, "formula de absorbție", care în acest caz este $\omega > \xi$.

- La cristalele biaxe colorate, se disting trei culori caracteristice, corespunzătoare celor trei axe ale indicatricei: n_g , n_m și n_p .

Se spune că aceste cristale sînt tricroice.

Un exemplu clasic de tricroism se întâlnește la mineralul biotit sau mica neagră.

Biotitul cristalizează în sistemul monoclinic și prezintă, la microscop, un policroism foarte puternic.

Pe direcția n_g , care corespunde cu direcția urmelor de clivaj, prezintă o absorbție puternică și culoarea brun închis pînă la negru.

Pe direcția n_m prezintă o absorbție mijlocie și o culoare brun roșcată.

Pe direcția n_p biotitul prezintă o absorbție slabă și culoarea galben pal.

Formula de absorbție este deci, $n_g > n_m > n_p$.

Desigur că, în mod riguros, toate cristalele anizotrope sînt policroice; cele optice uniaxe, dicroice, cele optice biaxe, tricroice. Practic vorbind însă, la unele din aceste cristale, variațiile de culoare pe diferite direcțiuni sînt atît de slabe, încît ochiul nu le percepe. În mod curent, sînt considerate policroice, numai acelea care prezintă variații marcante de culoare pe diferitele direcțiuni.

Culoarea, intensitatea culorii și culorile caracteristice date de policroismul unor minerale, ajută la determinarea lor.

g.- Aureolele policroice.

Unele minerale prezintă mici incluziuni de minerale străine, în jurul cărora se formează niște pete circulare cu policroism foarte pronunțat. Acestea se numesc aureole policroice și se întîlnesc la biotitul unor granite vechi, la hornblende etc.

Se menționează, ca minerale de incluziune, zirconul, rutilul, titanitul etc.

Aureolele policroice sînt atribuite deranjamentelor produse în rețeaua mineralelor gazdă de către radiațiile radioactive.

Cum nici unul din elementele majore ale mineralelor de incluziune nu are izotopi radioactivi, rezultă că elementele radioactive sînt cuprinse în rețeaua acestor minerale ca substituenți izomorfi.

De altfel este bine cunoscută, de ex., prezența în cantități importante, ca element minor a toriului în zircon și în alte minerale de incluziune.

1.2. Studiul cristalelor în lumină paralelă cu nicoli încruciați

În modul acesta se fac, mai ales, următoarele observații: se stabilește izotropia sau anizotropia cris-

tafelor; se determină extincția cristalelor anizotrope; se observă maculele; se studiază culorile de birefrință.

a. Izotropia sau anizotropia cristalelor

Cristalele izotrope au indicatricea sferică și deci, orice secțiune a ei este circulară; toate direcțiile sînt direcții de monorefrință.

Raza care vine de la polarizor, trece nedeviată prin cristalul izotrop. Ajunsă la analizorul, a cărui secțiune este așezată perpendicular pe direcția sa de vibrație, este eliminată. Cîmpul microscopului rămîne întunecat.

La rotirea platinei microscopului, în calea razei ce vine de la polarizor, apar alte direcții de vibrație în cristal, dar toate sînt echivalente și permit de asemenea trecerea razei polarizate tot cu planul de vibrație al nicolului polarizor.

Pe orice direcție, raza trece cu aceeași orientare a planului de vibrație, perpendiculară pe secțiunea analizorului și deci este eliminată.

Cîmpul microscopului rămîne tot timpul întunecat.

- La cristalele anizotrope nu se întîmplă acest lucru decât în cazul secțiunilor circulare, care sînt aici, secțiunile perpendiculare pe o axă optică. La cristalele uniaxe există o singură direcție de monorefrință, perpendicular pe care, secțiunile de cristal se comportă ca secțiunile cristalelor izotrope.

Toate celelalte secțiuni sînt eliptice. Cele două axe ale elipselor sînt direcțiile de vibrație ale celor două raze în care s-a descompus raza incidentă la pătrunderea sa în cristal.

Numai atunci cînd aceste direcțiuni coincid cu direcțiile de vibrație din nicoli, cristalul apare întunecat; în rest, cristalul apare luminat.

Intr-o rotire de 360° direcțiile de vibrație din cristal vor coincide de patru ori cu direcțiile de vibrație

ale nicolilor și deci de patru ori, cristalul se va întunece și lumina alternativ.

b. Extincția cristalelor

Poziția pe care o are cristalul atunci când apare întunecat, se numește poziție de extincție.

Ea este determinată de poziția celor două direcții de vibrație din cristal în raport cu liniile sale geometrice (muchi, urme de olivaj etc.).

Pentru a stabili poziția de extincție, rotim platina microscopului până la extincția maximă a cristalului, o fixăm în această poziție și scoatem analizorul. La extincție, direcțiile de vibrație din cristal coincid cu cele din nicoli, care sînt indicate de firele de rețicul ale ocularului.

De obicei firul N-S arată direcția din polarizor și firul E-V pe cea din analizor.

Notăm diviziunile de pe platină și vernier și rotim cristalul până îl aducem paralel cu unul din firele reticulare (în gl. N-S). Citim din nou diviziunile, calculăm unghiul făcut de firul reticular cu cristalul în poziția de extincție.

Pentru a așeza cristalul paralel cu un fir reticular, ne folosim de laturile cristalului, când conturul este geometric regulat, sau, mai adesea, de urmele de olivaj (fig. 519 a, b). Firul reticular se așează paralel cu aceste linii.

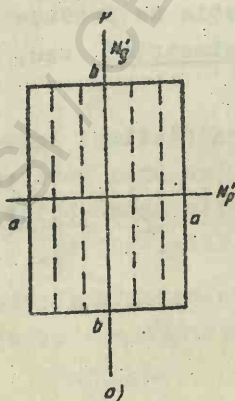


Fig. 519 a)

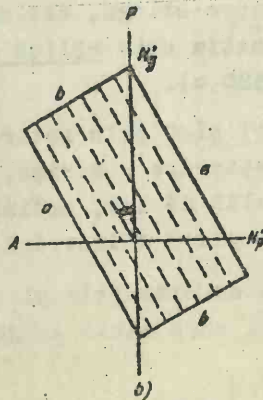


Fig. 519 b)

Se deosebesc două cazuri:

- Liniile cristalului sînt perpendiculare pe unul din fire (deci paralele cu celălalt), și atunci se spune că extincția este dreaptă;

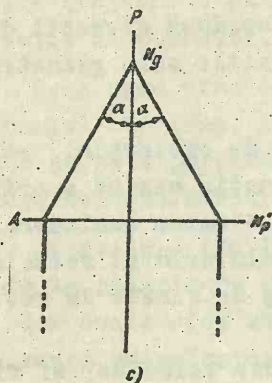


Fig. 520 a

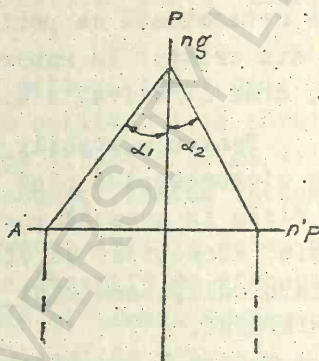


Fig. 520 b

- Liniile cristalului fac un unghi diferit de 90° cu firul reticular și atunci extincția este oblică (fig. 519 b).

Extincția oblică, la rîndul ei poate fi de două feluri:

- Atunci cînd, rotind platina microscopului spre dreapta și apoi spre stînga, extincția se produce la același unghi, extincția este oblică simetrică sau, simplu, simetrică (fig. 520 a).

- Atunci cînd prin rotirea platinei într-un sens, unghiul de extincție are o mărime, iar prin rotirea în sensul opus are altă mărime, extincția este oblică asimetrică sau mai simplu, asimetrică (fig. 520 b).

Poziția de extincție și valoarea unghiului extincție sînt indicații care ajută la determinarea cristalului, a simetriei sale.

- La cristalele optice uniaxe, extincția va fi dreaptă pe fețele de priză. Pe fețele de piramidă, extincția va fi dreaptă în raport cu muchiile de bază și oblică simetrică în raport cu muchiile polare (concurente în vîrf). Tot extincție simetrică se va produce și pe fețele de romboedru în raport cu muchiile polare (fig. 521 a, b).

- La cristalele optice biaxe extincția va fi diferită la cele trei singonii:

În sistemul rombic, pe fețele paralele cu o axă de simetrie (prizme etc), extincția va fi dreaptă, iar pe fețele înclinate față de o asemenea axă (piramide etc.) extincția va fi oblică.

În sistemul monoclinic, extincția este dreaptă pe fețele paralele cu axa de simetrie și oblică pentru toate celelalte fețe cum este de ex. la hornblendă (fig. 521 c, d).

În sistemul triclinic, toate extincțiile sînt oblice.



(a)



(d)

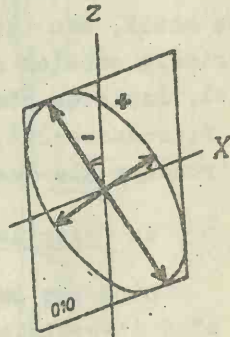
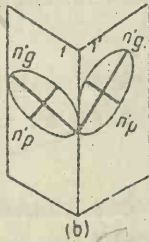


Fig. 521c



(a)



(b)

Fig. 521e

extinct
Rombic: fețe // L^2 : dreaptă
fețe înclinate L^2 : oblice
Monoclinic fețe // L^2 : dreaptă
alte fețe: oblice
Triclinic: oblice

c. Maclele

Aceste asociații regulate de cristale se comportă la microscop într-un mod cu totul caracteristic.

Cu un singur nicol, cristalul maclat se prezintă omogen, pe cînd cu nicolii încrucișați cristalul maclat se separă în două porțiuni care se sting în momente diferite, alternativ (521 c).

Cele două cristale care compun macla, neavînd axele optice paralele între ele, ajung în poziție de extincție în momente diferite.

La maclele polisintetice, unde avem mai multe cristale maclate prin alipire, se produce extincția simultană a indivizilor ce se repetă alternativ în maculă, odată cu luminarea simultană a celorlalți indivizi care sînt dispuși alternant cu aceștia.

Dacă însă una din axele optice este paralelă cu axa de maculă, sau perpendiculară pe planul de maculă, indicatricele ambelor cristale concrescute fiind dispuse paralel, macla se comportă ca un singur cristal și nu mai poate fi recunoscută, așa cum se întîmplă la maclele de întrepătrundere ale cuarțului.

d. Culorile de interferență sau de birefringență

După cum a văzut, la cristalele anizotrope, în cazul cînd direcțiile de vibrație în secțiunea de cristal sînt paralele cu secțiunile principale ale nicolilor, o rază de lumină care iese din polarizor, vibrînd în același plan cu una din direcțiile de vibrație ale cristalului, trece prin acesta și ajunge la analizor.

Analizorul avînd secțiunea principală în poziție încrucișată, raza suferă reflexie totală și se produce extincțiunea.

Pe direcțiile intermediare, unde planele de vibrație ale cristalului sînt înclinate față de cele ale

Razele ordinare sînt eliminate iar razele extraordinare, ambele vibrînd în azimutul de vibrație al analizorului, dar cu diferența de drum căpătată în cristal, vor interfera și raza rezultată va ieși din analizor (fig. 523). Cîmpul microscopului va apare luminat. Să urmărim grafic desfășurarea fenomenului:

Lumina polarizată, ieșind din nicolul polarizor cu vibrația după PP' a acestuia, se va desface cînd ajunge în secțiunea de cristal, în două raze care vor vibra după cele două direcții perpendiculare $C_1C'_1$ și $C_2C'_2$ ($n'p$ și $n'g$) ale cristalului. Aceste două raze, parcurgînd cristalul cu viteze diferite ($v'g$ și $v'p$), vor ieși din cristal cu o diferență de drum. Se prezintă două cazuri:

- Dacă cele două raze ies din cristal cu o diferență de drum λ sau $2n\frac{\lambda}{2}$, atunci cînd vibrația unei raze ajunge în E_1 cealaltă vibrație ajunge în E_2 (fig. 524).

- Dacă diferența de drum a celor două raze este $\frac{\lambda}{2}$ sau $(2n + 1)\frac{\lambda}{2}$, atunci cînd o vibrație se află în E_1 cealaltă se va afla în E'_2 , simetric cu E_2 , într-o poziție diferită cu $\frac{\lambda}{2}$ de cea a primului caz (fig. 525).

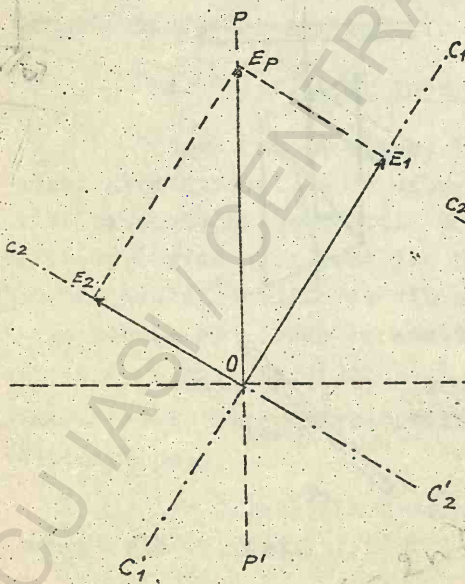


Fig. 524

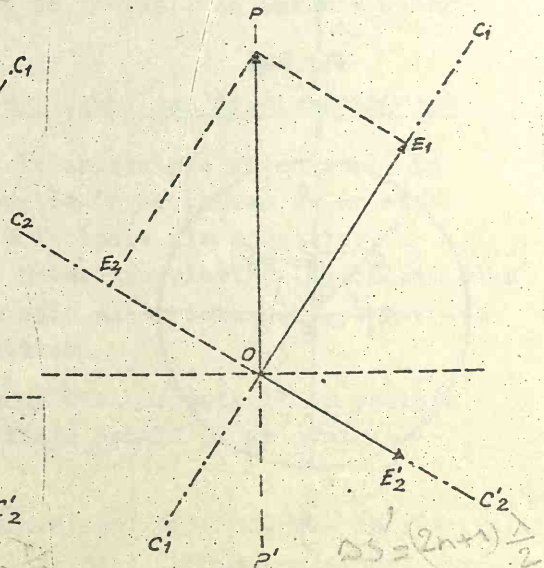


Fig. 525

În această situație se găsesc cele două raze la ieșirea din cristal. Ce se întâmplă după aceea cu fiecare din cele două raze, să urmărim pe rând în figurile 526 și 527.

Ajunșind în nicoul analizor și obligate să vibreze în direcția acestuia, AA' , ele vor căpăta, după principiul lui Newton, încă o întârziere de $\frac{\lambda}{2}$ și vor interfera.

- În primul caz, când $2n\frac{\lambda}{2} + \frac{\lambda}{2} = (2n + 1)\frac{\lambda}{2}$, componentele amplitudinilor analizorului, OE_4 și OE_3 , vor fi de sens contrar. Vibrațiile vor interfera negativ; intensitatea luminoasă rezultantă va fi scăzută (fig. 526), iar în cazul când OE_4 și OE_3 vor fi egale, intensitatea va fi chiar nulă.

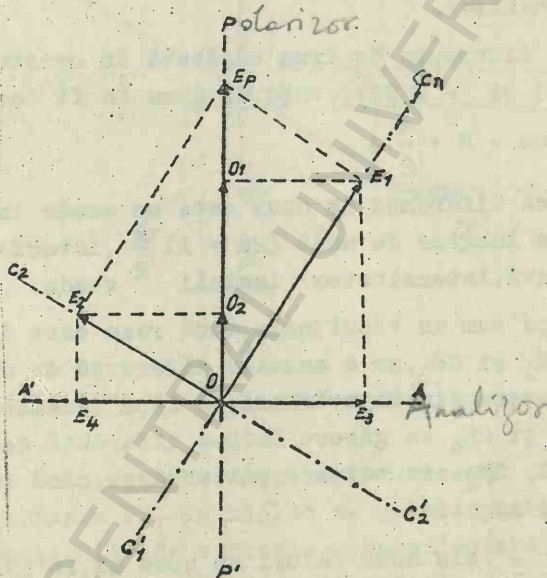


Fig. 526

Considerăm că dedesupt este situat polarizorul cu secțiunea PP , la mijloc secțiunea de cristal cu direcțiile de vibrație C_1 și C_2 așezate oblic, iar deasupra analizorul, cu secțiunea AA în poziție încrucișată față de polarizor.

Raza OE_p care vine de la polarizor se descompune în cristal după direcțiile acestuia de vibrație, conform regulii paralelogramului, în două raze, $\overrightarrow{OE_1}$ și $\overrightarrow{OE_2}$, care cu o diferență de drum R , ajung în analizor.

Aici, fiecare din aceste raze se descompune în alte două raze :

- raza OE_1 se desface în razele OO_1 , care vibrează perpendicular pe planul de vibrație al analizorului și OE_3 , care vibrează în secțiunea acestuia;
- raza OE_2 , care se descompune în raza OO_2 , ce vibrează perpendicular pe planul analizorului și raza OE_4 , care vibrează în secțiunea acestuia.

Razele OO_1 și OO_2 se reflectă total, se elimină, iar razele OE_3 și OE_4 , care vibrează în secțiunea principală a analizorului, interferează și -astfel compun-ies din analizor.

La diferența de drum căpătată în cristal, se mai adaugă deci și - . Diferența de drum va fi deci, în total:

$$\Delta a = R + \frac{\lambda}{2}.$$

Dacă diferența de drum este un număr impar de jumătăți de lungime de undă $(2n + 1) \frac{\lambda}{2}$, interferența este negativă, intensitatea luminii $\frac{\lambda}{2}$ scade.

După cum am văzut, cele două raze care ies din cristal, OE_1 și OE_2 , au o anumită diferență de drum , R . Așa cum se vede din figură însă, la ieșirea din analizor, razele OE_3 și OE_4 se găsesc într-o diferență de fază $\frac{\lambda}{2}$; pe ordonată, OE_4 are valoare pozitivă, pe când OE_3 are valoare negativă.

- Cele două valori se scad și, în exemplul prezentat, cele două componente fiind egale, rezultanta interferenței negative este nulă.

Cîmpul microscopului apare întunecat.

- În al doilea caz, cînd $(2n+1) \frac{\lambda}{2} + \frac{\lambda}{2} = n\lambda$, componentele pe direcția analizorului, OE_3 și OE_4 , fiind dirijate în același sens (fig. 527), se vor aduna, interferența celor două oscilații va fi pozitivă, intensitatea luminoasă va crește.

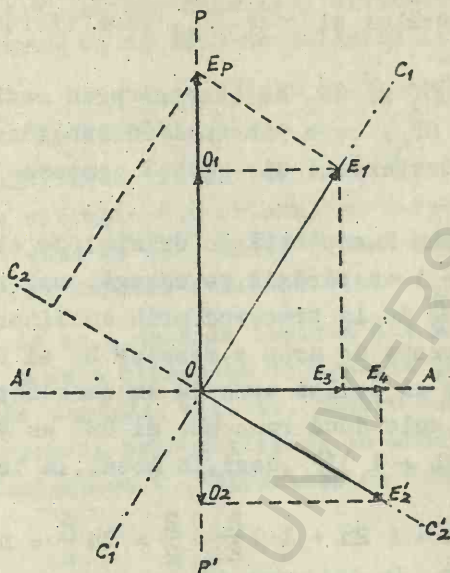


Fig. 527

Să urmărim și în acest caz desfășurarea fenomenului pe fig. 527:

Si aici, considerăm că dedesubt este situat polarizorul, cu secțiunea PP' ; la mijloc se găsește secțiunea de cristal cu direcțiunile de vibrație, perpendiculare între ele, C_1C_1' și C_2C_2' , așezate oblic față de direcțiile nicolilor, iar deasupra se găsește analizorul, cu secțiunea AA' în poziție încrucișată față de polarizor.

Raza OE_p , care vine de la polarizor, se descompune în cristal după direcțiunile de vibrație ale acestuia, în componentele OE_1 și OE_2 care ies din cristal cu o diferență de drum R .

Cu această diferență de drum ajung în analizor unde fiecare din aceste două raze se descompune, la rîndul său, în

cîte alte două raze:

- Raza OE_1 se desface în razele OO_1 , care vibrează în planul polarizorului ca o rază ordinară și OE_3 , care vibrează în planul analizorului.

- Raza OE_2 se desface în razele OO_2 , care vibrează în planul polarizorului și raza OE_4 , care vibrează în secțiunea analizorului.

Razele OO_1 și OO_2 se elimină prin reflexie totală, iar razele OE_3 și OE_4 , care vibrează în secțiunea principală a analizorului, interferează și astfel compun- ies din analizor.

La diferența de drum R căpătată în cristal de cele două raze extraordinare care l-au părăsit, se adaugă, conform principiului lui Newton, și $\frac{\lambda}{2}$ de la trecerea prin analizor.

În acest fel, diferența de drum a razelor E_3 și E_4 devine $R +$.

În acest al doilea exemplu am considerat că la ieșirea din cristal, cele două raze OE_1 și OE_2 au avut o diferență de drum $R = (2n + 1) \frac{\lambda}{2}$, deci, în total, la ieșirea din analizor:

$$\Delta a = (2n + 1) \frac{\lambda}{2} + \frac{\lambda}{2} = 2n \frac{\lambda}{2} = n \lambda .$$

Diferența de drum fiind în acest caz un număr par de jumătăți de lungime de undă, razele OE_3 și OE_4 , la ieșirea din analizor, se găsesc în concordanță de fază.

Vectorii OE_3 și OE_4 , care au același sens, se însumează, rezultă o interferență pozitivă.

Intensitatea luminii în câmpul microscopului va crește.

In lumină monocromatică, interferența pozitivă $2n \frac{\lambda}{2} = n \lambda$ (fig.479) va duce la întărirea culorii, iar interferența negativă (fig.480), la slăbirea ei. $(2n+1) \frac{\lambda}{2} = (2n+1) \frac{\lambda}{2}$

(*) La amplitudinea de 45° interferența pozitivă va duce la o intensitate maximă a culorii, iar interferența negativă va duce la extincție (fig.481).

In lumină albă nu se va produce niciodată extincție ci, se produc diferite culori, care depind de dife-

nuia la
interf. $(-1)^{2n+1} \frac{\lambda}{2}$
Dar: $2n + \frac{\lambda}{2}$

ferența de drum și deci de semnul interferenței, pentru fiecare rază din spectru.

La trecerea printr-un cristal de anumită grosime și mai departe, prin analizor, unele raze componente vor interfera pozitiv, altele negativ. Ultimele se vor anihila, iar culoarea va fi dată de culorile lor complementare.

Acestea se numesc culori de interferență sau culori de birefrință. *ng - np*

Intensitatea lor maximă va fi atunci când unghiul direcțiilor de vibrație din cristal ou direcțiile de vibrație din nicoli este de 45° , adică atunci când componenta care a interferat negativ s-a anihilat.

Așa de ex., dacă la ieșirea din cristal, cele două raze vor avea o diferență de drum de 3800 \AA ($380 \text{ m}\mu$), care corespunde luminii violete, pentru care reprezintă $R = 2n \frac{\lambda}{2}$, la trecerea prin analizor, în urma schimbării de fază, mai adăugându-se $\frac{\lambda}{2}$, diferența de drum, Δa , va fi $(2n+1) \frac{\lambda}{2}$.

Interferența va fi negativă și componenta violetă din spectru va fi eliminată. Secțiunea va avea culoarea complementară, galbenă. Aceasta este o culoare de interferență și nu culoarea cristalului, care se vede că este diferită, dacă se scoate analizorul din câmpul microscopului.

1.3. Cum variază culorile de interferență în raport cu grosimea secțiunii și cu birefrința.

După cum am văzut, culorile de interferență depind de diferența de drum, $\Delta a = e (ng - np)$.

a. În raport cu grosimea lamei de cristal, (e).

Se demonstrează, în acest caz, variația culorii, cu ajutorul secțiunii de grosime variabilă a unui același cristal. Pentru aceasta se folosește așa numita pană de cuarț.

Pana de cuarț este o lamă șlefuită paralel cu axa optică și tăiată în formă de pană, cu un vârf în lungul său, deci cu un vârf în lățime (fig. 528).

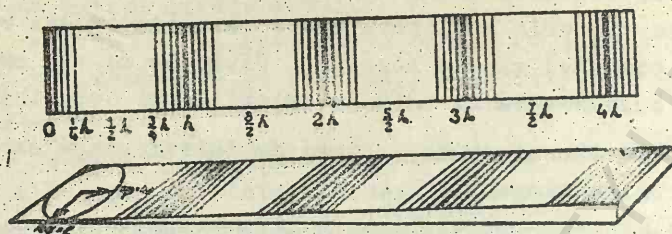


Fig. 528.

Deasupra obiectivului, pe diagonala tubului, la microscopul polarizant este prevăzut un orificiu. Introducând treptat pana de cuarț, de la capătul cel mai subțire până la cel mai gros, între nicoli în cruce, prin acest orificiu, deci în poziția de birefrință maximă, la 45° , va apare o succesiune regulată de culori și anume:

- negru cenușiu, alb, galben deschis, galben închis, portocaliu, roșu-portocaliu, roșu purpuriu.

Diferența de drum pe care o crează pana de cuarț prin grosimea sa crescândă, pentru a produce această culoare, variază de la 0 la 5510 \AA . Aceste culori de interferență se numesc culori de ordinul I.

Dacă se introduce lama mai departe, după roșu urmează o culoare violetă foarte caracteristică, corespunzătoare întârzierii de 5750 \AA , care trece foarte repede, fiind urmată de albastru-indigo-albastru deschis, verde, galben, roșu-portocaliu și roșu închis.

Aceste culori corespund întârzierilor cuprinse între 5510 și 11.000 \AA și se numesc culori de ordinul II.

Violetul corespunzător întârzierii de 5750 \AA , care separă culorile de ordinul I de cele de ordinul II, se numește violet tentă sensibilă. Unii îi spun violet de ordinul I.

În continuare, după roșul de ordinul II, urmează alte serii asemănătoare de culori, începând fiecare cu culoarea violetă, care se repetă după fiecare ciclu de în-

tîrziere de 5510 Å, dar în nuanțe din ce în ce mai slabe. Acestea constituie culorile de ordinul III, IV, V etc. Ordinul IV cuprinde culori din ce în ce mai slabe, nuanțe palide de verde și roș, pînă la o nuanță cenușie-albă, numită alb de ordin superior. După aceasta, culorile de ordin mai înalt, care urmează, nu mai pot fi percepute de ochiul omenesc.

b. În raport cu birefringenta

Se ia o lamă de cristal de grosime uniformă, la care culcarea de interferență variază numai cu birefringenta ($n'g-n'p$), fiecărui mineral sau cristal de substanță.

În fapt, ceea ce interesează în determinarea cristalelor este valoarea birefringenței maxime, $ng-np$, care este o constantă optică foarte caracteristică. În acest scop, din cristalul cercetat, se confecționează o secțiune de grosime standard (0,2 mm) pe care se fac determinările.

Se poate proceda în două moduri:

- Se determină indicii de refracție și se face diferența lor ($ng-np$);

- Pe o secțiune de birefringență maximă, se determină ^{culcarea} culcarea de interferență, care arată întîrzierea Δa și se scoate valoarea birefringenței din relația, $ng-np = \frac{\Delta a}{e}$, grosimea lamei fiind cunoscută.

De obicei se folosesc metode de determinare a birefringenței cu ajutorul culorilor de interferență.

Sînt două procedee:

- se compară culorile de interferență ale mineralului (cristalul) cu culori de interferență cunoscute;

- se folosesc lame de cristal cu anumite întîrzieri și prin compensarea culorilor de birefringență ale cristalelor cercetate, se determină valoarea întîrzierii produse de acestea.

Lamele de cristal folosite se numesc compensatori; un astfel de compensator este și pana de cuarț.

5750 1100

Metoda comparației

Pentru compararea culorilor de birefrință se folosește tabloul lui Michel-Levy.

Acesta constă dintr-o diagramă în care, pe ordonată, se trece grosimea secțiunilor pînă la 0,06 mm., iar pe abscisă, birefrința, pînă la 24000 Å (2400 mμ), (fig.529).

Din punctul de origine se dau linii care il unesc cu anumite valori ale birefrinței, înscrise pe latura superioară a tabloului, la intervale egale, începînd din partea sa stîngă, din miime în miime (0,001; 0,002 etc.) pînă în colțul său drept și continuînd apoi pe latura din dreapta tabloului, pînă la 0,300.

De obicei, în colțul din dreapta sus, se ajunge la birefrința 0,03, pînă la care sînt cuprinse majoritatea celor mai importante minerale.

Peste acest tablou se suprapune scara cromatică a lui Newton.

Aceste culori se suprapun peste coloanele verticale care delimitează cîmpul tabloului, din sută în sută de mμ.

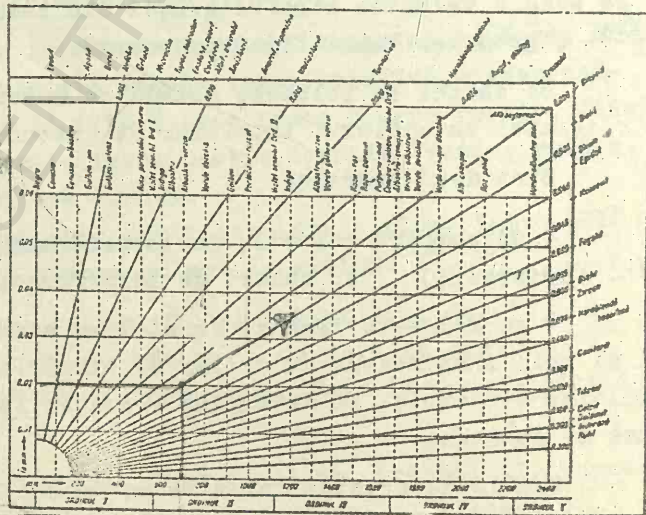


Fig. 529.

Handwritten notes and markings on the page include:

- ng-np/24000* (written vertically on the left side)
- 0.03* (circled in the middle left)
- 0.300* (circled at the bottom left)
- 24000 (ng-np)* (written at the bottom left)
- cul* (written below the diagram)
- calculara (da: indifigena)* (written at the bottom center)
- 5510711* (written below the diagram)
- 0.02 mm* (written at the bottom center)
- 0.025 (litirea)* (written at the bottom right)

Deasupra tabloului, în dreptul birefringențelor corespunzătoare, sînt uneori scrise cele mai importante minerale ale rocilor magmatice.

Cunoscîndu-se grosimea secțiunii și mergînd pe coloana culorii de birefringență observate, se citește birefringența, la capătul dreptei care o intersectează în dreptul grosimii respective.

Valoarea birefringenței este o caracteristică importantă a mineralelor și substanțelor cristalizate. Cu ea se pot face determinări foarte apropiate de minerale, în mod expeditiv, fără însă a putea înlocui celelalte determinări optice mai precise.

Astfel de ex., dacă urcăm pe culoarea albastră pînă la grosimea de 0,02-0,03 mm., întîlnim linia de birefringență 0,025 căreia îi corespund mineralele augit și diallag. Folosind și alte determinări, precizăm care din acestea este mineralul cercetat.

Alteori, în secțiuni de rocă poliminerală, recunoaștem un mineral ușor de indentificat, cunoscut, și după culorile lui de birefringență precizăm grosimea exactă a secțiunii iar apoi trecem la identificarea celorlalte minerale, după culorile lor de birefringență la grosimea respectivă.

- Metoda compensației

În această metodă se suprapune lama unui compensator, pînă cînd culoarea de birefringență observată dispăre, se stinge.

Întîrzierea arătată de diviziunile compensatorului, Δa , se împarte la grosimea lamei, e și se obține astfel valoarea birefringenței : $n_g - n_p = \frac{\Delta a}{e}$.

1.4. Compensatoarele

Așa cum am mai amintit și anterior, compensatoarele sînt confecționate din lame de cristal.

Ele produc întîrzieri care, după cum am văzut, depind de natura cristalului și de grosimea lui.

Lama de cristal a compensatorului are cele două direcții de vibrație perpendiculare, cunoscute (de obicei cu n_p în lungul lamei).

Așezînd lama cristalului de studiat între nicoli încruciați cu direcțiile de vibrație la 45° de firele rețiculare (luminare maximă) și introducînd lama compensatorului prin orificiul din tubul microscopului (tot la 45°), direcțiile de vibrație ale celor 2 lame se suprapun.

- Dacă direcțiile de vibrație de același fel în cele 2 cristale coincid (sînt paralele) atunci raza cu viteza mai mare V_g și indicele mai mic n_p , va continua și în a doua lamă să aibă viteza mai mare iar raza cu viteza mai mică V_p și indice mai mare, n_g , își va păstra și aici viteza mai mică.

Diferența de drum între cele 2 raze va crește, culoarea de interferență va crește în scara cromatică (fig. 530 a).

- Dacă însă, direcțiile de vibrație în cele 2 lame sînt încruciate, atunci raza cu V_g își va micșora viteza în a doua lamă iar raza mai înceată, V_p și-o va mări. Diferența de drum cu care au eșit razele din prima lamă se va micșora la trecerea prin cea de a doua; culoarea de interferență va scădea în scara cromatică (fig. 530 b).

În determinarea caracterelor optice ale cristalelor se folosesc două feluri de compensatoare:

- compensatoare cu grosime uniformă și
- compensoare cu grosime variabilă.

a) Compensatoarele cu grosime uniformă, produc numai o anumită întîrziere. Dintre cele mai folosite compensatoare, de acest fel, sînt, lama de gips și lama de mica.

- Lama de gips este confecționată dintr-un cristal de gips, incolor și transparent. Lama se taie după fețele de olivaj, paralel cu (010) și are o grosime 0,05 mm. Gipsul este un mineral biax. Planul (010) coincide cu sec-

țiunea principală $n_g - n_p$, iar lama dreptunghiulară, se taie cu n_p în lungul său (fig. 530 a). Ea se așează într-o montură metalică, cu dimensiuni care să permită introducerea sa în orificiul prevăzut deasupra obiectivului și orientat NV-SE, în tubul microscopului.

Culoarea de birefrință a acestui compensator este violet de ordinul I sau tentă sensibilă și produce o întârziere de $575 \text{ m}\mu$.

La cea mai mică diferență de drum adăugată, culoarea trece în albastru de ordinul II, iar la cea mai mică diferență de drum scăzută, trece în roș portocaliu de ordinul I.

- Lama de mică se taie dintr-un cristal de mică albă (muscovit), incolor și transparent, tot după fața de clivaj, aici (001). Și muscovitul este un mineral biax, dar secțiunea (001) coincide aici cu secțiunea principală $n_g - n_m$. Lama dreptunghiulară are n_g tot în latul său, dar în lungul său, are direcția de vibrație n_m .

Culoarea de birefrință, cenușie-albăstruie, a compensatorului de mică, corespunde unei întârzieri de $147 \text{ m}\mu$, ceea ce reprezintă un sfert din lungimea de undă a radiației galbene a vaporilor de sodiu. De aceea compensatorul se mai numește și mica sferă de undă (fig. 531 b).

b. Compensatoarele cu grosime variabilă, se confecționează dintr-o singură lamă de cristal cu grosime variabilă (tăiată în formă de pană), sau din mai multe lame de cristal suprapuse în trepte.

- Pana de cuarț, care produce întârzieri de la 0 până la cele corespunzătoare culorilor de ordinul IV, face parte din această categorie. Ca și lama de gips, are direcția n_p dispusă în lungul lamei și n_g în lat.

- Compensatorul Babinet, este confecționat din două pene de cuarț suprapuse; cea superioară este fixă, iar cea inferioară este mobilă. Ea are o mișcare de alunecare paralelă cu lungimea penei superioare.

Deplasarea, care se face cu ajutorul unui șurub, provoacă creșterea întârzierii date de suprapunerea celor două pene și poate fi citită pe un tambur gradat (fig. 532). Acest compensator cuprinde tot patru ordine de culori..

- Compensatorul Fedorov este confecționat prin suprapunerea în trepte a 16 lame de mică sferă de undă, fixate cu balsam de Canada pe o lamă de sticlă. Și acesta cuprinde tot câmpul celor patru ordine de culori (fig.533).

Deplasarea prin translație în câmpul microscopului se face tot cu ajutorul unui șurub, iar întârzierile de compensație sînt citite pe tamburul gradat.



Fig. 530

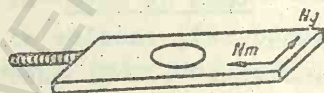


Fig. 531

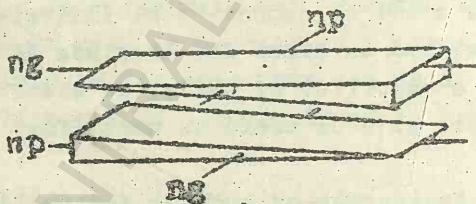


Fig. 532

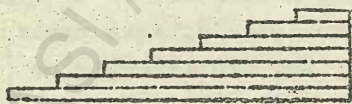


Fig. 533

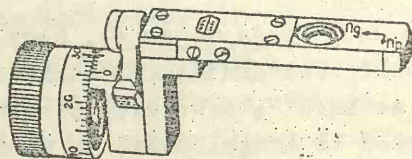


Fig. 534.

- Compensorul Bereck este confecționat dintr-o singură lamă de calcită cu grosimea uniformă, dar determinările se bazează tot pe principiul variației distanței parcurse de raza de lumină (e din formula întârzierii).

Acest lucru se realizează prin înclinarea lamei de calcită, la rotirea în jurul unei axe orizontale (fig. 534).

Întârzierea produsă prin această înclinare se apreciază tot cu ajutorul tamburului gradat și cuprinde de asemenea tot cîmpul primelor patru ordine de culori. Calcita este un mineral uniax. Lama de cristal este tăiată perpendicular pe axa optică.

În poziția orizontală, cînd axa optică coincide cu axa microscopului, birefringența este zero - în lumina convergentă - în cîmpul microscopului apare o cruce neagră. Pe tamburul gradat de la $0-60^\circ$ această poziție corespunde diviziunii de 30° .

Se introduce cristallul în poziția de birefringență maximă în cîmpul microscopului. Din cauza întârzierii produse, crucea neagră a compensatorului se dislocă și apare o culoare de birefringență.

Inclinînd lama de calcită de-o parte și de alta, pînă la compensarea culorii de birefringență se determină unghiul celor două poziții citite pe tambur și se face media.

În tabelele care însoțesc compensatorul se găsesc întârzierile corespunzătoare, exprimate în $m\mu$.

2. STUDIUL CRISTALELOR ÎN LUMINA CONVERGENTĂ

Cu ajutorul luminii convergente se mai pot face în plus și alte determinări optice pentru recunoașterea cristalelor.

- Cristalele izotrope rămîn și aici stinse, tot timpul, în cîmpul microscopului.

lentila Amic
centrând
condensom

20
Secțiunile perpendiculare pe o direcție de monorefringentă, ale cristalelor anizotrope, care se comportă la fel cu toate secțiunile cristalelor izotrope, în lumină paralelă, se comportă aici diferit, după categoria de singonii din care fac parte.

- Se pot deosebi cristalele uniaxe de cele biaxe
- Se poate măsura unghiul axelor optice la cristalele biaxe.

- Se poate determina semnul optic (+ sau - al cristalelor anizotrope.

- Se poate determina orientarea secțiunii de crist. tal față de indicatrice.

* In general deci, se vor studia în lumină convergentă numai cristalele anizotrope .

Fascicolul paralel de raze folosit anterior dădea posibilitate studierii cristalelor numai pe direcții paralele, practic pe-o singură direcție cristalografică, cea perpendiculară pe secțiunea de cristal.

* Fascicolul convergent de raze obținut prin introducerea condensului (lentila Lazo) în drumul fascicolului paralel, ieșit din polarizor, dă posibilitatea studierii cristalului, între nicoli încrucișați, și pe o serie de direcții cu diferite înclinări față de axa microscopului.

* La ieșirea din condensator se formează un fascicol conic de raze care străbate lama de cristal în toate direcțiile.

* Razele care se vor propaga paralel cu axa optică, deci pe direcția de izotropie, nu vor suferi dubla refracție și vor fi eliminate de analizor.

BCU
Razele care se vor propaga oblic față de axa optică vor suferi birefringenta; se vor descompune în două raze polarizate în plane perpendiculare și cu viteze diferite de propagare.

La ieșirea din cristal și după ce sînt colectate de obiectivul microscopului, aceste două serii de raze, pătrund în analizor, se descompun iarăși în cîte două raze, una ordinară și una extraordinară.

Razele ordinare sînt eliminate iar cele extraordinare, vibrînd în același plan, interferează și formează imagini foarte caracteristice, care constituiesc, așa numitele, figuri de interferență (fig. 535 a).

Scoțînd ocularul și privind în tubul microscopului se pot vedea, în planul focal superior al obiectivului, aceste imagini reale foarte clare, dar mici (fig. 535 b). Ele se măresc introducînd în tubul microscopului lentila Amici Bertrand și ocularul, care dau imaginea virtuală mărită a figurilor de interferență.

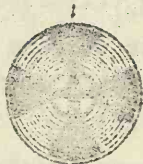
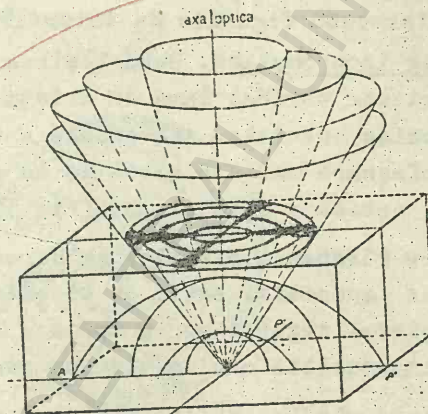


Fig. 535 b

2.1. Figuri de interferență la cristalele uniaxe.

În lumina convergentă, cristalele din categoria mijloace de singonii, cristalele uniaxe, vor putea fi cercetate pe trei feluri de secțiuni:

a. Secțiuni perpendiculare pe axa optică

În acestea, figurile de interferență constau dintr-o cruce neagră, ale cărei brațe sînt paralele cu direcțiile de vibrație ale celor doi nicoli, numită izogiră și dintr-o serie de inele concentrice, luminate și întunecate alternativ în lumină monocromatică, sau diferit colorate în lumină albă, care se numesc inele izocromatice (fig. 536).

La rotirea platinei microscopului, figura de interferență rămîne neschimbată.

Cum se formează figurile de interferență:

- Inelele izocromatice. După ieșirea din condensator, razele polarizate străbat lama de cristal sub forma unor fascicule conice coaxiale. Axa comună a tuturor conurilor care se înfășoară anul pe altul de la centru spre periferie este axa optică a cristalului (fig. 537).

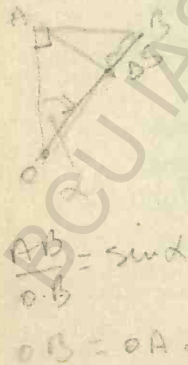
Raza care străbate cristalul în direcția axei optice, direcției de monorefrigență, ea fi eliminată de analizor și în mijlocul figurii se va forma o pată neagră care reprezintă intersecția axei optice cu secțiunea.

Razele care străbat oblic cristalul se descompun în două raze care parcurg, în cristal, drumuri diferite și cu viteze diferite. Ele vor ieși deci din cristal cu o anumită diferență de drum (fig. 538).

Cu cît înclinarea cu care străbat cristalul va fi mai mare, cu atît și diferența de drum a celor două raze va fi mai mare.

$$DS = e(n_g - n_p)$$

Pentru simplificare trecînd peste fazele intermediare, explicate anterior, cele două raze vor interfera



$$AB = \sin \alpha \quad AB = (e + AS) \sin \alpha$$

$$OB = OA + AS \quad AS = \frac{AB - e \sin \alpha}{\sin \alpha} = \frac{AB}{\sin \alpha} - e = DS$$

pozitiv la o diferență de drum $2n \frac{\lambda}{2}$ și vor lumina cîmpul microscopului, iar la o diferență de drum $(2n+1) \frac{\lambda}{2}$ vor interfera negativ, producînd obscuritate în cîmpul microscopului.

Dar în jurul axei, ca după suprafața unui con, vom avea un fascicol continuu de raze cu aceeași înclinare și deci cu aceeași comportare. Figura, care reprezintă intersecția plană a conului respectiv, va avea forma unui cerc, luminos sau întunecos, în lumină monocromatică ori de-o culoare sau alta, în cazul luminii albe, după cum diferența a fost pozitivă sau negativă.

Pentru fiecare înclinare se va forma alt cerc sau inel izocromatic. De la centru spre periferia figurii, aceste cercuri concentrice vor prezenta birefringente din ce în ce mai mari și prin urmare, culori din ce în ce mai slabe din scara cromatică, iar distanța dintre cercuri va fi din ce în ce mai mică.

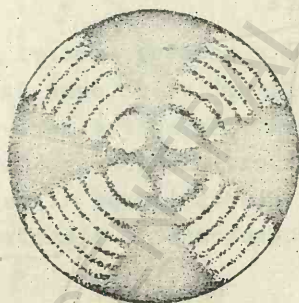


Fig. 536

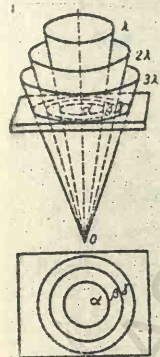


Fig. 537

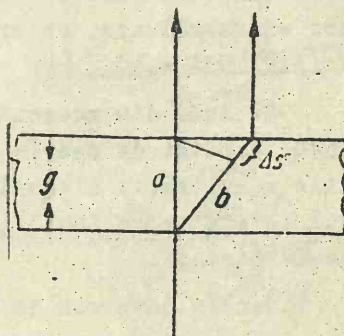


Fig. 538

- Crucea neagră. Să considerăm un cristal uniax slefuit în formă de sferă și în centrul său o sursă de lumină care radiază în toate direcțiile.

Toate razele înclinate față de axa optică vor suferi dubla refracție, se vor desface în câte două raze care vibrează în azimuturi perpendiculare între ele și perpendiculare pe direcția de propagare. Intersecția lor cu suprafața sferei, la punctul de ieșire din cristal poate fi reprezentată prin două tangente la sferă, perpendiculare între ele.

Unind între ele tangentele care reprezintă raze de același fel, rezultă două feluri de cercuri: unele concentrice în jurul axei optice, ca paralele de pe glob, iar altele, care se intersectează în capetele axei optice, pe care o au ca diametru comun, ca meridianele.

Primele reprezintă direcțiile de vibrație ale razelor ordinare, celelalte, direcțiile de vibrație ale razelor extraordinare, care, după cum se știe, vibrează în planul secțiunilor principale.

Proiecția ortogonală a acestor cercuri pe planul ecuatorial, asemănătoare ca figură cu rețeaua lui Boldirev, poartă denumirea de schiodromă. Tangentele care unesc direcțiile de vibrație ale razelor ordinare se proiectează ca cercuri, iar cele care unesc direcțiile de vibrație ale razelor extraordinare, se proiectează ca diametre ale figurii (fig. 539 a,b).

Să luăm din această schiodromă cadranul A M P (fig. 540) limitat de razele MP și MA, care reprezintă direcțiile de vibrație ale celor doi nicoli și să vedem cum variază intensitatea luminii odată cu înclinarea razei față de aceste direcții.

Razele care vin de la polarizor și vibrează deci în planul acestuia, au o anumită intensitate, care poate fi reprezentată printr-un vector, să zicem p p', care se exprimă prin valoarea sa întreagă pe direcția MP.

La trecerea razei prin cristal, în direcțiile înclinate, el se va descompune după regula paralelogramului în componentele PE și PO, corespunzând celor două raze rezultate, cea extraordinară și cea ordinară.

Mai departe, în analizor, fiecare din acestea se va descompune din nou după aceeași regulă. Rezultă componentele O_o și O_e care sînt eliminate de analizor și componentele p_o și p_e a căror sumă reprezintă intensitatea luminoasă a razei ce iese din analizor.

La 45° , vectorul care reprezintă intensitatea luminoasă, va avea valoarea maximă, pe direcțiile intermediare se va micșora continuu, iar pe direcția nicolilor, MP și MA, va fi egal cu zero. Va crește în schimb în raport invers, pînă la valoarea inițială, vectorul care reprezintă raza ordinară, dar aceasta va fi eliminată de analizor și într-un caz (MP) și în celălalt (MA).

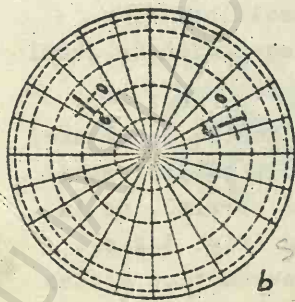
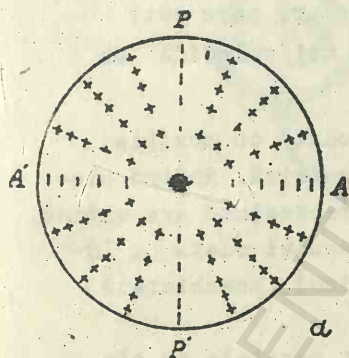


Fig. 539.

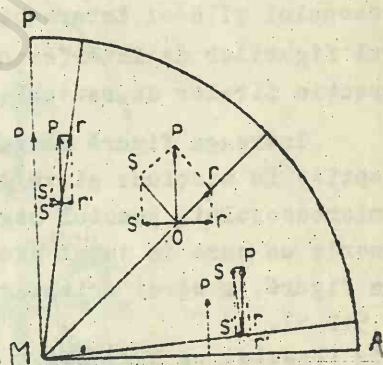


Fig. 541

Considerînd diametrul PP' ca direcție de vibrație a polarizorului și diametrul AA' ca direcție de vibrație a analizorului, se poate observa că pe aceste direcții, razele de lumină, vibrînd în plane paralele cu direcțiile de vibrație ale nicolilor, nu se mai descompun și se comportă deci ca niște raze ordinare, care sînt eliminate de analizor.

Se vor forma două benzi întunecate, direcții de extincție, perpendiculare între ele, ca o cruce neagră.

La rotirea cristalului, odată cu platina microscopului, alte diametre vor trece succesiv prin aceste poziții de extincție, paralele cu direcțiile de vibrație ale nicolilor și deci cele două benzi întunecate care formează crucea neagră vor rămîne pe loc.

De aceea au fost numite izogire (fig. 541).

b. Secțiuni înclinate față de axa optică (fig. 542 a)

În acest caz axa optică nu va mai coincide cu axa microscopului și deci intersecția izogirelor, care este centrul figurilor de interferență, nu va mai coincide cu intersecția firelor de reticul.

Întreaga figură se va deplasa odată cu poziția axei optice în secțiune și va deveni excentrică. Rotind platina microscopului, punctul negru, care reprezintă axa optică, va descrie un cerc în jurul axei microscopului odată cu întreaga figură, a cărei orientare rămîne însă, neschimbată (fig. 542 b).

Brațele izogirei se deplasează pe poziții paralele cu ele însele și cu direcțiile de vibrație ale nicolilor.

Inelele izocromatice își mențin poziția concentrică în jurul axei, marcată de intersecția izogirelor.

Dacă secțiunea este mai mult înclinată, locul axei se deplasează în afara câmpului microscopului și aici apare numai un braț de izogiră care se deplasează paralel, de la stînga la dreapta, de sus în jos și invers (fig. 542 c). Nu se mai văd decît o parte din inelele izocromatice acelea care intersectează brațul izogirei.

La o înclinare prea mare, când locul axei este deplasat mult în afară, capătul brațului de izogiră, care mătură câmpul microscopului, nu mai are o deplasare paralelă cu direcțiile de vibrație ale nicolilor, ci se curbează prin rotire, figura ne mai fiind caracteristică pentru cristalele uniace.

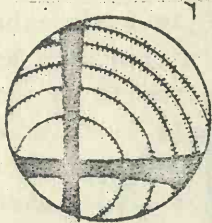


Fig. 542a

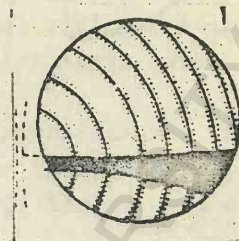


Fig. 542c

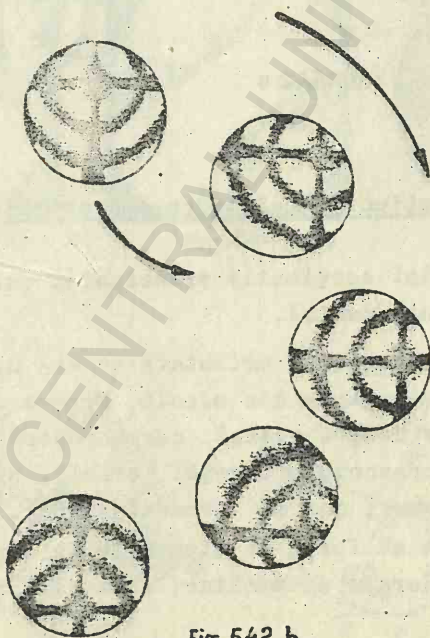


Fig. 542 b.

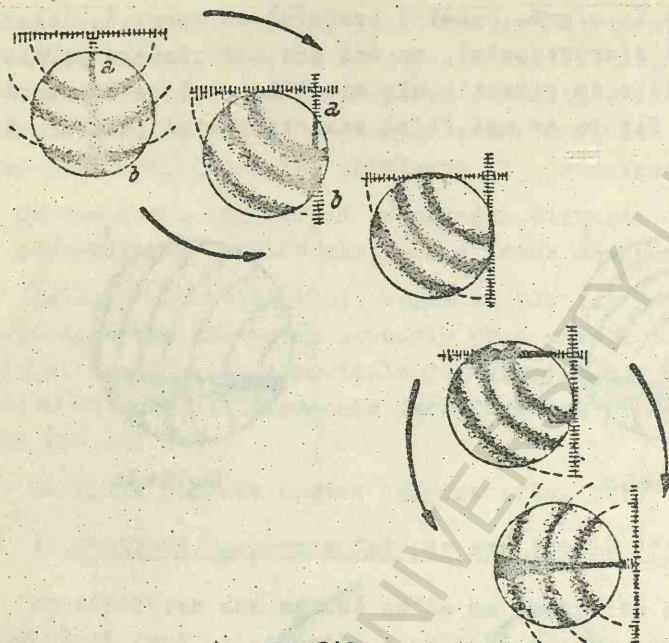


Fig.542 c.

c. Secțiuni paralele cu axa optică

Acestatea sînt secțiunile principale, care sînt secțiuni de birefringență maximă.

Cînd secțiunea este orientată cu axa optică în direcția de vibrație a unuia din nicoli, figura de interferență este o cruce neagră groasă, care acoperă aproape în întregime cîmpul microscopului. Brațul crucii, paralel cu axa optică, este îngust, dar mai pronunțat (fig. 543).

Curbele izocromatice au formă de hiperbole ce împart cîmpul în patru cadrane colorate asemănător, două oîte două, pe diagonale.

La rotirea platinei microscopului, crucea neagră se desface în două brațe de hiperbolă, care dispar repede în cele două sensuri opuse ale axei optice, lăsînd cîmpul colorat simetric.

În locul crucii negre apare o cruce care are culoarea de interferență a secțiunii în lumină paralelă (fig. 544).

În fig. 544 a,b, se vede distribuția culorilor de interferență la cristalele + și - pe asemenea secțiuni paralele cu axa optică.

Dacă așezăm cristalul cu axa optică la 45° , atunci, în cadranele 1 și 3 din direcția axei optice, culorile vor scădea spre perferie, întrucât birefringența scade, ajungând la zero pe direcția axei optice.

În cadranele 2 și 4, pe direcția perpendiculară, din contra, culorile cresc, deoarece, deși rămâne aceeași birefringență, grosimea crește cu înclinarea direcțiilor și deci crește și diferența de drum.

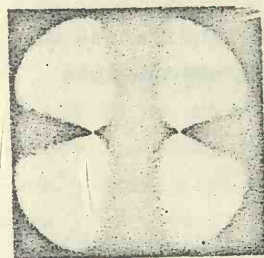


Fig. 543₂

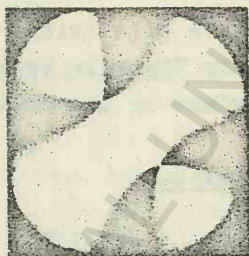


Fig. 544₁

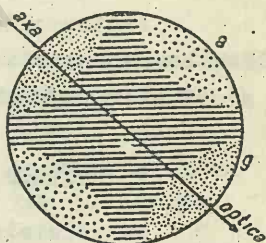


Fig. 544₂

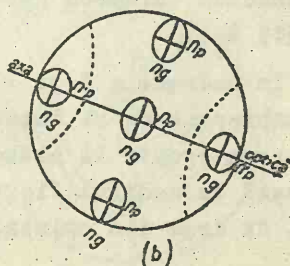
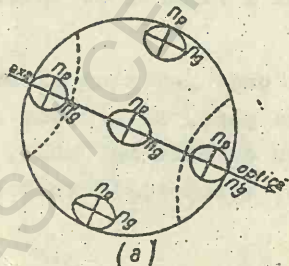


Fig. 544₃

2. 2. Semnul optic al cristalelor uniaxe

După cum am văzut atunci când am examinat indicatricea și celelalte suprafețe optice, cristalele uniaxe pot fi optic pozitive și optic negative.

Optic pozitive sînt atunci cînd axa optică corespunde cu direcția n_g a indicatricei și optic negative, atunci cînd axa optică coincide cu n_p .

Determinarea semnului optic se face în lumină convergentă cu ajutorul compensatorilor. Pentru acesta, compensatorii se introduc în tubul microscopului prin orificiul NV-SE de deasupra obiectivului și se observă efectele pe care le produce suprapunerea lor asupra figurilor de interferență.

Pentru cristalele optic uniaxe este indicat să se aplice compensatorii peste figurile de interferență date de secțiunile perpendiculare pe axa optică.

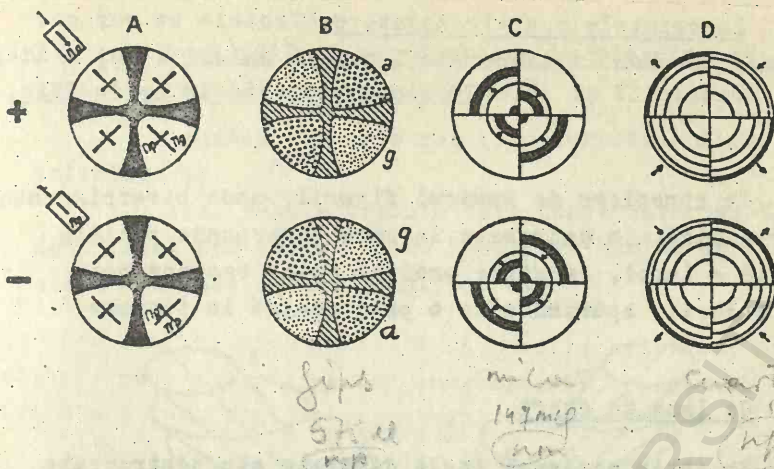
a. Cu lama de gips.

La cristalele optic pozitive, axa optică reprezintă direcția n_g . Introducînd lama de gips care are n_p în direcția lungimii sale, crucea neagră se va colora în violet, iar, în cadranele II și IV, pe direcția lamei, unde n_p al lamei se suprapune peste n_g al cristalului, culoarea scade, și se va produce culoarea galbenă a figurii de interferență (fig. 545 B+).

În cadranele I și III, unde peste n_g al cristalului se suprapune n_p al lamei de gips, se produce o însumare; culoarea crește la albastru cu atît mai mult, cu cît se depărtează de centrul figurii, adică odată cu creșterea diferenței de drum din cristal.

La cristalele optic negative, unde axa optică corespunde cu n_p , fenomenul se va produce invers: culoarea galbenă va apare în cadranele I și III ($n_{g1} + n_{p0}$), iar cea albastră în cadranele II și IV ($n_{p1} + n_{p0}$) fig. 545 B -

Gips: $CaSO_4 \cdot \frac{1}{2}H_2O$



b. - Cu lamă de mica sfert de undă se produc efecte analoge din cauză că aceasta are nm în lungul său și tot ng în latul său.

La cristalele optic pozitive, scăderea din cadranele II și IV se pune în evidență prin depărtarea de centru a inelelor izocromatice, care, datorită întârzierii produse, se deplasează spre periferie, acolo unde diferența de drum era cu $\frac{\lambda}{4}$ mai mare înainte de introducerea lamei. Invers, inelele izocromatice din cadranele I și III se vor apropia de centru, în pozițiile în care întârzierile erau cu $\frac{\lambda}{4}$ mai mici, păstrându-și culoarea (fig.545 C +).

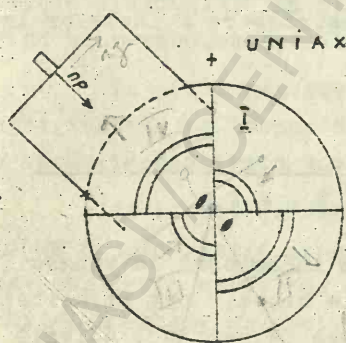


Fig.545 C +

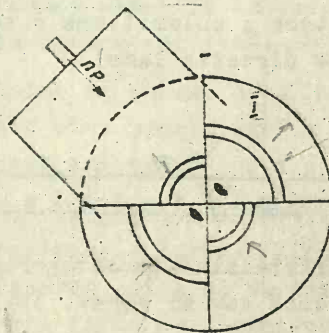


Fig.545 C -

În cristalele optice negative, efectele se vor produce totmai invers: în cadranele I și III culorile vor scădea, iar în cadranele II și IV, culorile vor crește în ordin (fig. 545 C -

În apropiere de centrul figurii, unde birefringenta este foarte mică, în cadranele la care corespunde poziția încrucișată a lamei, se poate produce chiar compensarea totală a culorii, apărînd cîte o pată neagră în fiecare cadran.

Cu lama de cuarț

Se obțin aceleași inele dilatate sau contractate ca și cu lama de mica, deoarece direcțiile de vibrație în lamă sînt aceleași.

În fig. 545 sînt arătate în rîndul de sus cristalele pozitive, în cel de jos, negative ; în coloana A, direcțiile de vibrație în cristale și lame; în coloana B efectele lamei de gips; în coloana C ale lamei de mica ; în coloana D, ale lamei de cuarț.

În general deci, un cristal uniax este optic pozitiv dacă la introducerea compensatorilor cu indicele mai mic în lungime, se produce o scădere a culorii, o dilatare a inelelor, sau o compensare și optic negativ, dacă se produce o creștere a culorii sau o restrîngere a inelelor izocromatice pe direcția lamei.

2.3. Figuri de interferență la cristalele biaxe

Cristalele din categoria inferioară de singonii, care sînt, după cum am văzut, optic biaxe, pot fi cercetate în lumina convergentă, deasemenea pe secțiuni diferit orientate.

a. Secțiunile perpendiculare pe bisectoarea ascuțită a unghiului axelor optice.

Acestea dau cele mai caracteristice figuri de interferență.

Aici razele trecute prin condensator străbat lama de cristal sub forma a două fascicule conice care înfășoară două axe optice (fig. 546 a).

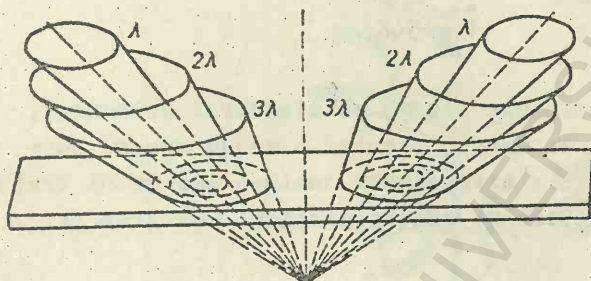


Fig. 546 a

Sînt și aici tot două feluri de figuri de interferență:

Mai întîi, o figură întunecată, cum era crucea neagră, izogira, la cristalele uniaxe. Această izogiră este aici compusă din două brațe de hiperbolă care, în poziție diagonală, se situează simetric în cadrane opuse, avînd convexitatea spre bisectoara ascuțită.

În polii hiperbolelor se găsesc două puncte negre, numite melatope, care sînt urmele axelor optice ce străbat oblic secțiunea de cristal.

În al doilea rînd, în jurul melatopelor, se găsesc și aici inele izocromatice. Aproape circulare la început, devin ovale mai departe și apoi se unesc, înconjurînd ambele melatope sub formă de lemniscoate din ce în ce mai largi, care în cele din urmă devin iarăși ovale (fig. 546 b).

La rotirea platinei microscopului, cele două hiperbole se apropie din ce în ce mai mult și după 45° ,

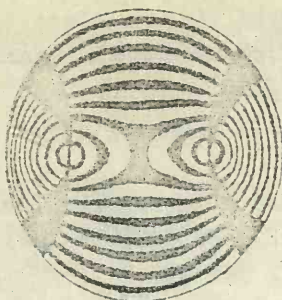


Fig. 546b.

cînd cele două melatope ajung pe diametrul orizontal, brațele izogirei se unesc, formînd o cruce neagră asemănătoare cu izogira cristalelor uniaxe, dar avînd brațul orizontal mai subțire și brațul vertical mai gros (fig. 547 a,b,c).



Fig. 547a



Fig. 547b.



Fig. 547c

Rotind mai departe cristalul, cele două hiperbele se despart din nou și se depărtează, ajungînd iar la distanța maximă după 45° , dar în cadranele de pe cealaltă diagonală (așa cum se vede și din schiodroma biaxă (fig. 548)

Rotirea în continuare, se ajunge din nou la crucea neagră și aceste poziții se repetă din 90° în 90° , adică ori de cîte ori planul care cuprinde polii celor două axe bisectoarea lor ascuțită este paralelă cu direcția de vibrație a unui nicol.

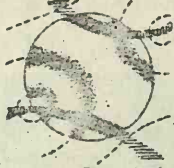
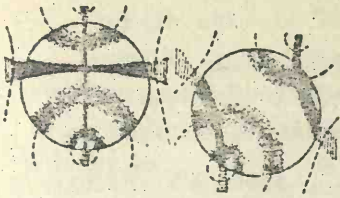


Fig. 548₁



Fig. 548 a, b, c.

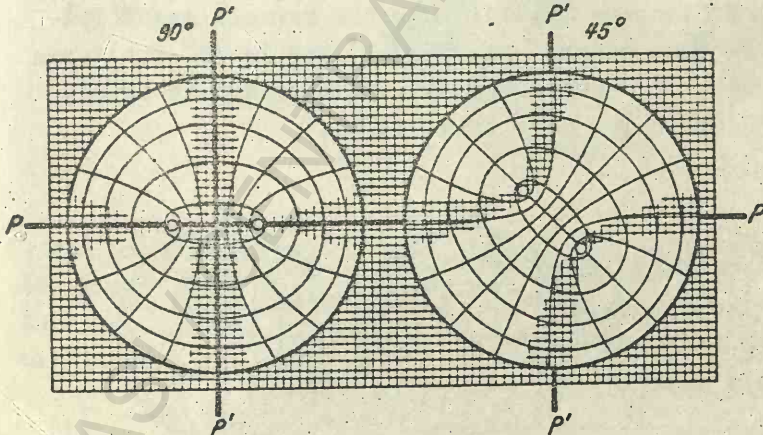


Fig. 548₂

Planul în care se găsesc n_g și n_p este planul axelor optice. Stabilind planul axelor optice și cunoscând că n_m se găsește pe direcția perpendiculară pe acest plan, putem determina poziția indicatricei în cristal.

Tot în această poziție, la 45° , putem măsura unghiul $2V$ al axelor optice.

Cu cât unghiul axelor optice este mai mic, cu atât melatopele, respectiv brațele de hiperbolă sînt mai apropiate, iar la limită, cînd $2V=0$ se contopesc într-o cruce neagră; cristalul devine uniax.

Dacă unghiul $2V$ este mai mare atunci axele optice și hiperbolele se depărtează pînă cînd chiar ies din cadrul figurii de interferență (fig.548 a,b,c).

Ca și la cristalele uniaxe, izogira reprezintă locul geometric al punctelor care au direcțiile de vibrație paralele cu nicolii.

Inelele izocromatice reprezintă linii de egală diferență de drum și rămîn tot timpul în aceeași poziție simetrică față de planul axelor optice, care este bisector.

Schiodroma biaxă în poziție normală arată izogira ca o cruce neagră (fig.548 a), iar la 45° sub forma a două brațe de hiperbolă cu atît mai depărtate cu cît unghiul $2V$ este mai mare (fig.548 b).

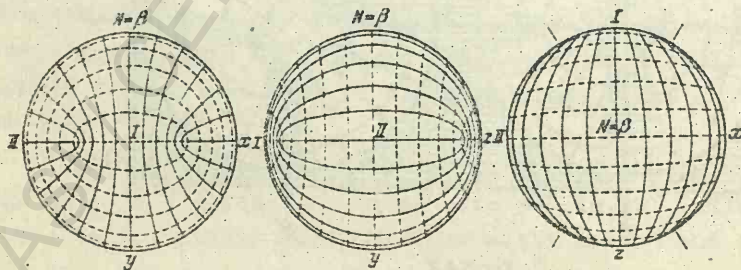


Fig.548₃

b. Intr-o secțiune perpendiculară pe o axă optică, se formează bine-înțeles, o singură melatopă care este înconjurată de inele izocromatice concentrice, aproape circulare.

La 45° , izogira are forma unui braț de hiperbolă, care la învîrtirea platinei se rotește în sens invers în

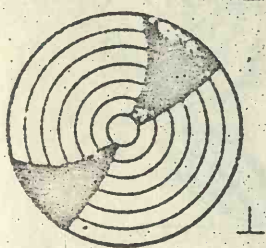


Fig. 549

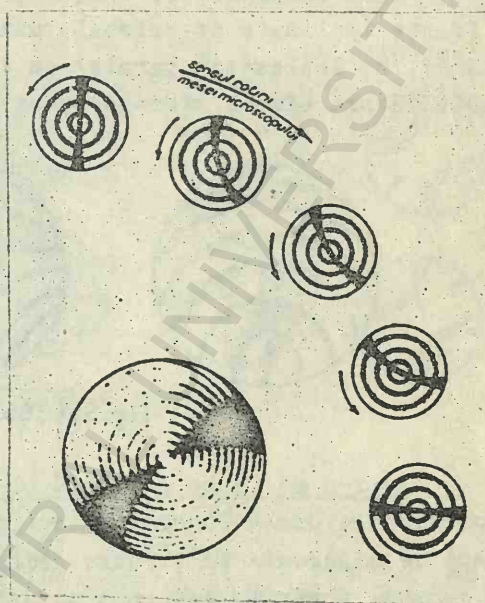


Fig. 550

jurul axei marcate prin melatopă, deschizîndu-se din ce în ce mai mult, pînă cînd, în direcția nicolilor, ajunge la forma unui braț de cruce, paralel cu această direcție, mai subțire la mijloc și mai gros spre margine (fig. 549).

În timpul rotirii această izogiră își modifică curbura și orientarea din 90° în 90° (fig. 550).

c. Intr-o secțiune oblică oarecare.

Va apare izogira ca un braț de hiperbolă, mai îngust spre convexitatea ce-o face cu brațul care nu apare în figură și din ce în ce mai lat spre capăt.

Segmentele de inele izocromatice concentrice, din ce în ce mai largi în același sens, taie ca pe-o rază, izogira.

Spre deosebire de brațul de izogiră al secțiunilor foarte înclinate de cristale uniaxe, care la rotirea platinei, se deplasează paralel cu direcția nicolilor, aceasta, mătură câmpul microscopului rotindu-se (fig. 551).

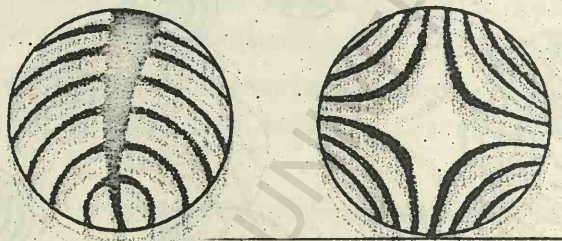


Fig. 551-552

Intr-o secțiune paralelă cu planul axelor optice în poziție diagonală figura de interferență formează câte o grupă de hiperbole în fiecare cadran, cu convexitate spre centrul figurii, determinând astfel, în mijlocul figurii o cruce (fig. 552).

2.4. Semnul optic al cristalelor biaxe.

Cristalele biaxe sînt optic pozitive atunci cînd n_g este bisectoarea unghiului ascuțit al axelor optice și negative, cînd bisectoarea acestui unghi este n_p .

Cînd secțiunile perpendiculare pe bisectoarea unghiului ascuțit al axelor optice sînt aduse în poziție diagonală, cu cele două hiperbole la depărtarea maximă,

efectele introducerii compensatorilor sînt analoge cu cele care se produc la cristalele uniace.

a. Cu lama de gips,

Izogira se va colora în violet iar în concavitățile hiperbolelor se va produce o scădere a culorii (galben) pentru gristalele pozitive și o creștere a culorii (albastru) pentru cristalele negative.

În brațele de hiperbolă, pe direcția ng a lamei de gips, se va produce fenomenul invers (fig.553-6B,+ și-)

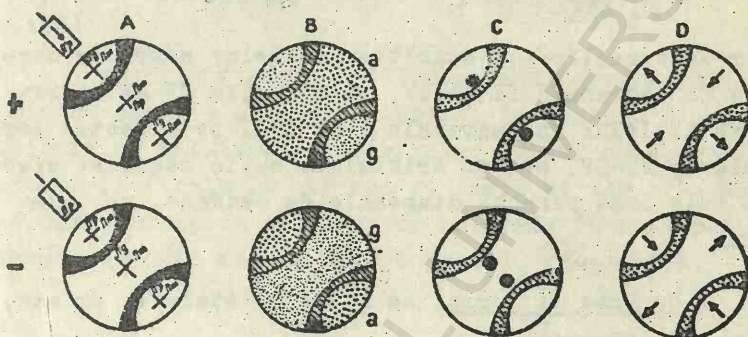


Fig. 553-556

b. - Cu lama de mic $\frac{\lambda}{4}$

Aceeași scădere a culorii în cadranele II și IV, pentru cristalele pozitive este marcată ca și la cristalele uniace, de dilatarea inelelor izocromatice, de apariția punctelor negre de compensație și de restrîngerea inelelor în cadrele I și III (fig.553-6 C+).

În ordine inversă, se produc aceleași fenomene pentru cristalele optic negative (fig. 553-6 C-).

În poziția dreaptă a figurii de interferență, cînd direcțiile de vibrație din cristal coincid cu direcțiile nicolilor, hiperbolele fiind apropiate și reconaștindu-se crucea neagră, se observă aceleași fenomene: pentru cristalele optic pozitive se produce dilatarea

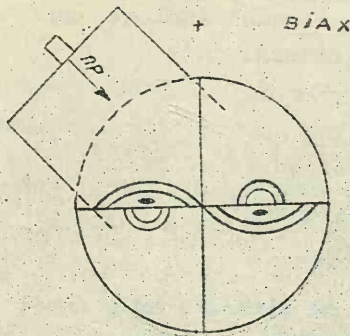


Fig. 557 c+

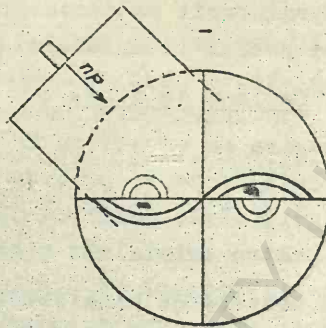


Fig. 558 c-

inelenor izocromatice și apariția punctelor negre de compensație în cadranele II și IV, pe direcția NV-SE și restrângerea inelenor în cadranele I și III, pe direcția perpendiculară, NE-SV, pentru cristalele optic negative efectele în cele două perechi diagonale de cadrane, se inversează.

Cu lama de cuarț, ca și la cristalele uniaxe, efectele sînt analoge.

În fig. 552 - 8 în rîndul superior sînt trecute secțiunile diagonale ale cristalelor pozitive, în cele inferioare, ale celor negative.

În coloana A sînt trecute direcțiile de vibrație, în coloana B, reacția lămei de gips, în C reacția lamei de mică și în D reacția lamei de cuarț.

2.5. Dispersia axelor optice

a.- Unghiul axelor optice.

În mod analog cu ~~cea~~ ce se întîmplă la trecerea luminii albe printr-o priză triunghiulară de sticlă, cînd refracția este diferită pentru diferite radiații, aici, unghiul $2V$ al axelor optice variază în funcție de lungimea de undă a luminii componente din spectrul alb care străbate cristalul.

În lumina albă se va produce dispersia axelor optice, care se manifestă prin deplasarea curbelor izocromatice și a brațelor de hiperbolă corespunzătoare.

b.- Variația unghiului 2 V.

Există două feluri de cristale:

- unele, la care unghiul axelor optice este mai mare pentru lumea roșie decât pentru cea violetă ($\vartheta > \vartheta'$, fig. 559);

- altele, la care unghiul axelor optice este mai mare pentru lumina violetă decât pentru cea roșie ($\vartheta' > \vartheta$, fig. 560).

Așezînd figura de interferență, corespunzătoare unghiului ascuțit al axelor optice, în poziție diagonală, izogirele și melatopele diferitelor culori nu se vor suprapune; izogirele nu vor mai fi negre, ci vor avea marginile din apropierea melatopelor colorate în culoarea complementară celei stînsse pentru poziția respectivă.

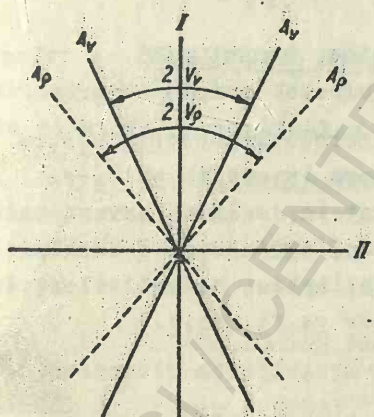


Fig. 559

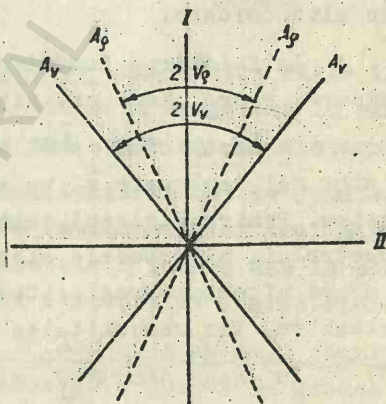


Fig. 560

c.- Planul axelor optice.

Este de asemenea de remarcă faptul că dispersia axelor optice se poate produce în același plan pentru toate culorile sau se produce în două plane diferite,

perpendiculare între ele, pentru diferitele culori.

d.- Determinarea sistemului din care face parte cristalul.

Sînt biaxe cristalele din categoria inferioară de singonii. Prin observarea caracterului de mai sus ale dispersiei axelor optice se poate determina chiar sistemul din care face parte cristalul, cercetat, întrucît dispersia se manifestă diferit în cele trei sisteme ale categoriei, după cum urmează:

IN SISTEMUL ROMBIC direcțiile ng, nm și np coincid cu axele de simetrie L^2, L^2, L^2 , care sînt după cum știm, perpendiculare între ele. În ceea ce privește dispersia axelor optice, se pot prezenta două cazuri:

- Planul axelor optice rămîne același pentru orice culoare, deci și pentru lumina monocromatică roșie de la o extremitate a spectrului. Lemniscatele ca și hiperbolele obscure vor apărea într-o poziție diferită de orice altă culoare.

La folosirea luminii albe, atunci cînd se stînge o culoare, apare, în locul ei culoarea complementară.

În cazul cînd $g > v$, hiperbolele obscure pentru roș sînt mai depărtate și va apare în schimb culoarea albastră. Pentru violetul, situat la cealaltă extremitate a spectrului, hiperbolele sînt mai aproape și în schimb vor apare hiperbole roșii. Concavitatea hiperbolelor va fi albastră, iar convexitatea lor va fi roșie.

În cazul cînd $v > g$, hiperbolele vor fi invers colorate (fig.561).

- Axele optice ale diferitelor radiații se găsesc în două plane diferite, perpendiculare între ele.

Așa se întîmplă la mineralul brookit (TiO_2). Aici, pentru culorile de la roș pînă la verde, axele se găsesc, pentru toate culorile, în același plan; pentru

vede, cristalul devine uniax; pentru culorile cuprinse între verde și violet, axele optice se găsesc într-un plan perpendicular pe primul.

În lumina albă se suprapun curbele izocromatice de diferite culori și apare o figură complicată (fig.562).

În ambele cazuri, întâlnite la sistemul rhombic, figurile de interferență sînt simetrice în raport cu două plane de simetrie care se întretaie după bisectoarea unghiului ascuțit.

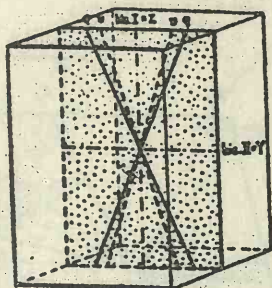


Fig. 561

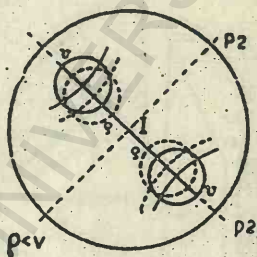


Fig. 562

ÎN SISTEMUL MONOCLINIC, una dintre axele indicatricei coincide cu L^2 . Celelalte două se găsesc în planul de simetrie perpendicular pe axă, unde pot fi dispersate.

Odată cu dispersarea indicatricei se produce și dispersarea axelor optice. Se întâlnesc aici trei situații legate de poziția axei de simetrie L^2 , care dau în plus și posibilitatea determinării direcțiilor indicatricei.

- Atunci cînd axa L^2 coincide cu nm, rezultă o dispersiune înclinată, la care axele optice se găsesc în planul de simetrie (010), (fig.563 a,b), o secțiune tăiată perpendicular pe bisectoarea ascuțită în indicatricea unei culori, nu mai este perpendiculară pe această bisec-toare și pentru altă culoare.

Radiațiile de culori diferite au unghiurile axelor optice diferite, mai mici sau mai mari, iar curbele izocromatice și hiperbolele respective sînt deplasate unele față de altele.

Aceste figuri rămân în ansamblu, simetrice față de planul de simetrie, perpendicular pe planul axelor optice, atât în poziție normală (a) cât și în poziție diagonală (b) (fig. 564), dar punctele roșii și cele violete se așează alternativ de-a lungul unei linii ce marchează planul axelor optice și sînt simetrice numai față de acest plan.

Bisectoarele ascuțite pentru diferitele culori se găsesc în același plan de simetrie dar nu coincid. Una din axe optice este mai puternic dispersată decît cealaltă pînă într-atît încît, în unele cazuri cele două hiperbe se colorează diferit. La diopsid, concavitățile unei hiperbole este roșie iar cealaltă, albastră.

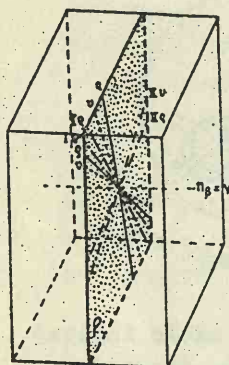


Fig. 563 a

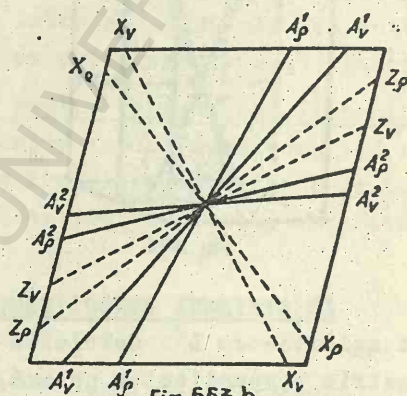


Fig. 563 b

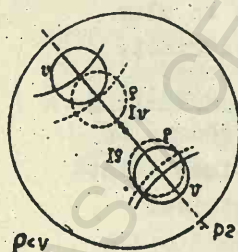


Fig. 563 c

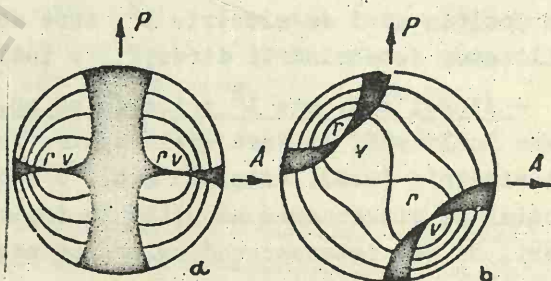


Fig. 564

- Atunci cînd axa L^2 coincide cu bisectoarea obtuză, se spune că este o dispersie orizontală. Si în acest caz figura rămîne simetrică față de planul (010), bisectoarea deplasîndu-se numai în poziție paralelă (fig. 565 a, b, c), dar culorile sînt dispuse de-o parte și de alta a planului axelor optice, față-n față, cele roșii ou cele violete și se repetă prin oglindire numai față de planul perpendicular.

DISPERSIE ORIZONTALĂ

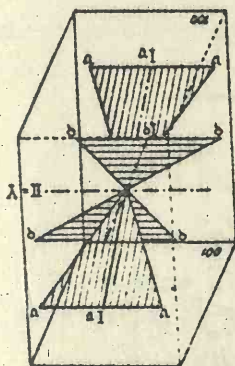


Fig. 595 a₁

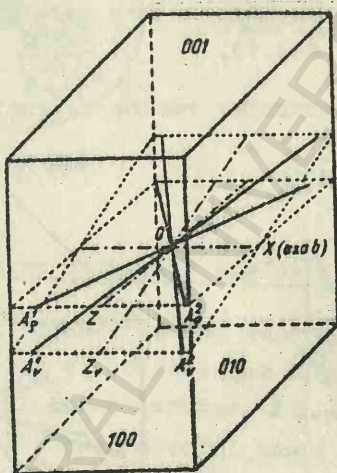


Fig. 565 a₂

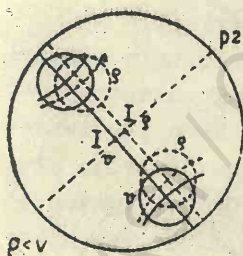


Fig. 565 b

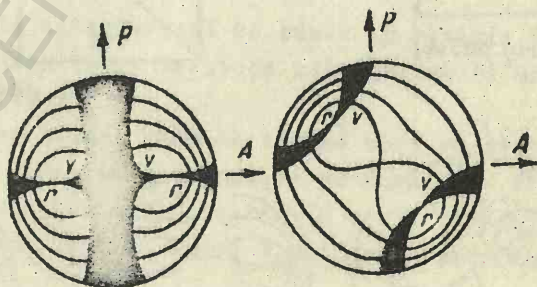


Fig. 565 c.

- Atunci cînd axa L^2 coincide cu bisectoarea unghiului ascuțit al axelor optice se produce o dispersie încrucișată.

Figura, deasemenea, în general, simetrică față de planul axelor optice, are punctele violete și roșii situate alternativ de-o parte și de alta,

atît față de planul axelor optice, cît și față de planul perpendicular, iar dreptele care unesc punctele roșii și respectiv violete se întretaie ca diagonale, încrucișându-se față de bisectoarea care coincide cu intersecția lor (fig. 565 d,e,f).

Bisectoarea rămîne aceeași pentru toate culorile.

DISPERSIE ÎNCRUCIȘATĂ

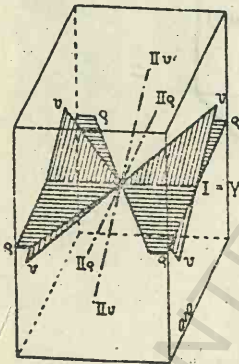


Fig. 565 d₁

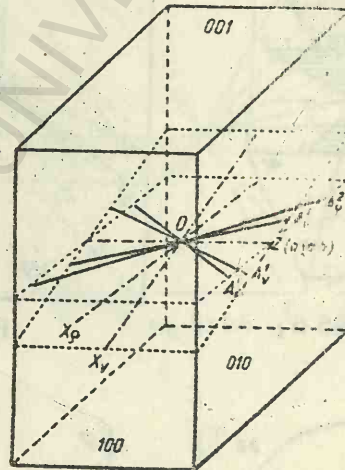


Fig. 565 d₂

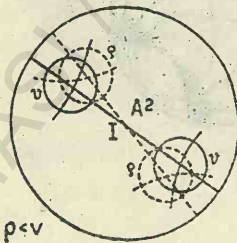


Fig. 565 e

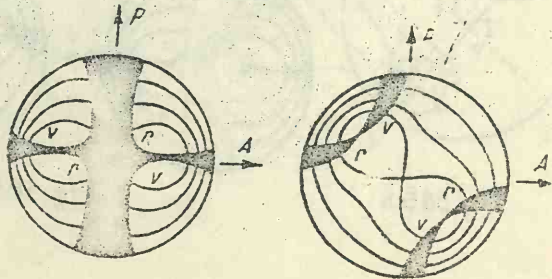


Fig. 565 f

ÎN SISTEMUL TRICLINIC, dispersia este asimetrică pentru toate direcțiile indicatricei; figurile dispersate pentru diferitele culori nu mai păstrează nici un fel de simetrie între ele (fig.566).

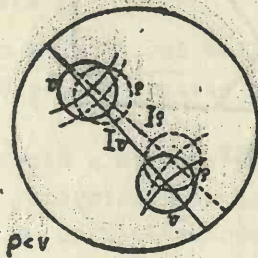


Fig. 566

2.6. Măsurarea unghiului axelor optice.

O constantă caracteristică importantă pentru determinarea mineralelor și cristalelor biaxe în general, este valoarea unghiului axelor optice, $2V$.

Pentru determinarea acestui unghi este cel mai avantajos să se folosească, în lumină convergentă, secțiuni perpendiculare pe bisectoarea unghiului ascuțit al axelor optice.

Figura de interferență se aduce în poziție diagonală, când distanța între melatope este maximă și unghiul $2V$, în marime reală.

Într-o asemenea secțiune, raza de lumină care se propagă prin cristal după direcția axei optice cu unghiul V față de normală, se va refracta la ieșirea în aer, deci într-un mediu mai puțin dens, după un unghi E , mai mare ca V (fig.567).

După cum se știe, axele optice constituite, în cristal, direcții de monorefringență cu indicile de refracție n_m .

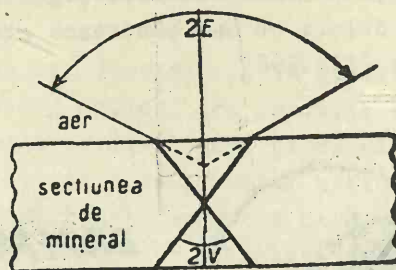


Fig. 567

Cunoscând că raportul sinusurilor celor două unghiuri este egal cu raportul invers al indicilor de refracție. (pentru aer se ia $n = 1$), rezultă $\frac{\sin E}{\sin V} = nm$, de unde $\sin V = \frac{\sin E}{nm}$.

Măsurând unghiul E și cunoscând, din determinări prealabile valoarea indicilor de refracție nm , se calculează, după relația de mai sus, valoarea unghiului axelor optice, $2V$.

Pentru determinarea unghiului E se folosește metoda directă, constând din măsurarea acestui unghi cu ajutorul unui goniometru, fie indirect, prin comparație cu alt mineral al cărui unghi este cunoscut.

- In metoda directă, cristalul este așezat orizontal pe un suport al aparatului microscopic (numit uneori conoscop), astfel ca să se poată roti în jurul unei axe perpendiculare pe planul axelor optice.

Se așează cristalul pe direcția de monorefringentă a uneia din axele optice, se notează diviziunile de pe goniometru și vernier; se rotește cristalul pe direcția planului axelor optice pînă se ajunge la direcția de monorefringentă a celei de-a doua axe optice și se citește din

nou indicațiile goniometrului, calculându-se după aceea unghiul aparent, $2E$.

- In metoda indirectă, secțiunea perpendiculară pe bisectoarea ascuțită, se aduce tot în poziție diagonală. Cu ajutorul micrometrului ocular, care s-a aplicat în locul ocularului obișnuit, se măsoară distanța D dintre firul reticular, care este perpendicular pe planul axelor optice și una din melatope.

Din relația lui Mallard, $D = K \sin E$, se scoate valoarea lui E și mai departe valoarea unghiului axelor optice.

K este o constantă a microscopului și sistemului de lentile, care poate fi determinată cu ajutorul unei secțiuni dintr-un mineral cu unghiul cunoscut, prin aplicarea aceleiași formule.

In practică se stabilește unghiul $2E$ corespunzător unei diviziuni a micrometrului.

3. POLARIZATIA ROTATOARE

3.1. Activitatea optică

După cum s-a văzut la cristalele anizotrope direcțiile axelor optice, iar la cristalele izotrope orice direcție, sînt direcții de monorefringentă.

Toate secțiunile cristalelor izotrope și secțiunile cristalelor anizotrope care sînt perpendiculare pe axele optice, rămîn întinse între nicoli în cruce pentru orice poziție.

S-a constatat însă că sînt unele cristale la care asemenea secțiuni rămîn tot timpul luminate la rotirea platinei microscopului.

Aceste cristale au proprietatea de a roti planul de polarizație al luminii. Oscilațiile care se propagă pe aceste direcții își rotesc planul de polarizare cu un unghi α , care depinde de substanța cristalului, de grosimea secțiunii,

de lungimea de undă a luminii folosite și de alți factori.

Substanțele **care** au proprietatea de a roti planul polarizație, se spune că sînt substanțe optice active.

Pentru observarea acestui fenomen la microscopul polarizat se folosesc secțiuni mai groase, de obicei de cîțiva mm., pentru ca unghiul de rotire să fie remarcabil, iar figurile de interferență care se produc în lumină convergentă să fie mai pronunțate.

Unghiul de rotire α produs de o lamă de cristal cu grosimea de 1 mm. se numește unghi specific de rotire al substanței.

Pentru diferitele radiații unghiul specific variază cu lungimea de undă. Astfel, pentru cuarț, unghiul de rotire al luminii roșii ($\lambda = 7600 \text{ \AA}$) este $12,67^\circ$; al luminii galbene ($\lambda = 5900 \text{ \AA}$), de $21,74^\circ$ al luminii verzi ($\lambda = 5300 \text{ \AA}$) de $27,54^\circ$ și pentru cea violetă ($\lambda = 3800 \text{ \AA}$) de $51,20^\circ$.

Rotind unul din nicoli, în sensul convenabil, de acest număr de grade, cristalul va trece la extincțiune pentru culoarea respectivă.

În lumină monocromatică secțiunea se va întuneca. În lumină albă însă, nu se va produce niciodată întunecarea secțiunii, în locul luminii din spectru ajunse la extincțiune va apărea culoarea complementară acesteia.

Astfel, la rotirea convenabilă a nicolului, se va exclude întâi radiația roșie, cu unghiul specific cel mai mic, apărînd în locul său culoarea complementară verde, iar apoi se vor stînge, succesiv, culorile din spectru pînă la violet, apărînd în loc culorile complementare: galben, albastru, violet, pînă la ros, în aceeași ordine.

Însemnînd cu OP_2 oscilația monocromatică a cărei trecere a fost permisă de polarizor (fig. 568), iar oscilațiile a căror trecere a fost permisă de cristal, deci rotite de unghiul α , cu OK, vedem că aceasta din urmă se descompune în analizor în componentele OP_1 și OA_1 , ultima determinînd luminarea cîmpului ori cum am roti platina microscopului.

Dacă rotim unul din nicoli de unghiul α , astfel ca direcțiile de vibrație ale oscilațiilor permise de acest nicol să fie perpendiculare pe direcția oscilațiilor luminii ce trece prin cristal, se va produce extincția.

Așa se măsoară unghiul de rotire al planului de polarizație a luminii.

Unele substanțe au puterea rotatoare mai mare, altele mai mică. De ex. cinabrul, are puterea rotatoare de 15 ori mai mare ca a cuarțului, pe cînd cloratul de sodiu, de 6 ori mai mică.

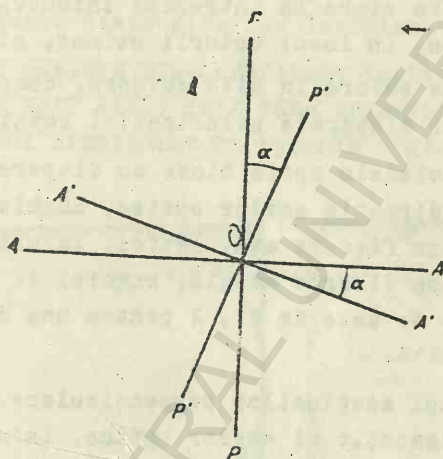


Fig. 568

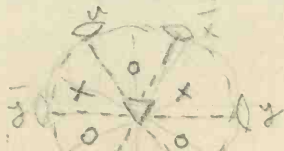
3.2. Cristale dextrogire și levogire

Există substanțe ale căror cristale sînt de două feluri din punct de vedere al activității optice: unele rotesc planul de polarizație spre dreapta - sînt dextrogire, altele îl rotesc spre stînga - sînt levogire.

Astfel, cristalele de cuarț care au fețele de trapezoidru trigonal drept rotesc planul de polarizație spre dreapta, sînt dextrogire, iar cele care au fețele de trapezoidru stîng îl rotesc spre stînga, sînt levogire.

clara axial

$L^3 \propto L^2$



În lumina convergentă, pe direcțiile de monorefringență ale cristalelor uniace, apar figurile de interferență compuse din inele izocromatice și din izogira în formă de cruce neagră. În cazul cristalelor optic active, mijlocul crucii, pînă la primul inel negru din lumina monocromatică, sau colorat, din lumină albă, nu va mai fi întunecat, ci va fi luminat în culoarea radiației respective pentru lumina monocromatică (fig. 569 a), sau într-o culoare complementară din spectru pentru radiația albă.

Rotînd, ca mai sus, anul din nicoli, pentru un anumit unghi specific, lumina monocromatică se va stînge și crucea neagră va apare în întregime întunecată, iar în cazul luminii albe, în locul culorii stînse, mijlocul crucii negre se va colora în altă culoare, complementară. Aceasta se numește dispersia polarizației rotatoare (569 b).

La cristalele optic biace cu dispersie înclinată și asimetrică în direcția axelor optice, unghiul de rotire este diferit pentru fiecare axă. Astfel, la cristalul de zaharoză, din clasa diedric axială, unghiul de rotire în lumină galbenă de Na este de 2° , 2 pentru una din axe și de 6° , 4 pentru cealaltă.

În cazul secțiunilor perpendiculare pe bisectoarea unghiului ascuțit al axelor optice, la cristalele optic active, se produce o întrerupere a brațului obscur orizontal de izogiră prin două pete luminoase care înlocuiesc melatopele.



Fig. 569 a

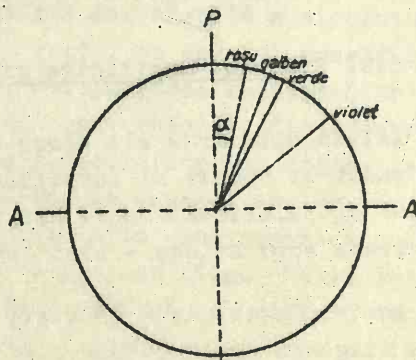


Fig. 569 b.

3. 3. Lame suprapuse

Spirala lui Airy. Dacă se suprapun două lame de cuarț de aceeași grosime, de ex. 4 mm., din care una dextrogiră și alta levogiră, în mijlocul crucii negre va apare o spirală izocromatică numită spirala lui Airy. Sensul acestei spirale este spre dreapta sau spre stînga, după cum se află așezat de desupt cristalul dextrogir sau levogir (fig.570 și fig.571).

Experența lui Reusch. Suprapunînd într-un anumit sens de rotație, la 120° una de alta, o serie de lame de mica, inactivă, Reusch a obținut polarizația rotatoare ca și la cristalele de cuarț dextrogire sau levogire.

Prin aceasta s-au confirmat ipotezele mai vechi (Pasteur, Van't Hoff etc.) după care polarizația rotatoare se datorește unui aranjament în spirală a atomilor din rețea.



Fig. 570

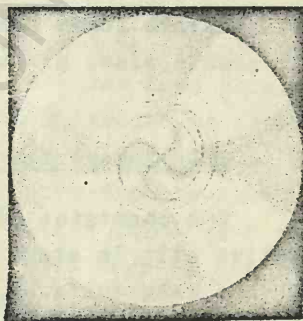


Fig. 571

3.4. Simetria cristalelor optic active

Intr-adevăr polarizația rotatoare s-a observat la cristalele lipsite de centru de simetrie și de plane de

simetrie (clasele axiale și primitive), care prezintă forme enantiomorfe, drepte și stângi. Acestea sînt în număr de 11:

$$L^1, L^2, L^3, L^4, L^6;$$

$$3L^2, L^3, 3L^2, L^4, L^2, L^6, L^2, 3L^2, L^3 \text{ și } 3L^4, L^3, L^2.$$

În afară de acestea, polarizație rotatoare mai produc și cristalele din cele două clase cu giroidă ale sistemului tetragonal, L_{41}^2 și $L_{41}^2, 2L_{2P}^2$ - precum și cele două clase planale din categoria inferioară de singonii: P și L^2 - $2P$ - .

Aceste 4 clase nu au axe helicoidale de simetrie dar prezintă, într-o direcțiune oarecare din structură, o dispoziție spirală a particulelor componente.

Cristalele optic active fac parte din aceste clase și prezintă forme enantiomorfe, dar nu toate cristalele din aceste clase și cu forme enantiomorfe sînt optic active.

Substanțe optic active în soluție.

S-a constatat că există substanțe care sînt optic active atît în stare cristalină, cît și în stare de soluție, cum este sulfatul de litiu și potasiu ($KLiSO_4$) din clasa C_6 sau sulfatul de magneziu ($MgSO_4 \cdot 7H_2O$) din clasa D_2 .

Unele substanțe optic active în stare cristalină, nu mai au această activitate în stare de soluție. Așa este cazul cloratului de sodiu, care în stare cristalină prezintă o formă dextrogiră și una levogiră, dar care în soluție își pierde activitatea optică.

Dacă în soluția saturată a $NaClO_3$ se aruncă un fragment de cristal se cristalizează din soluție forma activă a fragmentului introdus.

De aici rezultă că activitatea optică a substanței respective este legată numai de aranjamentul structural al cristalului.

Sînt deasemenea substanțe care sînt optice active în soluție dar nu sînt active în stare cristalină.

3.5. Explicația activității optice.

a. Pentru cristale.

Fresnel a pus ipoteza că raza de lumină care vine de la polarizor și care este polarizată liniar, intrînd în cristalul optic activ pe o direcție de monorefringență, se descompune în două raze polarizate circular care se propagă în sensuri opuse și cu viteze diferite în cei doi antipozi optici, drept sau stînga.

La ieșirea din cristal, cele două raze vor interfera, reunindu-se iarăși într-o rază polarizată liniar, dar din cauza vitezelor diferite, ele vor avea polarizarea diferită și vor prezenta o anumită diferență de drum. Raza rezultantă nu va mai vibra în planul de vibrație al razei incidente. Acest plan va fi rotit spre dreapta sau spre stînga, după cum va fi mai mare, viteza razei care se propagă circular spre dreapta sau a celei care se propagă cu polarizația circulară spre stînga.

Cei doi antipozi optici, au indici de refracție diferiți pentru cele două unde circulare polarizate, adică prezintă o birefringență circulară.

Mișcarea circulară nu se poate propaga decît după o direcție de monorefringență. De aceea, la cristalul de cuarț rămîne luminat numai mijlocul figurii de interferență, mijlocul crucii negre.

Mai departe de axa optică, mișcarea devine din ce în ce mai eliptică și apoi liniară. De aici în colo apar brațele crucii negre ale izogirei.

Diferența între indicii vibrațiilor circulare este foarte mică ajungând doar până la 0,00071. În direcția axei optice, unde birefringența cristalului de cuarț devine nulă, predomină efectul mișcării circulare și mijlocul crucii dispăre.

În direcțiile înclinate față de axa optică, birefringența cristalului crește continuu până la $n_g - n_p = 0,0091$. În aceste direcții, cu birefringența ridicată, figura de interferență revine la aspectul normal al cristalelor uniaxe.

Cloratul de potasiu este optic activ. Fiind cristalizat în sistemul cubic el este izotrop și deci are birefringență nulă pe toate direcțiile, așa că și polarizația rotatoare se produce pe orice direcție.

b. La soluțiile substanțelor optic active, acest fenomen nu mai poate fi pus pe seama structurii cristaline, care a fost distrusă la solvire.

Așa cum au conceput Pasteur și ceilalți fondatori ai stereochemiei, plecând de la acizii tartrici, polarizația rotatoare este atribuită aici asimetriei moleculare, aranjării asimetrice a atomilor sau radicalilor diferiți în moleculă.

Activitatea optică în stare de soluție se observă în deosebi la substanțele organice și mai rar la cele anorganice, ca de ex. la periodatul de sodiu ($\text{Na}_2\text{I}_2\text{O}_8 \cdot 6\text{H}_2\text{O}$) din clasa C_3 .

Considerând atomul de carbon așezat în mijlocul unui tetraedru, iar valențele exprimate prin vectori, îndreptate spre vîrful tetraedrului, se pot prezenta următoarele situații.

1). La cele 4 valențe se leagă radicali identici. Atunci nu vor exista izometri.

2) Radicalii sînt diferiți, de ex.



atunci pot exista doi izomeri cu configurația enantiomorfă (fig.572), care nu se pot suprapune.

Dacă însă $R_1 = R_2$, cei doi izomeri se pot suprapune; puterea rotatoare nu mai apare.

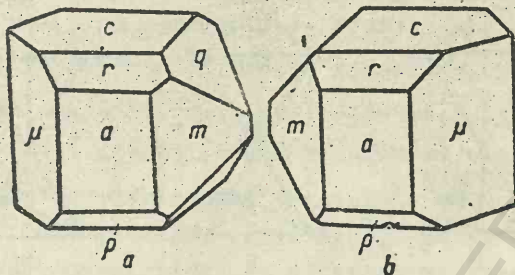


Fig.572.

În cazul acizilor tartrici, acidul levogir, (fig.573) și cel dextrogir (fig. 574), nu prezintă, după cum se vede, nici un plan de simetrie în molecula lor, pe cînd acidul mezotartric, inactiv (fig.575) prezintă un plan de simetrie. Inactivitatea sa se explică printr-o compensare intramoleculară a celor două puteri rotatoare.

În cazul acidului racemic care se consideră un "amestec" echimolecular al celor doi antipozi optici, dextro și levogir, nu mai este vorba de-o compensație intermoleculară, între o moleculă dextro și una levogiră.

În anumite condiții, acizi activi pot fi separați din acidul racemic, pe cînd din acidul inactiv mezotartric nu se pot, în nici un fel, obține acizi optic activi.

Urmărind succesiunea radicalilor din cei doi antipozi optici pe schemele din figurile arătate mai sus ($\text{COOH}, \text{OH}, \text{H}$), se constată că într-un caz se parcurge drumul unei spirale stîngi (acidul levogir) iar în celălalt caz, drumul unei spirale drepte (acidul dextrogir).

Și aici, ca și în dispoziția reticulară, proprie structurii cristaline, activitatea optică este legată tot de existența unor direcții helicoidale.

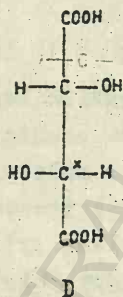
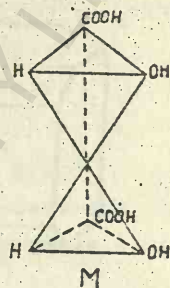
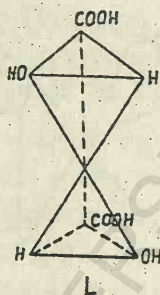
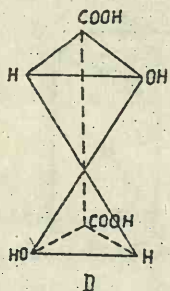


Fig. 574 a

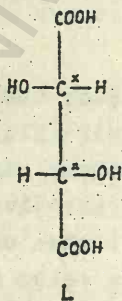


Fig. 573 a

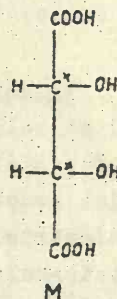


Fig. 575

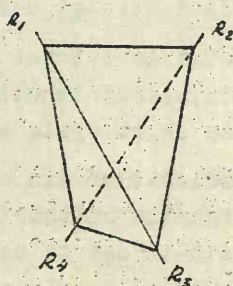


Fig. 573 b

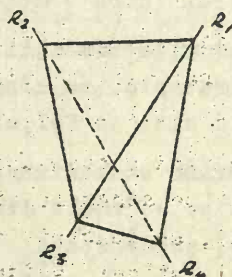


Fig. 574 b.

4. MASA UNIVERSALA FEDOROV

4.1. Principii . După cum am văzut, pentru cercetarea poliedrelor cristaline, la 1889, E.S.Fedorov a introdus goniometrul teodolit, cu ajutorul căruia se pot determina toate unghiurile dintre fețele unui cristal cu o singură așezare a cristalului pe suportul aparatului. Se pot determina coordonatele sferice ale polilor acestor fețe, adică se poate stabili dispoziția în spațiu a fețelor de cristal și apoi, prin proiecție stereografică, aceasta se reprezintă grafic în mod riguros și expresiv.

Cînd se cercetează cristalele la microscop, în lumina paralelă, este necesar să se facă, pentru același mineral, determinări pe secțiuni cu diferite orientări în cristal; în general se aleg secțiuni perpendiculare pe axa optică sau secțiuni perpendiculare pe bisectoarea unghiului ascuțit al axelor optice.

În studiul petrografic pe secțiuni subțiri din roci, cristalele aceluiasi mineral sînt foarte variat orientate și cu greu se pot găsi asemenea secțiuni cu orientare convenabilă pentru cercetare.

Această dificultate a înlăturat-o tot Fedorov, concepînd și construind, cîțiva ani mai tîrziu (1893-1894), tot pe principiul teodolitului, un dispozitiv care, aplicat la microscopul polarizant, dă posibilitatea să se ducă un același cristal din secțiunea subțire, în diferite poziții, cu orientările dorite. Acest dispozitiv se numește acum masa sau mesuța universală a lui Fedorov.

4.2. Utilizare. Cu masa Fedorov se pot determina: forma indicatricii, direcțiile din indicatrice, semnul optic, poziția secțiunii în raport cu indicatricea, planul axelor optice și de asemenea se determină înclinarea planelor de maclă și de clivaj în raport cu secțiunea, se măsoară unghiurile dintre fețe etc.

4.3. Construcție (fig.576) Masa Fedorov se compune dintr-un stativ inelar (a) prevăzut cu două console (c), între care, prin două semiaxe (p) este susținut un suport inelar (b).

- Pe acest suport este așezat un inel gradat (3) pe care sînt fixate, de-o parte și de alta, două arce, arcele lui Wright (W). Pentru lucru aceste arce se ridică în poziție perpendiculară pe cercul gradat iar în poziție de repaos se culcă pe inelul gradat.

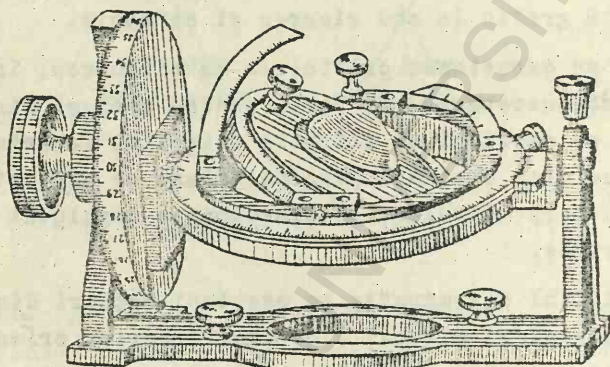


Fig. 576.

Consolele, semiaxele și arcele Wright sînt fixate pe aceeași direcție, pentru lucru, în poziția axei cristalografice $y\bar{y}$.

- Pe partea exterioară a uneia din console este fixată o rozetă cu tambur gradat care se rotește într-un plan vertical, odată cu cercul gradat (3) în fața unui inel pe care se află vernierul tamburului gradat (V_1).

Spre interior pe semiaxa suportului inelar sprijinită de consola din partea opusă, se găsește vernierul inelului gradat de pe suport (V_2).

- În interiorul inelului gradat (3) se găsește un alt inel gradat (2), suspendat în consolă pe primul, prin cele două capete ale unui ax diametral. În poziția inițială a cercului (3) aceasta are direcția axei cristalografice

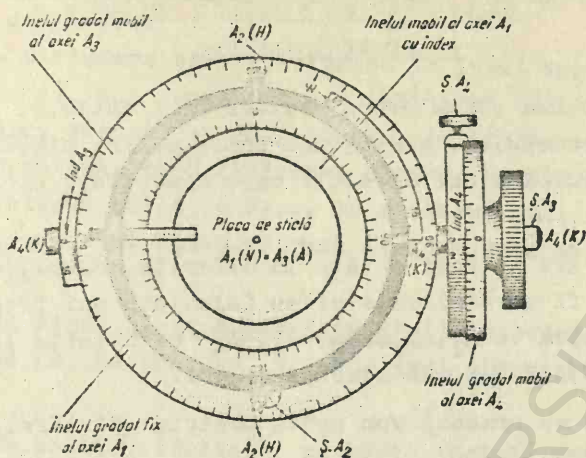


Fig. 577

Pe acest inel (2) este aplicat un al treilea inel (negradat) (1), mobil, care este în fapt suportul preparatului microscopic. Unghiul de rotire a inelului (1) odată cu preparatul, se citește pe inelul gradat (2), față de care se rotește.

- Lama cu secțiunea subțire se aplică pe o placă de sticlă în formă de cerc. Dedesuptul plăcii de sticlă și deasupra lamei se aplică două segmente emisferice de sticlă cu montură metalică. Emisferele au indice de refracție apropiat de cel al mineralului cercetat. Astfel pentru plagioclazi se folosesc emisfere cu $n=1,55$.

Între secțiune și placa de sticlă pe care se aplică, precum și pe fețele de contact ale emisferelor se pune un lichid de imersiune refringent (de obicei glicerină) pentru a se evita producerea reflexiei totale.

Prin capetele monturilor metalice ale emisferelor preparatul astfel aranjat, se fixează cu două șuruburi pe inelul negradat (1), în poziția inițială, după axa cristalografică $x\bar{x}$.

4. 4. Directiile si axele de rotire ale celor trei inele

Cu mișcarea circulară a acestor trei inele și a platinei microscopului, o secțiune poate suferi mișcări de rotație în jurul a cinci direcții care constituie axele sistemului.

Aceste axe au fost notate în diferite moduri, dintre care două pot fi paralelizate și au folosință mai frecventă. Notăția lui Berek cu A_1, A_2, A_3, A_4, A_5 și notația lui Reinhardt cu N, A, H, K, M, în aceeași ordine.

În cele ce urmează vom arăta poziția fiecărei axe (fig.577).

În jurul acestor axe, inelele mesuței suferă două feluri de mișcări circulare:

- rotiri în propriul lor plan, după axele perpendiculare pe ele (A_1, A_3) și

- rotiri în jurul unor axe cuprinse în planul lor, adică rabateri ale cercului respectiv (A_2, A_4).

- La acestea s-ar adăuga rotirea, de primul tip, în plan orizontal a platinei microscopului cu tot cu mesuța, după axa acestuia (A_5).

Inelul interior (1), are două mișcări de rotire:

- Una, în jurul axei perpendiculare pe el, A_1 sau N (normală); unghiurile de rotire se citesc, în acest caz pe cercul gradat (2) care are o poziție fixă în raport cu inelul interior (1).

- Alta, împreună cu inelul gradat (2) de rotire, în jurul unei axe cuprinse în planul său A_4 , numită și axă de control (K). În poziție de plecare, axa are direcția axei cristalografice \bar{y} , unghiurile de rotire se citesc pe cele două arce gradate, ridicate vertical (W), care în poziția inițială de lucru a mesuței sînt îndreptate în direcția axei cristalografice $z\bar{z}$.

Inelul gradat exterior (3), are deasemenea două mișcări de rotire:

- O mișcare ce efectuează în jurul axei perpendiculare pe el, A_3 , numită și axă auxiliară (A); în poziție de plecare, aceasta se confundă cu axa microscopului și de aceea se notează cu M (Fedorov, Duparc). Unghiurile de rotire se citesc chiar pe cerc, cu ajutorul unui vernier (V_2), fixat la suportul circular care leagă mesuța de console din capătul y.

În fine, platina microscopului, împreună cu mesuța fixată pe ea, se rotește în jurul axei microscopului A_5 sau M.

În poziție inițială, cu toate inelele orizontale, axele A_1, A_3 și A_5 (N, A și M), ocupă aceeași poziție verticală $z\bar{z}$, adică poziția axei microscopului, iar axele perpendiculare între ele, A_2 și A_4 (H și K) sînt situate în planul orizontal comun al cercurilor, pe direcțiile $x\bar{x}$, respectiv $y\bar{y}$.

4.5. Determinări ale formei, poziției și elementelor indicatricei

Determinarea formei indicatricei, a poziției și direcțiilor sale în cristal se bazează pe observarea extincțiunilor care se produc la rotirea secțiunilor în diferite direcții după axele mesuței Fedorov.

a. Izotropia și anizotropia cristalului.

Secțiuni circulare (Schema C).

1) Mesuța avînd toate elementele în poziție inițială de lucru și rotînd de 360° inelul cu preparatul (1) în jurul axei (N), se pot prezenta două situații:

(a) - Cristalul se luminează și se întuneacă alternativ; aceasta arată că este anizotrop.

(b) - Cristalul rămîne tot timpul întunecat; el poate fi izotrop sau este vorba de o secțiune perpendiculară pe

axa optică într-un cristal anizotrop uniax sau biax (1 a schema C.).

(2) Plecînd din nou din poziția inițială a elementelor și rotînd de data aceasta axa $A_4(K)$ într-un sens sau altul, se pot prezenta iarăși două situații pentru cristallul întunecat:

- (a) Cristalul se luminează și atunci este anizotrop (2 a sch.C)

- (b) Cristalul rămîne mai departe întunecat și atunci poate fi izotrop, uniax perpendicular pe axa optică sau biax în secțiune perpendiculară pe una din axele optice, dar numai în cazul cînd planul axelor optice este perpendicular pe direcția axei $A_4 = K$ (2b).

(3) Se readuce axa K în poziția de 0° și se rotește axa $A_2 = H$ împreună cu cristalul întunecat (2b) într-un sens sau altul (3). Se pot prezenta iarăși două situații:

(a) cristalul se luminează, ceea ce înseamnă că este anizotrop (3a);

(b) Cristalul rămîne întunecat și atunci poate fi izotrop ori uniax, perpendicular pe axa optică (3b).

(4) Dacă, după ce se înclină secțiunea în jurul axei H , se rotește axa K din poziția 0° , cristalul care a fost întunecat (3b) rămîne, mai departe, în extincțiune, înseamnă că este izotrop (4b);

Dacă însă se luminează, înseamnă că este anizotrop uniax cu secțiunea perpendiculară pe axa optică (4a).

(5) Dacă cristalul luminat după rotirea axei H (3a) sau cristalul care a rămas luminat și la rotirea axei K (2a, 3c) rămîn și acum luminate, înseamnă că sînt cristale biaxe perpendiculare pe axa optică, primul cu planul axelor optice orientat N-S (4c), al doilea orientat E-V (4d).

SCHEMA C.

Secțiune circulară, după rotirea de 360° a axei $A_1 = N$

întuneric

(1 a)

După rotirea din jurul axei $A_4 = K$

(2)

întuneric

(2b)

lumină

(2 a)

După rotirea față de $A_2 = H$ axa $A_4 = K$ fiind readusă la 0° .

(3)

întuneric

(3b)

lumină

(3 a)

lumină

(3 c)

Cu aceeași poziție, înclinată față de axa $A_2 = H$, rotind secțiunea și în jurul axei $A_4 = K$

(4)

întuneric

(4 b)

lumină

(4 a)

lumină

(4 c)

lumină

(4 d)

izotrop

(4 b)

uniaxial pe
axa optică

(4 a)

mineral biaxial pe axa

(4 c)

optică

(4 d)

cu planul axelor
optice orientat
N-S

(4 c)

cu planul axelor
optic orientat
E-V.

(4 d)

SCHEMA B

Secțiune eliptică, după rotirea de 360° a axei $A_1 = N$

lumină
2 extincții
(1 b)

Cristalul adus pe rând în fiecare poziție de extincție cu direcția N - S, se rotește axa $A_4 = K$

(5)

într-o poziție

în cealaltă poziție în ambele poziții

întuneric

lumină

întuneric

lumină

(5 a)

(5 b)

(5 c)

(5 d)

Inclinând cristalul după axa $A_2 = H$ după ce axa $A_4 = K$ a fost adusă la 0°

(6)

întuneric
(6 a)

lumină
(6 b)

întuneric
(6₁)

întuneric
(6₂)

lumină
(6₃)

Cu aceeași poziție indicată față de axa $A_2 = H$, rotind secțiunea în jurul axei $A_4 = K$.

(7)

întuneric
(7 a)

lumină
(7 b)

lumină
(7₁)

lumină
(7₂)

lumină
(7₃)

lumină
(7₄)

Cristal uniax în secțiune principală

Cristal uniax în secțiune oarecare

Cristal biax

axa optică
II cu dir.
N-S

axa optică
II cu direc.
E-V

cu secțiunea principală
N-S

cu secțiunea principală ori simetrică
E-V optic

secțiune oarecare

(7 a)

(7 b)

(7₁)

(7₂)

(7₃)

(7₄)

b. - Determinări de cristale anizotrope în
secțiuni eliptice (Schema E)

După cum s-a putut urmări, mai sus a fost vorba numai de secțiuni circulare, monorefrigente care, la rotirea inițială a axei A_1 (N) au rămas tot timpul întunecate.

Secțiunile birefringente, care au prezentat în această rotire două direcții de extincție (1 b sch.E), vor fi analizate în detaliu în cele ce urmează.

(5) Se rotește, pe rând cristalul în jurul axei K, după aducerea lui în fiecare poziție de extincție cu direcția N-S.

- Într-o poziție, secțiunea rămâne întunecată la rotire (5a), în cealaltă se luminează (5b); cristalul este uniax.

- Secțiunea, sau rămâne întunecată (5c), sau se luminează (5d) în ambele poziții, cristalul este biax.

(6) Pentru cristalele uniaxe. Aducând axa K la 0° și rotind în jurul acei H, se observă că pe direcția anterioară întunecată (la rotirea axei K), secțiunea se luminează (6b) sau rămâne întunecată (6a).

- Dacă rămâne întunecată, înseamnă că avem de-a face cu o secțiune principală (paralelă cu axa optică) a cristalului uniax.

- Dacă se luminează, este vorba de o secțiune înclinată (oarecare)

(7) Controlând secțiunea principală astfel înclinată față de axa H, prin rotire în jurul axei K se pot prezenta două situații:

- Cristalul rămâne întunecat și atunci axa optică a secțiunii principale este paralelă cu direcția axei H (N-S); (7a).

- Cristalul se luminează și atunci axa optică este paralelă cu direcția axei K (E-V); (7b).

(8) Controlînd secțiunea "oarecare" care a fost luminată în poziție înclinată față de axa H, la rotirea axei K, aceasta rămîne tot luminată, ceea ce înseamnă că secțiunea este oblică ("oarecare") față de axa optică, dar că secțiunea principală a cristalului este orientată paralel cu axa H sau N-S (7_1).

(9) Direcția de extincție în raport cu axa A_1 (N), care la rotirea în jurul axei K (acum adusă la 0°) se luminase, se întunecă din nou dacă se rotește axa H (6_1).

(10) Dacă însă, cu această înclinare față de axa H se controlează secțiunea prin rotirea axei K, ea se luminează din nou.

Aceasta înseamnă că avem de-a face cu o secțiune "oarecare" a cristalului uniax, dar că secțiunea sa principală este orientată în direcția E-V.

Pentru cristalele biaxe, care la rotirea în jurul axei K rămîn, întunecate sau luminate, atît într-o poziție de extincție oît și în cealaltă, se readuce axa K la 0° .

(11) Inclînîndu-se secțiunea după axa H, se constată că:

- dacă secțiunea rămăsese pentru ambele direcții de extincție, întunecată la rotirea anterioară a axei K, atunci rămîne la fel, întunecată și acum (6_2).

- dacă secțiunea se luminează pentru ambele direcții, se luminează și acum în ambele direcții de extincție (6_3).

(12) Secțiunea astfel înclinată după axa H, se rotește acum după axa K (care fusese adusă la 0° înainte de această înclinare).

Se constată că ambele direcții sînt luminate, ceea ce confirmă anizotropia biax a cristalului și anume:

- Secțiunea care a fost întunecată și s-a luminat este o secțiune perpendiculară pe un plan de simetrie optic, pe cînd, în aceeași situație, o secțiune circulară uniaxă ar fi rămas întunecată (7_3).

- Secțiunea care a fost și a rămas tot luminată este o secțiune "oarecare" în cristalul biax (7_4).

În concluzie, în felul acesta s-au recunoscut:

- Cristale izotrope ($4b$),
- Cristale anizotrope, uniaxe cu secțiunile perpendiculare pe axa optică.
 - Cristalele uniaxe cu secțiuni principale (paralele cu axa optică) care au:
 - axa optică paralelă cu axa H ($7a$),
 - axa optică paralelă cu axa K ($7b$).
 - Cristalele uniaxe cu secțiunile "oarecare" (încălinate față de axa optică (7_1 7_2), la care se recunoaște:
 - dacă au secțiunile principale orientate N-S (7_1) sau
 - au secțiunile principale orientate în direcția E-V (7_2)
 - Cristalele anizotrope, biaxe, în secțiuni perpendiculare pe axa optică, care au:
 - planul axelor optice orientat pe direcția N-S (4_c)
 - planul axelor optice orientat în direcția E-V ($4d$)
 - Cristalele biaxe, în secțiuni perpendiculare pe un plan de simetrie optic (7_3).
 - Cristalele biaxe în secțiuni "oarecare" (7_4).

4.6. Determinarea semnului optic

a. - La cristalele uniaxe, o secțiune principală se aduce în poziție paralelă cu axa K și apoi se rotește de 45° .

La introducerea compensatorului se va constata o creștere în ordinea culorii de interferență pe direcția ng a compensatorului în cazul când cristalul este optic pozitiv și o scădere a ordinului de culoare în cazul când este optic negativ.

Pentru cristalele biaxe, după ce secțiunile perpendiculare pe bisectoarea ascuțită se aduc în poziție paralelă cu axa K și apoi au fost rotite la 45° , în poziție diagonală, se determină semnul optic cu ajutorul compensatorilor.

Dacă bisectoarea unghiului ascuțit al axelor optice este ng, cristalul este optic pozitiv.

dacă np este bisectoarea acestui unghi, atunci cristalul este optic negativ.

4.7. Determinarea unghiului axelor optice

Cu ajutorul mesuței Fedorov, unghiul axelor optice se măsoară după procedeul deja prezentat sau se determină cu ajutorul stereogramelor în care s-a proiectat una din axe.

4.8. Determinarea poziției elementelor geometrice

a. Poziția fețelor de cristal se determină scoțind analizorul și aducând urma feței secționată în poziție paralelă cu axa H.

După aceea, se înclină secțiunea în jurul acestei axe pînă cînd urma feței de cristal se subțiază la maximum. În această poziție, fața este perpendiculară pe axa K. Coordonatele axei K și H, se citesc pe cercul gradat al axei N și respectiv pe arcele Wright.

b. Poziția planelor de clivaj după diferite direcții și a planelor de maclă se determină în mod asemănător, căutîndu-se ca prin adaptarea microscopului să se obțină linii cât mai subțiri ale urmelor de plan.

4.9. Reprezentarea grafică a datelor

a. Principii.

Pentru interpretarea măsurătorilor în scopul determinării caracterelor optice, a caracterizării cristalografice a mineralului și uneori, a stabilirii compoziției sale chimice, rezultatele obținute cu mesuța Fedorov sînt trecute în diagrame stereografice sub formă de puncte și curbe.

Acestea se compară apoi cu anumite stereograme determinatoare, cum sînt cele ale lui Reinhardt pentru feldespații plagioclazi (fig. 578 și 579), a căror determinare o dăm ca exemplu.



Fig. 578

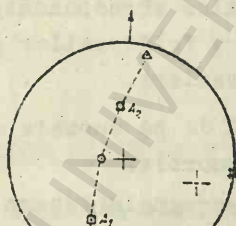


Fig. 579

b. Determinarea feldespatilor plagioclazi

Metoda este foarte mult folosită în studiul acestor minerale care constituie componenții principali ai rocilor magmatice.

Compoziția chimică variabilă a acestora și diferitele moduri de maclare pe care le prezintă plagioclazii, sînt indici deosebit de importante pentru caracterizarea rocilor respective și pentru interpretarea desfășurării procesului magmatic în care s-au format.

Datele optice obținute cu mesuța Fedorov dau tocmai posibilitatea determinării compoziției chimice și a legilor de maclare ale plagioclazilor.

În acest scop se determină unghiurile corespunzătoare pentru axele N, H, K notate respectiv cu n, h, k, după

- poziția direcțiilor de extincție în raport cu urma planelor de maclare sau alte elemente geometrice ale cristalului, deci:

- pentru ng, np și nm unghiurile n și h
- pentru poziția axelor optice, respectiv a_1 și a_2 , indicii k și k' ;
- pentru poziția planului de olivaj, indicii n și h
- la fel pentru poziția planului de maclă, indicii n și h ..

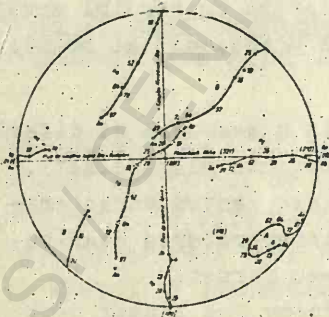
Rețeaua Vulf, cu aceste proiecții se suprapune peste stereogramele determinatoare prevăzute cu curbele de migrație a polilor corespunzători diferiților termeni din seria izomorfă a feldspatilor plagioclazi în cazul diferitelor legi de maclare.

Polii de pe curbele de migrare exprimă procentual conținutul de anortit.

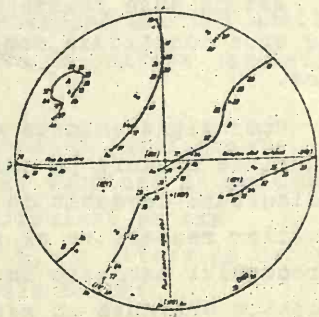
Stereogramele determinatoare reprezintă poziția elementelor optice fie în raport cu axele cristalografice, (fig. 580 a,b) fie în raport cu axele de simetrie optică (fig. 581).

II zona $[001]$

I zona $[001]$



a

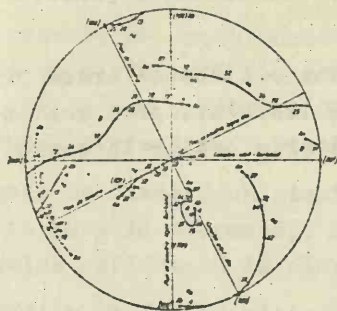


b

Fig. 580

II cu [010] - de simetrie optică

Fig. 581



5. STUDIUL CRISTALELOR OPAE LA MICROSCOP

Cristalele cu mare capacitate de absorbție a luminei nu mai sînt transparente nici în secțiuni obișnuite (0,02 mm). Ele se studiază prin reflexie cu ajutorul microscopului calcografic.

5.1. Microscopul calcografic

Acesta este un microscop polarizant la care s-a adaptat un dispozitiv numit iluminator opac.

Iluminatorul opac este prevăzut cu un bec electric de la care se transmite lumina prin nicolul polarizor și apoi prin reflexie pe fața argintată a unei prisme de sticlă, așezată într-o jumătate a tubului microscopului, spre secțiunea lustruită a cristalului opac ce urmează a fi studiată.

Lumina becului este, după cum știm, galbenă, ceea ce ar face să nu se aprecieze corect culoarea cristalului și să nu se poată distinge astfel nuanțele mai fine de culoare. Pentru a o face, într-o anumită măsură, lumină albă ca lumina naturală se interpun, în fața polarizorului niște filtre colorate.

Intre polarizor și secțiune se interpune un condensator prin care trece lumina la suprafața lustruită a ecistalului.

De aici, lumina reflectată trece prin obiectiv, printr-un filtru al analizorului, prin analizor și în cele din urmă imaginea trece prin ocular la ochiul observatorului (fig.582).

MICROSCOPUL CALCOGRAFIC

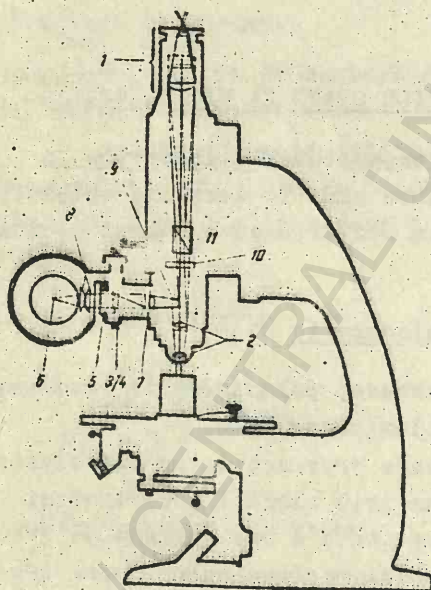


Fig. 582 a

ILUMINATOR OPAC

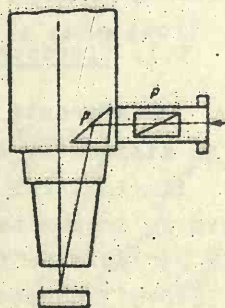


Fig. 582 b.

5.2. Caracterizarea cristalelor

Metoda este folosită în special pentru studiul minereurilor și se numește calcografie.

Pentru aceasta se secționează proba, iar suprafața perfect plană se șlefuiște din ce în ce mai fin pentru a nu avea goluri sau crăpături și apoi se lustruiește pentru a deveni perfect reflectată.

După aceea se fixează cu plastilină pe o lamă de sticlă, astfel ca pusă la microscop, suprafața lustruită să trimită lumina reflectată în câmpul acestuia.

Observațiile se fac și aici cu un singur nicol sau cu nicoli paraleli și cu nicoli încrucișați.

Cu microscopul calcografic se studiază puterea de reflexie, culoarea, policroismul de reflexie, anizotropia etc. precum și caracterele structurale ca granulația, conținutul, concreșterea, clivajele, spărturile, maculele etc.

a. Cu un singur nicol

- Puterea de reflexie se exprimă prin raportul dintre intensitatea luminoasă reflectată și cea incidentă,

$R = \frac{I_r}{I_i}$ și depinde de indicele de refracție și de coeficientul de absorbție al mineralului respectiv.

La mineralele izotrope, R rămâne neschimbat la rotirea platinei microscopului.

La mineralele anizotrope, variază cu direcția de la un minim R_1 la un maxim R_2 . Reflexiile extreme R_1 și R_2 se numesc reflexii uniradiale, iar diferența lor ΔR se numește bireflexie sau policroism de reflexie.

Puterea de reflexie mineralelor anizotrope se exprimă prin semisuma reflexiilor uniradiale $R = \frac{1}{2} (R_1 + R_2)$. În fapt aceasta se apreciază în poziția de 45° a secțiunii, când intensitatea este medie.

Bireflexia și reflexiile uniradiare de determină în pozițiile 0° și 90° .

Pentru măsurători se folosește microfotometrul sau un dispozitiv cu celulă fotoelectrică, iar aprecierea aproximativă se face cu ochiul prin comparație cu minerale cunoscute și cu celelalte minerale din secțiune.

În general mineralele de gangă, apar mate.

- Culoarea mineralelor metalifere depinde de capacitatea de reflexie pentru diferitele radiații din spectrul luminii albe.

Acestea arată că reflexia este selectivă și variază cu lungimea de undă.

Majoritatea mineralelor metalifere prezintă culoarea albă în diferite nuanțe care sînt de obicei asemănătoare cu culoarea albă dată de galena.

Sînt însă unele minerale care prezintă culori caracteristice. Astfel, calcozina apare albastruie, calcooperita, galbenă, pirotina brună etc.

b. Între nicoli încrucisați

Aici cristalele izotrope rămîn tot timpul întunecate sau luminate la rotirea platinei microscopului.

Cristalele anizotrope rămîn întunecate numai pe direcțiile axelor optice, pe cînd în celelalte secțiuni prezintă de patru ori extincțiune și de patru ori luminozitate maximă, în două culori (la 45°).

În lumină reflectată, unele minerale din sistemul cubic, cum este pirita magnetita etc., prezintă fenomene de anizotropie.

- Olivajul, spîrturile, conturul mineralelor se recunosc printr-o iluminare intensă a urmelor lor la fiecare 180° .

- Reflexe interne colorate de obicei în roșu sau brun apar la unele minerale ca ilmenitul, cromitul etc. tot pe urmele de clivaj, spărturi și pe conturul cristalelor.

c. Atacul cu reactivi

Pentru unele determinări, secțiunea lustruită se tratează cu anumiți reactivi corozivi.

Reactivii folosiți pentru atac trebuie să îndeplinească următoarele condiții:

- Să reacționeze rapid, dizolvând mineralul fără a intra în combinație chimică cu el;
- Asupra aceluiași mineral să acționeze selectiv pe diferitele sale direcții;
- Să nu formeze cu mineralul un precipitat insolubil;
- Să acționeze la temperaturi obișnuite;
- Să nu degaje vapori și gaze vătămătoare;

Atacul cu reactivi se face în două scopuri:

- În scopul determinării mineralului (coroziune diagnostică) și
- pentru scoaterea în evidență a texturii agregatului (coroziune texturală).

- Pentru determinarea mineralului se pune cu un fir de platină puțin reactiv pe suprafața lustruită și se observă la microscop schimbările care se produc.

De ex. HNO_3 acționează cu efervescentă asupra Ag ; HCl și FeCl_3 acționează fără efervescentă, iar HCN nu reacționează.

Asupra galenei, HNO_3 acționează ca și HCl fără efervescentă, iar KCN ca și FeCl_3 nu reacționează.

Asupra stibinei, care are aceeași culoare albă ca și ga-

Iena HNO_3 acționează fără efervescență, pe cînd HCl nu mai acționează. În schimb, reacționează simplu KCN .

Sînt tabele cu reactivii și reacțiile specifice, care alături de culoare, reflexie și alte caractere, ajută la determinarea mineralelor.

În cazul acestor reacții de coroziune diagnostică se iau măsuri pentru a proteja microscopul față de vaporii reactivilor.

- Pentru a pune în evidență structura și textura agregatului, se curăță perfect suprafața lustruită a probei, după care se introduce timp de 1-10 secunde în reactivul respectiv.

Eșantionul scos din reactiv se spală bine pentru a împiedica formarea de săruri pe suprafața sa, se usucă și apoi se pune la microscop.

Pe suprafața care a devenit acum mată, vor apărea o serie de adîncituri și ridicături care formează un relief de coroziune foarte caracteristic.

Se pun astfel în evidență lamele de maclă, planele de translație, conturul granulelor, orientarea lor, structurile zonare etc.

Studiul calcografic al mineralelor opace s-a dezvoltat în ultimele cîteva decenii, dar el prezintă o mare importanță, atît pentru recunoașterea mineralelor, stabilirea paragenezei lor și elucidarea **problemelor de geneză**, cît și pentru cunoașterea granulației, a modului de creștere a sistemelor de minerale metalifere și a raporturilor lor cu mineralele de gangă, în scopul stabilirii tehnologiei de preparare a minereurilor.

5.

CRISTALOGRAFIA
FIZICĂ

B.

ALTE
PROPRIETATI FIZICE
ALE
CRISTALELOR

5.

CRISTALOGRAFIA FIZICA

B.ALTE PROPRIETĂȚI FIZICE ALE CRISTALELOR

XXIII.

PROPRIETĂȚILE TERMICE

1. RAZELE CALORICE. CAPACITATEA DE ABSORBȚIE

Intru totul analoge cu proprietățile optice ale cristalelor, proprietățile termice reflectă comportarea cristalelor la acțiunea razelor calorice, care se deosebesc de cele luminoase, în această privință, doar prin lungimea lor de undă.

Si razele calorice se polarizează la trecerea lor prin cristale, iar razele polarizate vibrează tot în azimuturi perpendiculare. Deasemenea, cristalele care au polarizație rotatoare pentru razele luminoase, au polarizație rotatoare și pentru razele termice (ex. cuarțul). Si razele calorice se reflectă pe planele de cristale și se refractă la trecerea lor prin cristale.

Ca și pentru proprietățile optice, vom distinge, din punct de vedere al proprietăților termice, cristale izotrope și anizotrope; cristale anizotrope uniaxe și biaxe; cristale anizotrope aniaxe și biaxe pozitive sau negative.

CAPACITATEA DE ABSORBȚIE

După cum sînt cristale transparente și cristale opace pentru razele luminoase, tot astfel sînt și cristale

Cuarț
Trapezoid
trifon
H₂SO₄
K₂CO₃
H₂O
sting

transparente și opace pentru razele calorice. Cele transparente se numesc cristale diatermane, iar cele opace, adiatermane.

După cum majoritatea cristalelor au o absorbție selectivă (după lungimea de undă) pentru razele luminoase, adică sînt colorate, tot astfel sînt și cristalele care exercită o absorbție selectivă pentru razele calorice, adică sînt "colorate" din acest punct de vedere. "Încoloră" din punct de vedere termic sînt puține substanțe: KCl, NaCl, AgCl, ZnS etc.

De obicei cristalele care sînt transparente pentru razele luminoase sînt transparente și pentru razele calorice. Unele cristale fac însă excepție de la această regulă.

Așa este cazul calcitei, gipsului, alaiunului și în special al gheței, care sînt parțial sau total adiaterrmane.

Cristalele opace pentru razele luminoase sînt însă, în general, opace pentru razele termice, adică sînt adiatermane.

2. CONDUCTIBILITATEA TERMICĂ

Analogă cu propagarea luminii, conductibilitatea termică este o proprietate vectorială continuă, care se exprimă printr-un coeficient specific de conductibilitate k .

Acesta reprezintă cantitatea de căldură transmisă ortogonal prin fața unui cub cu latura de 1 cm. în unitatea de timp, cînd diferența de temperatură între fața de incidență și fața opusă a cubului este de 1°C . Coeficientul k se exprimă în cal/cm/S/grad.

Suprafața înfășurătoare a vectorilor care reprezintă valoarea lui k pe diferite direcții sau suprafața izotermă, este analogă cu indicatricea optică a cristalelor.

La cristalele izotrope, din sistemul cubic, va avea forma unei sfere; la cristalele din categoria mijlocie de simfonii va avea forma unui elipsoid de rotație alungit sau turbit, iar la cristalele din categoria inferioară de simfonii va avea forma unui elipsoid cu 3 axe.

Referindu-se la suprafețele izoterme construite cu vectorii coeficienților de conductibilitate și prin analogie cu indicii de refracție putem nota la cristalele uniaxe cu $k_{(g)}$ și $k_{(p)}$, iar la cristalele biaxe cu $k_{(g)}$, $k_{(m)}$ și $k_{(p)}$, coeficienții de conductibilitate pe direcțiile principale.

Astfel în cazul calcitei, din sistemul trigonal, $k_{(g)} = 0,096$ este în direcția : axei principale, iar $k_{(p)} = 0,083$ în direcția perpendiculară.

La cuarț, $k_{(g)} = 0,0325$ în direcția axei principale și $k_{(p)} = 0,0173$ în direcția perpendiculară.

La gipsul cristalizat în sistemul monoclinic, $k_{(g)}; k_{(m)}; k_{(p)} = 0,42; 0,64; 1$.

Senaremont, primul care a studiat conductibilitatea termică la cristale, a determinat forma suprafeței termice prin următoare experiență:

Punând capătul unui fir de argint încălzit în contact cu fața acoperită cu ceară a unui cristal se constată că în jurul firului căldura se propagă în două moduri:

- cu aceeași viteză în toate direcțiunile, suprafața de topire a cerei căpătînd formă de sferă;

- cu viteze diferite pe diferitele direcțiuni, suprafața de topire a cerei căpătînd formă de elipsă (fig. 583 a, b, c, d, e, f, g).

La cristalele izotrope rezultă pe toate fețele numai cercuri.

La cristalele anizotrope nu rezultă cercuri decît pe fețele perpendiculare pe axa termică; la cristalele uniaxe, perpendicular pe-o singură direcție, axa principală de simetrie, la cristalele biaxe, la fețele perpendiculare pe două direcțiuni corespunzătoare celor două axe termice.

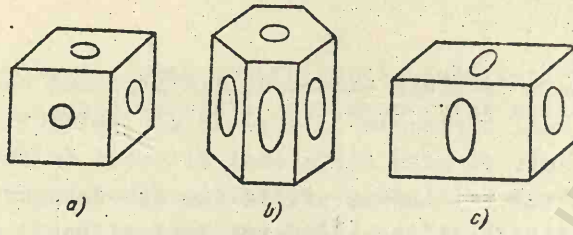


Fig. 583.



Fig. 583 d.

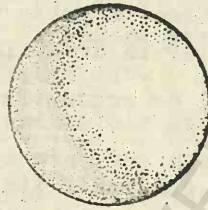


Fig. 583 e



Fig. 583 f.



Fig. 583 g.

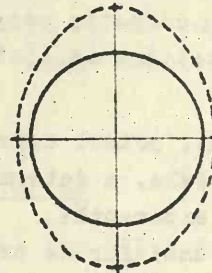


Fig. 583 h

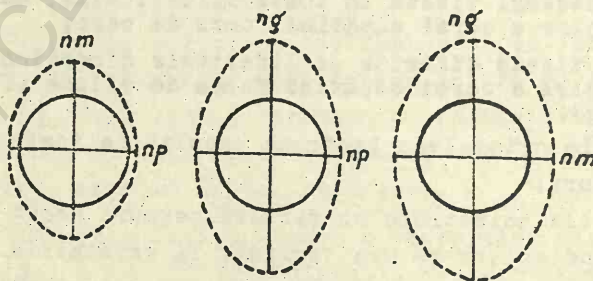


Fig. 583 i

Prin aceasta s-a verificat că și din punct de vedere termic, cristalele izotrope și anizotrope optice, sînt tot izotrope și anizotrope, suprafețele termice reprezentative fiind întru totul analoge cu indicatricile optice.

Si aici, cînd axa elipsoidului de rotație coincide cu direcția de conductibilitate maximă, cristalul uniax este pozitiv, iar cînd coincide cu conductibilitatea minimă cristalul este termic negativ.

Cristalele biaxe la care direcția de conductibilitate maximă coincide cu bisectoarea ascuțită a unghiului axelor termice sînt pozitive, iar cristalele la care conductibilitatea minimă coincide cu această direcție sînt termic negative.

Conductibilitatea termică este strîns legată de densitatea reticulară; cu cît aceasta este mai mare, cu atît și conductibilitatea este mai mare.

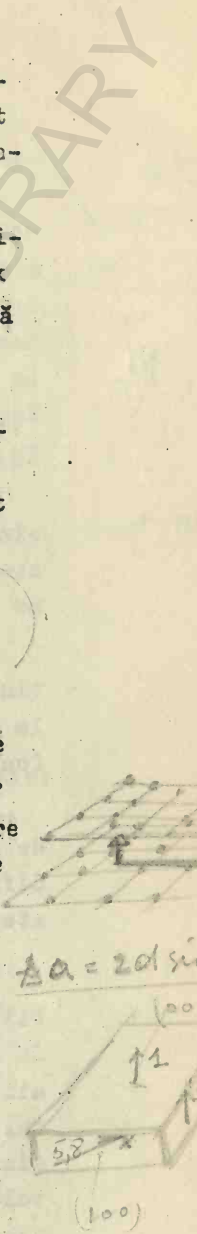
Acest lucru iese pregnant în evidență în cazul structurilor stratificate, unde densitatea reticulară este mult mai mare în interiorul straturilor decît între strate.

La grafit unde distanța dintre planele reticulare $d(10\bar{1}0)$ este 1,42 Å, iar distanța dintre planele reticulare orientate paralel cu baza, $d(0001) = 3,40$ Å, conductibilitatea pe direcția axei a este de patru ori mai mare decît pe direcția perpendiculară.

La mica albă (monoclinică) conductibilitatea în direcția planelor (100), a planului de simetrie, este de 5,8 ori mai mare decît în direcția axei c a planelor (001), iar în direcția planelor (010) a axei de simetrie perpendicular pe planul de simetrie, de 6,3 ori mai mare decît în direcția axei c.

Anizotropia termică se manifestă mult mai accentuat decît anizotropia optică. La ridicarea temperaturii însă, această diferență de conductibilitate se atenuiază.

Pentru aceeași substanță, conductibilitatea este mai mare la cristale decît la starea amorfă.



3. DILATAREA TERMICĂ

În general, prin încălzire cristalele își măresc volumul, se dilată. Sînt însă și unele cazuri, mai rare, cînd prin încălzire pînă la o anumită temperatură, volumul cristalului se micșorează, cristalul se contractă, iar peste această temperatură începe să crească din nou. La temperatura respectivă cristalul are volumul minim și densitatea maximă. Așa se întîmplă cu diamantul la $-42,3^{\circ}\text{C}$, cu oxidul cupros la $-4,3^{\circ}\text{C}$ etc.

Și dilatarea termică se explică printr-un coeficient care se numește coeficientul de dilatare, ce reprezintă alungirea unui cm. de cristal la creșterea temperaturii cu 1°C .

Dilatarea este tot o proprietate vectorială continuă. Coeficienții de dilatare variază cu direcțiunea la cristalele anizotrope și uneori această variație este foarte accentuată.

Odată cu creșterea temperaturii însă coeficientul de dilatare se modifică într-un raport invers, astfel că diferența dintre conductibilitatea pe diferite direcții se atenuază.

Dilatarea este invers proporțională cu conductibilitatea termică.

Cu cît coeficientul de conductibilitate este mai mare, cu atît coeficientul de dilatare este mai mic pentru un cristal, pe aceeași direcție. Astfel în cazul calcitei raportul dintre coeficienții de dilatare este $a:c=1:0,85$ iar raportul dintre coeficienții de conductibilitate este $a:c = 0,083: 0,096$.

Ca și conductibilitatea și dilatarea termică se poate reprezenta cu ajutorul coeficienților de dilatare pe diferitele direcții, prin aceleași suprafețe sferice sau elipsoidale, caracteristice fiecărei categorii de simfonii și deasemenea caracteristice simetriei feței (fig. 583 b).

Dacă se taie o sferă dintr-un corp cristalin izotrop și se încălzește, aceasta își mărește volumul dar rămâne tot o sferă.

Dacă însă se încălzește o sferă tăiată dintr-un cristal anizotrop, sfera se transformă într-un elipsoid cu 2 sau 3 axe, după cum este tăiată dintr-un cristal cu simetria categoriei mijlocii sau inferioare de simonii (fig. 583 h,i).

La poliedrele cristaline izotrope, prin dilatarea fețele rămân paralele cu poziția lor inițială. La cristalele anizotrope, rămân paralele cu poziția inițială numai fețele perpendiculare pe axele de simetrie, pe când cele înclinate își modifică unghiul de înclinare odată cu dilatarea.

Pe aceeași direcție, coeficientul de dilatare variază cu temperatura, însă această variație nu este prea importantă.

În cazul calcitei raportul dintre parametri este:

$$\text{la } -165^{\circ}\text{C, } a:c = 1:0,8508$$

$$\text{la } -20^{\circ}\text{C, } a:c = 1:0,8548$$

$$\text{la } +596^{\circ}\text{C, } a:c = 1:0,8733$$

La unele cristale, odată cu dilatarea pe o direcție se produce contracția pentru direcția perpendiculară. Astfel elipsoidul de calcită, la încălzire, se dilată după axa principală L^3 și se contractă în direcția perpendiculară.

Odată cu dilatarea cristalului se modifică și proprietățile optice; indicii de refracție se micșorează; se modifică birefringența și unghiul axelor optice, iar puterea rotatoare a cuarțului crește.

Dilatarea termică are o mare importanță în construcțiile tehnice pentru temperaturi înalte și cu variații mari și bruste de temperatură.



$$\Delta a = e(n_g)$$

Materialarele refractare folosite în industria metalurgică, sticla și materialele ceramice folosite în procese cu variații mari de temperatură se confecționează din materiale cu coeficient de dilatare foarte mic.

Se dă ca exemplu spodumenul $\text{Li Al}[\text{Si}_2\text{O}_6]$, care chiar la temperaturi de peste 1000°C are un coeficient de dilatare mai mic de $2,10^{-6}\text{mm}$.

5.

CRISTALOGRAFIA FIZICA

B. ALTE PROPRIETATI FIZICE ALE CRISTALELOR

XXIV.

PROPRIETATILE MAGNETICE SI ELECTRICE.

1. PROPRIETATILE MAGNETICE ALE CRISTALELOR

Atunci cînd un corp cristalizat este așezat între polii unui electromagnet sau ai unui magnet puternic, corpul este străbătut de fluxul liniilor de forță și în cristal se formează un cîmp magnetic indus. Indensitatea B a cîmpului magnetic indus depinde de intensitatea cîmpului magnetic inductor, care este reprezentată prin coeficientul de permeabilitate magnetică μ , după formula $B = \frac{H}{\mu}$. Permeabilitatea magnetică a corpului pentru liniile de forță este raportată la permeabilitatea magnetică a aerului luat ca unitate.

Dacă se suspendă cu un fir izolator, între polii magnetului, o baghetă de cristal sau un tubușor de sticlă cu pulbere de cristal, bagheta sau tubușorul se orientează, fie axial, adică paralele cu liniile de forță și sînt atrase de magnet, fie ecuatorial, adică perpendicular pe liniile de forță și sînt respinse de magnet. Cristalele care se orientează în direcția liniilor de forță sînt cele cu permeabilitatea magnetică $\mu > 1$. Se spune că acestea sînt paramagnetice. Așa sînt mineralele care conțin fier, berilul etc.

Cristalele cu permeabilitate magnetică $\mu < 1$ se orientează ecuatorial între polii magnetului și se spune că sînt diamagnetice. Așa este calcita, Ag, Bi etc.

Capacitatea de magnetizare a unui cristal într-un câmp magnetic inductor mai este exprimată și prin coeficientul de susceptibilitate magnetică $h = \frac{I}{H}$ în care I reprezintă intensitatea magnetizării cristalului, H intensitatea câmpului magnetic inductor, iar coeficientul de susceptibilitate K este luat în raport cu susceptibilitatea magnetică a aerului, considerată egală cu zero.

Susceptibilitatea magnetică poate fi pozitivă sau negativă.

Susceptibilitatea magnetică variază cu intensitatea câmpului magnetizat, crescînd pînă la o anumită valoare a intensității, după care începe să scadă.

Magnetizarea scade odată cu creșterea temperaturii pînă ce dispare la o anumită temperatură, caracteristică cristalului respectiv, numită temperatură critică sau punct Curie.

Pentru magnetită punctul Curie este de 525°C iar pentru pirotină 300°C .

$B = \frac{H}{\mu}$ Intensitatea inducției magnetice care se dezvoltă în cristale în anumite condiții favorabile, este direct legată de simetria cristalului și se manifestă ca o proprietate vectorială continuă, asemănătoare cu proprietățile termice și cele optice.

Si din punct de vedere magnetic deci, cristalele para sau diamagnetice pot fi izotrope, anizotrope; uniaxe pozitive sau negative și biaxe pozitive sau negative.

Dacă se taie o sferă dintr-un cristal izotrop (cubic) și se atîrnă cu un fir între polii unui electromagnet puternic, această sferă poate sta în echilibru în orice poziție. Inducția magnetică acționează la fel în orice direcție. Cristalul este izotrop și din punct de vedere magnetic.

$B = \frac{H}{\mu}$ inductor
induc
permeabil
magnetic
 $h = \frac{I}{H}$ intens magnetizării
câmp
inductor

Pentru a constata dacă este dia sau paramagnetic se atîrnă între polii magnetului un tub cu pulbere de cristal.

Cristalele din categoria mijlocie de singonii sînt și d.p.d.v. magnetic uniaxe. Ele pot avea para sau diamagnetismul cel mai puternic sau cel mai slab, fie în direcțiunea axei, fie în direcția perpendiculară pe axa elipsoidului magnetic.

În primul caz sînt diamagnetic sau paramagnetic uniax pozitive, în cel de-al doilea, sînt dia sau paramagnetic uniax negative.

Dacă se taie o sferă dintr-un cristal optic uniax și se atîrnă între polii electromagnetului cu un fir care merge în prelungirea axei, cristalul para sau diamagnetic va rămîne în echilibru în orice poziție. Direcția axială este o poziție de izotropie magnetică asemănătoare cu direcția de monorefringentă a indicatricei optice, adică o axă magnetică.

Dacă însă se atîrnă cristalul cu elipsodul de inducție într-o poziție perpendiculară pe axă atunci el se va orienta într-o anumită poziție de echilibru, după cum urmează:

- cristalul paramagnetic pozitiv se va așeza axial (de ex. siderita);
- cristalul paramagnetic negativ se va așeza ecuatorial (de ex. turmalina);
- cristalul diamagnetic pozitiv se va așeza ecuatorial (de ex. calcita);
- cristalul diamagnetic negativ se va așeza axial (de ex. zirconul).

La cristalele biaxe există ca și în cazul indicatricei optice, un elipsoid de inducție cu 3 diametre principale, în care există 2 secțiuni circulare, deci 2 axe magnetice perpendiculare pe acestea.

Dacă se ține o sferă dintr-un asemenea cristal și se atinge între cei 2 poli, în direcția uneia din axele magnetice, aceasta va rămâne în echilibru ca și cum cristalel ar fi izotrop.

Alinând-o în alte poziții însă, va căuța anumite orientări.

Axele de simetrie ale elipsoidului de inducție coincid la sistemul rombic cu cele 3 axe L , la sistemul monoclinic, una coincide cu L iar celelalte două se găsesc în planul de simetrie, iar la sistemul triclinic elipsoidul are o poziție oarecare.

În general, atunci cînd cristalel este scos din cîmpul magnetic inducția încetează. Acesta este magnetismul temporar.

Sînt însă și cristale ale căror magnetism de inducție se păstrează și după scoaterea lor din cîmpul magnetic. Acestea au un magnetism remanent.

Pirotina și oligistul, care sînt magnetici uniaxi, au un magnetism remanent foarte mare în direcția axei și foarte mic în direcția perpendiculară.

Sînt unele minerale cristalizate care prezintă un magnetism natural propriu, cum este în general magnetita, Fe_3O_4 . Acesta este un magnetism permanent.

Aplicațiile practice în separarea magnetică a mineralelor ca și în prospectarea magnetometrică a zăcămintelor de fier prezintă o deosebită importanță și sînt larg introduse.

2. PROPRIETĂȚILE ELECTRICE

Dintre proprietățile electrice ale cristalelor va fi prezentată mai întîi conductibilitatea electrică, deci o proprietate care se referă la cristalele bune conducătoare de electricitate, iar apoi proprietățile electrice

ale cristalelor rău conducătoare de electricitate sau izolatoare. Din această categorie fac parte termoelectricitatea, piroelectricitatea, piezoelectricitatea și polarizarea electrică.

2. 1. Conductibilitatea electrică

Din punct de vedere al conductibilității se deosebesc cristalele bune conducătoare electric și rău conducătoare, izolatoare sau dielectrice.

Bune conducătoare de electricitate sînt metalele, unele minerale cu proprietăți metalice ca pirita, calcopirita etc., iar rele conducătoare sînt în general cristalele mineralelor cu aspect sticlos, ca de ex. mica cuarțul etc.

Există și tranziții, cristale cu conductibilitate intermediară, cum se întîlnește la unele sulfuri, sulfosăruri etc.

Se deosebesc de asemenea o conductibilitate ionică (de ex. în soluții) și o conductibilitate electronică (de ex. la metale).

Conductibilitatea electrică este o proprietate vectorială continuă întru totul asemănătoare cu conductibilitatea termică și deci poate fi reprezentată prin suprafețe asemănătoare cu indicatricea.

Suprafața conductibilității specifice a cristalelor izotrope este o sferă.

La cristalele uniaxe această suprafață are forma unui clipsoid de rotație pozitiv sau negativ, de ex. la bismut $a : c = 1 : 1,6 (+)$ pe cînd la oligist $a : c = 1,96 : 1 (-)$

La cristalele anizotrope biaxe, suprafața de conductibilitate electrică este un elipsoid cu 3 axe.

La metale conductibilitatea variază foarte puțin cu direcțiunea pe cînd la unele minerale și mai ales la cele puternic dielectrice, conductibilitatea variază mult cu direcțiunea.

Astfel, conductibilitatea electrică a cuarțului pe direcția axei principale (L^3) este de sute de ori mai mare decât pe direcțiile perpendiculare.

Inversul conductibilității este rezistența electrică și de obicei în măsurători se folosește aceasta. Rezistența, deci și conductibilitatea, variază odată cu modificarea temperaturii. La încălzire crește rezistența electrică a cristalelor. Și această variație se manifestă mai slab la metale și mai puternic la cristalele dielectrice.

Aplicațiile practice ale conductibilității, deosebit de importante pentru geologie, sînt:

- Separarea electrostatică a mineralelor, care se bazează pe marea variație a conductibilității de la un mineral la altul și

- Prospectarea electrometrică a subsolului, care se bazează deasemenea pe conductibilitatea diferită a mineralelor, rocilor și minereurilor.

Metodele de prospecțiune electrometrică se bazează pe inversul conductivității, adică pe rezistivitate, care determină intensitatea curentului ce trece prin corpul mineral respectiv, cînd i se aplică o anumită diferență de potențial.

În afară de prospecțiunea electrometrică a mineralelor se folosește și carotajul electric pentru prospectarea zăcămintelor de petrol, precum și pentru studiul structural petrografic și tehnico-geologic al unor formațiuni, în vederea marilor construcții industriale și a barajelor.

2.2. Termoelectricitatea

Dacă se studiază două metale iar capetele lor libere se leagă printr-un conductor, de ex. de cupru, în circuit intercalîndu-se un galvanometru, se constată că

la încălzirea punctului de sudură se produce un curent electric. Acesta se numește curent termoelectric, iar cele două metale sudate constituie un cuplu termoelectric.

Materialele de la care se scurge curentul se numesc termoelectrice pozitive, cele spre care se îndreaptă, termoelectrice negative.

Pentru metale a fost stabilită o serie termoelectrică de la cele mai pozitive la cele mai negative și anume:

(+) Sb, As, Pe, Zn, Au, Cu, Pb, Sn, Ag, Mn, Co, Pd, Pt, Ni, Bi (-)

Curentul termoelectric este cu atât mai puternic cu cât termenii cuplați sînt mai îndepărtați în serie.

Deasemenea, cu cât se încălzește cuplul la o temperatură mai înaltă, cu atât curentul termoelectric este mai puternic.

Pe aceasta se bazează construcția termocuplurilor pentru măsurarea temperaturilor foarte înalte ale cuptoarelor electrice etc. la care termometrele obișnuite nu pot fi folosite. De ex. Pt.-Pt, Rh pînă la 1600° , sau Ir - Ir, Ru pînă la 2000° .

Unele minerale dau termocupluri care produc curent mult mai puternic decît metalele. Astfel cuplul pirită-calcopirită dă un curent de 7,8 ori mai puternic decît termenii extremi ai seriei de mai sus (Sb-Bi), iar cuplul pirită-galenă de 13 ori mai mare.

Termoelectricitatea este legată atît de natura cristalelor cuplate cît și în mod esențial de structura internă.

Astfel se constată că chiar două cristale ale aceluiași mineral, pirită, dar care au forme hemiedrice de semn contrar și deci aranjament structural invers, unul dodecaedru pentagonal (+) și celălalt, dodecaedru pentagonal (-) pot forma un cuplu termoelectric care dă un curent mai puternic de cît al cuplului Sb-Bi.

Deasemenea s-a constatat că și din două baghete tăiate pe două direcții diferite ale unui aceluiași cristal anizotrop, bun conducător de electricitate, de ex. Sb sau Bi, pot forma un cuplu termoelectric.

Impuritățile dintr-un mineral îi pot modifica puterea și chiar sensul termoelectric. De aceea se întâlnesc minerale de același fel, care însă, față de același metal, la cuplare dau uneori putere termoelectrică pozitivă, iar alteori negativă.

Fenomenul este reversibil. La trecerea unui curent electric printr-un asemenea cuplu se produce încălzirea lui la punctul de sudură.

P i r o . ș i p i e z o e l e c t r i c i t a t e a

Pentru cristalele izolatoare, rău conducătoare de electricitate deci, sînt caracteristice două proprietăți: aceea de a se încălzi electric pozitiv la un capăt și negativ la capătul opus, la variația temperaturii, ceea ce constituie piroelectricitatea și aceea de a se încălzi electric la compresiune sau tracțiune, ceea ce constituie piezoelectricitatea.

2.3. Piroelectricitatea

Încălzind la mijloc un cristal de turmalină se constată că acesta se încălzește electric pozitiv la un capăt și negativ la capătul opus.

Polul care se încălzește pozitiv la încălzire se numește pol analog, cel care, la încălzire, se încălzește negativ se numește pol antilog.

În cazul răcirii pînă la temperatura inițială, sarcina de la cei doi poli dispăre.

Dacă se răcește însă cristalul sub temperatura inițială, cristalul se încarcă din nou electric la cele două capete, dar în mod invers; polul analog se încarcă negativ și cel antilog, pozitiv.

Acest fenomen este pus în evidență prin următoarea experiență a lui Kundt:

Se încălzește cristalul într-o baie de aer și apoi se trece repede prin flacăra unui bec de gaz legat la pământ printr-un fir metalic. În acest mod, prin intermediul flăcării, se descarcă electricitatea produsă pe suprafața cristalului la încălzire.

Se lasă cristalul să se răcească pînă la temperatura inițială (a camerei). După aceea, se suflă printr-o sită deasă de mătase și se lasă să cadă lent pe suprafața cristalului un amestec de pulbere fină de sulf și miniu de plumb.

Într-o parte se va depune numai pulbere roșie de miniu, iar în cealaltă parte, numai pulbere galbenă de sulf.

Pulberea de miniu, încărcată pozitiv prin frecare la trecerea prin sită, se depune la polul încărcat negativ, iar pulberea de sulf, încărcată negativ, se depune la polul care s-a încărcat pozitiv în timpul răcirii cristalului.

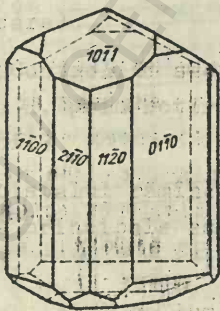


Fig. 584 a.



Fig. 584 b.

Haüy a pus în legătură fenomenul de piroelectricitate cu simetria cristalului. După cum știm, turmelina cristalizată în clasa C_3 are o axă L^3 polară, așa cum se observă la forma poliedrică unde se găsesc fețe diferite la cele două capete ale axei (fig. 584).

Piroelectricitatea se manifestă numai la cristalele cu axe polare de simetrie și anume la cele 5 clase care au numai axe, L^1 , L^2 , L^3 , L^4 , L^6 și la cele 5 clase planale cu P , L^2P , L^3P , L^4P și L^6P .

În clasa L^1 , toate direcțiile sînt polare, iar în clasa cu P sînt polare toate direcțiile, afară de cele perpendiculare pe planul de simetrie.

În celelalte clase există cîte o singură direcție polară, cea a axei principale de simetrie.

Polaritatea se explică prin aranjarea ionilor din șirurile reticulare, cu ordine diferită de succesiune în cele două sensuri, așa cum se vede din fig. 585 a, b.

Cantitatea de electricitate care se formează la cei doi poli este cu atît mai mare cu cît diferența de temperatură este mai mare și cu cît secțiunea cristalului este mai mare. Ea nu depinde însă de lungimea cristalului.



Fig. 585 b

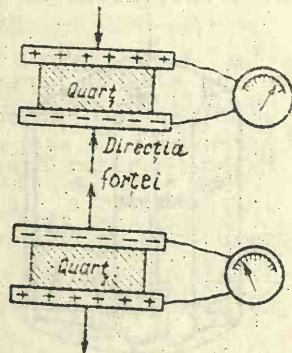


Fig. 585 c

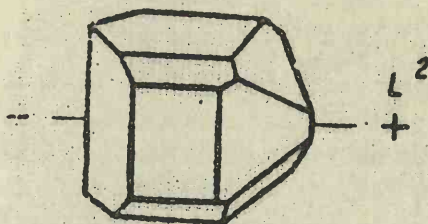


Fig. 585 d

Mai sînt cristale, care prezintă fenomenul de piroelectricitate și în alte clase, dar acestea se încarcă electric numai la încălzire neuniformă. De ex. blenda, din clasa Td, Apar. în acest caz patru axe polare care corespund cu cele patru axe L^3 . La fel la cloratul de potasiu din clasa T.

2.4. Piezoelectricitatea

Fenomen analog cu piroelectricitatea, piezoelectricitatea constă din aceea că atunci cînd un cristal dielectric este supus la un efort mecanic de compresiune sau tracțiune, exercitat pe direcțiunea unei axe polare, acesta se încarcă la un capăt al axei cu sarcină pozitivă și la celălalt capăt cu sarcina negativă.

Poli pozitiv la compresiune, sînt negativi la tracțiune și invers.

Acesta este efectul piezoelectric direct.

Se cunoaște însă și fenomenul invers, cînd sub acțiunea unui cîmp electric se produce dilatarea sau contractia cristalului, după semnul în care se leagă cei doi electrozi (+ și -) de capetele axei polare.

Acesta este efectul piezoelectric invers.

Cuarțul din clasa L^33L^2 prezintă ca axe polare cele 3 axe L^2 de pe mijlocul muchiilor de prismă.

Dacă o lamă de cuarț tăiată perpendicular pe una din axele polare și montată între două plăci metalice, care îndeplinesc rolul de electrozi, este supusă la un efort de compresiune, plăcile se încarcă cu sarcini electrice egale, dar de semn contrar pentru cele două fețe opuse ale lamei. La tracțiune polii se inversează (fig. 585 c).

Dacă efortul mecanic este exercitat în direcția axei L^3 nu se produce nici un efect piezoelectric, axa L^3 nefiind polară. Deasemenea, cristalele de cuarț care prezintă macla Braziliană (dr) + (st.) nu prezintă calități piezoelectrice.

Dacă se stabilește o diferență de potențial alternativ între cele două plăci așezate pe fețele lamei, se produce o dilatare și contracție alternativă a lamei pe direcția axei polare adică lama vibrează. Frecvența vibrațiilor va fi egală cu frecvența potențialului alternativ.

Cuarțul joacă rolul de transformator al energiei mecanice în energie electrică și invers.

Mărimea sarcinei electrice rezultată în urma efortului mecanic depinde de mărimea acestei forțe (f) și de constanta piezoelectrică a cristalului (k) astfel că $q = fk$.

De aici rezultă că sarcina electrică nu depinde de grosimea lamei.

Astfel efectul piezoelectric direct cât și cel invers se produce în general, la cristalele care n-au centru de simetrie, cu excepția celor din clasa O , cu $3L^44L^36L^2$, care din cauza simetriei prea ridicate au constantele piezoelectrice egale cu zero.

Importanța efectului piezoelectric este foarte diferită la diferitele cristale. Cele mai importante cristale piezoelectrice sînt cele de cuarț și cele de sare Seignette.

De asemenea, cristalele unor substanțe dau efecte piezoelectrice diferite pe direcții diferite.

Piezoelectricitatea cristalelor ionice se explică tot prin polaritatea succesiunii alternative a ionilor în șirurile reticulare (fig. 585 a,b).

Aplicațiile practice ale cristalelor piezoelectrice sînt foarte variate: stabilizatori de frecvență în radioemisie, oscilografe, amplificatoare și microfoane piezoelectrice, generatoare de ultrasunete etc.

Ultrasunetele care se produc prin efectul piezoelectric invers se propagă prin apă la 10 km. cu viteza de 1300 m/s și de aceea se folosesc la comunicațiile dintre nave, la măsurarea adîncimii mărilor, la depistarea obstacolelor și submarinelor etc.

2.5. Polarizarea dielectrică

Cristalele dielectrice se comportă într-un câmp electric tot așa cum am văzut că se comportă într-un câmp magnetic.

O sferă tăiată dintr-un cristal dielectric și așezată între doi conductori electrici cu sarcini de semn contrar (+ și -) se electrizează și se orientează, în poziția de echilibru, cu axa de electrizare în direcția liniilor de forță ale câmpului electric.

Polarizarea dielectrică a cristalului corespunde cu magnetizarea de inducție.

Așa cum am cunoscut în cazul magnetizării coeficientul de susceptibilitate magnetică (k) se cunoaște și în cazul polarizării electrice un coeficient de susceptibilitate electrică (ϵ , etc.).

Valoarea polarizării electrice, P depinde de natura, simetria și structura cristalină, exprimate prin coeficienții de susceptibilitate și de constantele dielectrice (ϵ).

Susceptibilitatea electrică depinde de structura reticulară a cristalului, în fond, de natura și aranjarea atomilor sau ionilor, în care se produc deplasări ale sarcinilor lor pozitive și negative sub influența câmpului electric inductor.

Valoarea constantelor dielectrice este cu atât mai mare, cu cât densitatea reticulară este mai mare.

Astfel, la calcită, în direcția perpendiculară pe axa c , unde densitatea este mai mare, și constanta dielectrică $\epsilon = 8,58$ este mai mare decât în direcția axei c unde $\epsilon = 8,02$.

La baritină, care are densitatea maximă a rețelei în direcția axei b , și constanta dielectrică în această direcție este mai mare :

$$\epsilon_a : \epsilon_b : \epsilon_c = 7,65 : 12,6 : 7,7.$$

Si aici se cunosc cristale electric izotrope și cristale anizotrope, uniax-pozitive, uniax negative, biax pozitive și biax negative, iar poziția elipsoizilor este în același fel orientată în raport cu simetria cristalului.

De ex. NaCl , care este izotropă, are $\epsilon = 5,77$; calcită, trigonală, este uniax negativă, $\epsilon_a = 8,58$ iar $\epsilon_c = 8,02$. Cuarțul, tot trigonal, este uniax pozitiv și are $\epsilon_a = 4,34$ iar $\epsilon_c = 4,60$.

5.

CRISTALOGRAFIA FIZICA

B. ALTE PROPRIETATI FIZICE ALE CRISTALELOR

XXV.

PROPRIETĂȚILE MECANICE.

Totalitatea forțelor care țin legate între ele particulele componente ale unui corp solid într-o stare de echilibru ce determină forma și volumul său specific, asigură prin aceasta coeziunea corpului respectiv.

La corpurile amorfe omogene aceste forțe se exercită cu aceeași intensitate în toate direcțiile și sensurile.

La cristale, unde particulele sînt așezate ordonat în rețeaua tridimensională, coeziunea variază cu direcțiunea, fiind mai puternică în direcția șirurilor reticulare cu noduri mai dese și mai slabă în direcția șirurilor reticulare cu noduri mai rare.

După cum știm, forțele care asigură această stare de echilibru spațial sînt rezultantele unor forțe de atracție și a unor forțe de respingere.

Prin acțiuni mecanice exterioare acest echilibru poate fi deranjat, particulele componente putînd fi mai apropiate sau mai depărtate între ele, deplasate sau chiar despărțite unele de altele. Cristalul poate astfel suferi deformațiuni cu modificarea volumului și formei sau chiar ruperea unor părți ale sale.

Aceste deformațiuni depind de natura, intensitatea, direcția și sensul în care se exercită forțele exterioare.

Deplasarea particulelor componente, prin apropierea sau depărtarea lor unele de altele și deci dilatarea și contractia cristalului, se poate produce și prin acțiunea termică, dar consecințele acesteia au fost reprezentate separat.

Aici ne vom referi numai la deformațiile suferite de cristale sub acțiunea forțelor exterioare mecanice.

Dacă intensitatea forțelor mecanice exterioare nu depășește anumite limite în raport cu forțele de coeziune, deformațiunile au un caracter trecător și reversibil. După încetarea cauzei care le-a produs, cristalul își recapătă forma și volumul.

Acestea se numesc deformații elastice.

Dacă însă forțele mecanice exterioare depășesc aceste limite, deformațiile se mențin și după încetarea cauzei care le-a produs, sînt ireversibile.

Acestea se numesc deformațiuni permanente.

În cazul cînd în urma acestor deformațiuni ireversibile se menține și în noua poziție reticulară și morfologică, o stare de coeziune a cristalului, deformațiile se numesc deformații plastice.

În cazul cînd forțele mecanice exterioare au depășit și limita pînă la care mai era posibilă numai deplasarea particulelor în cadrul rețelei cristaline, cu păstrarea deci a coeziunii, se produce ruperea cristalului sau, cum se mai spune, se produc deformațiuni rupturale.

Cristalul se desmembrează prin desfacerea după anumite zone reticulare, prin clivaj, prin ruperea planelor reticulare transversal și neregulat, prin spargere și prin sgîriere.

1. ELASTICITATEA

Elasticitatea este deci proprietatea corpurilor, solicitate de acțiuni mecanice exterioare dirijate, de a se deforma și de a-și recăpăta apoi forma și volumul

inițial, de îndată ce aceste forțe își încetează acțiunea.

Acționând în sens contrar forțele de coeziune, aceste forțe creează tensiuni în cristal și deplasează particulele din nodurile rețelei în poziții noi, de echilibru nestabil.

Îndată ce acțiunea forțelor externe încetează, tensiunea necompensată va readuce particulele în poziția lor inițială.

Elasticitatea este o proprietate fizică bivectorială sau tensorială, o proprietate care deși variază cu direcțiunea, are însă aceeași valoare în ambele sensuri ale aceleiași direcții.

Elasticitatea se păstrează numai pînă la o anumită limită pînă la care, forțele mecanice exterioare care se exercită asupra cristalului nu depășesc forțele interne de coeziune. Aceasta este limita de elasticitate, peste care, deformația devine ireversibilă, rămîine permanentă.

Dacă se taie dintr-un cristal o baghetă prismatică de lungime L , orientată după o anumită direcție și se supune, la tracțiune, atîrnînd de ea o greutate P , sau la compresiune, așezînd pe ea o greutate, bagheta va căpăta o alungire sau o scurtare, avînd lungimea $L + l$ sau $L - l$.

Alungirea sau scurtarea l depinde, pe de o parte de dimensiunile baghetei, lungimea secțiunii, BD și de forța exercitată P , iar pe de altă parte, de compoziția, structura și direcția de tăiere a cristalului cercetat, exprimate printr-un coeficient \mathcal{E} :

$l = P \frac{L}{BD} \cdot \mathcal{E}$, sau $\mathcal{E} = \frac{l \cdot BD}{L \cdot P}$, în care l , B și D se exprimă în mm. L se exprimă în m și P în kgf. Coeficientul \mathcal{E} este coeficientul de elasticitate.

Coeficientul de elasticitate \mathcal{E} reprezintă deci alungirea în mm. a unei baghete cu lungimea de 1 m. și

secțiunea transversală de 1 mm^2 , când este supusă la un efort de tracțiune sau compresiune de 1 kgf .

Pentru $B = D = L = 1$, $l = P\xi$ sau $\xi = \frac{l}{P}$ și pentru

$P = 1$, $\xi = 1$.

Elasticitatea unui corp se mai apreciază și prin forța exprimată în kg ., necesară pentru alungirea cu 1 mm . a unei baghete cu lungimea de 1 mm . și secțiunea de 1 mm^2 , adică dublarea ei. Acesta se numește modul de elasticitate și se înseamnă cu E .

Modulul de elasticitate este inversul coeficientului de elasticitate.

Din ecuația de mai sus, $P = \frac{l}{\xi}$, pentru $l = 1$, rezultă că $E = P = \frac{1}{\xi}$

Modulul de elasticitate exprimând forța necesară pentru alungirea corpului de 1000 mm . la m , deci dublarea lui, iar valori de 1000 ori mai mari decât coeficientul de elasticitate care se referă la alungirea de 1 mm . la m .

Pentru determinarea coeficientului de elasticitate, în afară de metoda prin tracțiune sau compresiune, se mai folosește și o metodă în care bagheta de cristal rezemată la capete, este supusă îndoirii cu o greutate pe mijloc (fig.586).

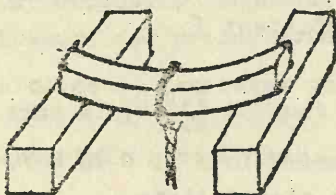


Fig. 586

Prisma se înconvoaie pînă ajunge la un echilibru între forța P și forțele elastice ale cristalului. Coeficientul de elasticitate se deduce din săgeata de încovoiere y măsurată cu ajutorul unui microscop catetometru, după formulă.

Coeficientul de elasticitate se mai poate determina și cu ajutorul undelor sonore pe baza unei relații bine definite care există

între frecvența acestor unde și elasticitate. Prin această metodă Savart a determinat în 1827 coeficientul de elasticitate pe diferite direcții la cristalele de cuarț, calcită și gips.

La corpurile amorse coeficienții de elasticitate au aceeași valoare în toate direcțiile pe cînd la cristale variază cu direcțiunea.

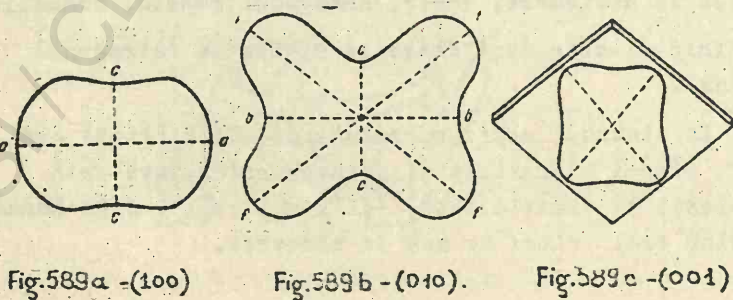
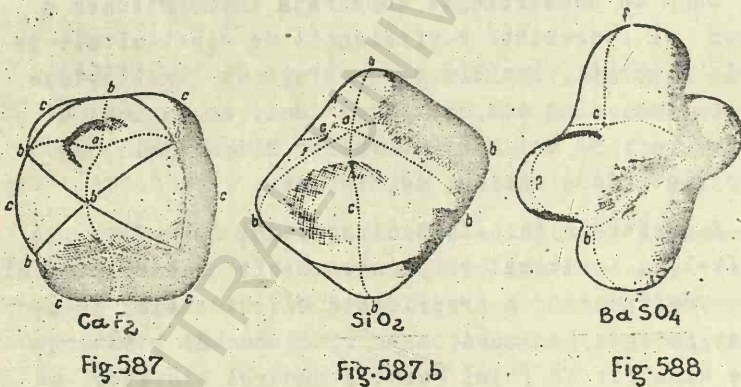
Dacă se construiește suprafața înfășurătoare a vectorilor ce reprezintă coeficienții de elasticitate pe diferitele direcții, rezultă o suprafață de elasticitate a cărei secțiuni sînt tot curbe continui, cu maxime și minime, dar care nu mai sînt suprafețe elipsoidale, ca în cazul proprietăților optice, termice etc.

Suprafețele de elasticitate sînt suprafețe de ordinul IV-lea, mult mai complicate decît cele elipsoidale și care, reprezentînd o proprietate bivectorială, de aceeași intensitate în ambele sensuri opuse; au totdeauna centru de simetrie. În felul acesta, numărul claselor de simetrie pentru elasticitate, se reduce la 9; cîte o singură clasă la sistemele, cubic, hexagonal, rombic, monoclinic și triclinic și cîte două clase la sistemele tetragonal și trigonal.

În sistemul cubic suprafața de elasticitate are simetria clasei planaxiale și este caracterizată prin 3 coeficienți de elasticitate ϵL^4 , ϵL^3 , ϵL^2 , care corespunde celor trei feluri de axe de simetrie.

La unele cristale ca, de ex. la CaF_2 și NaCl coeficientul maxim de elasticitate corespunde cu L^3 , cel mediu, cu L^2 și cel minim cu L^4 . Astfel, în cazul NaCl , $L^4 : L^3 : L^2 = 1,15 : 1,31 : 1,50$. Suprafața de elasticitate are forma unui balot cu colțurile și muchiile rotunjite și cu fețele concave ca în fig. 587.

La unele cristale cubice, ca de ex. la alaun, maximele corespund cu L^4 și minimele cu L^3 . Suprafața de elasticitate are forma unui balot octaedric cu muchiile și colțurile rotunjite, având 6 proeminente convexe spre



capetile axelor L^4 . In cazul baritinei, proeminentele se dezvoltă după cele 3 axe L^2 ș.a.m.d. (fig. 588).

Secțiunile perpendiculare pe axele L^3 sînt în ambele cazuri circulare.

Suprafața de elasticitate este cu atît mai complicată cu cît simetria este mai coborîtă.

Astfel, dacă pentru determinarea suprafeței de elasticitate la sistemul cubic au fost necesare 3 constante, la sistemul tetragonal sînt necesare 6 la sistemul rombic 9, iar la sistemul triclinic 21.

Elasticitatea poate fi reprezentată mai simplu prin curbe de elasticitate.

Acestea se construiesc cu ajutorul vectorilor de elasticitate pe diferite direcții ale unui plan și reprezintă în fapt intersecția planului cu suprafața de elasticitate. Așa sînt, de ex. curbele de elasticitate ale baritinei pe fețele (100), (110) și (111) (fig. 589 a, b, c) sau cele de pe fețele de alaiun și fluorină.

Figurile de elasticitate închise de aceste curbe exprimă simetria feței respective.

În deformațiile elastice se păstrează structura reticulară dar se modifică simetria. Astfel, prin alungirea după una din cele 4 axe ale unui cristal, acesta va căpăta simetria unui romboedru, deci va rămîne cu o singură axă L^3 ș.a.m.d.

Aplicațiile practice ale elasticității în determinarea mineralelor se bazează pe clasificarea acestora în patru grupe :

a. mineralele cu limita mare de elasticitate, care se pot îndoi puternic fără a-și pierde elasticitatea. De ex. miclele.

b. mineralele cu limită mică de elasticitate, care se îndoiesc puțin sau rămîn îndoite, de ex. gipsul, talcul;

c. minerale care se îndoiesc ușor, au coeziune foarte mare, sînt maleabile și ductile, de ex. Au, Cu, Ag.

d. minerale cu limită de elasticitate mică și cu coeziune mică, care sînt casante, de ex. stibiul, cuarțul.

Prospectarea seismică a subsolului reprezintă o foarte importantă aplicație a elasticității.

Pe baza faptului că odată cu creșterea modului de elasticitate al mineralelor și rocilor crește și viteza de propagare a undelor elastice, la contactul dintre două formațiuni diferite se vor produce schimbări în viteza de propagare, reflexie parțială etc. care pot fi înregistrate.

Prin această metodă se poate determina cu precizie adîncirea, conturul și grosimea unui corp de rocă sau minereu cu compoziția diferită de a mediului în care este localizat.

De ex. în rocile sedimentare afîinate, viteza de propagare este mai mică de 2000 m/s pe cînd în rocile eruptive și cristaline este de cca. 5000 m/sec.

2. PLASTICITATEA

Unele cristale au proprietatea, ca la o acțiune mecanică exterioară orientată ce depășește cu puțin limita de elasticitate, să sufere o deformare permanentă fără a-și pierde coeziunea.

Asemenea cristale se spune că sînt plastice, iar deformările pe care le suferă se numesc deformații plastice.

Deformarea constă în deplasarea particulelor componente, una față de alta, într-un anumit plan sau într-o anumită direcție.

Dacă deplasarea se face în mod regulat, cu amplitudine constantă, prin alunecarea simplă a planelor, care capătă prin aceasta o poziție simetrică prin oglindirea

față de planele rămase nedeplasate, se produc așa numitele macle mecanice sau macle de alunecare.

Dacă deplasarea planelor sau pachetelor de plane reticulare se face cu amplitudine diferită și în mod cu totul neregulat, se produc translațiile paralele.

2.1. Macle mecanice

Problema maclelor de alunecare a fost tratată în cadrul general al problemei maclelor. Aici vom reaminti doar experiența lui Baumhauer și vom căuta să explicăm mecanismul și caracterul translației prin care se formează aceste macle.

După cum am văzut, prin apăsarea cu o lamă ascuțită pe muchia polară a romboedrului de calcită, o parte a cristalului suferă o mișcare de alunecare, trecând într-o poziție simetrică prin oglindire față de partea care rămâne fixă (fig. 590).

Volumul porțiunii deplasate rămâne neschimbat.

Dacă luăm o secțiune principală, care trece prin cele două muchii polare opuse ale romboedrului, ab și od, precum și poziția simetrică în care s-a deplasat secțiunea romboedrului prin maculare, a'b' și c'd' (fig. 591), constatăm că în urma acestor alunecări, laturile rombului și toate dreptele paralele cu ele ca și normala în O, respectiv în O' la secțiunea principală, iar toate dreptele paralele cu această normală au mai rămas cu aceeași lungime.

Volumul porțiunii deplasate rămâne neschimbat.

Constatăm în schimb că diagonala lungă c-a a rombului care reprezintă secțiunea devine, după maculare, diagonală scurtă c a', iar diagonala scurtă d b devine diagonală lungă d b'.

Aceste direcții din secțiune au suferit cele mai mari modificări de lungime.

Considerînd o sferă cu centrul în O , care în secțiune apare sub forma unui cerc cu raza r , vom observa că toate secțiunile acestei sfere, paralele cu planul secțiunii principale devin, după deformare, elipse, iar sfera devine un elipsoid.

Punctele A, B, C, D și O ale sferei ajung în punctele A', B', C', D' , și O' ale elipsoidului.

Deasemenea punctele E, G , și H, I au ajuns în punctele E', G' și H', I' tot pe elipsă.

Dar, pe cînd distanțele $AO = OC = r$ s-au micșorat, devenind axe mici ale elipsei, $A'O' = O'C' < r$, iar distanțele $BO = OD = r$ s-au mărit devenind axe mari ale elipsei, respectiv $B'O' = O'D' > r$ distanțele $EO = OG = r$ și $HO = OI = r$ au rămas neschimbate, devenind $E'O' = O'G' = r$ și $H'O' = O'I' = r$, ca diametre ale unor secțiuni circulare.

Prima secțiune circulară corespunde cu planul paralel cu fața a cărei diagonală este bc , iar a doua corespunde cu planul translație.

În aceste plane și în toate planele paralele cu ele nu s-au produs deformări. Si după deformare, distanțele dintre nodurile acestor sisteme de plane paralele rămîn neschimbate.

După cum se vede, translația cu formarea de macle este o proprietate elipsoidală.

Maclarea mecanică poate fi considerată ca o alunecare progresivă a unor plane reticulare de-a lungul unei anumite direcții. Cu cît sînt mai depărtate planele reticulare de planul de alunecare, cu atît alunecarea este mai mare.

Amplitudinea alunecării este dată de unghiul dintre cele două poziții ale normalei la planul de alunecare.

Alunecarea este polară se face într-un singur sens al direcției respective.

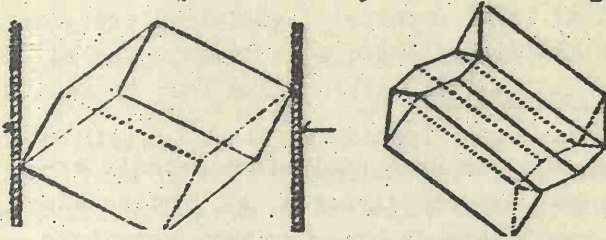


Fig. 590 a

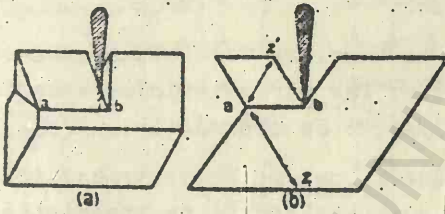


Fig. 590 b

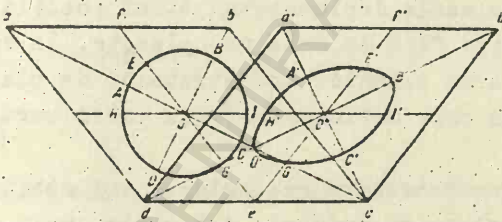


Fig. 591

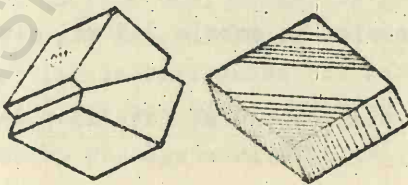


Fig. 592

Maclarea se poate repeta la același cristal de numărare ori, cum se întâmplă frecvent la calcita care a suferit presiuni tectonice. O asemenea maclă multiplă se numește ~~maclă~~ polisintetică (fig.592).

2.2. Translațiile

La unele cristale, în urma unui efort mecanic exterior, exercitat într-o anumită direcție, se produce alunecarea paralelă a unor strate de plane de mare densitate reticulară, fără ca prin acesta cristalul să-și piardă coeziunea. El suferă numai o deformațiune permanentă, care este o deformație plastică.

Planul, paralel cu care, se face alunecarea se numește plan de translație, iar direcția în care se face alunecarea se numește direcție de translație.

Dacă în cristal sînt mai multe asemenea direcții, identice simetrice, toate vor fi direcții de translație.

Dacă în cazul modificării mecanice alunecarea planelor reticulare se face în mod orientat și progresiv, într-un singur sens, planele deplasate căpătînd poziții simetrice prin oglindire față de cele nedepasate, în cazul translațiilor, alunecarea planelor sau stratelor de plane se face în direcția în care acționează forța exterioară și cu totul întîmplător.

Strate de plane de mare densitate reticulară, mai subțiri sau mai groase, se deplasează paralel, dar unele mai mult și altele mai puțin, în mod neregulat.

Maclarea mecanică era polară; translația este bivectorială.

Alunecarea se poate face aici în ambele sensuri ale direcției.

Deplasarea unui plan reticular față de planul vecin se face totdeauna cu o perioadă întreagă sau cu un multiplu

întreg de perioade. De altfel, translațiile nu sînt posibile, la cristalele ionice, decît după plane formate de ioni alternativ pozitivi și negativi, care și după deformare stau tot față în față, asigurînd menținerea coeziunii cristalului. Așa se întîmplă în cazul NaCl, la care translațiile se pot produce după planele (110) în direcția $[1\bar{1}0]$ ce corespund cu o axă L^2 (fig. 593).

Altfel, ioni de același semn, care s-ar afla față în față la mică distanță, s-ar respinge și cristalul s-ar desface, așa cum se întîmplă tot la NaCl, după fața (010) în direcția $[100]$ paralelă cu o axă L^4 (fig. 594).

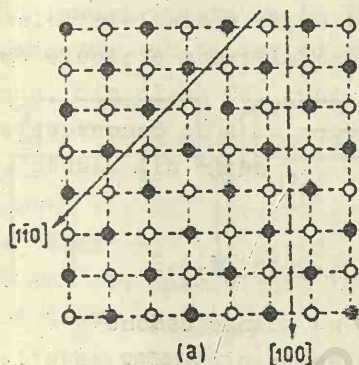


Fig. 593

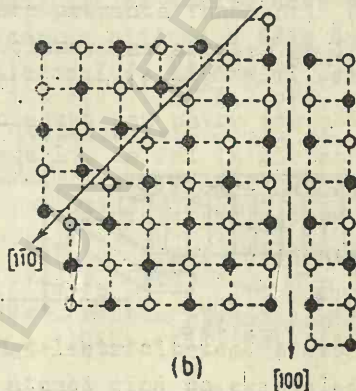


Fig. 594

Un exemplu foarte concludent de plasticitate îl prezintă gheața care cristalizează hexagonal-prismatic, cu axa L^6 orientată perpendicular pe suprafața apei liniștite din care se formează.

Dacă se taie trei prisme de gheață cu dimensiuni, de ex. $20 \times 3 \times 3$ cm., din care una cu lungimea în direcția axei L^6 iar celelalte două cu lungimea în direcția perpendiculară, se pot face următoarele experiențe:

- Sprijinindu-se prima bară, care are fețele (0001) în direcția perpendiculară pe L^6 , cu capetele pe două suporturi și atârându-se pe mijlocul ei, cu ajutorul unei funii, o anumită greutate, se constată că în partea superioară se formează, cu încetul, o adâncitură în care se tot îngroapă funia, iar la partea inferioară se formează o îndoitură convexă.

Se produce translația straturilor de plane (0001), așezată vertical, paralel cu planul în direcția căruia acționează greutatea (fig. 595).

- Se sprijină acum cu capetele pe suporturi una din cele două prisme tăiate transversal, astfel ca planele (0001) să aibă o poziție orizontală și se atâră iarăși greutatea. Prisma se va încovoia ca un pachet de cartoane,

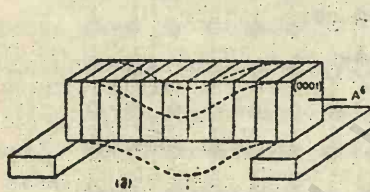


Fig. 595 a

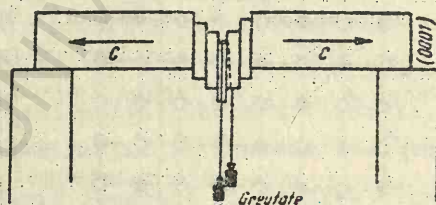


Fig. 595 b



Fig. 596 a

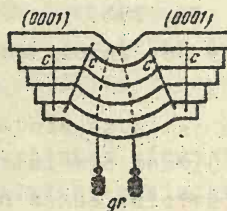


Fig. 596 b

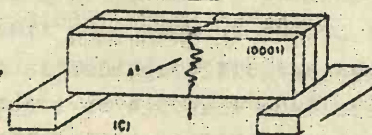


Fig. 597

dind o săgeată de încovoiere care arată că pe această direcție se produce o deformare elastică (fig.596).

- Dacă cealaltă bară transversală se așează cu capetele pe suporturi, astfel ca planele (0001) să aibă o poziție verticală, prisma nu se va mai îndoi ci, în cazul unei greutatei mai mari, se va rupe direct (fig.597).

Pe baza plasticității se explică și curgerea ghetarilor și tot pe baza plasticității se explică îndoirile și încrețiturile cristalelor lamelare, cum sînt micelle, cloritul etc., sau cutarea stratelor de sare care se observă uneori pe pereții ocnelor.

Tot pe translație se explică pătrunderea sării geme în sîmburele cutelor diapire.

Maleabilitatea și ductilitatea metalelor se explică deasemenea prin translații. Prin laminare, planele de translație ale metalului se așează cît mai paralel cu foile, iar prin tragere, planele de translație ale metalului capătă o orientare din ce în ce mai puțin înclinată față de direcția sîrmei sau firului tras.

La aur și la metale asemănătoare structural, translația se produce după planele (111) și după direcția [101].

Translația depinde și de temperatură. Prelucrarea metalelor se poate face și la rece dar la cald se face mai ușor.

Tot așa NaCl, la temperatura de 200° , poate fi ușor îndoită după direcția planelor de translație (110).

2.3. Figurile de lovire și de presiune

a. Figuri de lovire

Prin lovire, cu un vîrf ascuțit, sau prin apăsare, cu un vîrf rotunjit, pe suprafața unui cristal, se produc o serie de crăpături dispuse regulat în jurul punctului de lovire, după simetria feței respective.

Aceste crăpături sînt tot consecința translațiilor care se produc în cristal în urma șocului mecanic pe care-l produce lovirea, iar, în unele cazuri, de-a lungul lor se formează și macle de alunecare.

Pe fața de cub a sării geme se produc două crăpături diagonale, paralele cu fețele de dodecaedru romboidal (110), care sînt, după cum am văzut, plane de translație (fig. 598).

Figurile de lovire pe fața de octaedru a sării geme au forma unei stele cu trei brațe formate de crăpăturile care sînt orientate tot în direcția fețelor (110), de dodecaedru romboidal (fig. 599).

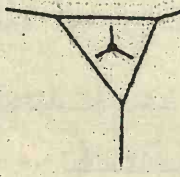
- Figurile de lovire pe fețele cristalului de calcită au forme diferite pentru diferitele sale fețe. Astfel, pe fețele (0001) figura este formată din trei linii care închid între ele unghiuri de 120° ; pe fețele (1010) se formează o figură cu cinci linii, din care una paralelă cu diagonala mare a feței de romboedru, respectiv cu axa L^2 , alta paralelă cu axa L^3 și două care sînt bisectoarele unghiurilor formate de primele.

- Pe fețele de romboedru (1011) se formează două drepte paralele cu muchia feței, care sînt legate prin striatiuni cu diagonala mare a feței (fig. 600) Aceste striatiuni sînt macle polisintetice de alunecare.



a)

Fig. 598



b)

Fig. 599



a)



b)

Fig. 600.

- Figurile de lovire pe o foaie de mică (monoclinic-pseudohehexagonală) au forma unei stele cu 6 brațe, din care unul mai dezvoltat, paralel cu (010), care dă posibilitatea să se cunoască orientarea lamei de mică chiar atunci cînd lipsește conturul propriu pseudohehexagonal al cristalului, (fig. 601).

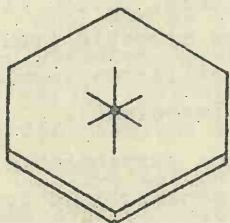


Fig. 601

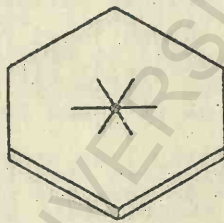


Fig. 602

b. Figurile de presiune sînt în general asemănătoare.

La cristalul de mică se produce și în acest caz o stea cu 6 brațe, dar acestea sînt decalate cu 30° față de cele din figura de lovire așa încît crăpătura principală este perpendiculară pe (010) - (fig. 602).

3. PROPRIETATI RUPTURALE

3.1. Clivajul

Proprietatea pe care o au unele cristale de a se desface după fețele plane atunci cînd sînt supuse la o acțiune mecanică exterioară orientată care depășește coeziunea cristalului, se numește clivaj.

Coeziunea variază cu direcțiunea, putînd fi foarte mică pe o direcție și foarte mare pe direcția imediat învecinată. Cristalul clivează pe direcțiile de coeziune minimă și nu clivează pe direcțiile învecinate.

Clivajul se produce după plane perpendiculare pe direcțiile de coeziune minimă și se manifestă cu aceeași intensitate și atunci cînd acțiunea mecanică se exercită într-un sens, și cînd se exercită în sensul contrar al aceleiași direcțiuni.

Este deci o proprietate vectorială discontinuă și anume, o proprietate bivectorială.

Intr-un cristal pot exista mai multe direcții diferite de clivaj, în care clivajul se produce cu grade diferite de intensitate.

Astfel clivajul după fețele (100) ale sării geme este mult mai bun decît după fețele (110).

În toate direcțiile de clivaj echivalente din punct de vedere simetric clivajul se produce identic.

Planele de clivaj sînt plane de mare densitate rețiculară și deci sînt fețe posibile de cristal și anume, fețe cu înclinări foarte mici, care au aproape exclusiv indici 1 și 0.

Mai întîi, Bravais, a observat că clivajul se produce paralel cu planele de cea mai mare densitate rețiculară, în interiorul cărora, particulele sînt foarte

strâns legate și deci pe direcția perpendiculară în care acționează forțele cele mai slabe de legătură.

Ulterior, Vulf, a observat că nu în toate cazurile clivajul cel mai bun se face după planele reticulare cele mai dense și a ajuns la concluzia că nu numai factorii geometrici, de aranjare a particulelor în rețea, sînt cei care condiționează clivajul ci, în mod determinant, clivajul este condiționat de factorii electrostatici de legătură.

După cum se știe, structura diamantului este identică cu structura blendei, cub centrat pe fețe, în interiorul căruia 4 atomi formează un tetraedru, ocupînd jumătate din golurile tetraedrice.

Intr-o astfel de rețea, planele reticulare cele mai dese sînt planele (111), după care urmează planele (110) și apoi planele (100).

La cristalele de diamant, formate din atomi de același fel, clivajul cel mai bun se face într-adevăr, după regula lui Bravais, pe fețele (111).

La blendă însă, clivajul se face numai după planele (110).

Aici, după o mică deplasare a planelor (110), ajung față în față ioni cu același fel de sarcină, care se resping puternic, ducînd la desfacerea cristalului. Planele (111) fiind formate alternativ din ioni pozitivi și negativi, vor veni totdeauna față în față, ioni de semn contrar, care se vor atrage puternic, nepermițînd clivajul. Acestea sînt însă, după cum a văzut, plane de translație.

La multe cristale se găsesc plane vecine formate din particule de același semn. Din cauza forțelor electrostatice de respingere care se exercită între acestea, clivajul se produce între astfel de plane. Astfel, la fluorină, perpendicular pe direcția trigirei, există o succesiune de plane reticulare paralele formate, fie din ioni de Ca^{2+} fie de ioni de F^- , în ordinea:

. . . - Ca - F - F - Ca - F - F - Ca - . . .

Clivajul se produce între planele reticulare de fluor, după (111).

La cristalele din același fel de atomi dar cu diferite feluri de legături între particule, clivajul se produce între planele legate prin forțele electrostatice minime.

Astfel, la grafit, unde atomii sînt legați covalent în interiorul planelor reticulare și cu forțe slabe, Van der Waals, între ele, clivajul se va produce cu mare ușurință între aceste plane, deci după (0001).

La unele cristale se găsesc între planele reticulare molecule de apă legate prin forțe Van der Waals. Așa sînt moleculele de apă din stratele de CaSO_4 , paralele cu (010) ale gipsului (CaSO_4). $2\text{H}_2\text{O}$).

Gipsul clivează perfect după această față.

În mod asemănător se explică clivajul perfect după fața (001) a muscovitului, $\text{KAl}_2 [\text{Si}_3\text{AlO}_{10}](\text{OH})_2$, care este format din strate infinite de tetraedri $[\text{Si}_3\text{AlO}_{10}]$ legate între ele prin forțe Van der Waals și avînd față în față ioni cu sarcină de același fel.

Clivajul este foarte mult folosit în determinarea mineralelor, atît macroscopic cît și microscopic.

În acest scop s-au apreciat convențional mai multe grade de clivaj, după ușurința cu care acesta se produce și după calitatea fețelor care rezultă.

Unii autori stabilesc trei grade: de ex. clivajul perfect, bun și imperfect; alții și mult mai frecvent, cinci grade: de ex. clivaj perfect, bun, potrivit, imperfect și cu totul imperfect.

Clivajul perfect este considerat acela care se obține ușor și de pe urma căruia rezultă fețe perfect plane cu luciu metalic, adamantin sau sidefos. De obicei acest clivaj se obține cu ajutorul unei lame ascuțite. Ex. mica și gipsul.

Clivajul bun se obține încă destul de ușor, fețele de clivaj sînt tot plane dar, la cristalele transparente, au luciu sticlos.

Acesta se obține de obicei prin lovire ușoară cu ciocanul. Ex. galena, baritina.

Clivajul potrivit sau mijlociu se obține mai greu, unele fețe de clivaj sînt plane, altele neregulate, dar lucioase. Ex. fluorina, feldspatii după planele (110) și ($\bar{1}\bar{1}0$), piroxenii, după planele (110).

Clivajul imperfect sau slab se obține printr-o acțiune mecanică mai puternică, iar fețele de clivaj nu mai sînt perfect plane. Ex. sulful, apatita.

Clivajul cu totul neperfect sau foarte slab este acela care se obține prin lovire mai puternică cu ~~manul~~ ^{moșorul} și la care planele de clivaj, destul de neregulate, abia se disting și au luciu gras. Ex. turmalina, cuarțul, corindonul. ^{Al₂O₃}

Sînt însă diferențe și în cadrul aceleiași grupe. De ex. clivajul calcitei este mai bun decît al galenei și s-ar încadra într-o categorie intermediară, de ex. clivajul foarte bun. Aproape fiecare autor are clasificarea lui, iar în practică se fac aprecieri cît mai nuanțate pentru mineralul care interesează și de obicei comparative.

Dacă se clivează un cristal după toate direcțiile echivalente rezultă o formă care se numește formă de clivaj. Formele de clivaj pot fi forme închise și forme deschise. De ex. clivajul cubic al sării geme și clivajul pinocoidal al muscovitului.

După cum am văzut, la un cristal se poate produce clivajul și pe mai multe direcții diferite. În acest caz vor rezulta și forme diferite de clivaj. De ex. la diamant va rezulta un octaedru, după (111) și un dodecaedru romboidal, după (110).

Clivajul fiind o proprietate bivectorială, toate formele de clivaj vor avea centru de simetrie și în fapt acestea se grupează în numai 7 clase de simetrie; câte una pentru fiecare sistem.

Chiar și numărul formelor de clivaj pentru fiecare sistem este foarte redus, așa cum se vede din exemplele care urmează.

- În sistemul cubic se cunosc numai trei forme de clivaj, toate închise și cu simetria clasei planaxiale:

① Clivajul cubic, la sarea gemă, la galenă (fig. 603 a etc.); (100)

② (111) Clivajul octaedric, la diamant, fluorină etc.;

③ (110) Clivajul dodecaedric, la blendă etc.

- În sistemul hexagonal se cunoaște clivajul pinacoidal (bazal), la beril etc. și clivajul bipiramidal la piromorfit etc.

- În sistemul tetragonal sînt aceleași tipuri de clivaj: pinacoidal, la apofilit; prismatic la rutil și bipiramidal, la anatas. (100) (110)

- În sistemul trigonal sînt două forme de clivaj: clivajul pinacoidal (bazal) la grafit etc. și clivajul romboedric la calcită ș.a.

- În sistemul rombic: clivajul pinacoidal după cei trei pinacoizi la anhidrit; clivajul pinacoidal bazal la baritină și clivajul bipiramidal la sulf.

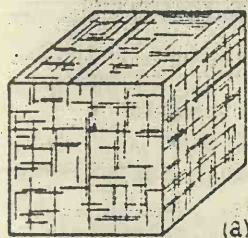
- În sistemul monoclinic: clivajul pinacoidal (bazal) la mică, clivajul pinacoidal lateral (010) la gips și clivajul prismatic la augit și hornblendă.

- În sistemul triclinic: numai clivaj pinacoidal, ca la plagioclazi, unde se produce și după (001) și după (010).

Clivajul are o deosebită importanță și pentru recunoașterea mineralelor pe secțiuni subțiri, la microscopul polarizant.

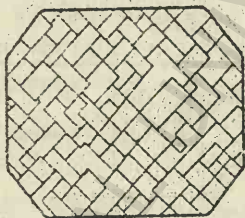
Și prin această metodă se poate aprecia calitatea clivajului: clivajul perfect se distinge prin urmele de clivaj în formă de linii continue și drepte; clivajul potrivit, prin linii întrerupte; clivajul imperfect prin linii mai mult curbe etc.

În afară de aceasta, mineralele cu mai multe direcții de clivaj se pot precis identifica prin unghiul după care se intersectează liniile. Astfel unghiul dintre urmele de clivaj după (110) la amfiboli este de 124° , iar la piroxeni de 88° (fig.60: b,c).

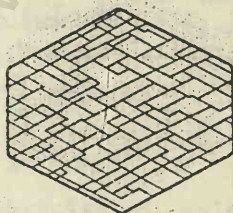


(a)

Fig. 603.



b



c

Fig. 603

3.2. Spărtura. În determinarea mineralelor se folosește deasemenea observarea felului în care se produce spargerea lor la lovire care, de multe ori, este foarte caracteristică.

La cristalele cu clivaj perfect și bun se observă clar pe fragmente fețele de clivaj.

Așa se observă că se sfarmă în cuburi din ce în ce mai mici sarea gemă, galena, iar în romboedri calcita.

Cristalele cu clivaj slab se sparg în fragmente cu suprafețe neregulate și aspre, cu luciu gras. Spărturile cu suprafețe curbe și cu luciu gras, care se întâlnesc de ex. la cuarț, la calcedonie și la sticla vulcanică se numesc spărturi concoidale.

La argint și alte metale native se întâlnește o spărtură colțuroasă. La turmalină și la corindon se produce o spărtură așchioasă ș.a.m.d.

De la început s-a conceput duritatea ca rezistența la zgîriere a unui mineral cu altul. Dacă suprafața netedă a unui cristal este zgîriată de un colț ascuțit al altui cristal, acesta din urmă are duritatea mai mare.

Mineralogul F.Mohs, comparînd în acest mod duritatea diferitelor minerale, a ales 10 minerale cu durități variate, de la cele mai mici la cele mai mari și a constituit următoarea scară de durități, în care, alături de mineralele etalon ale lui Mohs mai sînt trecute și alte minerale cu durități similare, care le pot înlocui.

Gradul de duritate	Mineralul etalon	Alte minerale ca durități similare
1	Talc, $Mg_3[Si_4O_{10}](OH)_2$	Grefit, caolin
2	Gips, $CaSO_4 \cdot 2H_2O$	Sulf, sare, aur, mică
3	Calcită $CaCO_3$	Dolomită, calcopirită
4	Florină, CaF_2	Siderită, pirotină
5	Apatită, $Ca_5[PO_4]_3(Cl, F)$	Magnetit, cromit, augit
6	Ortoză, $K[Si_3AlO_8]$	Pirită, hematită, rutil
7	Cuarț, SiO_2	Zircon, turmalină
8	Topaz, $Al_2[SiO_4](F, OH)_2$	Spinel
9	Corindon, Al_2O_3	-
10	Diamant C	-

Procedînd în modul arătat se stabilește de ex. că un mineral care este zgîriat de cuarț dar nu este zgîriat de ortoza are duritatea cuprinsă între 6 și 7.

3.3. Duritatea

Un indice important, de mult timp și foarte larg folosit în determinarea mineralelor, este duritatea.

Pentru o primă orientare asupra durității se mai folosesc în practică în afară de mineralele etalon și alte mijloace care sînt în mod obișnuit la îndemîna cercetătorului de teren.

Astfel de ex. unghia zgîrie cristalele cu duritatea cuprinsă între 1 și 2; sticla care are duritatea 5, este zgîriată de cuarț dar nu este zgîriată de calcită, lama de oțel a unui briceag, care are duritatea 5,5 zgîrie apatita dar este zgîriată de cuarț, iar ciocanul geologic este zgîriat de cuarț, dar nu este zgîriat de calcită etc.

Mineralele au durități foarte diferite dar, în general, anumite clase de minerale se încadrează între anumite trepte de duritate din scara lui Mohs.

Astfel elementele native au, în general duritatea mai mică de 3,5.

Numai platina și fierul au duritatea între 4 și 5. Halogenurile au, în general, duritatea între 2 și 4; Sulfatii, între 2 și 4; Carbonatii, în general, au duritatea cuprinsă între 3 și 4, dar carbonatii metalelor alcaline ca și, în general compuşii solubili, au durități sub 2. Sulfurile și fosfatii au durități cuprinse între 3 și 5, iar silicații, între 6 și 8.

Sînt însă numeroase excepții.

După cum s-a constatat prin alte mijloace gradele de duritate din scara lui Mohs nu arată decât ordinea crescătoare a durităților și nici de cum valorile lor absolute. Diferențele de duritate între două grade consecutive sînt foarte diferite. Astfel, diferența de duritate între calcită (3) și fluorină (4) este foarte mică, pe cînd diamantul (10) este de 140 ori mai dur decât corindonul (9). De aceea, pentru aprecierea mai exactă a durităților se folosesc alte metode, care se bazează mai ales pe re-

zistența la zgîriere, la șlefuire, sfredelire și percuție a cristalelor.

a. Metoda prin zgîriere a lui Seebeck

Pornind de la observația lui Huyghens încă din sec. XVII-lea, cum că la același cristal, duritatea poate avea diferite valori în diferite direcții, că prin urmare ca și coeziunea, de care este strîns legată duritatea este o proprietate vectorială. Seebeck a construit un aparat numit sklerometru, cu care se poate măsura prin zgîriere, duritatea mineralelor pe diferite direcții.

Aparatul (fig. 604) constă dintr-un cărucior care este tras pe un plan perfect orizontal cu ajutorul unei greutate (G) de o coardă trecută pe după un scripet.

Pe cărucior se află o mesuță ce suportă cristalul (cr) cu fața superioară plană, eventual lustruită. Mesuța se poate întoarce în toate azimuturile ~~pe~~ jurul unui ax vertical, astfel ca să se poată determina duritatea cristalului în toate direcțiile dorite.

Deasupra cristalului se găsește un vîrf ascuțit de oțel foarte dur sau un diamant, fixat la un braț de pîrghie de balanță, deasupra căruia se găsește un mic platan pe care se pot pune diferite ponderi (P), cu care se apasă vîrfurile ascuțite pe cristal.

Se încearcă cu ponderi crescînde care după ce sînt echilibrate cu greutate G sînt ușor depășite astfel ca să ruleze căruciorul pe planul orizontal, iar vîrfurile ascuțite să lunece sau să zgîrie suprafața cristalului.

Se mărește ponderea P pînă cînd la deplasarea căruciorului cu cristalul, acesta este zgîriat.

Mărimea ponderii P, cu care s-a obținut zgîrirea, exprimă măsurarea durității în aceea direcție. Răsucind cristalul se repetă astfel operațiunea în celelalte direcții de pe fața respectivă.

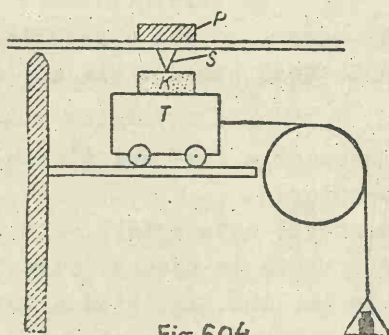


Fig.604

Dacă reprezentăm cu vectori valorile obținute plecând din același punct de pe față în toate direcțiile, se obține o curbă de duritate care înconjoară o figură cu simetrie cel puțin egală cu a feței de cristal cercetate. Așa cum se vede la muscovit (fig.605 a,b), la sticlă (605 c), la calcită (605 d) și la NaCl (605 e).

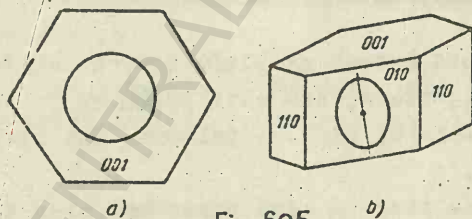
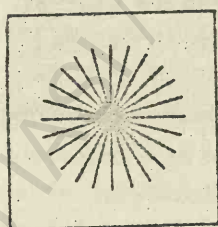
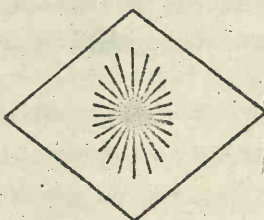


Fig. 605



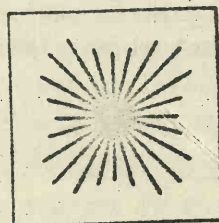
c

Sticlă 605c



d

Calcită 605d



e

605e NaCl

În acest mod s-a constatat că duritatea este o proprietate vectorială și că uneori acesta este polară, are valori diferite în cele două sensuri ale aceleiași direcții.

Metoda lui Seebeck a fost mai târziu modificată de Pfaff în modul următor:

Vîrfurile diamantului este apăsate cu o pondere constantă P , cu care se execută în aceeași direcție un număr mare de zgîrieturi, de ex. 100. Cîntărind cristalul înainte și după operație se determină cantitatea și deci volumul de pulbere de substanță dislocată.

Efectuîndu-se aceeași operație în sens opus pe direcția respectivă iar apoi pe diferitele direcții ale feței și repetînd acest lucru pe toate fețele se stabilește duritatea cristalului în diferite direcții și de asemenea duritatea relativă în comparație cu alte cristale care au fost supuse aceleiași operații.

b. Metoda prin șlefuire. Procedul Rosiwal

În această metodă se șlefuește cristalul cu o pulbere de mare duritate, cum este pulberea de corindon, pe-o anumită suprafață, pînă ce pulberea își pierde calitatea de abraziv. După intervalul de timp în care abrazivul și-a pierdut calitățile se apreciază duritatea mineralului.

În procedeul Rosiwal se folosește o pulbere standard care se pune pe sticlă sau pe-o placă de oțel și cu ajutorul ei se șlefuește o anumită suprafață, de ex. 4 cm^2 . După ce pulberea și-a pierdut caracterul abraziv se recîntărește mineralul, cîntărit și în prealabil și, din pon-

*Șlefuitul Seebeck
Pfaff Jagor*

darea de cristal pierdut, se calculează volumul cu care s-a micșorat cristallul.

Inversul volumului dispărut, constituie duritatea relativă a mineralului.

În determinare intervin și alți factori ca presiunea, timpul, viteza de frecare etc. care fac ca rezultatele să varieze uneori de la o determinare la alta. Acest neajuns a fost determinat de Holmquist, întrebuintînd în loc de placă de sticlă sau de oțel, o față a unui al doilea cristal cu duritatea cunoscută.

Inversul volumului pierdut de fiecare cristal dă raportul dintre duritățile celor două minerale supuse abraziunii în aceleași condițiuni.

c. Metoda prin slefuire, Pfaff-Iagar

Această metodă constă din efectuarea unor găuri de anumită adîncime în fețele mineralului. Pentru aceasta se folosește un burghiu prevăzut cu un vîrf de diamant sau de oțel foarte dur.

Duritatea mineralului se apreciază după numărul turațiilor necesare pentru efectuarea găurei de dimensiuni standard.

d. Metoda prin percuție

În această metodă se imprimă pe suprafața lustruită a obiectului studiat, o adîncitură cu ajutorul unor aparate numite durimetre larg introduse mai ales în industrie pentru determinarea durității la metale.

Durimetrele sînt prevăzute cu un dispozitiv de percuție în vîrful căruia se găsește un diamant în formă de piramidă tetragonală (metoda Brinell).

La apăsarea cu o anumită greutate a percutorului, se formează o gropiță a cărei dimensiuni sînt cu atît mai mari cu cît duritatea este mai mică. Pentru măsurători, aparatul este prevăzut cu un dispozitiv de microscopie.

Duritatea în indici de microduritate, se exprimă în kg/mm^2 și se calculează dintr-o formulă în care intră greutatea care apasă pe percutor și dimensiunile gropiței formate.

În tabloul care urmează sînt date duritățile mineralelor etalon din scara lui Mohs, determinate prin aceste metode.

Tabelul comparativ al durităților mineralelor din scara lui Mohs.

Duritatea Mineralul	Mohs	Zgîriere	Slefuire	Sfredelire	Percuție
	1	2	3	4	5
Talc	1	2,3	0,03	-	2,40
Gips	2	9,5	1,25	0,04	36
Calcită	3	22,5	4,50	0,26	109
Fluorină	4	25,5	5	0,75	189
Apatită	5	35,5	6,50	1,23	536
Ortoză	6	108	37	25	595
Cuart	7	300	120	40	1120
Topaz	8	450	175	152	1427
Corindon	9	1000	1000	1000	2060
Diamant	10		140.000		10060

Comparînd gradele de duritate din scara lui Mohs cu duritățile determinante prin diversele procedee cantitative, se constată că mineralele etalon păstrează aceeași ordine în toate cazurile, însă rezultatele obținute prin aceste procedee arată că intervalele dintre gradele de duritate din scara lui Mohs sînt foarte diferite între ele.

Diferențe mai mici și mai uniforme sînt la mineralele cu durități de la 1 la 4. Aici se face un salt important, dar creșterile, deși mai importante, de la gradul 5 la 8, sînt totuși destul de regulate. Între duritatea 8 și 9 se prezintă un salt și mai important, iar de la 9 la 10 saltul este considerabil. Diamantul ($D = 10$) este, după metoda Rosiwal, de 140 ori mai dur decît corindonul ($D = 9$).

Paralelismul dintre răspîndirea mineralelor în scoarța terestră și scara de durități a lui Mohs face această metodă foarte eficientă în cercetările mineralogice preliminare.

Pentru determinări mai riguroase și mai ales în scopuri industriale, celelalte metode sînt singurele indicate.

Și aceste metode dau de altfel tot o duritate relativă. Ele se referă, după cum s-a văzut la moduri diferite de acțiune împotriva coeziunii cristalelor.

Acest lucru iese în evidență chiar din compararea acestor determinări între ele.

Astfel de ex. la șlefuire, duritatea corindonului (9) este de 39 ori mai mare decît duritatea topazului (8), pe cînd la sfredelire este de numai 7 ori mai mare, la zgîriere de 2 ori mai mare, iar la percuție abia de 1,4 ori mai mare.

Tot așa, duritatea apatitei față de cea a fluorinei este la șlefuire de 1,2 ori mai mare, la sfredelire de 2,8 ori mai mare, iar la zgîriere și la percuție, aproximativ la fel, de 1,4 respectiv de 1,5 ori mai mare.

De aici rezultă că diferențele de duritate nu corespund ca ordine nici între aceste metode. La metoda prin zgîriere, raportul dintre duritățile primei perechi de minerale este de 2,2 față de 1,4 cît este la metoda prin percuție, pe cînd în cazul celei de-a doua perechi de minerale, aceste raporturi sînt aproape egale ba chiar inversate: 1,4 la 1,5.

Tot prin aceste metode s-a putut preciza cum variază duritatea cristalelor cu direcția.

Astfel, în cazul ortozei (6) s-a stabilit, prin metoda Rosiwal, că duritatea pe fața (100) este de 1,1 ori mai mare decît pe fața (010) și de 1,6 ori mai mare decît pe fața (001), respectiv 27,7 : 25,7: 17,2.

Legătura dintre duritate și clivaj, ambele proprietăți care se manifestă prin acțiunea mecanică exterioară împotriva coeziunii, este evidentă.

Acest lucru se vede clar din compoziția curbelor de duritate de pe fața (100) a fluorinei și sării geme.

În cazul sării geme, care are un clivaj cubic (fig.606) duritatea este minimă în direcția axelor L^4 (1,18) și maximă în direcția axelor L^3 (1,35). În cazul fluorinei, care are un clivaj octaedric, invers, duritatea după (111) este 2,85 iar după (100) este 3,05.

Pe o față de clivaj, duritatea nu variază în general cu direcția.

În cazul unei fețe perpendiculare pe clivaj, duritatea este mai mare în direcția perpendiculară pe urmele de clivaj și mai mică în lungul urmelor de clivaj.

În cazul unei fețe oblice față de urmele de clivaj, duritatea este maximă în direcția care merge dinspre unghiul obtuz spre cel ascuțit și minimă în sens contrar (fig.607).

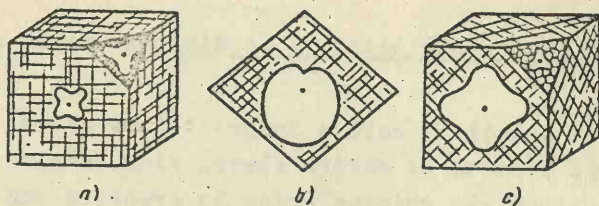


Fig. 606

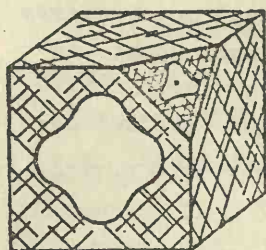


Fig. 607.

Legătura dintre duritate și structura internă a cristalului este tot așa de strînsă ca și legătura dintre aceasta și coeziune.

Astfel, diferitele modificății polimorfe ale aceleiași substanțe au durități diferite. Un exemplu evident îl prezintă carbonul care ca diamant (cubic) are duritatea (10), iar ca grafit (trigonal) are duritatea 1.

Duritatea crește atunci cînd echidistanța dintre planele reticulare scade. Astfel distanța $\text{Na} - \text{F} = 2,31 \text{ \AA}$ în cazul Na F iar duritatea este 3,2 pe cînd în cazul NaCl , echidistanța $\text{Na} - \text{Cl} = 2,81$ și duritatea este numai 2,5.

La echidistanțele egale sau apropiate duritatea crește odată cu creșterea valenței ionilor. Astfel dacă la NaF cu ioni monovalenți și cu echidistanța $2,3 \text{ \AA}$ duritatea era 3,2, la CaO cu ioni bivalenți și cu distanța $2,4 \text{ \AA}$ foarte apropiată, duritatea este 4,5; la ScN cu ioni tri-valenți și cu $d = 2,2$ duritatea este 7,5 iar la TiC , cu ioni tetravalenți și cu aceeași echidistanță duritatea ajunge la 8,9.

Legătura dintre duritatea și densitatea este, de aceeași natură.

Greutatea specifică este o proprietate scalară care depinde pe de o parte de natura elementelor componente (știut fiind că elementele chimice cresc în greutate odată cu creșterea numărului lor de ordine în sistemul periodic), iar pe de altă parte depinde de densitatea reticulară.

Creșterea durității cristalelor odată cu creșterea greutății specifice se datorește în primul caz, numai în măsura în care creșterea numărului de ordine este însoțită de creșterea valenței dar în al doilea caz se face tot datorită apropierii particulelor în rețeaua mai densă, așa cum am văzut și în cazurile anterioare.

BIBLIOGRAFIE DE BAZA

1. Betehtin, A.G. Mineralogia. Moskva 1950.
2. Bragg L., Claringbull, G.F. Crystal structures of minerals Trad.l.rusă, Moskva 1967.
3. Buckley, H.E. Crystal growth. Trad.l.rusă, Moskva 1967.
4. Buerger, M.J. Elementary Crystallography, London 1956.
5. Buțureanu, V.C. Cristalografie, Mineralogie, Petrografie Curs Univ. Iași, 1924-1928.
6. Chaskolskaia M. Les cristaux. Moscou 1939.
7. Codarcea Al. Mineralogie, p.I Cristalografia. Buc. 1965.
8. Flint E.E. Naciola Kristallographii. Moskva 1952.
9. Grițaenko, G.S., Elektronnaia mikroskopia mineralov Rudnițkaia, E.C., și Gorșkov, A.I. Moskva 1961.
10. Imreh Iosif Cristalografie. București 1966.
11. Kleber W. Einführung in die Kristallographie ed.III Berlin 1959.
12. Lațiu, V.N. Cristalografia fizică. Buc. 1958.
13. Onciu I. și Zsakó I. Chimie fizică (2) Buc. 1968.
14. Popescu, I.C. Cristalografie. Mineralogie. Buc. 1968.
15. Raaz, F.U. u. Tertsch, H. Geometrische Kristallographie u. Kristall-optik. Wien 1939.
16. Roman Tiberiu Simetria. Buc. 1963.
17. Savul Mircea Curs general de minerale și roci. 1928-1929.
18. Weyl H. Simetria. Trad.l. engleză. Ed. St. Buc. 1966.

T A B L A D E M A T E R I E

VOL. II

3. A TREIA PARTE

C R I S T A L O C H I M I A

	Pag.
OBIECTUL SI IMPORTANTA CRISTALOCHEMIEI	391
XIII. FACTORI CARE DETERMINA CARACTERUL REȚELEI	
CRISTALINE	
1. Raze atomice și raze ionice	394
2. Dispoziția geometrică a sferelor	399
3. Numărul de coordonare	405
4. Polarizația ionică	411
5. Energia rețelei cristaline	417
6. Legăturile dintre particulele constitutive ale re-	
țelei cristaline	423
XIV. TIPURI DE STRUCTURI	
1. Rețele metalice	436
1.1. Structuri homodesmice ale elementelor metalice	436
1.2. Structuri heterodesmice ale elementelor metalice	
ce	437
1.3. Structuri intermetalice homodesmice	438
1.4. Structuri intermetalice heterodesmice	442
1.5. Structuri metalice interstițiale	442
2. Rețele covalente	443
3. Rețele ionice	447
3.1. Structuri izodesmice	447
3.2. Structuri anizodesmice cu radicali biatomici .	453

3.3. Structuri mezodesmice	455
4. Rețele moleculare	461
4.1. Substanțe anorganice	461
4.2. Structura compușilor organici	463
XV. POLIMORFISMUL, IZOMORFISMUL ȘI MORFOTROPISMUL	
1. Polimorfismul	465
2. Izomorfismul	473
2.1. Izomorfismul normal	473
2.2. Izomorfismul heterovalent	476
2.3. Substituțiile izomorfe	478
2.4. Distribuția spațială a diadochilor în rețea	481
2.5. Grade de izomorfism.	
Izotipie. Homeomorfism	484
2.6. Proprietățile cristalelor mixte	485
2.7. Serii izomorfe	487
3. Morfetropismul	489

4. A PATRA PARTE

C R I S T A L O G E N E Z A

XVI. CRISTALIZAREA

1. Cristalizare și recristalizare	493
2. Formarea cristalelor	495
2.1. Cristalizarea din topituri	495
2.2. Diagrame de fază. Cristalizarea din vapori	500
2.3. Cristalizarea din soluții	506
3. Creșterea cristalelor	511

XVII. DISOLVAREA CRISTALELOR

1. Solubilitatea. Curbe de dizolvare	537
2. Suprasaturarea soluțiilor	540
3. Dizolvarea cristalelor	540

4. Figuri de coeziune	544
5. Substituția mestosomatică sau metasomatoza	546

XVIII. FORME DE DESVOLTARE SI CONCREȘTERE A CRISTALELOR NATURALE

1. Cristalele unice sau monocristalele	548
2. Asociații de cristale de același fel	554

XIX. METODE PRACTICE DE OBTINERE A CRISTALELOR UNICE

1. Obținerea cristalelor unice din soluții	565
2. Obținerea cristalelor unice din topituri	570
3. Obținerea cristalelor prin electroliză	576

5. A CINCIA PARTE

CRISTALOGRAFIA FIZICA

A. OPTICA CRISTALELOR

XX. NOTIUNI PRELIMINARE

1. Caracteristicile undei luminoase	585
2. Interferența luminii	588
3. Reflexia și refracția luminii în medii izotrope.	589
4. Refracția luminii în medii anizotrope	595
5. Determinarea indicilor de refracție	596
6. Polarizația luminii	600
7. Microscopul polarizant	604

XXI. PROPAGAREA LUMINII PRIN CRISTALE

1. În cristale izotrope	607
2. În cristale anizotrope	609
2.1. Cristalele uniaxe	609
2.2. Cristale biaxe	614

XXII. STUDIUL CRISTALELOR CU MICROSCOPUL

POLARIZAT

1. Studiul cristalelor în lumina paralelă.

1.1. Cu un singur nicol	621
1.2. Cu nicoli încrucișați	629
1.3. Variația birefringentei	641
1.4. Compensatoarele	645

2. Studiul cristalelor în lumină convergentă

2.1. Figuri de interferență la cristalele uniaxe	652
2.2. Semnul optic al cristalelor uniaxe	660
2.3. Figuri de interferență la cristalele bixoxe	662
2.4. Semnul optic al cristalelor bixoxe.	668
2.5. Dispersia axelor optice	670
2.6. Unghiul axelor optice	677

3. Polarizația rotatoare

3.1. Activitate optică	679
3.2. Cristale dextrogire și levogire	681
3.3. Lame suprapuse	683
3.4. Simetria cristalelor optic active	683
3.5. Explicația activității optice	685

4. Masa universală Fedorov.

4,1,2,3. Principii, utilizare, construcție	689
4.4 Direcțiile și axele de rotație ale celor trei inele	692

4. 5 .	Determinări ale formei și poziției elementelor indicatricei	693
4. 6 .	Determinarea semnului optic	699
4. 7 .	Determinarea unghiului axelor optice	700
4. 8 .	Determinarea poziției elementelor geometrice	700
4.9.	Reprezentarea grafică a datelor	701
5.	Studiul cristalelor opace la microscop	
5. 1 .	Microscopul calcografic	705
5. 2 .	Cercetarea cristalelor	705

B. ALTE PROPRIETATI FIZICE ALE CRISTALELOR.

XIII. PROPRIETATILE TERMICE

1.	Capacitatea de absorbție	711
2.	Conductibilitatea termică	712
3.	Dilatarea termică	716

XXIV. PROPRIETATILE MAGNETICE SI ELECTRICE

1.	Proprietățile magnetice	719
2.	Proprietățile electrice	722

XXV. PROPRIETATILE MECANICE

1.	Elasticitatea	734
2.	Plasticitatea	740
3.	Proprietățile rupturale	750

ANEXE.

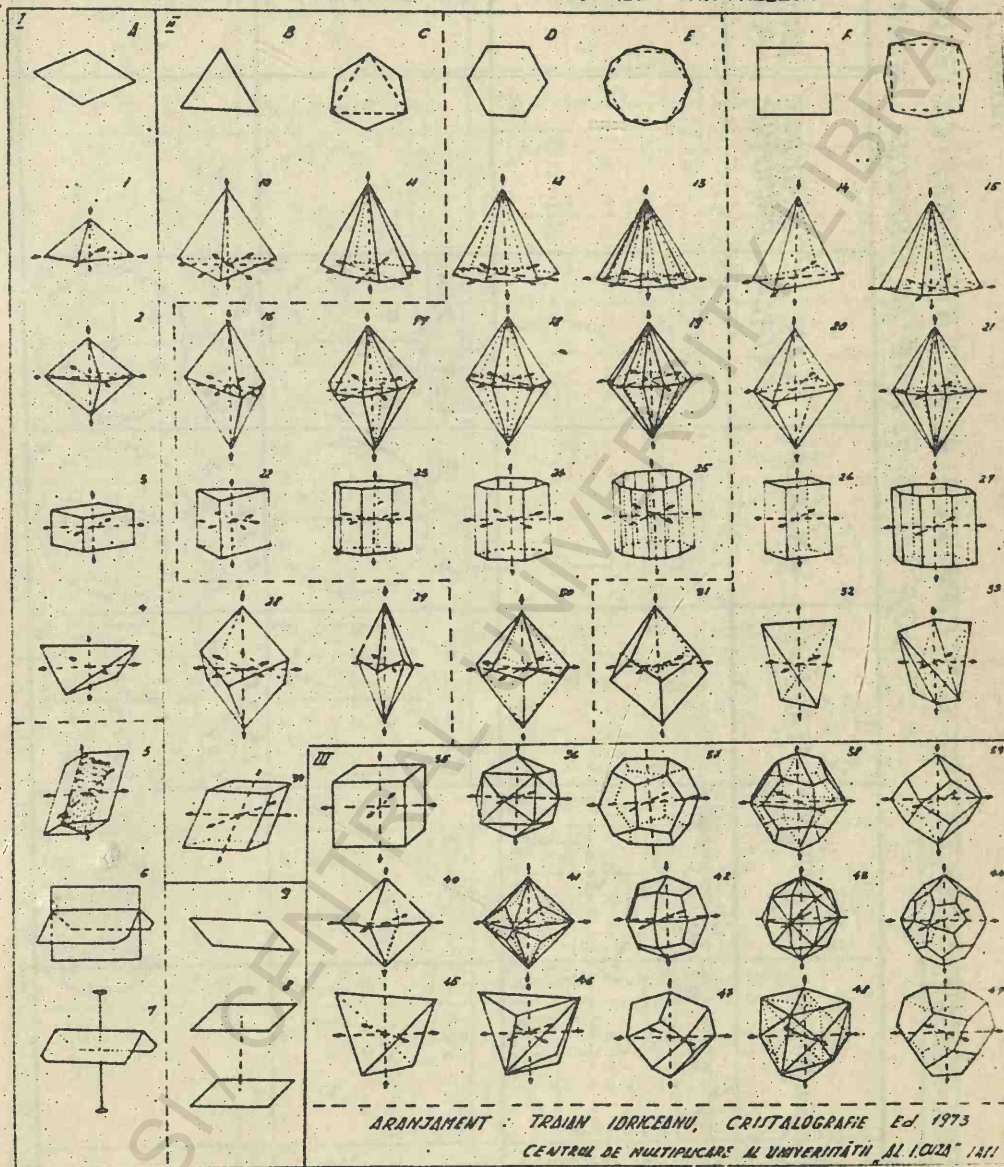
CONTINUTUL

- 1- Cele 49 forme simple de cristale.
- 2- Proiecția stereografică a formelor generale;
3- continuare.
- 4- Formulele de simetrie ale celor 32 clase.
- 5- Modelele Bravais.
- 6- Sistemul periodic al lui Mendeleiev
- 7- Sistemul periodic al elementelor, desfășurat.
- 8- Rețele ionice;
- 9- continuare; rețele ionice.
- 10- Rășchile și parașchile lui Fersman;
- 11- continuare.
- 12- Cele 230 de grupe spațiale,
- 13- continuare,
- 14- continuare.

TABLOUL CELOR 49 FORME SIMPLIE ALE CRISTALELOR - lista figurilor -

I	A	II	B	C	D	E	F	G
Contur rombic		Contur trigonal		Contur ditrigonal	Contur hexagonal	Contur dihexagonal	Contur tetragonal	Contur ditetragonal
1	piramida rombică	10	piramida trigonală	11	12	13	14	15
2	bipiramida rombică	16	bipiramida trigonală	17	18	19	20	21
3	prisma rombică	22	prisma trigonală	23	24	25	26	27
4	tetraedrul rombic	28	trapezoedrul trigonal	29	30	31	32	33
5	prisma monoclinică	34	romboedrul	III cubul	36	37	38	39
6	diedrul planal	9	monoedrul	40	41	42	43	44
7	diedrul axial	8	pinacoidul	45	46	47	48	49
				tetraedrul	trigonti- tetraedrul	tetraedrul	hexa- octaedrul	pentagonti- tetraedrul
				octaedrul	trigonti- octaedrul	tetraedrul	hexa- octaedrul	pentagonti- octaedrul
				scalenocedrul ditrigonal	trapezoedrul hexagonal	trapezoedrul tetragonal	tetraedrul tetragonal	scalenocedrul ditetragonal
				prisma ditrigonală	prisma hexagonală	prisma dihexagonală	prisma tetragonală	prisma ditetragonală
				prisma cubul	tetra- hexaedrul	dodecaedrul pentagonal	didodecaedrul	dodecaedrul romboidal
				octaedrul	trigonti- octaedrul	tetraedrul	hexa- octaedrul	pentagonti- octaedrul
				tetraedrul	trigonti- tetraedrul	tetraedrul	hexa- tetraedrul	pentagonti- tetraedrul

TABLOUL CELOR 49 FORME SIMPLE ALE CRISTALELOR



CLASELE DE SIMETRIE

Avances de Ecología y Evolución

SUPERIOARĂ		M I J L O C I E				SIST.	
L^3		L^4		L^6		L^3	
CUBIC		TETRAGONAL		HEXAGONAL		TRIGONAL	
	23		4		6		3
	28		4/m		6/m		3
	30		4/m		6/m		3
	31		4/m		6/m		3
	32		4/m		6/m		3

VALLORE SVETIIS AL VALLO 36 CLASSE DE SIMETRIE

Table 1

Calculus of symmetry	Relative axial system	Ax primitive	Centric	Planale	Axiale	Planaxiale	Gironda- primitive	Gironda- planele
Inferiora	Triclinic $a \neq b \neq c$ $\alpha \neq \beta \neq \gamma$	L^2	$L^2 + C$	$L^2 + P$	$L^2 + L^2$	$L^2 + P^2$	L_{2n}^2	$L_{2n}^2 + P$
	Monoclinic $a \neq b \neq c$ $\alpha = \beta = \gamma = 90^\circ$	$L'(-)$	C					
		C_1	C_2	P	L^2	$L^2 C$		
		C_1	C_2	P	L^2	$L^2 C$		
		C_1	C_2	P	L^2	$L^2 C$		
	Rombic $a \neq b \neq c$ $\alpha = \beta = \gamma = 90^\circ$	L^2	$L^2 + C$	$L^2 + P$	$L^2 + L^2$	$L^2 + P^2$	L_{2n}^2	$L_{2n}^2 + P$
		C_1	C_2	P	L^2	$L^2 C$		
		C_1	C_2	P	L^2	$L^2 C$		
		C_1	C_2	P	L^2	$L^2 C$		
	Tetragonal $a = b \neq c$ $\alpha = \beta = \gamma = 90^\circ$	L^4	$L^4 C$	$L^4 + P$	$L^4 + L^4$	$L^4 + P^2$	L_{4n}^4	$L_{4n}^4 + P$
Miliole	Hexagonal $a = b \neq c$ $\alpha = \beta = \gamma = 120^\circ$	L^6	$L^6 C$	$L^6 + P$	$L^6 + L^6$	$L^6 + P^2$	L_{6n}^6	$L_{6n}^6 + P$
		C_1	C_2	P	L^6	$L^6 C$		
		C_1	C_2	P	L^6	$L^6 C$		
		C_1	C_2	P	L^6	$L^6 C$		
	Trigonal $a = b \neq c$ $\alpha = \beta = \gamma = 120^\circ$	L^3	$L^3 C$	$L^3 + P$	$L^3 + L^3$	$L^3 + P^2$	L_{3n}^3	$L_{3n}^3 + P$
		C_1	C_2	P	L^3	$L^3 C$		
		C_1	C_2	P	L^3	$L^3 C$		
		C_1	C_2	P	L^3	$L^3 C$		
Superiora	Cubic $a = b = c$ $\alpha = \beta = \gamma = 90^\circ$	L^3	$L^3 C$	$L^3 + P$	$L^3 + L^3$	$L^3 + P^2$	L_{3n}^3	$L_{3n}^3 + P$
		C_1	C_2	P	L^3	$L^3 C$		
		C_1	C_2	P	L^3	$L^3 C$		
		C_1	C_2	P	L^3	$L^3 C$		
	Tetragonal $a = b \neq c$ $\alpha = \beta = \gamma = 90^\circ$	L^4	$L^4 C$	$L^4 + P$	$L^4 + L^4$	$L^4 + P^2$	L_{4n}^4	$L_{4n}^4 + P$
		C_1	C_2	P	L^4	$L^4 C$		
		C_1	C_2	P	L^4	$L^4 C$		
		C_1	C_2	P	L^4	$L^4 C$		
	Hexagonal $a = b \neq c$ $\alpha = \beta = \gamma = 120^\circ$	L^6	$L^6 C$	$L^6 + P$	$L^6 + L^6$	$L^6 + P^2$	L_{6n}^6	$L_{6n}^6 + P$
		C_1	C_2	P	L^6	$L^6 C$		
		C_1	C_2	P	L^6	$L^6 C$		
		C_1	C_2	P	L^6	$L^6 C$		

RETELE BRAVAIS

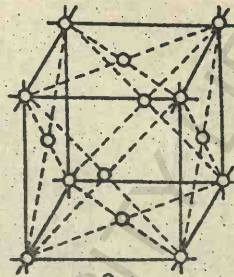
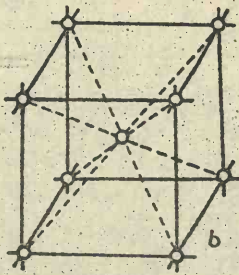
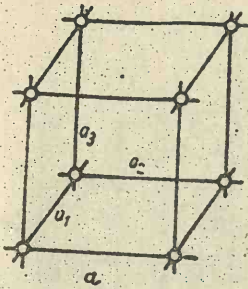


Fig. 291

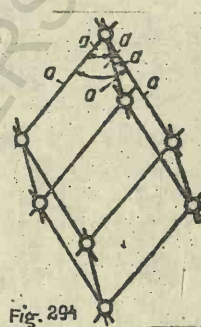
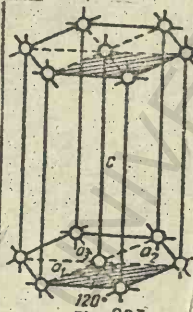
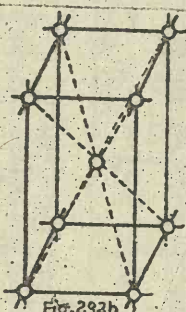
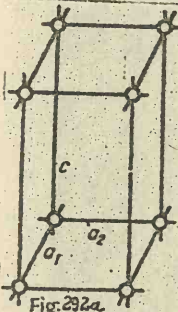


Fig. 292a

Fig. 292b

Fig. 293

Fig. 294

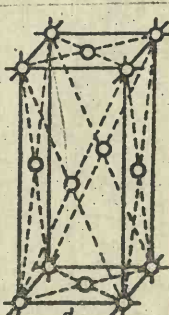
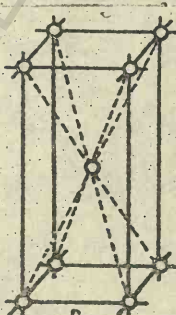
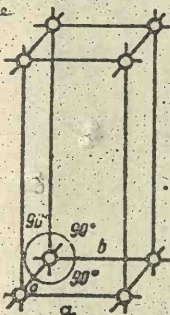


Fig. 295

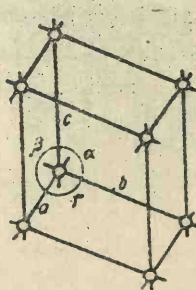
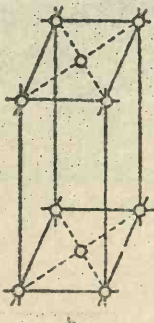


Fig. 296

Fig. 297

SISTEMI PERIODIC AL ELEMENTOR
Forma desiguita.

3 Li 6.94	4 Be 9.02	5 B 10.82	6 C 12.01	7 N 14.01	8 O 16.00	9 F 19.00	10 Ne 20.18	11 H 1.00	12 He 4.00	1 K 39.10	2 Ca 40.08	3 Sc 44.96	4 Ti 47.88	5 V 50.94	6 Cr 52.00	7 Mn 54.94	8 Fe 55.85	9 Co 58.93	10 Ni 58.69	11 Cu 63.55	12 Zn 65.38	13 Ga 69.72	14 Ge 72.64	15 As 74.92	16 S 32.06	17 Cl 35.46	18 Ar 39.95	19 K 39.10	20 Ca 40.08	21 Sc 44.96	22 Ti 47.88	23 V 50.94	24 Cr 52.00	25 Mn 54.94	26 Fe 55.85	27 Co 58.93	28 Ni 58.69	29 Cu 63.55	30 Zn 65.38	31 Ga 69.72	32 Ge 72.64	33 As 74.92	34 Se 78.96	35 Br 79.90	36 Kr 83.80	37 Rb 85.47	38 Sr 87.62	39 Y 88.91	40 Zr 91.22	41 Nb 92.91	42 Mo 95.94	43 Tc 98.91	44 Ru 101.07	45 Rh 102.91	46 Pd 106.37	47 Ag 107.87	48 Cd 112.41	49 In 114.82	50 Sn 118.71	51 Sb 121.76	52 Te 127.60	53 I 126.91	54 Xe 131.30	55 Cs 132.91	56 Ba 137.33	57 La 138.91	58 Ce 140.12	59 Pr 140.91	60 Nd 144.24	61 Pm 144.91	62 Sm 150.36	63 Eu 151.96	64 Gd 157.25	65 Tb 158.93	66 Dy 162.50	67 Ho 164.93	68 Er 167.26	69 Tm 168.93	70 Yb 173.05	71 Lu 174.97	72 Hf 178.49	73 Ta 180.95	74 W 183.85	75 Re 186.21	76 Os 190.23	77 Ir 192.22	78 Pt 195.08	79 Au 196.97	80 Hg 200.59	81 Tl 204.38	82 Pb 207.20	83 Bi 208.98	84 Po 209	85 At 210	86 Rn 222	87 Fr 223	88 Ra 226	89 Ac 227	90 Th 232	91 Pa 231	92 U 238.03	93 Np 237	94 Pu 239	95 Am 243	96 Cm 247	97 Bk 247	98 Cf 251	99 Es 252	100 Fm 257	101 Md 258	102 No 259	103 Lr 262	104 Rf 261	105 Db 262	106 Sg 266	107 Bh 264	108 Hs 277	109 Mt 268	110 Ds 271	111 Rg 272	112 Uub 285	113 Uut 284	114 Uuq 289	115 Uup 288	116 Uuh 292	117 Uus 291	118 Uuq 294	119 Uup 293	120 Uuh 296	121 Uus 295	122 Uuq 298	123 Uup 297	124 Uuh 301	125 Uus 300	126 Uuq 304	127 Uup 303	128 Uuh 307	129 Uus 306	130 Uuq 310	131 Uup 309	132 Uuh 313	133 Uus 312	134 Uuq 316	135 Uup 315	136 Uuh 319	137 Uus 318	138 Uuq 322	139 Uup 321	140 Uuh 325	141 Uus 324	142 Uuq 328	143 Uup 327	144 Uuh 331	145 Uus 330	146 Uuq 334	147 Uup 333	148 Uuh 337	149 Uus 336	150 Uuq 340	151 Uup 339	152 Uuh 343	153 Uus 342	154 Uuq 346	155 Uup 345	156 Uuh 349	157 Uus 348	158 Uuq 352	159 Uup 351	160 Uuh 355	161 Uus 354	162 Uuq 358	163 Uup 357	164 Uuh 361	165 Uus 360	166 Uuq 364	167 Uup 363	168 Uuh 367	169 Uus 366	170 Uuq 370	171 Uup 369	172 Uuh 373	173 Uus 372	174 Uuq 376	175 Uup 375	176 Uuh 379	177 Uus 378	178 Uuq 382	179 Uup 381	180 Uuh 385	181 Uus 384	182 Uuq 388	183 Uup 387	184 Uuh 391	185 Uus 390	186 Uuq 394	187 Uup 393	188 Uuh 397	189 Uus 396	190 Uuq 400	191 Uup 399	192 Uuh 403	193 Uus 402	194 Uuq 406	195 Uup 405	196 Uuh 409	197 Uus 408	198 Uuq 412	199 Uup 411	200 Uuh 415	201 Uus 414	202 Uuq 418	203 Uup 417	204 Uuh 421	205 Uus 420	206 Uuq 424	207 Uup 423	208 Uuh 427	209 Uus 426	210 Uuq 430	211 Uup 429	212 Uuh 433	213 Uus 432	214 Uuq 436	215 Uup 435	216 Uuh 439	217 Uus 438	218 Uuq 442	219 Uup 441	220 Uuh 445	221 Uus 444	222 Uuq 448	223 Uup 447	224 Uuh 451	225 Uus 450	226 Uuq 454	227 Uup 453	228 Uuh 457	229 Uus 456	230 Uuq 460	231 Uup 459	232 Uuh 463	233 Uus 462	234 Uuq 466	235 Uup 465	236 Uuh 469	237 Uus 468	238 Uuq 472	239 Uup 471	240 Uuh 475	241 Uus 474	242 Uuq 478	243 Uup 477	244 Uuh 481	245 Uus 480	246 Uuq 484	247 Uup 483	248 Uuh 487	249 Uus 486	250 Uuq 490	251 Uup 489	252 Uuh 493	253 Uus 492	254 Uuq 496	255 Uup 495	256 Uuh 499	257 Uus 498	258 Uuq 502	259 Uup 501	260 Uuh 505	261 Uus 504	262 Uuq 508	263 Uup 507	264 Uuh 511	265 Uus 510	266 Uuq 514	267 Uup 513	268 Uuh 517	269 Uus 516	270 Uuq 520	271 Uup 519	272 Uuh 523	273 Uus 522	274 Uuq 526	275 Uup 525	276 Uuh 529	277 Uus 528	278 Uuq 532	279 Uup 531	280 Uuh 535	281 Uus 534	282 Uuq 538	283 Uup 537	284 Uuh 541	285 Uus 540	286 Uuq 544	287 Uup 543	288 Uuh 547	289 Uus 546	290 Uuq 550	291 Uup 549	292 Uuh 553	293 Uus 552	294 Uuq 556	295 Uup 555	296 Uuh 559	297 Uus 558	298 Uuq 562	299 Uup 561	300 Uuh 565	301 Uus 564	302 Uuq 568	303 Uup 567	304 Uuh 571	305 Uus 570	306 Uuq 574	307 Uup 573	308 Uuh 577	309 Uus 576	310 Uuq 580	311 Uup 579	312 Uuh 583	313 Uus 582	314 Uuq 586	315 Uup 585	316 Uuh 589	317 Uus 588	318 Uuq 592	319 Uup 591	320 Uuh 595	321 Uus 594	322 Uuq 598	323 Uup 597	324 Uuh 601	325 Uus 600	326 Uuq 604	327 Uup 603	328 Uuh 607	329 Uus 606	330 Uuq 610	331 Uup 609	332 Uuh 613	333 Uus 612	334 Uuq 616	335 Uup 615	336 Uuh 619	337 Uus 618	338 Uuq 622	339 Uup 621	340 Uuh 625	341 Uus 624	342 Uuq 628	343 Uup 627	344 Uuh 631	345 Uus 630	346 Uuq 634	347 Uup 633	348 Uuh 637	349 Uus 636	350 Uuq 640	351 Uup 639	352 Uuh 643	353 Uus 642	354 Uuq 646	355 Uup 645	356 Uuh 649	357 Uus 648	358 Uuq 652	359 Uup 651	360 Uuh 655	361 Uus 654	362 Uuq 658	363 Uup 657	364 Uuh 661	365 Uus 660	366 Uuq 664	367 Uup 663	368 Uuh 667	369 Uus 666	370 Uuq 670	371 Uup 669	372 Uuh 673	373 Uus 672	374 Uuq 676	375 Uup 675	376 Uuh 679	377 Uus 678	378 Uuq 682	379 Uup 681	380 Uuh 685	381 Uus 684	382 Uuq 688	383 Uup 687	384 Uuh 691	385 Uus 690	386 Uuq 694	387 Uup 693	388 Uuh 697	389 Uus 696	390 Uuq 700	391 Uup 699	392 Uuh 703	393 Uus 702	394 Uuq 706	395 Uup 705	396 Uuh 709	397 Uus 708	398 Uuq 712	399 Uup 711	400 Uuh 715	401 Uus 714	402 Uuq 718	403 Uup 717	404 Uuh 721	405 Uus 720	406 Uuq 724	407 Uup 723	408 Uuh 727	409 Uus 726	410 Uuq 730	411 Uup 729	412 Uuh 733	413 Uus 732	414 Uuq 736	415 Uup 735	416 Uuh 739	417 Uus 738	418 Uuq 742	419 Uup 741	420 Uuh 745	421 Uus 744	422 Uuq 748	423 Uup 747	424 Uuh 751	425 Uus 750	426 Uuq 754	427 Uup 753	428 Uuh 757	429 Uus 756	430 Uuq 760	431 Uup 759	432 Uuh 763	433 Uus 762	434 Uuq 766	435 Uup 765	436 Uuh 769	437 Uus 768	438 Uuq 772	439 Uup 771	440 Uuh 775	441 Uus 774	442 Uuq 778	443 Uup 777	444 Uuh 781	445 Uus 780	446 Uuq 784	447 Uup 783	448 Uuh 787	449 Uus 786	450 Uuq 790	451 Uup 789	452 Uuh 793	453 Uus 792	454 Uuq 796	455 Uup 795	456 Uuh 799	457 Uus 798	458 Uuq 802	459 Uup 801	460 Uuh 805	461 Uus 804	462 Uuq 808	463 Uup 807	464 Uuh 811	465 Uus 810	466 Uuq 814	467 Uup 813	468 Uuh 817	469 Uus 816	470 Uuq 820	471 Uup 819	472 Uuh 823	473 Uus 822	474 Uuq 826	475 Uup 825	476 Uuh 829	477 Uus 828	478 Uuq 832	479 Uup 831	480 Uuh 835	481 Uus 834	482 Uuq 838	483 Uup 837	484 Uuh 841	485 Uus 840	486 Uuq 844	487 Uup 843	488 Uuh 847	489 Uus 846	490 Uuq 850	491 Uup 849	492 Uuh 853	493 Uus 852	494 Uuq 856	495 Uup 855	496 Uuh 859	497 Uus 858	498 Uuq 862	499 Uup 861	500 Uuh 865	501 Uus 864	502 Uuq 868	503 Uup 867	504 Uuh 871	505 Uus 870	506 Uuq 874	507 Uup 873	508 Uuh 877	509 Uus 876	510 Uuq 880	511 Uup 879	512 Uuh 883	513 Uus 882	514 Uuq 886	515 Uup 885	516 Uuh 889	517 Uus 888	518 Uuq 892	519 Uup 891	520 Uuh 895	521 Uus 894	522 Uuq 898	523 Uup 897	524 Uuh 901	525 Uus 900	526 Uuq 904	527 Uup 903	528 Uuh 907	529 Uus 906	530 Uuq 910	531 Uup 909	532 Uuh 913	533 Uus 912	534 Uuq 916	535 Uup 915	536 Uuh 919	537 Uus 918	538 Uuq 922	539 Uup 921	540 Uuh 925	541 Uus 924	542 Uuq 928	543 Uup 927	544 Uuh 931	545 Uus 930	546 Uuq 934	547 Uup 933	548 Uuh 937	549 Uus 936	550 Uuq 940	551 Uup 939	552 Uuh 943	553 Uus 942	554 Uuq 946	555 Uup 945	556 Uuh 949	557 Uus 948	558 Uuq 952	559 Uup 951	560 Uuh 955	561 Uus 954	562 Uuq 958	563 Uup 957	564 Uuh 961	565 Uus 960	566 Uuq 964	567 Uup 963	568 Uuh 967	569 Uus 966	570 Uuq 970	571 Uup 969	572 Uuh 973	573 Uus 972	574 Uuq 976	575 Uup 975	576 Uuh 979	577 Uus 978	578 Uuq 982	579 Uup 981	580 Uuh 985	581 Uus 984	582 Uuq 988	583 Uup 987	584 Uuh 991	585 Uus 990	586 Uuq 994	587 Uup 993	588 Uuh 997	589 Uus 996	590 Uuq 1000	591 Uup 999	592 Uuh 1003	593 Uus 1002	594 Uuq 1006	595 Uup 1005	596 Uuh 1009	597 Uus 1008	598 Uuq 1012	599 Uup 1011	600 Uuh 1015	601 Uus 1014	602 Uuq 1018	603 Uup 1017	604 Uuh 1021	605 Uus 1020	606 Uuq 1024	607 Uup 1023	608 Uuh 1027	609 Uus 1026	610 Uuq 1030	611 Uup 1029	612 Uuh 1033	613 Uus 1032	614 Uuq 1036	615 Uup 1035	616 Uuh 1039	617 Uus 1038	618 Uuq 1042	619 Uup 1041	620 Uuh 1045	621 Uus 1044	622 Uuq 1048	623 Uup 1047	624 Uuh 1051	625 Uus 1050	626 Uuq 1054	627 Uup 1053	628 Uuh 1057	629 Uus 1056	630 Uuq 1060	631 Uup 1059	632 Uuh 1063	633 Uus 1062	634 Uuq 1066	635 Uup 1065	636 Uuh 1069	637 Uus 1068	638 Uuq 1072	639 Uup 1071	640 Uuh 1075	641 Uus 1074	642 Uuq 1078	643 Uup 1077	644 Uuh 1081	645 Uus 1080	646 Uuq 1084	647 Uup 1083	648 Uuh 1087	649 Uus 1086	650 Uuq 1090	651 Uup 1089	652 Uuh 1093	653 Uus 1092	654 Uuq 1096	655 Uup 1095	656 Uuh 1099	657 Uus 1098	658 Uuq 1102	659 Uup 1101	660 Uuh 1105	661 Uus 1104	662 Uuq 1108	663 Uup 1107	664 Uuh 1111	665 Uus 1110	666 Uuq 1114	667 Uup 1113	668 Uuh 1117	669 Uus 1116	670 Uuq 1120	671 Uup 1119	672 Uuh 1123	673 Uus 1122	674 Uuq 1126	675 Uup 1125	676 Uuh 1129	677 Uus 1128	678 Uuq 1132	679 Uup 1131	680 Uuh 1135	681 Uus 1134	682 Uuq 1138	683 Uup 1137	684 Uuh 1141	685 Uus 1140	686 Uuq 1144	687 Uup 1143	688 Uuh 1147	689 Uus 1146	690 Uuq 1150	691 Uup 1149	692 Uuh 1153	693 Uus 1152	694 Uuq 1156	695 Uup 1155	696 Uuh 1159	697 Uus 1158	698 Uuq 1162</
-----------------	-----------------	-----------------	-----------------	-----------------	-----------------	-----------------	-------------------	-----------------	------------------	-----------------	------------------	------------------	------------------	-----------------	------------------	------------------	------------------	------------------	-------------------	-------------------	-------------------	-------------------	-------------------	-------------------	------------------	-------------------	-------------------	------------------	-------------------	-------------------	-------------------	------------------	-------------------	-------------------	-------------------	-------------------	-------------------	-------------------	-------------------	-------------------	-------------------	-------------------	-------------------	-------------------	-------------------	-------------------	-------------------	------------------	-------------------	-------------------	-------------------	-------------------	--------------------	--------------------	--------------------	--------------------	--------------------	--------------------	--------------------	--------------------	--------------------	-------------------	--------------------	--------------------	--------------------	--------------------	--------------------	--------------------	--------------------	--------------------	--------------------	--------------------	--------------------	--------------------	--------------------	--------------------	--------------------	--------------------	--------------------	--------------------	--------------------	--------------------	-------------------	--------------------	--------------------	--------------------	--------------------	--------------------	--------------------	--------------------	--------------------	--------------------	-----------------	-----------------	-----------------	-----------------	-----------------	-----------------	-----------------	-----------------	-------------------	-----------------	-----------------	-----------------	-----------------	-----------------	-----------------	-----------------	------------------	------------------	------------------	------------------	------------------	------------------	------------------	------------------	------------------	------------------	------------------	------------------	-------------------	-------------------	-------------------	-------------------	-------------------	-------------------	-------------------	-------------------	-------------------	-------------------	-------------------	-------------------	-------------------	-------------------	-------------------	-------------------	-------------------	-------------------	-------------------	-------------------	-------------------	-------------------	-------------------	-------------------	-------------------	-------------------	-------------------	-------------------	-------------------	-------------------	-------------------	-------------------	-------------------	-------------------	-------------------	-------------------	-------------------	-------------------	-------------------	-------------------	-------------------	-------------------	-------------------	-------------------	-------------------	-------------------	-------------------	-------------------	-------------------	-------------------	-------------------	-------------------	-------------------	-------------------	-------------------	-------------------	-------------------	-------------------	-------------------	-------------------	-------------------	-------------------	-------------------	-------------------	-------------------	-------------------	-------------------	-------------------	-------------------	-------------------	-------------------	-------------------	-------------------	-------------------	-------------------	-------------------	-------------------	-------------------	-------------------	-------------------	-------------------	-------------------	-------------------	-------------------	-------------------	-------------------	-------------------	-------------------	-------------------	-------------------	-------------------	-------------------	-------------------	-------------------	-------------------	-------------------	-------------------	-------------------	-------------------	-------------------	-------------------	-------------------	-------------------	-------------------	-------------------	-------------------	-------------------	-------------------	-------------------	-------------------	-------------------	-------------------	-------------------	-------------------	-------------------	-------------------	-------------------	-------------------	-------------------	-------------------	-------------------	-------------------	-------------------	-------------------	-------------------	-------------------	-------------------	-------------------	-------------------	-------------------	-------------------	-------------------	-------------------	-------------------	-------------------	-------------------	-------------------	-------------------	-------------------	-------------------	-------------------	-------------------	-------------------	-------------------	-------------------	-------------------	-------------------	-------------------	-------------------	-------------------	-------------------	-------------------	-------------------	-------------------	-------------------	-------------------	-------------------	-------------------	-------------------	-------------------	-------------------	-------------------	-------------------	-------------------	-------------------	-------------------	-------------------	-------------------	-------------------	-------------------	-------------------	-------------------	-------------------	-------------------	-------------------	-------------------	-------------------	-------------------	-------------------	-------------------	-------------------	-------------------	-------------------	-------------------	-------------------	-------------------	-------------------	-------------------	-------------------	-------------------	-------------------	-------------------	-------------------	-------------------	-------------------	-------------------	-------------------	-------------------	-------------------	-------------------	-------------------	-------------------	-------------------	-------------------	-------------------	-------------------	-------------------	-------------------	-------------------	-------------------	-------------------	-------------------	-------------------	-------------------	-------------------	-------------------	-------------------	-------------------	-------------------	-------------------	-------------------	-------------------	-------------------	-------------------	-------------------	-------------------	-------------------	-------------------	-------------------	-------------------	-------------------	-------------------	-------------------	-------------------	-------------------	-------------------	-------------------	-------------------	-------------------	-------------------	-------------------	-------------------	-------------------	-------------------	-------------------	-------------------	-------------------	-------------------	-------------------	-------------------	-------------------	-------------------	-------------------	-------------------	-------------------	-------------------	-------------------	-------------------	-------------------	-------------------	-------------------	-------------------	-------------------	-------------------	-------------------	-------------------	-------------------	-------------------	-------------------	-------------------	-------------------	-------------------	-------------------	-------------------	-------------------	-------------------	-------------------	-------------------	-------------------	-------------------	-------------------	-------------------	-------------------	-------------------	-------------------	-------------------	-------------------	-------------------	-------------------	-------------------	-------------------	-------------------	-------------------	-------------------	-------------------	-------------------	-------------------	-------------------	-------------------	-------------------	-------------------	-------------------	-------------------	-------------------	-------------------	-------------------	-------------------	-------------------	-------------------	-------------------	-------------------	-------------------	-------------------	-------------------	-------------------	-------------------	-------------------	-------------------	-------------------	-------------------	-------------------	-------------------	-------------------	-------------------	-------------------	-------------------	-------------------	-------------------	-------------------	-------------------	-------------------	-------------------	-------------------	-------------------	-------------------	-------------------	-------------------	-------------------	-------------------	-------------------	-------------------	-------------------	-------------------	-------------------	-------------------	-------------------	-------------------	-------------------	-------------------	-------------------	-------------------	-------------------	-------------------	-------------------	-------------------	-------------------	-------------------	-------------------	-------------------	-------------------	-------------------	-------------------	-------------------	-------------------	-------------------	-------------------	-------------------	-------------------	-------------------	-------------------	-------------------	-------------------	-------------------	-------------------	-------------------	-------------------	-------------------	-------------------	-------------------	-------------------	-------------------	-------------------	-------------------	-------------------	-------------------	-------------------	-------------------	-------------------	-------------------	-------------------	-------------------	-------------------	-------------------	-------------------	-------------------	-------------------	-------------------	-------------------	-------------------	-------------------	-------------------	-------------------	-------------------	-------------------	-------------------	-------------------	-------------------	-------------------	-------------------	-------------------	-------------------	-------------------	-------------------	-------------------	-------------------	-------------------	-------------------	-------------------	-------------------	-------------------	-------------------	-------------------	-------------------	-------------------	-------------------	-------------------	-------------------	-------------------	-------------------	-------------------	-------------------	-------------------	-------------------	-------------------	-------------------	-------------------	-------------------	-------------------	-------------------	-------------------	-------------------	-------------------	-------------------	-------------------	-------------------	-------------------	-------------------	-------------------	-------------------	-------------------	-------------------	-------------------	-------------------	-------------------	-------------------	-------------------	-------------------	-------------------	-------------------	-------------------	-------------------	-------------------	-------------------	-------------------	-------------------	-------------------	-------------------	-------------------	-------------------	-------------------	-------------------	-------------------	-------------------	-------------------	-------------------	-------------------	-------------------	-------------------	--------------------	-------------------	--------------------	--------------------	--------------------	--------------------	--------------------	--------------------	--------------------	--------------------	--------------------	--------------------	--------------------	--------------------	--------------------	--------------------	--------------------	--------------------	--------------------	--------------------	--------------------	--------------------	--------------------	--------------------	--------------------	--------------------	--------------------	--------------------	--------------------	--------------------	--------------------	--------------------	--------------------	--------------------	--------------------	--------------------	--------------------	--------------------	--------------------	--------------------	--------------------	--------------------	--------------------	--------------------	--------------------	--------------------	--------------------	--------------------	--------------------	--------------------	--------------------	--------------------	--------------------	--------------------	--------------------	--------------------	--------------------	--------------------	--------------------	--------------------	--------------------	--------------------	--------------------	--------------------	--------------------	--------------------	--------------------	--------------------	--------------------	--------------------	--------------------	--------------------	--------------------	--------------------	--------------------	--------------------	--------------------	--------------------	--------------------	--------------------	--------------------	--------------------	--------------------	--------------------	--------------------	--------------------	--------------------	--------------------	--------------------	--------------------	--------------------	--------------------	--------------------	--------------------	--------------------	--------------------	--------------------	--------------------	--------------------	--------------------	--------------------	--------------------	--------------------	--------------------	--------------------	--------------------	--------------------	--------------------	----------------------

Tablul periodic al elementelor
I. după Mendeleev

Grupă	Perioadă	GRUPELE ELEMENTELOR							
		I	II	III	IV	V	VI	VII	0
1		H 1 1,0080							He 2 4,003
2		Li 3 6,940	Be 4 9,012	B 5 10,81	C 6 12,011	N 7 14,008	O 8 16,000	F 9 19,00	Ne 10 20,183
3		Na 11 22,997	Mg 12 24,32	Al 13 26,97	Si 14 28,06	P 15 30,98	S 16 32,06	Cl 17 35,457	Ar 18 39,944
4		K 19 39,096	Ca 20 40,08	Sc 21 45,10	Ti 22 47,90	V 23 50,95	Cr 24 52,01	Mn 25 54,93	Fe 26 55,85
									Co 27 58,94
									Ni 28 58,69
									Cu 29 63,54
									Zn 30 65,38
									Ga 31 69,72
									Ge 32 72,60
									As 33 74,91
									Se 34 78,96
									Br 35 79,916
									Kr 36 83,8
5		Rb 37 85,48	Sr 38 87,63	Y 39 88,92	Zr 40 91,22	Nb 41 92,91	Mo 42 95,95	Tc 43 98,91	Ru 44 101,1
									Rh 45 102,91
									Pd 46 106,7
									Ag 47 107,880
									Cd 48 112,411
									In 49 114,76
									Sn 50 118,710
									Sb 51 121,76
									Te 52 127,61
									I 53 126,92
									Xe 54 131,3
6		Cs 55 132,91	Ba 56 137,36	La 57 138,92	Hf 72 178,5	Ta 73 180,98	W 74 183,82	Re 75 186,31	Os 76 190,2
									Ir 77 192,23
									Pt 78 195,23
									Au 79 197,2
									Hg 80 200,61
									Tl 81 204,39
									Pb 82 207,21
									Bi 83 209,00
									Po 84 210
									At 85 (210)
7		Fr 87 (223)	Ra 88 (226,05)	Ac 89 (227)	(Th)	(Pa)	(U)		

* LANTANIDE

58	59	60	61	62	63	64	65	66	67	68	69	70	71
Ce	Pr	Nd	Pm	Sm	Eu	Gd	Tb	Dy	Ho	Er	Tm	Yb	Lu
140,13	140,92	144,27	(147)	150,43	152,0	156,9	158,92	162,46	164,94	167,2	168,94	173,04	174,99

* ACTINIDE

90	91	92	93	94	95	96	97	98
Th	Pa	U	Np	Pu	Am	Cm	Bk	Cf
232,12	231	238,07	(237)	(239)	(241)	(242)	(243)	(244)

Număr de ordine

Serie — Ra
100
electrone

226,05
44
Brevele atomice

RAZELE IONICE ; EC-urile și PARAGENII lui Fersman.

Ion	ri	Ec	Prg	Ion	ri	Ec	Prg	Ion	ri	Ec	Prg
Cs ⁺	1,65	0,30	0,2	Bc ²⁺	0,34	2,65	2	Ir ⁴⁺	0,66	8,93	9
Rb ⁺	1,49	0,33	0,3	Tl ³⁺	1,05	3,45	—	Ru ⁴⁺	0,65	9,10	9
K ⁺	1,33	0,36	0,35	La ³⁺	1,22	3,58	—	Mn ⁴⁺	0,52	9,10	—
NH ₄ ⁺	1,43	0,37	—	Y ³⁺	1,06	3,95	4	Ge ⁴⁺	0,44	10,53	—
Tl ⁺	1,49	0,42	0,4	Cp ³⁺	0,99	3,98	4	C ⁴⁺	0,15	12,20	12
Na ⁺	0,98	0,45	0,5	In ³⁺	0,92	4,35	—	Nb ⁵⁺	0,69	13,60	—
Li ⁺	0,78	0,55	0,3	Sc ³⁺	0,83	4,65	4	Ta ⁵⁺	0,69	13,60	—
Ag ⁺	1,13	0,60	0,6	Cs ³⁺	0,64	4,75	8	P ⁵⁺	0,35	15,50	—
Au ⁺	1,37	0,65	—	Fe ³⁺	0,67	5,15	—	V ⁵⁺	0,40	15,12	5
Cu ⁺	0,96	0,70	0,7	Ti ³⁺	0,69	4,65	5	W ⁶⁺	—	19,35	—
Hg ⁺	?	0,93	0,2	Al ³⁺	0,57	4,95	7,5	Re ⁷⁺	—	28,10	9
H ⁺	0,1?	1,10	—	V ⁴⁺	0,65	5,32	—				
Ba ²⁺	1,43	1,35	1,2	Ga ³⁺	0,62	5,41	2				
Sr ²⁺	1,27	1,50	1,5	B ³⁺	0,20	6,00	—				
Pb ²⁺	1,32	1,65	1,5	Th ⁴⁺	1,10	6,80	6				
Ca ²⁺	1,06	1,75	2	U ⁴⁺	1,05	7,00	6	I ⁻	2,20	0,18	0,1
Mn ²⁺	0,91	2,00	3	Hf ⁴⁺	0,86	7,81	8	Br ⁻	1,96	0,22	0,2
Cd ²⁺	1,03	2,00	1,8	Zr ⁴⁺	0,87	7,85	8	Cl ⁻	1,81	0,25	0,3
Mg ²⁺	0,78	2,10	4	Sn ⁴⁺	0,74	7,90	8	H	1,54	0,32	0,1
Cu ²⁺	?	2,10	2	Pb ⁴⁺	0,84	7,95	—	F ⁻	1,33	0,37	0,4
Hg ²⁺	1,12	2,10	0,2	Si ⁴⁺	0,39	8,60	10				
Fe ²⁺	0,83	2,12	6	Ti ⁴⁺	0,64	8,40	9				
Co ²⁺	0,82	2,15	5	Mo ⁴⁺	0,68	8,50	9				
Ni ²⁺	0,78	2,18	8	Re ⁴⁺	0,68	8,90	—				
Zn ²⁺	0,83	2,20	2	Os ⁴⁺	0,67	8,90	9				

Ion	ri	Ec	Prg	Anion	ri	Ec	Prg
Te^{2-}	2,11	0,95	0,9	IO_3^-	3,55	0,14	—
Se^{2-}	1,91	1,10	1	NO_3^-	2,57	0,12	0,2
S^{2-}	1,74	1,15	1,3	ClO_4^-	2,36	0,21	—
O^{2-}	1,32	1,55	1,5	SH^-	1,99	0,23	—
Bi^{3-}	—	11,90	—	CN^-	1,93	0,25	—
Sb^{3-}	—	12,25	—	OH^-	1,33	0,37	—
As^{3-}	—	15,20	—	WO_4^{2-}	3,52	0,57	2
Sb^{3-}	1,95	2,30	—	MoO_4^{2-}	3,45	0,58	1
As^{3-}	1,70	2,65	2,5	CrO_4^{2-}	3,00	0,67	1
P^{3-}	1,65	2,70	—	SO_4^{2-}	2,95	0,68	0,5
N^{3-}	1,25	3,60	—	CO_3^{2-}	2,57	0,78	0,5
				PO_4^{3-}	3,00	1,50	2
				AsO_4^{3-}	2,95	1,53	—
				BO_3^{3-}	2,68	1,68	—
				ZrO_4^{4-}	3,50	2,30	—
				TiO_4^{4-}	3,28	2,45	—
				SiO_4^{4-}	2,90	2,75	4
				FeO_4^{3-}	3,25	3,85	5
				AlO_4^{5-}	3,15	4,00	6
				MgO_4^{6-}	3,40	5,30	—
				BeO_4^{6-}	2,90	6,00	—

7
 RAZELLE IONIC ALE ELEMENTELOR
 (AHRENS, 1952).

Nr. crt.	Ion	A	Nr. crt.	Ion	A	Nr. crt.	Ion	A
1	Ac ³⁺	1,18	22	Ce ²⁺	1,07	43	Ge ⁴⁺	0,53
2	Ag ⁺	1,26	23	Ce ³⁺	0,94	44	Hf ⁴⁺	0,78
3	Ag ²⁺	0,89	24	Cl ²⁺	0,34	45	Hg ²⁺	1,10
4	Al ³⁺	0,51	25	Cl ⁷⁺	0,27	46	Ho ³⁺	0,91
5	Am ³⁺	1,07	26	Co ²⁺	0,72	47	In ³⁺	0,81
6	Am ⁴⁺	0,92	27	Co ³⁺	0,63	48	Ir ⁴⁺	0,68
7	As ³⁺	0,58	28	Cr ³⁺	0,63	49	I ³⁺	0,62
8	As ⁵⁺	0,46	29	Cr ⁶⁺	0,52	50	I ⁷⁺	0,50
9	At ⁷⁺	0,62	30	Cs ⁺	1,67	51	K ⁺	1,33
10	Au ⁺	1,37	31	Cu ⁺	0,96	52	La ³⁺	1,14
11	Au ³⁺	0,85	32	Cu ²⁺	0,72	53	Li ⁺	0,68
12	B ³⁺	0,23	33	Dy ³⁺	0,92	54	Lu ³⁺	0,85
13	Ba ²⁺	1,34	34	Er ³⁺	0,89	55	Mg ²⁺	0,66
14	Be ²⁺	0,35	35	Eu ³⁺	0,98	56	Mn ²⁺	0,80
15	Bi ²⁺	0,96	36	F ⁷⁺	0,08	57	Mn ³⁺	0,66
16	Bi ⁵⁺	0,94	37	Fe ²⁺	0,74	58	Mn ⁴⁺	0,60
17	Br ²⁺	0,47	38	Fe ³⁺	0,64	59	Mn ⁷⁺	0,46
18	Br ⁷⁺	0,39	39	Fr ⁺	1,80	60	Mo ⁴⁺	0,70
19	C ⁴⁺	0,16	40	Ga ³⁺	0,62	61	Mo ⁶⁺	0,62
20	Cu ²⁺	0,99	41	Gd ³⁺	0,97	62	N ³⁺	0,16
21	Cu ³⁺	0,97	42	Ge ²⁺	0,73	63	N ⁵⁺	0,13

RAZE IONICE ; EC-urile și paragenii
lui Persman.

Nr. crt.	Ion	λ	Nr. crt.	Ion	λ	Nr. crt.	Ion	λ
64	Na ⁺	0,97	90	Pu ⁴⁺	0,93	116	Ti ²⁺	0,76
65	Nb ⁴⁺	0,74	91	Ra ²⁺	1,43	117	Ti ³⁺	0,68
66	Nb ³⁺	0,69	92	Rb ⁺	1,47	118	Tl ⁺	1,47
67	Nd ³⁺	1,04	93	Re ⁴⁺	0,72	119	Tl ²⁺	0,95
68	Ni ²⁺	0,69	94	Re ³⁺	0,56	120	Tm ²⁺	0,87
69	Np ³⁺	1,10	95	Rn ²⁺	0,68	121	U ⁴⁺	0,97
70	Np ⁴⁺	0,95	96	Ru ⁴⁺	0,67	122	U ³⁺	0,80
71	Np ²⁺	0,71	97	Si ⁺	0,97	123	V ²⁺	0,88
72	O ²⁺	0,10	98	S ⁴⁺	0,30	124	V ³⁺	0,74
73	O ³⁺	0,62	99	Sb ²⁺	0,76	125	V ⁴⁺	0,63
74	P ⁴⁺	0,44	100	Sb ³⁺	0,62	126	V ⁵⁺	0,59
75	P ³⁺	0,35	101	Sc ³⁺	0,81	127	W ⁴⁺	0,70
76	P	1,11	102	Sc ¹⁺	0,30	128	W ⁵⁺	0,62
77	Pa ⁴⁺	0,98	103	Sc ⁴⁺	0,42	129	Y ²⁺	0,92
78	Pa	0,99	104	Si ²⁺	0,42	130	Yb ³⁺	0,86
79	Pb ²⁺	1,20	105	Sm ²⁺	1,00	131	Zn ²⁺	0,74
80	Pb ³⁺	0,84	106	Sn ²⁺	0,91	132	Zr ⁴⁺	0,79
81	P ⁵⁺	0,30	107	Sn ⁴⁺	0,71			
82	P ⁴⁺	0,65	108	Sc ²⁺	1,12			
83	Pm ¹⁺	1,06	109	Ta ²⁺	0,68			
84	P ³⁺	0,67	110	Tb ³⁺	0,93			
85	P ²⁺	1,06	111	Tb ⁴⁺	0,81			
86	P ⁴⁺	0,92	112	Te ²⁺	0,56			
87	P ²⁺	0,80	113	Te ⁴⁺	0,70			
88	P ⁴⁺	0,65	114	Te ⁶⁺	0,56			
89	Pu ³⁺	1,08	115	Th ¹⁺	1,02			

TABLOUL CELOR 230 DE
GRUPE SPAȚIALE, I.

Sist. triclinic

Cl. pedială

$C_1 - 1$
 $C_1 - P_1$

Cl. pinacoidală

$C_1 - 1$
 $C_1 - P_1$

Sist. monoclinic

Cl. domatică

$C_2 - m$
 $C_2 - P_m$
 $C_2 - P_c$
 $C_2 - C_m$
 $C_2 - C_c$

Cl. sfenoidală

$C_2 - 2$
 $C_2 - P_2$
 $C_2 - P_2$
 $C_2 - C_2$

Cl. prismatică

$C_{2h} - 2/m$
 $C_{2h}^1 - P_2/m$
 $C_{2h}^2 - P_2/m$
 $C_{2h}^3 - C_2/m$
 $C_{2h}^4 - P_2/c$
 $C_{2h}^5 - P_2/c$
 $C_{2h}^6 - C_2/c$

Sist. rhombic

Cl. piramidală

$C_{2v} - mm$
 $C_{2v}^1 - Pmm$
 $C_{2v}^2 - Pmc$

$C_{2v}^3 - Pcc$

$C_{2v}^4 - Pma$

$C_{2v}^5 - Pca$

$C_{2v}^6 - Pnc$

$C_{2v}^7 - Pmi$

$C_{2v}^8 - Pba$

$C_{2v}^9 - Pna$

$C_{2v}^{10} - Pnn$

$C_{2v}^{11} - Cmm$

$C_{2v}^{12} - Cmc$

$C_{2v}^{13} - Ccc$

$C_{2v}^{14} - Amm$

$C_{2v}^{15} - Abm$

$C_{2v}^{16} - Ama$

$C_{2v}^{17} - Aba$

$C_{2v}^{18} - Fmm$

$C_{2v}^{19} - Fdd$

$C_{2v}^{20} - Imm$

$C_{2v}^{21} - lba$

$C_{2v}^{22} - lma$

Cl. bisfenoidală

$D_2(V) - 222$
 $D_2^1 - P222$
 $D_2^2 - P222$
 $D_2^3 - P2_12_12$
 $D_2^4 - P2_12_12_1$
 $D_2^5 - C222$
 $D_2^6 - C222$
 $D_2^7 - F222$
 $D_2^8 - I222$
 $D_2^9 - I2_12_12_1$

Cl. bipiramidală

$D_{2h}(V_h) - mmm$
 $D_{2h}^1 - Pmmm$

$D_{2h}^2 - Pnnn$

$D_{2h}^3 - Pccm$

$D_{2h}^4 - Pban$

$D_{2h}^5 - Pmma$

$D_{2h}^6 - Pnna$

$D_{2h}^7 - Pmna$

$D_{2h}^8 - Pcca$

$D_{2h}^9 - Pbam$

$D_{2h}^{10} - Pccu$

$D_{2h}^{11} - Pbcm$

$D_{2h}^{12} - Pnnm$

$D_{2h}^{13} - Pmma$

$D_{2h}^{14} - Pbcn$

$D_{2h}^{15} - Pbca$

$D_{2h}^{16} - Pnma$

$D_{2h}^{17} - Cmcm$

$D_{2h}^{18} - Cmca$

$D_{2h}^{19} - Cmmam$

$D_{2h}^{20} - Cccm$

$D_{2h}^{21} - Cmma$

$D_{2h}^{22} - Ccca$

$D_{2h}^{23} - Fmmm$

$D_{2h}^{24} - Fddd$

$D_{2h}^{25} - Immm$

$D_{2h}^{26} - lbam$

$D_{2h}^{27} - lbca$

$D_{2h}^{28} - Imma$

Sist. tetragonal

Cl. bisfenoidală

$S_4 - 4$
 $S_4^1 - P_4$
 $S_4^2 - I_4$

Cl. piramidală

$C_4 - 4$
 $C_4^1 - P_4$
 $C_4^2 - P_4$
 $C_4^3 - P_4$
 $C_4^4 - P_4$
 $C_4^5 - I_4$
 $C_4^6 - I_4$

Cl. bipiramidală

$C_{4h} - 4/m$
 $C_{4h}^1 - P_4/m$
 $C_{4h}^2 - P_4/m$
 $C_{4h}^3 - P_4/n$
 $C_{4h}^4 - P_4/n$
 $C_{4h}^5 - I_4/m$
 $C_{4h}^6 - I_4/a$

Cl. scalenoedrică

$D_{2d}(V_d) - \bar{4}2m$
 $D_{2d}^1 - P\bar{4}2m$
 $D_{2d}^2 - P\bar{4}2c$
 $D_{2d}^3 - P\bar{4}2/m$
 $D_{2d}^4 - P\bar{4}2/c$
 $D_{2d}^5 - P\bar{4}m2$
 $D_{2d}^6 - P\bar{4}c2$
 $D_{2d}^7 - P\bar{4}b2$
 $D_{2d}^8 - P\bar{4}n2$
 $D_{2d}^9 - I\bar{4}m2$
 $D_{2d}^{10} - I\bar{4}c2$
 $D_{2d}^{11} - I\bar{4}2m$
 $D_{2d}^{12} - I\bar{4}2d$

Cl. ditetr. piramidală

$C_{4v} - 4mm$
 $C_{4v}^1 - P_4mm$

$C_{40}^2 - P4bm$ $C_{40}^3 - P4cm$ $C_{40}^4 - P4nm$ $C_{40}^5 - P4cc$ $C_{40}^6 - P4nc$ $C_{40}^7 - P4mc$ $C_{40}^8 - P4bc$ $C_{40}^9 - I4mm$ $C_{40}^{10} - I4cm$ $C_{40}^{11} - I4md$ $C_{40}^{12} - I4cd$	$D_{40}^{10} - P4/mcm$ $D_{40}^{11} - P4/nbc$ $D_{40}^{12} - P4/nmm$ $D_{40}^{13} - P4/mbc$ $D_{40}^{14} - P4/mnm$ $D_{40}^{15} - P4/nmc$ $D_{40}^{16} - P4/ncm$ $D_{40}^{17} - I4/mmm$ $D_{40}^{18} - I4/mcm$ $D_{40}^{19} - I4/amd$ $D_{40}^{20} - I4/acd$	$D_3^2 - C32$ $D_3^3 - C3112$ $D_3^4 - C32$ $D_3^5 - C3212$ $D_3^6 - C32$ $D_3^7 - R32$	$C_6^5 - C64$ $C_6^6 - C63$
Cl. trapezoeđrică $D_4^1 - 42$ $D_4^2 - P42$ $D_4^3 - P42_1$ $D_4^4 - P4_12$ $D_4^5 - P4_12_1$ $D_4^6 - P4_12$ $D_4^7 - P4_22_1$ $D_4^8 - P4_22$ $D_4^9 - P4_22_1$ $D_4^{10} - I4_2$	Sist. trigonal Cl. piramidă $C_3 - 3$ $C_3^1 - P3$ $C_3^2 - P3_1$ $C_3^3 - P3_2$ $C_3^4 - R3$	Cl. ditrig. scale-noeđrică $D_{3d}^1 - 3m$ $D_{3d}^2 - C31m$ $D_{3d}^3 - C31c$ $D_{3d}^4 - C3m$ $D_{3d}^5 - C3c$ $D_{3d}^6 - R3m$ $D_{3d}^7 - R3c$	Cl. bişiramidă $C_{6h} - 6/m$ $C_{6h}^1 - C6/m$ $C_{6h}^2 - C63/m$
Cl. ditetr. bi-piramidală $D_{4h}^1 - 4/mmm$ $D_{4h}^2 - P4/mmm$ $D_{4h}^3 - P4/mcc$ $D_{4h}^4 - P4/nbm$ $D_{4h}^5 - P4/nnc$ $D_{4h}^6 - P4/nbm$ $D_{4h}^7 - P4/nnc$ $D_{4h}^8 - P4/mmm$ $D_{4h}^9 - P4/ncc$ $D_{4h}^{10} - P4/nmc$	Cl. romboeđrică $C_{3i} - 3$ $C_{3i}^1 - P3$ $C_{3i}^2 - R3$	Cl. bipiramidală $C_{3h} - 6$ $C_{3h}^1 - C6$	Cl. dihex. piramidă $C_{6h} - 6mm$ $C_{6h}^1 - C6mm$ $C_{6h}^2 - C6cc$ $C_{6h}^3 - C6cm$ $C_{6h}^4 - C6mc$
	Cl. ditrig. piramidă $C_{3d} - 3m$ $C_{3d}^1 - C3m$ $C_{3d}^2 - C31m$ $C_{3d}^3 - C3c$ $C_{3d}^4 - C3lc$ $C_{3d}^5 - R3m$ $C_{3d}^6 - R3c$	Cl. ditrig. bipiramidală $D_{3h}^1 - 62m$ $D_{3h}^2 - C6m2$ $D_{3h}^3 - C6c2$ $D_{3h}^4 - C62m$ $D_{3h}^5 - C62c$	Cl. dihex. bipiramidală $D_{6h} - 6/mmm$ $D_{6h}^1 - C6/mmm$ $D_{6h}^2 - C6/mcc$ $D_{6h}^3 - C6/mcm$ $D_{6h}^4 - C6/mmc$
	Cl. trapezoidală $D_3 - 32$ $D_3^1 - C312$	Sist. hexagonal Cl. piramidă $C_6 - 6$ $C_6^1 - C6$ $C_6^2 - C6_1$ $C_6^3 - C6_2$ $C_6^4 - C6_2$	Sist. cubic Cl. pent. dodec. tetraeđric $T - 23$ $T^1 - P23$

$T^2 - F23$	$T_h^6 - Pa3$	Cl. pentagonicozitetradrică	Cl. hexachistadrică
$T^3 - I23$	$T_h^7 - Ia3$		
$T^4 - P23$			
$T^5 - I23$	Cl. hexachistetradrică		
Cl. diachistodetradrică			
$T_h - m3$	$T_d - 43m$	$0 - 43$	$0_h - m3m$
$T_h^1 - Pm3$	$T_d^1 - P43m$	$0^1 - P43$	$0_h^1 - Pm3m$
$T_h^2 - Pm3$	$T_d^2 - F43m$	$0^2 - P43$	$0_h^2 - Pm3m$
$T_h^3 - Fm3$	$T_d^3 - 43m$	$0^3 - F43$	$0_h^3 - Pm3m$
$T_h^4 - Fd3$	$T_d^4 - P43m$	$0^4 - F43$	$0_h^4 - Pm3m$
$T_h^5 - Im3$	$T_d^5 - F43$	$0^5 - I43$	$0_h^5 - Fm3m$
	$T_d^6 - I43d$	$0^6 - P43$	$0_h^6 - Fm3c$
		$0^7 - P43$	$0_h^7 - Fd3m$
		$0^8 - I43$	$0_h^8 - Fd3c$
			$0_h^9 - Im3m$
			$0_h^{10} - Ia3d$

Universitatea Al. I. Cuza Iași
Biblioteca de mineralogie și petrologie
Cota veche Pretul
Libr. Univ. 2700 lei

siiale prop. optice

21TROPE : Categorie sup. de simetrie
sist. cubic

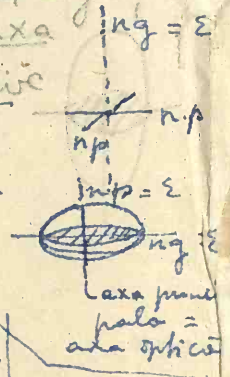
Suprafața de
arata vîrta
de propagare
este o sfera

ANIZOTROPE : 1) Categorie mijlocie
de simetrie
Sist. Ratic
Hexagonal
trigonal

o directie
monoclinică
uniaxa $n_g = 2$

a) pozitivă

b) negativă

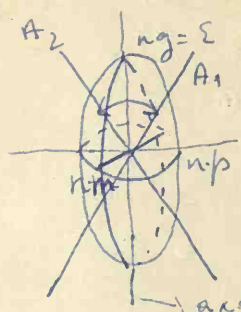


2) Categorie inferioară de simetrie
Sist. rombic
Sist. monoclinic
Sist. triclinic

2 directii
de monore
fringenta
Biaxe

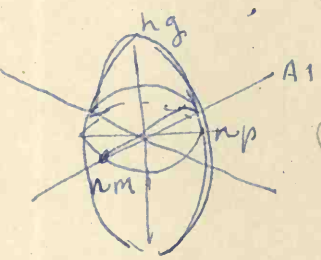
n.m : indicea mijlocie
triple

$$\begin{cases} n_p - n_g \\ n_m - n_g \\ n_p - n_m \end{cases}$$



\oplus ($A_1 \hat{O} A_2$ este $< 90^\circ$: 4 axelor optice)

axele principale = axele optice ($A_1, 0$), ($A_2, 0$)



\ominus ($A_1 \hat{O} A_2 > 90^\circ$: 4 axelor optice)

la cristale monocax



+



BCU IASI / CENTRAL UNIVERSITY LIBRARY